



TUGAS AKHIR – RC14-1501

**MODIFIKASI PERENCANAAN STRUKTUR GEDUNG
ASRAMA PRESIDENT UNIVERSITY CIKARANG
MENGUNAKAN *HEXAGONAL CASTELLATED BEAM*
DAN KOLOM *CONCRETE FILLED STEEL TUBE***

SYAUQY RIBHAN
NRP. 3114 105 001

Dosen Pembimbing I
Budi Suswanto, ST., MT., Ph.D

Dosen Pembimbing II
Ir. Heppy Kristijanto, MS

JURUSAN TEKNIK SIPIL
Fakultas Teknik Sipil dan Perencanaan
Institut Teknologi Sepuluh Nopember
Surabaya 2016



FINAL PROJECT – RC14-1501

**MODIFICATION DESIGN STRUCTURE OF THE
DORMITORY BUILDING IN PRESIDENT UNIVERSITY
CIKARANG USING HEXAGONAL CASTELLATED
BEAM AND CONCRETE FILLED STEEL TUBE
COLUMN**

SYAUQY RIBHAN
NRP. 3114 105 001

Major Supervisor I
Budi Suswanto, ST., MT., Ph.D

Major Supervisor II
Ir. Heppy Kristijanto, MS

CIVIL ENGINEERING DEPARTMENT
Faculty of Civil Engineering and Planning
Institut Teknologi Sepuluh Nopember
Surabaya 2016

**MODIFIKASI PERENCANAAN STRUKTUR GEDUNG
ASRAMA PRESIDENT UNIVERSITY CIKARANG
MENGUNAKAN *HEXAGONAL CASTELLATED BEAM*
DAN KOLOM *CONCRETE FILLED STEEL TUBE***

TUGAS AKHIR

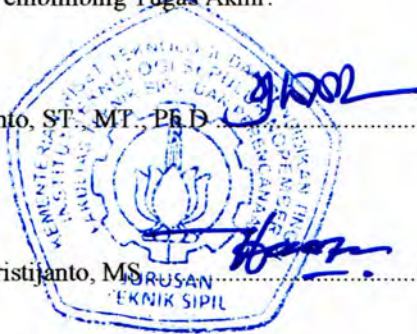
Diajukan Untuk Memenuhi Salah Satu Syarat
Memperoleh Gelar Sarjana Teknik
pada
Program Studi S-1 Lintas Jalur Jurusan Teknik Sipil
Fakultas Teknik Sipil Dan Perencanaan
Institut Teknologi Sepuluh Nopember

Oleh :

SYAUQY RIBHAN
NRP. 3114 105 001

Disetujui oleh Pembimbing Tugas Akhir:

1. Budi Suswanto, ST, MT, PhD (Pembimbing I)
2. Ir. Heppy Kristijanto, MS (Pembimbing II)



SURABAYA
JULI, 2016

MODIFIKASI PERENCANAAN STRUKTUR GEDUNG ASRAMA PRESIDENT UNIVERSITY CIKARANG MENGUNAKAN HEXAGONAL CASTELLATED BEAM DAN KOLOM CONCRETE FILLED STEEL TUBE

Nama Mahasiswa : Syaupy Ribhan
NRP : 3114 105 001
Jurusan : Teknik Sipil FTSP-ITS
Dosen Pembimbing : 1. Budi Suswanto, ST., MT., Ph.D
2. Ir. Heppy Kristijanto, MS

Abstrak

President University merupakan perguruan tinggi swasta yang terletak di Jl. Ki Hajar Dewantara, Kota Jababeka, Cikarang Baru, Bekasi. Kampus ini menggunakan sistem student boarding house. Jumlah asrama President University masih belum sebanding dengan jumlah mahasiswanya. Untuk mengatasi masalah tersebut diperlukan pembangunan asrama baru. Untuk perencanaan gedung baru, dilakukan modifikasi ulang menggunakan struktur baja 10 lantai dengan menggunakan hexagonal castellated beam dan kolom concrete filled steel tube.

Dalam perencanaan ini, peraturan yang akan digunakan yaitu AISC-LRFD 2010, SNI 1729:2015 untuk menghitung struktur dari baja, SNI 1727:2013 dan PPIUG 1987 untuk menghitung pembebanan struktur, SNI 1726:2012 untuk menghitung beban gempa, dan SNI 2847:2013 untuk menghitung struktur beton.

Dari analisa dan hasil perhitungan diperoleh hasil untuk tower G dan H, yaitu: tebal pelat atap 9 cm, dan pelat asrama 10 cm. Dimensi balok anak CB 437,5.175.7.11; CB 495.200.7.11 ; WF 250.125.5.8 dan WF 250.175.7.11. Dimensi balok induk bentang 8 m CB 625.200.10.16 ; CB 550.300.11.18 ; CB 487,5.300.10.16 dan CB 437,5.175.7.11. Dimensi kolom lantai 1-3 HSS800.800.25.25, lantai 4-6 HSS700.700.22.22, lantai 7-Atap HSS600.600.16.16. Tebal plat spsw 4mm, dan balok spsw menggunakan WF 800.300.16.30. Sambungan struktur utama direncanakan dengan baut A325. Pondasi menggunakan tiang pancang spun pile diameter 50cm kedalaman 16m. Sloof ukuran 40x60 cm dengan tulangan utama tarik dan tekan 4D22 dan tulangan geser Ø10-250.

Kata Kunci : *Student Boarding House, Hexagonal Castellated Beam, Concrete Filled Steel Tube.*

“Halaman ini sengaja dikosongkan”

MODIFICATION DESIGN STRUCTURE OF THE DORMITORY BUILDING IN PRESIDENT UNIVERSITY CIKARANG USING HEXAGONAL CASTELLATED BEAM AND CONCRETE FILLED STEEL TUBE COLUMN

Name : Syauqy Ribhan
Student ID : 3114 105 001
Department : Civil Engineering FTSP-ITS
Supervisor : 1. Budi Suswanto, ST., MT., Ph.D
2. Ir. Heppy Kristijanto, MS

Abstract

President University is private university located on Ki Hajar Dewantara Street, Jababeka City, Cikarang Baru, Bekasi. This college is using student boarding house system. The number of dormitories in President University is still not proportional with the number of students. To solve this problem required the construction of a new dormitory. Planning for a new building, it will be re-modification using ten floor steel structure with hexagonal castellated beam and column of concrete filled steel tube.

In the planning, the regulations that used are AISC-LRFD 2010, SNI 1729:2015 to calculate the structure of steel, SNI 1727:2013 and PPIUG 1987 to calculate the loading structure, SNI 1726:2012 to calculate the load of the earthquake, and SNI 2847:2013 to calculate the structure of concrete..

Based on the analysis and calculation obtained the result for tower G and H are: the roof plate thickness 9 cm and dormitory plate 10 cm. The dimension of sub main beam using CB437,5.175.7.11; CB495.200.7.11; WF250.125.5.8 and WF250.175.7.11. The dimension of main beam 8 m using CB625.200.10.16; CB550.300.11.18; CB487,5.300.10.16 and CB437,5.175.7.11. The dimension of 1st-3rd floor column using HSS800.800.25.25, 4th – 6th floor HSS700.700.22.22, and 7th – roof HSS600.600.16.16. Spw plate thickness 4 mm, and spw beam using WF 800.300.16.30. The main structure will connected with bolts A325. The foundation is using spun pile with 50 cm diameters and 16 m thick. Size of sloof 40 x 60 cm with the 4D22 pull and press main reinforcement and Ø10-250 shear reinforcement.

Keywords: Student Boarding House, Hexagonal Castellated Beam, Concrete Filled Steel Tube.

“Halaman ini sengaja dikosongkan”

KATA PENGANTAR

Assalamu'alaikum Wr. Wb

Segala puji kehadiran Allah SWT, atas segala rahmat dan hidayah serta karunia-Nya yang telah diberikan sehingga penulis dapat menyelesaikan tugas akhir ini tepat pada waktunya.

Pada kesempatan ini ijinlah penulis menyampaikan rasa terima kasih yang sebesar besarnya atas bimbingan dan dorongan tiada henti kepada :

1. Kedua orang tua yang selalu memberikan dukungan tiada hentinya kepada penulis.
2. Bapak Budi Suswanto, ST., MT., Ph.D dan bapak Ir. Heppy Kristijanto, MS sebagai dosen pembimbing yang memberikan banyak masukan dan arahan dalam penyelesaian Tugas Akhir.
3. Bapak Trijoko Wahyu Adi, ST., MT., Ph.D selaku Ketua Jurusan Teknik Sipil ITS.
4. Seluruh dosen pengajar jurusan Teknik Sipil ITS yang secara langsung maupun tidak langsung telah memberikan bimbingan dan ilmu yang sangat bermanfaat kepada penulis.
5. Seluruh teman – teman ITS khususnya Teknik Sipil LJ ITS.
6. Rekan-rekan sekalian yang tidak dapat disebutkan satu-persatu serta semua pihak yang telah banyak membantu.

Dengan segenap kerendahan hati, penulis menyadari sepenuhnya bahwa tugas akhir ini masih jauh dari sempurna. Sehingga, besar harapan adanya koreksi maupun masukan dari semua pihak untuk kesempurnaan tugas akhir ini.

Penulis berdoa semoga apa yang telah dikerjakan dalam tugas akhir ini dapat bermanfaat dikemudian hari bagi siapapun yang membacanya.

Surabaya, Juli 2016

Penulis

“Halaman ini sengaja dikosongkan”

DAFTAR ISI

HALAMAN JUDUL	i
LEMBAR PENGESAHAN.....	ii
ABSTRAK.....	iii
ABSTRACT	v
KATA PENGANTAR.....	vii
DAFTAR ISI.....	ix
DAFTAR GAMBAR.....	xv
DAFTAR TABEL	xix
BAB I PENDAHULUAN	1
1.1 Latar Belakang	1
1.2 Perumusan Masalah.....	4
1.3 Tujuan Perencanaan.....	4
1.4 Batasan Masalah.....	5
1.5 Manfaat Perencanaan.....	5
BAB II TINJAUAN PUSTAKA	7
2.1 Umum	7
2.2 Profil Baja <i>Castellated Beam</i>	7
2.2.1 Pengertian Profil Baja <i>Castellated Beam</i>	7
2.2.2 Istilah dalam <i>Castellated Beam</i>	8
2.2.3 Tipe – Tipe Pemotongan Profil Baja <i>Castellated Beam</i>	9
2.2.4 Kelebihan dan Kekurangan Profil Baja <i>Castellated Beam</i>	11
2.3 Kolom <i>Concrete Filled Steel Tube</i>	13
2.3.1 Pengertian Kolom <i>Concrete Filled Steel Tube</i>	13
2.3.2 Tipe Kolom <i>Concrete Filled Steel Tube</i>	13
2.3.3 Kelebihan Kolom <i>Concrete Filled Steel Tube</i>	14
2.4 Dinding Geser Plat Baja (<i>Steel Plate Shear Wall</i>).....	14
2.4.1 Pengertian Dinding Geser.....	14
2.4.2 Tipe Dinding Geser	16
2.4.3 Fungsi Dinding Geser <i>Steel Plate Shear Wall</i>	17

2.4.4 Keuntungan dan Kekurangan Steel Plate Shear Wall.....	17
BAB III METODOLOGI	19
3.1 Diagram Alur Perencanaan	19
3.2 Uraian Metodologi Perencanaan	20
3.2.1 Pengumpulan Data	20
3.2.2 Studi Literatur	21
3.2.3 Preliminary Design	22
3.2.4 Pembebanan.....	22
3.2.5 Pemodelan dan Analisa Struktur.....	25
3.2.6 Kontrol Desain.....	25
3.2.6.1 <i>Castellated Beam</i>	25
3.2.6.2 <i>Kolom Concrete Filled Steel Tube</i>	28
3.2.7 Perencanaan Sambungan	30
3.2.8 Perencanaan Pondasi	32
3.2.9 Penggambaran Hasil Perencanaan	35
BAB IV PERENCANAAN STRUKTUR SEKUNDER	37
4.1 Perencanaan Pelat Lantai	37
4.1.1 Perencanaan Pelat Lantai Atap	37
4.1.2 Perencanaan Pelat Lantai Asrama	40
4.2 Perencanaan Balok Anak	42
4.2.1 Perencanaan Balok Anak Lantai Atap (BA 1)	42
4.2.2 Perencanaan Balok Anak Lantai Atap (BA 2)	50
4.2.3 Perencanaan Balok Anak Lantai Asrama (BA 1) .	54
4.2.4 Perencanaan Balok Anak Lantai Asrama (BA 2).	62
4.3 Perencanaan Tangga dan Bordes	66
4.3.1 Perencanaan Tangga.....	66
4.3.2 Perencanaan Bordes	73
4.3.3 Perencanaan Balok Utama Tangga	77
4.3.4 Balok Penumpu Tangga	83
4.4 Perencanaan Balok Lift.....	87

BAB V PEMODELAN STRUKTUR.....	97
5.1 Pemodelan Struktur	97
5.2 Pembebanan Struktur Utama.....	99
5.2.1 Berat Total Bangunan.....	100
5.2.2 Kombinasi Pembebanan	102
5.3 Pembebanan Gempa Dinamis	103
5.3.1 Klasifikasi Tanah	103
5.3.2 Lantai Tingkat Sebagai Diafragma	104
5.3.3 Arah Pembebanan	104
5.3.4 Parameter Respon Spektrum Rencana	104
5.4 Kontrol Desain	108
5.4.1 Kontrol Partisipasi Massa.....	109
5.4.2 Kontrol Waktu Getar Alami Fundamental	110
5.4.3 Kontrol Nilai Akhir Respon Spektrum.....	112
5.4.4 Kontrol Akhir Base Reaction.....	113
5.4.5 Kontrol Batas Simpangan Antar Lantai (Drift).....	118
BAB VI PERENCANAAN STRUKTUR PRIMER.....	121
6.1 Analisis Struktur.....	121
6.2 Perencanaan Struktur Balok	121
6.2.1 Balok Induk (BI 1) Lantai 1-3 Tower H	121
6.2.2 Balok Induk (BI 2) Lantai 1-3 Tower H	128
6.3 Perencanaan Struktur Kolom	132
6.3.1 Kolom 1-3 Tower H.....	132
6.4 Perencanaan Dinding Geser Plat Baja (SPSW).....	137
6.4.1 Desain Dinding Geser Plat Baja	137
6.4.2 Kontrol Desain Balok (HBE)	139
6.4.3 Kontrol Desain Kolom (VBE).....	146
6.5 Rekapitulasi Struktur Primer	151
6.5.1 Balok Induk 1 Tower G dan H	151
6.5.2 Balok Induk 2 Tower G dan H	151
6.5.3 Kolom Tower G dan H.....	151
6.5.4 <i>Steel Plate Shear Wall</i>	151

BAB VII PERENCANAAN SAMBUNGAN	153
7.1 Sambungan Balok Anak dengan Balok Induk.....	153
7.1.1 Balok Anak 1 dengan Balok Induk Lantai Asrama	151
7.1.2 Balok Anak 1 dengan Balok Induk Lantai Atap....	156
7.2 Sambungan Balok Utama Tangga dengan Balok Penumpu Tangga	160
7.3 Sambungan Balok Penumpu Tangga dengan Kolom	164
7.4 Sambungan kolom dengan kolom	167
7.5 Sambungan dinding geser (SPSW).....	168
7.6 Sambungan balok (HBE) dengan kolom (VBE) pada dinding geser plat baja (SPSW).....	169
7.7 Sambungan balok dengan kolom.....	175
7.8 Sambungan Base Plate	179
7.9 Sambungan dinding geser (SPSW) dengan sloof	186
 BAB VIII PERENCANAAN PONDASI	 189
8.1 Desain Tiang Pancang	189
8.2 Desain Tiang Pancang Kolom (P1)	189
8.2.1 Data Perencanaan.....	189
8.2.2 Beban Pada Tiang Pancang	190
8.2.3 Daya Dukung Ijin Satu Tiang	191
8.2.4 Tiang Pancang Kelompok	193
8.3 Desain Tiang Pancang Kolom (P2)	195
8.3.1 Data Perencanaan.....	195
8.3.2 Beban Pada Tiang Pancang	195
8.3.3 Daya Dukung Ijin Satu Tiang	197
8.3.4 Tiang Pancang Kelompok	199
8.4 Desain Tiang Pancang Kolom (P3)	201
8.4.1 Data Perencanaan.....	201
8.4.2 Beban Pada Tiang Pancang	201
8.4.3 Daya Dukung Ijin Satu Tiang	203
8.4.4 Tiang Pancang Kelompok	205
8.5 Perencanaan Poer (P1) Pada Kolom	207
8.5.1 Desain Penulangan Poer Kolom	211
8.6 Perencanaan Poer (P2) Pada Kolom	214

8.6.1 Desain Penulangan Poer Kolom	218
8.7 Perencanaan Poer (P3) Pada Kolom	222
8.7.1 Desain Penulangan Poer Kolom	226
8.8 Perencanaan Kolom Pedestal	229
8.9 Perencanaan Sloof Pondasi	231
8.9.1 Penulangan Geser Sloof	235
BAB XI PENUTUP	237
9.1 Kesimpulan	237
9.2 Saran	238
DAFTAR PUSTAKA	
LAMPIRAN	

“Halaman ini sengaja dikosongkan”

DAFTAR GAMBAR

Gambar 2.1	Profil Baja <i>Castellated Beam</i>	8
Gambar 2.2	Komponen <i>Castellated Beam</i>	9
Gambar 2.3	<i>Beam Ends Left Ragged</i>	10
Gambar 2.4	<i>Beam Ends Left Ragged, U > T</i>	10
Gambar 2.5	<i>Beam Ends Finished, U = T</i>	11
Gambar 2.6	<i>Beam Ends Finished With Infill Plates, U > T</i>	11
Gambar 2.7	Penampang Kolom Komposit.....	13
Gambar 2.8	Dinding Geser Plat Baja.....	15
Gambar 2.9	Tipe Dinding Geser Plat Baja.....	16
Gambar 3.1	Diagram Alir Perencanaan Tugas Akhir	19
Gambar 4.1	Pelat Lantai Atap	37
Gambar 4.2	Penulangan Bondek Atap	39
Gambar 4.3	Pelat Lantai Asrama.....	40
Gambar 4.4	Penulangan Bondek Asrama.....	42
Gambar 4.5	Denah Pembebanan Balok Lantai Atap (BA 1)	43
Gambar 4.6	Detail Potongan <i>Castellated Beam</i>	44
Gambar 4.7	Denah Pembebanan Balok Lantai Atap (BA 2)	51
Gambar 4.8	Denah Pembebanan Balok Lantai Asrama (BA 1)	55
Gambar 4.9	Detail Potongan <i>Castellated Beam</i>	56
Gambar 4.10	Denah Pembebanan Balok Lantai Asrama (BA 2)	63
Gambar 4.11	Denah Tangga Utama.....	67
Gambar 4.12	Pelat Anak Tangga.....	68
Gambar 4.13	Sketsa Pembebanan Pengaku Anak Tangga	70
Gambar 4.14	Denah Bordes	73
Gambar 4.15	Model Pembebanan Balok Utama Tangga	79
Gambar 4.16	Pemodelan Pembebanan Pada SAP	79
Gambar 4.17	Bidang M Balok Tangga	79
Gambar 4.18	Bidang Geser Balok Tangga.....	80

Gambar 4.19	Bidang Aksial Balok Tangga.....	80
Gambar 4.20	Pembebanan Balok Penumpu Tangga.....	84
Gambar 4.21	Bidang M Balok Penumpu Tangga.....	84
Gambar 4.22	Bidang Geser Balok Penumpu Tangga	84
Gambar 4.23	Posisi M_a , M_b , M_c Balok Penumpu Tangga	86
Gambar 4.24	Denah <i>Lift</i>	88
Gambar 4.25	Potongan Melintang <i>Lift</i>	89
Gambar 4.26	Model Pembebanan Balok Penggantungan <i>Lift</i>	90
Gambar 5.1	Denah Struktur Modifikasi Gedung Asrama President University	97
Gambar 5.2	Model 3 Dimensi Struktur Gedung Asrama President University Tower G	98
Gambar 5.3	Model 3 Dimensi Struktur Gedung Asrama President University Tower H	99
Gambar 5.4	Grafik Spektrum Percepatan Gempa Wilayah Cikarang	108
Gambar 6.1	Detail Potongan <i>Castellated Beam</i>	122
Gambar 6.2	Penampang Kolom Komposit CFT dengan Profil HSS $800 \times 800 \times 25 \times 25$	132
Gambar 7.1	Sambungan Balok Anak 1 dengan Balok Induk Lantai Asrama.....	156
Gambar 7.2	Sambungan Balok Anak 1 dengan Balok Induk Lantai Atap	160
Gambar 7.3	Sambungan Balok Utama Tangga dengan Balok Penumpu Tangga	163
Gambar 7.4	Sambungan Balok Penumpu Tangga dengan Kolom	166
Gambar 7.5	Sambungan Kolom dengan Kolom	168
Gambar 7.6	Sambungan SPSW dengan Kolom.....	169
Gambar 7.7	Sambungan HBE dengan VBE pada Dinding Geser	170
Gambar 7.8	Sambungan Balok dengan Kolom	175

Gambar 7.9	Sambungan Las pada <i>Base Plate</i>	180
Gambar 7.10	Arah Beban Sumbu X pada <i>Base Plate</i>	182
Gambar 7.11	Tampak Samping Sambungan <i>Base Plate</i> dengan Kolom dan Pedestal	185
Gambar 7.12	Tampak Atas Sambungan <i>Base Plate</i> dengan Kolom dan Pedestal	185
Gambar 7.13	Sambungan SPSW dengan Sloof.....	186
Gambar 8.1	Letak Pondasi Kolom Yang Ditinjau	190
Gambar 8.2	Posisi Tiang Pancang Kolom P1.....	193
Gambar 8.3	Letak Pondasi Kolom Yang Ditinjau	196
Gambar 8.4	Posisi Tiang Pancang Kolom P2.....	199
Gambar 8.5	Letak Pondasi Kolom Yang Ditinjau	202
Gambar 8.6	Posisi Tiang Pancang Kolom P3.....	205
Gambar 8.7	Geser Ponds Akibat Kolom.....	208
Gambar 8.8	Geser Ponds Akibat Pancang.....	210
Gambar 8.9	Mekanika Beban Poer Kolom Arah X	213
Gambar 8.10	Geser Ponds Akibat Kolom.....	215
Gambar 8.11	Geser Ponds Akibat Pancang.....	217
Gambar 8.12	Mekanika Beban Poer Kolom Arah X	219
Gambar 8.13	Mekanika Beban Poer Kolom Arah Y	221
Gambar 8.14	Geser Ponds Akibat Kolom.....	223
Gambar 8.15	Geser Ponds Akibat Pancang.....	225
Gambar 8.16	Mekanika Beban Poer Kolom Arah Y	228
Gambar 8.17	Hasil Analisis Kolom Pedestal dengan Program PCAColumn	230
Gambar 8.18	Penulangan Kolom Pedestal.....	231
Gambar 8.19	Letak Sloof yang Ditinjau	232
Gambar 8.20	Diagram Interaksi Sloof 40/60	234
Gambar 8.21	Detail Sloof 400 x 600	236

“Halaman ini sengaja dikosongkan”

DAFTAR TABEL

Tabel 5.1	Rekapitulasi Berat Bangunan.....	101
Tabel 5.2	Nilai \tilde{N} untuk Penentuan Jenis Tanah	103
Tabel 5.3	Nilai T dan Sa	107
Tabel 5.4	Rasio Partisipasi Massa Tower G	109
Tabel 5.5	Rasio Partisipasi Massa Tower H	110
Tabel 5.6	Perioda dan Frekuensi Struktur Tower G	111
Tabel 5.7	Perioda dan Frekuensi Struktur Tower H	112
Tabel 5.8	Gaya Geser Dasar Akibat Beban Gempa	114
Tabel 5.9	Gaya Geser Dasar Akibat Beban Gempa Dikali Faktor Skala	115
Tabel 5.10	Gaya Geser Dasar Akibat Beban Gempa	116
Tabel 5.11	Gaya Geser Dasar Akibat Beban Gempa Dikali Faktor Skala	117
Tabel 5.12	Kontrol Simpangan Antar Lantai Akibat Beban Gempa Arah -X Tower G.....	119
Tabel 5.13	Kontrol Simpangan Antar Lantai Akibat Beban Gempa Arah -Y Tower G.....	119
Tabel 5.14	Kontrol Simpangan Antar Lantai Akibat Beban Gempa Arah -X Tower H.....	120
Tabel 5.15	Kontrol Simpangan Antar Lantai Akibat Beban Gempa Arah -Y Tower H.....	120
Tabel 8.1	Reaksi Kolom P1	190
Tabel 8.2	Jarak Tiang Pancang Kolom P1	194
Tabel 8.3	Reaksi Kolom P2	196
Tabel 8.4	Jarak Tiang Pancang Kolom P2	200
Tabel 8.5	Reaksi Kolom 4J	202
Tabel 8.6	Reaksi Kolom 4K.....	202
Tabel 8.7	Jarak Tiang Pancang Kolom P3	206

“Halaman ini sengaja dikosongkan”

DAFTAR LAMPIRAN

- Lampiran 1 Denah Lantai Dasar Gedung G dan H
- Lampiran 2 Denah Lantai 1-9 Gedung G dan H
- Lampiran 3 Denah Lantai Atap Gedung G dan H
- Lampiran 4 Denah Pondasi dan Sloof Gedung G dan H
- Lampiran 5 Denah Kolom dan Balok Lt. 1-3 Gedung G dan H
- Lampiran 6 Denah Kolom dan Balok Lt.4-6 Gedung G dan H
- Lampiran 7 Denah Kolom dan Balok Lt.7-9 Gedung G dan H
- Lampiran 8 Denah Kolom dan Balok Lt. Atap Gedung G dan H
- Lampiran 9 Penulangan Pelat Lantai Atap
- Lampiran 10 Penulangan Pelat Lantai Atap
- Lampiran 11 Potongan A Gedung G
- Lampiran 12 Potongan B Gedung G dan H
- Lampiran 13 Tangga Utama
- Lampiran 14 Sambungan Tangga
- Lampiran 15 Sambungan Balok Induk dengan Balok Anak
- Lampiran 16 Sambungan Kolom dengan Kolom
- Lampiran 17 Sambungan SPSW dengan Kolom
- Lampiran 18 Sambungan HBE dengan VBE Pada SPSW
- Lampiran 19 Sambungan Balok dengan Kolom
- Lampiran 20 Sambungan Kolom dengan Baseplate
- Lampiran 21 Sambungan SPSW dengan Sloof
- Lampiran 22 Detail Pondasi P1
- Lampiran 23 Detail Pondasi P2
- Lampiran 24 Detail Pondasi P3
- Lampiran 25 Potongan Pondasi P3
- Lampiran 26 Data Tanah
- Lampiran 27 Data Bondek
- Lampiran 28 Data Lift
- Lampiran 29 Data Tiang Pancang

BAB I PENDAHULUAN

1.1 Latar Belakang

President University merupakan perguruan tinggi swasta yang terletak di Jl. Ki Hajar Dewantara, Kota Jababeka, Cikarang Baru, Bekasi. Kampus ini menggunakan sistem *student boarding house* dimana para mahasiswanya harus tinggal di asrama kampus untuk tahun pertama. Asrama President University umumnya terdiri dari 4 hingga 10 lantai. Namun hingga saat ini jumlah asrama President University masih belum sebanding dengan jumlah mahasiswanya. Untuk mengatasi masalah tersebut diperlukan pembangunan asrama baru.

Banyak metode struktur yang dapat kita gunakan dalam merencanakan gedung seperti beton *cast in situ* (konvensional), pracetak, dan struktur baja. Setiap metode memiliki kelebihan dan kekurangannya masing-masing. Asrama President University sebelumnya menggunakan struktur beton bertulang. Untuk perencanaan gedung baru, dilakukan modifikasi ulang dengan menggunakan struktur baja 10 lantai. Struktur baja dipilih karena memiliki beberapa keunggulan, antara lain:

1. Mempunyai kekuatan yang tinggi, sehingga dapat mengurangi ukuran struktur serta mengurangi pula berat sendiri dari struktur. Hal ini cukup menguntungkan bagi struktur-struktur jembatan yang panjang, gedung yang tinggi atau juga bangunan-bangunan yang berada pada kondisi tanah yang buruk.
2. Keceragaman dan keawetan yang tinggi, tidak seperti halnya material beton bertulang yang terdiri dari berbagai macam bahan penyusun, material baja jauh lebih seragam/homogen serta mempunyai tingkat keawetan yang jauh lebih tinggi jika prosedur perawatan dilakukan secara semestinya.
3. Sifat elastis, baja mempunyai perilaku yang cukup dekat dengan asumsi-asumsi yang digunakan untuk melakukan

analisa, sebab baja dapat berperilaku elastis hingga tegangan yang cukup tinggi mengikuti Hukum Hooke. Momen Inersia dari suatu profil baja juga dapat dihitung dengan pasti sehingga memudahkan dalam proses analisa struktur.

4. Daktilitas baja cukup tinggi, karena suatu batang baja yang menerima tegangan tarik yang tinggi akan mengalami regangan tarik cukup besar sebelum terjadi keruntuhan.
5. Beberapa keuntungan lain pemakaian baja sebagai material konstruksi adalah kemudahan penyambungan antar elemen yang satu dengan lainnya menggunakan alat sambung las atau baut. Pembuatan baja melalui proses gilas panas mengakibatkan baja menjadi mudah dibentuk menjadi penampang-penampang yang diinginkan. Kecepatan pelaksanaan konstruksi baja juga menjadi suatu keunggulan material baja. (Setiawan, 2008)

Selain keuntungan-keuntungan yang disebutkan tersebut, material baja juga memiliki beberapa kekurangan, terutama dari sisi pemeliharaan. Konstruksi baja yang berhubungan langsung dengan udara atau air, secara periodik harus dicat. Perlindungan terhadap bahaya kebakaran juga harus menjadi perhatian yang serius, sebab material baja akan mengalami penurunan kekuatan secara drastis akibat kenaikan temperatur yang cukup tinggi, di samping itu baja juga merupakan konduktor panas yang baik, sehingga nyala api dalam suatu bangunan justru dapat menyebar dengan lebih cepat. Kelemahan dari struktur baja adalah masalah tekuk yang merupakan fungsi dari kelangsingan suatu penampang. (Setiawan, 2008).

Perencanaan gedung asrama President University ini menggunakan sistem struktur *steel plate shear wall*. Sistem struktur ini terdiri dari baja tipis dengan dua kolom dan dua balok lantai horizontal yang digunakan sebagai penahan beban lateral untuk bangunan tahan gempa. (Suryani, 2012). Dinding geser pelat baja (SPSW) telah dikenal sebagai sistem yang efektif untuk

menahan beban lateral dan telah dilaksanakan di banyak bangunan untuk menahan beban gempa. (Purba dan Bruneau, 2015).

Pada struktur balok kebanyakan struktur bangunan konstruksi baja menggunakan profil baja solid. Profil ini sudah digunakan sejak awal perkembangan era struktur baja. Seiring dengan perkembangannya dan mulai ditemukannya *castellated beam*, penggunaan profil baja mulai lebih beragam. Tetapi dibandingkan dengan profil baja solid, profil *castellated* bisa menjadi solusi praktis dalam pengerjaan konstruksi, karena karakteristiknya yang cukup menguntungkan. (Malada, 2012).

Untuk struktur kolom baja, stabilitas lokal dan global mencegah tabung baja kosong mengembang dengan kekuatan penuh merupakan hal yang perlu diperhatikan. Untuk mengatasi hal tersebut penggunaan kolom komposit merupakan solusi yang disarankan. Ada berbagai macam jenis kolom komposit dari berbagai penampang, tetapi yang paling umum digunakan dan dipelajari adalah tabung baja berintikan beton. *Concrete filled steel tube* (CFT) dibentuk dengan mengisi tabung baja dengan beton. Hal ini juga diketahui bahwa tabung baja berintikan beton (CFT) saat ini semakin digunakan dalam konstruksi bangunan karena memiliki sifat statis dan tahan gempa yang sangat baik, seperti kekuatan tinggi, daktilitas tinggi, kapasitas penyerapan energi yang besar, kekakuan lentur, dan lain-lain. (Darshika, 2014).

Dalam laporan tugas akhir ini, akan dibahas tentang perencanaan gedung asrama menggunakan sistem struktur *steel plate shear wall* dengan *castellated beam*, dan kolom *concrete filled steel tube* untuk gedung 10 lantai. Pada akhirnya perencanaan ini diharapkan akan bermanfaat untuk menambah referensi bagi perencana yang berminat menggunakan material baja *castellated beam* dan kolom *concrete filled steel tube*.

1.2 Perumusan Masalah

Permasalahan yang ditinjau dalam modifikasi “Struktur Gedung Asrama President University Cikarang Menggunakan *Hexagonal Castellated Beam* Dan Kolom *Concrete Filled Steel Tube*” antara lain:

1. Bagaimana merencanakan struktur sekunder yang meliputi pelat bondek, balok anak *castellated*, lift, dan tangga?
2. Bagaimana menghitung pembebanan struktur gedung menggunakan *castellated beam*, kolom baja *concrete filled steel tube (CFT)*, serta sistem struktur *steel plate shear wall*?
3. Bagaimana permodelan struktur gedung menggunakan *castellated beam*, kolom baja *concrete filled steel tube (CFT)*, dan sistem struktur *steel plate shear wall* serta analisa struktur dengan program bantu SAP 2000?
4. Bagaimana hasil perencanaan terhadap profil yang digunakan untuk struktur sekunder dan struktur utama?
5. Bagaimana merencanakan pondasi struktur bangunan gedung?
6. Bagaimana output gambar struktur gedung asrama menggunakan *castellated beam*, kolom baja *concrete filled steel tube (CFT)*, serta sistem struktur *steel plate shear wall*?

1.3 Tujuan Perencanaan

Adapun tujuan yang ditinjau modifikasi “Struktur Gedung Asrama President University Cikarang Menggunakan *Hexagonal Castellated Beam* Dan Kolom *Concrete Filled Steel Tube*” antara lain:

1. Menghitung struktur sekunder yang meliputi pelat bondek, balok anak *castellated*, lift, dan tangga.

2. Menghitung pembebanan struktur menggunakan *castellated beam*, kolom baja *concrete filled steel tube (CFT)*, serta sistem struktur *steel plate shear wall*.
3. Membuat permodelan dan melakukan analisa struktur *castellated beam*, kolom baja *concrete filled steel tube (CFT)*, dan sistem struktur *steel plate shear wall* menggunakan program bantu SAP 2000.
4. Mendapatkan hasil perencanaan berupa ukuran profil-profil yang digunakan pada struktur portal utama dan struktur sekunder.
5. Merencanakan pondasi struktur bangunan gedung.
6. Menuangkan hasil perencanaan ke dalam gambar teknik, meliputi struktur utama dan sekunder.

1.4 Batasan Masalah

Pada perencanaan modifikasi ini, penulis membatasi masalah meliputi:

1. Perencanaan struktur utama meliputi balok induk dan kolom, dan struktur sekunder meliputi pelat lantai, balok anak, tangga, *lift*, dan pondasi.
2. Tidak meninjau dari segi metode pelaksanaan, analisa biaya, arsitektural, dan manajemen konstruksi.
3. Pemodelan dan analisa struktur dilakukan dengan program bantu SAP 2000.

1.5 Manfaat Perencanaan

Manfaat yang bisa didapatkan dari modifikasi perencanaan ini adalah:

1. Dapat merencanakan struktur baja 10 lantai yang memenuhi persyaratan keamanan struktur.
2. Dari perencanaan ini bisa diketahui hal-hal yang harus diperhatikan pada saat perencanaan sehingga kegagalan struktur bisa diminimalisi.

“Halaman ini sengaja dikosongkan”

BAB II

TINJAUAN PUSTAKA

2.1 Umum

Menurut Knowles (1991) profil *castellated* adalah suatu spesifikasi profil yang ditingkatkan kekuatan komponennya dengan memperpanjang ke arah satu sama lain dan dilas sepanjang pola. *Castellated beam* ini mempunyai tinggi (h) hampir 50% lebih panjang dari profil awal sehingga meningkatkan nilai lentur axial, momen inersia (I_x), dan seksion modulus (S_x) (Ismail, Fahmy, dan Tawfik 2014)

Sekarang struktur baja komposit semakin banyak dijumpai dan dipakai dalam rekayasa struktur. Pada beton bertulang gaya-gaya tarik yang dialami suatu elemen struktur dipikul oleh besi tulangan tapi pada baja komposit gaya-gaya tarik yang dialami suatu elemen struktur dipikul oleh profil baja. Struktur baja komposit ternyata lebih efektif dalam meningkatkan kapasitas pemikul beban, kekakuan, penghematan berat baja, dan panjang bentang untuk batang tertentu dapat lebih besar (Salmon dan Johnson 1996).

Dinding geser plat baja (SPSW) adalah sistem penahan gaya lateral yang efektif digunakan untuk melawan angin atau beban gempa pada bangunan (Bruneau dan Sabelli 2006). Untuk bangunan tinggi tahan gempa umumnya gaya-gaya lateral yang dibebani pada kolom cukup besar sehingga perlu menggunakan elemen-elemen struktur kaku berupa dinding geser untuk menahan gaya geser yang timbul akibat beban gempa. Dengan adanya dinding geser yang kaku pada bangunan, maka beban gempa akan terserap oleh dinding geser tersebut (Widodo, Pah, dan Ninggeding 2013).

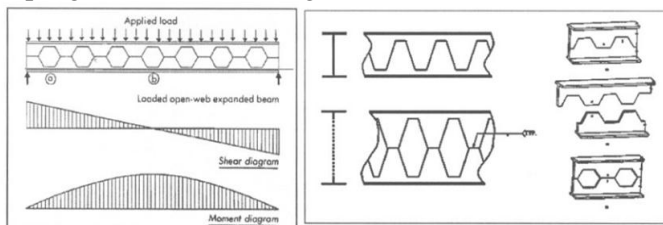
2.2 Profil Baja *Castellated Beam*

2.2.1 Pengertian Profil Baja *Castellated Beam*

Profil baja *castellated* adalah profil baja I, H, atau U yang pada bagian badannya dipotong memanjang dengan pola zig-zag.

Kemudian bentuk dasar baja diubah dengan cara menggeser atau membalik setengah bagian profil baja yang telah dipotong. Penyambungan setengah bagian profil dengan cara dilas pada bagian ‘gigi-gigi’nya. Sehingga terbentuk profil baru dengan lubang berbentuk segi enam (*hexagonal*), segi delapan (*octogonal*), dan lingkaran (*circular*) (Amayreh dan Saka 2005).

Pada balok profil I atau WF, bagian sayap pada profil memegang peranan yang sangat penting dalam menahan tegangan lentur sehingga kehilangan luas pada badan akibat lubang tidak terlalu berpengaruh, sepanjang momen masih diperhitungkan. Bagaimanapun tegangan geser yang harus diperhitungkan pada lubang badan yang ada. Pada bagian lubang badan, dua buah profil T seolah-olah bekerja sebagai bagian yang menahan gaya geser vertikal. Pada titik b (Gambar 2.1), gaya geser minimum sehingga hanya memberikan sedikit efek pada kekuatan balok. Pada titik a yang berada dekat dengan perletakan, gaya geser yang dihasilkan cukup besar, sehingga tegangan yang dihasilkan dari beban pada balok harus dihitung berdasarkan penampang T karena berlubang (Adhibaswara, 2011)



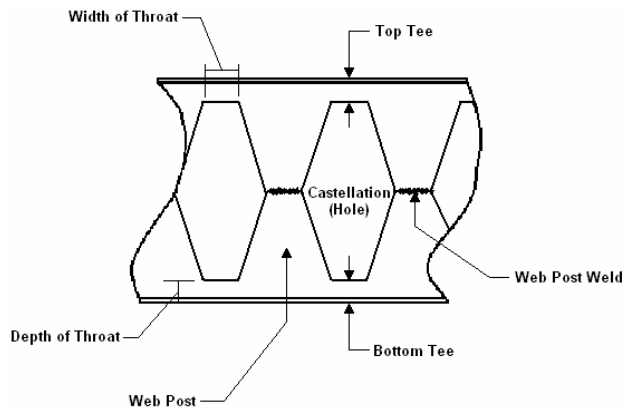
Gambar 2.1 Profil Baja *Castellated Beam*
 Sumber: Blodgett (1996) dalam Adhibaswara (2011)

2.2.2 Istilah dalam *Castellated Beam*

Berbagai istilah berikut ini merupakan bagian dari profil *castellated beam* (Gambar 2.2), yaitu:

- a. *Web post* : area solid pada *castelated beam*
- b. *Castellation* : lubang pada profil *castellated beam*

- c. *Throat width* : panjang “gigi” potongan secara horizontal
- d. *Throat depth* : tinggi bagian solid dari plat badan, diukur dari bagian terluar lubang hingga ke sayap profil
- e. *Expansion percentage* : presentase perubahan tinggi penampang dari profil asli menjadi profil *castellated*



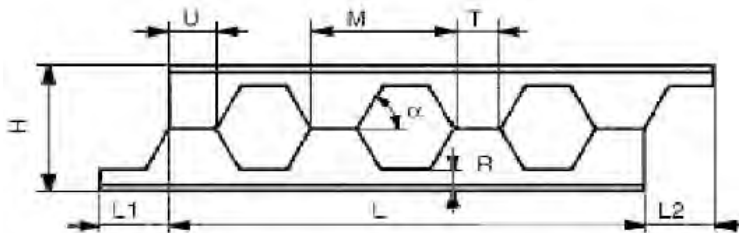
Gambar 2.2 Komponen *Castellated Beam*
 Sumber: Bradley (2003)

2.2.3 Tipe – Tipe Pemotongan Profil Baja *Castellated Beam*

Ada 4 (empat) tipe pemotongan balok berdasarkan dimensi U dan T (Grunbauer, 2001)

1. *Beam ends left ragged*, $U = T$

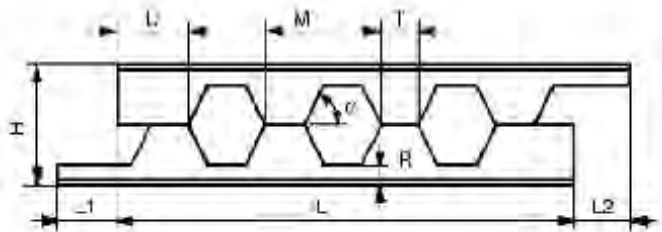
Pada Gambar 2.3 tipe *castellated beam* ini mengandalkan pemotongan yang mudah, sederhana dan mudah dalam desainnya, tetapi kurang baik digunakan.



Gambar 2.3 *Beam Ends Left Ragged*
 Sumber: Grunbauer (2001)

2. *Beam ends left ragged, $U > T$*

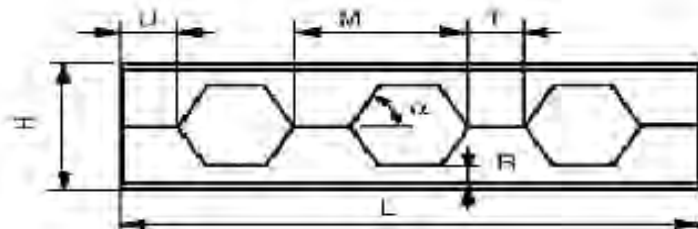
Seperti pada Gambar 2.4 tipe pemotongan *castellated beam* jenis ini menghasilkan ujung potongan yang panjang tetapi tidak efektif.



Gambar 2.4 *Beam Ends Left Ragged, $U > T$*
 Sumber: Grunbauer (2001)

3. *Beam ends finished, $U = T$*

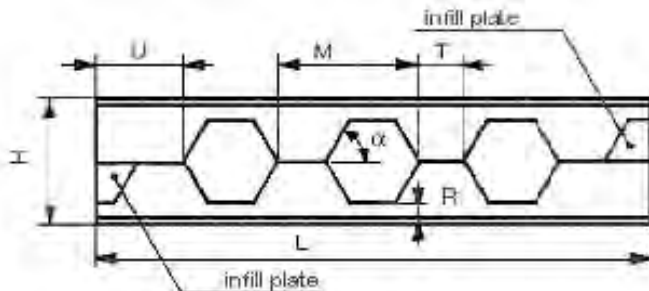
Pada Gambar 2.5 merupakan tipe pemotongan *castellated beam* yang menghasilkan pemotongan yang baik atau rapi serta dapat menghemat material sehingga tidak banyak bahan yang terbuang. Tipe pemotongan ini yang umum digunakan pada pelaksanaan konstruksi *castellated beam*.



Gambar 2.5 *Beam Ends Finished*, $U = T$
 Sumber: Grunbauer (2001)

4. *Beam ends finished with infill plates*, $U > T$

Pada pemotongan tipe seperti Gambar 2.6 profil dapat menjadi kuat dan kaku, namun biaya akan mahal karena adanya penambahan plat.



Gambar 2.6 *Beam Ends Finished With Infill Plates*, $U > T$
 Sumber: Grunbauer (2001)

2.2.4 Kelebihan dan Kekurangan Profil Baja *Castellated Beam*

Ada beberapa keuntungan dari profil *castellated*, yaitu :

1. Dengan lebar profil yang lebih tinggi (d_g), menghasilkan momen inersia dan modulus section yang lebih besar sehingga lebih kuat dan kaku bila

- dibandingkan dengan profil asalnya (Megharief 1997 dan Grunbauer 2001).
2. Mampu memikul momen lebih besar dengan tegangan ijin yang lebih kecil (Megharief 1997 dan Grunbauer 2001).
 3. Bahan ringan, kuat serta mudah dipasang (Megharief 1997 dan Grunbauer 2001).
 4. Profil *Castellated Beam* ini juga cocok untuk bentang panjang (untuk penggunaan *Castellated Beam* pada atap dapat mencapai 10 – 50 m dan bila digunakan sebagai plat 12– 25 m). Sehingga dapat mengurangi jumlah kolom dan pondasi, serta mengurangi biaya *erection* (pengangkatan) (Dougherty 1993).
 5. Dapat digunakan untuk gedung tingkat tinggi, bangunan perindustrian (Amayreh dan Saka 2005).

Adapun kekurangan dari profil *castellated*, yaitu :

1. *Castellated Beam* kurang tahan api. Sehingga harus ditambah dengan lapisan tahan api (fire proofing) 20% lebih tebal agar mencapai ketahanan yang sama dengan profil awalnya (Grunbauer, 2001).
2. Kurang kuat menerima gaya lateral, sehingga perlu diberi satu atau lebih plat pada ujung-ujung (dekat dengan pertemuan balok-kolom) (Grunbauer 2001).
3. Pada ujung-ujung bentang (di sudut-sudut profil) terjadi peningkatan pemusatan tegangan (stress concentrations) (Amayreh dan Saka 2005).
4. *Castellated Beam* tidak sesuai untuk bentang pendek dengan beban yang cukup berat (Amayreh dan Saka 2005).
5. Analisa dari defleksi lebih rumit daripada balok solid (Amayreh dan Saka 2005).

2.3 Kolom *Concrete Filled Steel Tube*

2.3.1 Pengertian Kolom *Concrete Filled Steel Tube*

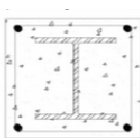
Kolom *concrete filled steel tube* (CFT) merupakan kolom dengan tabung baja berintikan beton. Kolom CFT tidak hanya meningkatkan kekuatan tapi juga nilai ekonomi serta pelaksanaan yang lebih cepat (Zeghichea dan Chaoui 2005). Saat ini kolom tabung baja berintikan beton (CFT) semakin banyak digunakan dalam konstruksi bangunan karena memiliki sifat statis dan tahan gempa yang sangat baik, seperti kekuatan tinggi, daktilitas tinggi, kapasitas penyerapan energi yang besar, kekakuan lentur, dan lain-lain. (Darshika, 2014).

2.3.2 Tipe Kolom *Concrete Filled Steel Tube*

Kolom komposit didefinisikan sebagai kolom baja yang dibuat dari potongan baja giling (*rolled*) *built-up* dan di cor didalam beton struktural atau terbuat dari tabung atau pipa baja dan diisi dengan beton struktural (Salmon & Jonson, 1996).

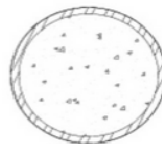
Ada dua kolom tipe komposit, yaitu:

1. Kolom komposit yang terbuat dari profil baja yang diberi selubung beton di sekelilingnya (kolom baja berselubung beton), seperti Gambar 2.7 (a) (Husada, 2013).
2. Kolom komposit terbuat dari penampang baja berongga (kolom baja berintikan beton), seperti Gambar 2.7(b),(c) (Husada, 2013).



(a)

Profil Baja Dibungkus Beton



(b)

Concrete Filled Steel Tube



(c)

Gambar 2.7 Penampang Kolom Komposit

Sumber: Husada (2013)

2.3.3 Kelebihan Kolom *Concrete Filled Steel Tube*

Kolom *CFT* mempunyai beberapa keuntungan dari pada baja dan beton yang dipisah. Berikut merupakan keuntungan utamanya adalah sebagai berikut :

1. Interaksi antara pipa baja dan beton (Morino et al, 2001):
 - a. Peristiwa tekuk lokal dari pipa baja akan lambat, dan pengurangan kekuatan akibat tekuk lokal akan ditahan oleh beton.
 - b. Kekuatan beton akan bertambah akibat penggabungan dengan pipa baja.
 - c. Penyusutan dan retak dari beton akan jauh lebih kecil dari beton bertulang.
2. Penampang (Morino et al, 2001):
 - a. Rasio baja dari *CFT* jauh lebih banyak dari beton bertulang.
 - b. Baja dari penampang *CFT* berperilaku plastis dengan baik saat tertekuk karena baja di penampang terluar.
3. Efisiensi Konstruksi (Morino et al, 2001):
 - a. Tidak memerlukan tulangan dan bekisting sehingga tidak memerlukan banyak tenaga manusia dan menghemat biaya konstruksi.
 - b. Tempat konstruksi tetap terjaga bersih
4. Tahan Kebakaran (Morino et al, 2001):
 - a. Beton meningkatkan performa anti kebakaran yang dapat mengurangi jumlah bahan tahan api.

2.4 Dinding Geser Plat Baja (*Steel Plate Shear Wall*)

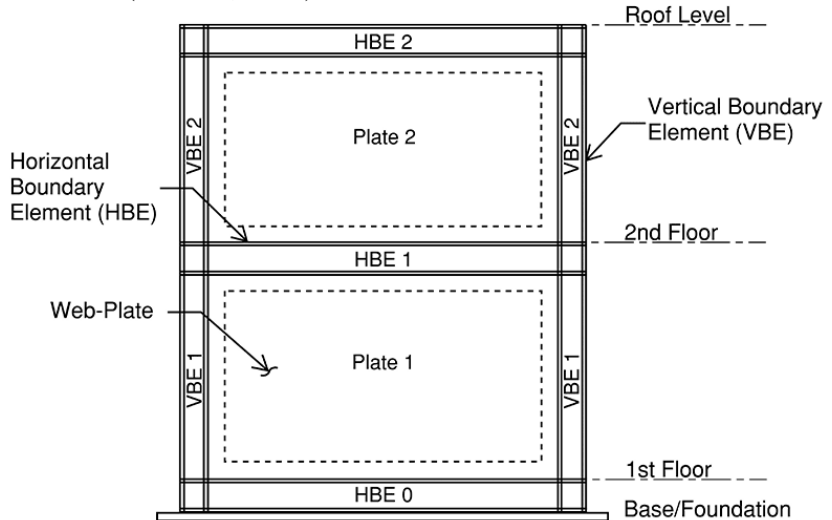
2.4.1 Pengertian Dinding Geser

Dinding geser merupakan dinding yang dirancang untuk menahan gaya lateral akibat gempa bumi. Dinding geser yang efektif adalah yang bersifat kaku dan kuat. Dalam struktur bertingkat, dinding geser sangat penting karena selain untuk mencegah kegagalan dinding eksterior, dinding geser juga mendukung beberapa lantai gedung dan memastikan bahwa

struktur tidak runtuh akibat gerakan lateral akibat gempa bumi (Suryani,2012).

Dinding geser tidak hanya terbuat dari material beton saja tetapi dewasa ini sudah berkembang dinding geser yang terbuat dari plat baja. Kedua jenis dinding geser ini memiliki karakter dan sifat yang berbeda dan hanya diterapkan pada struktur yang sama dengan material masing-masing. Dinding geser plat baja atau *steel plate shear wall* terdiri dari baja tipis dengan dua kolom dan dua balok lantai horisontal (Suryani,2012).

Fungsi utama dari Dinding Geser Pelat Baja adalah untuk menahan gaya geser horisontal dan momen guling akibat beban lateral. Secara umum, dinding geser pelat baja terdiri dari pelat dinding baja, dua batas kolom dan balok lantai horisontal seperti terlihat pada gambar 2.8. Secara bersama, pelat dinding baja dan elemen pembatas bekerja seperti plate girder vertikal. Kolom bertindak sebagai sayap plate girder vertikal, pelat dinding baja sebagai elemen web, sedangkan balok sebagai penransfer kekakuan. (Astaneh, 2000)



Gambar 2.8 Dinding Geser Plat Baja

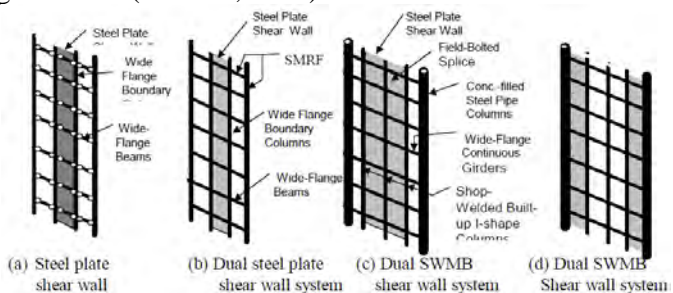
Sumber: Astaneh (2000)

Kerangka bangunan yaitu elemen batas Dinding Geser Pelat Baja, harus didesain untuk mampu menahan beban gravitasi dimana kontribusi dari panel Dinding Geser Pelat Baja diabaikan. Ini adalah faktor penting yang dilakukan untuk meyakinkan kerangka bangunan mempunyai cukup kapasitas untuk mendukung beban gravitasi selama peristiwa gempa, dimana selama itu juga pelat baja mengalami tekuk (buckling) akibat perkembangan dari aksi tarik diagonal. (Bruneau dkk, 2005).

Pada struktur rangka Dinding Geser Pelat Baja berdinding pelat baja, pelelehan direncanakan terjadi pada dinding baja melalui mekanisme tarik pada dinding baja, yang sekaligus mengalami tekuk yang terkendali oleh adanya aksi tarik pada dinding baja tersebut, yang dimodelkan dengan gaya tarik dalam arah diagonal. (Moestopo, 2007)

2.4.2 Tipe Dinding Geser

Dinding geser merupakan suatu dinding struktur yang sangat berguna dalam gedung tingkat tinggi. Dalam struktur dinding geser plat baja (*steel plate shear wall*) mempunyai bentuk-bentuk dan variasi yang berbeda-beda, dimana dimensi dari dinding geser dipengaruhi besarnya gaya lateral yang diterima oleh dinding geser tersebut. Adapun macam bentuk bagian dinding geser yang umum dan sering digunakan dalam gedung bertingkat adalah sebagai berikut (Astaneh, 2000) :



Gambar 2.9 Tipe Dinding Geser Plat Baja
Sumber: Astaneh (2000)

2.4.3 Fungsi Dinding Geser *Steel Plate Shear Wall*

Fungsi dinding geser ada dua, yaitu kekuatan dan kekakuan :

1. Kekuatan
 - a. Dinding geser harus memberikan kekuatan lateral yang diperlukan untuk melawan kekuatan gempa horizontal.
 - b. Ketika dinding geser cukup kuat, mereka akan mentransfer gaya horizontal ini ke elemen berikutnya dalam jalur beban dibawah mereka seperti dinding geser lainnya, lantai, pondasi, dll.
2. Kekakuan
 - a. Dinding geser juga memberikan kekakuan lateral untuk mencegah atap atau lantai di atas dari sisi goyangan yang berlebihan.
 - b. Ketika dinding geser cukup kaku, akan mencegah membengkok lantai dan atap dari bergerak untuk mendukungnya.
Bangunan yang cukup kaku biasanya kerusakan yang terjadi nonstruktural.

2.4.4 Keuntungan dan Kekurangan *Steel Plate Shear Wall*

Pada *steel plate shear wall* terdapat keuntungan dalam penggunaannya (Setiawan, 2008), seperti:

1. Mempunyai kekuatan tinggi sehingga dapat mengurangi ukuran struktur serta mengurangi pula berat sendiri dari struktur tersebut.
2. Keseragaman dan keawetan yang tinggi, tidak seperti halnya material beton bertulang terdiri dari berbagai macam bahan penyusun.
3. Memiliki sifat yang lebih elastis.
4. Daktilitas baja cukup tinggi.
5. Kemudahan penyambungan antar elemen baja satu dengan lainnya.

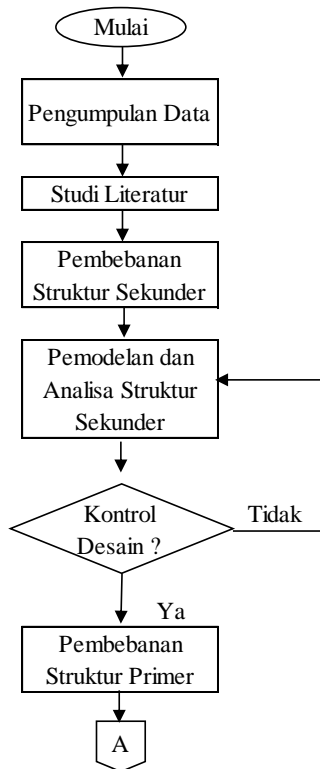
Pada *steel plate shear wall* terdapat kekurangan dalam penggunaannya (Setiawan, 2008), seperti:

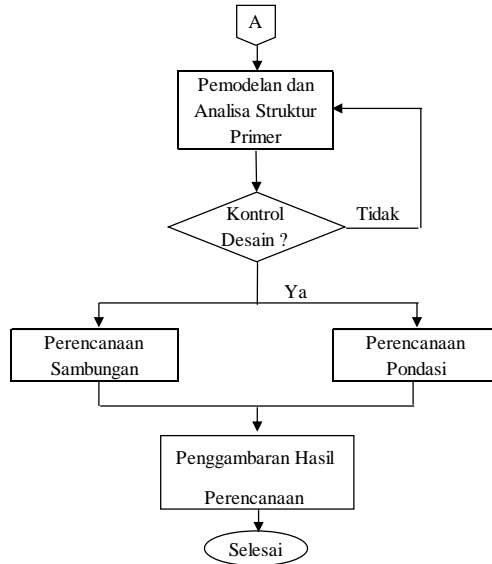
1. Umumnya material baja rentan terhadap korosi jika terjadi kontak dengan udara dan air sehingga perlu dicat secara periodik.
2. Tidak tahan api karena baja suhu tinggi akan meleleh.
3. Rentan terhadap tekuk dan kekuatan baja akan menurun jika mendapat beban siklis sehingga dalam perancangan perlu dilakukan pengurangan kekuatan jika pada elemen struktur akan terjadi beban siklis.

BAB III METODOLOGI

3.1 Diagram Alur Perencanaan

Metodologi ini akan menguraikan serta menjelaskan secara rinci penyelesaian perencanaan struktur secara lebih terperinci. Adapun langkah-langkah dalam penyelesaian perencanaan struktur ini di tuangkan dalam diagram alir perencanaan tugas akhir Diagram 3.1.





Gambar 3.1 Diagram Alir Perencanaan Tugas Akhir

3.2 Uraian Metodologi Perencanaan

3.2.1 Pengumpulan Data

Mengumpulkan literatur - literatur yang berhubungan dengan *castellated beam*, kolom *concrete filled steel tube* dan dasar perhitungan struktur dalam penyelesaian modifikasi alternatif pada gedung berstruktur baja. Serta mengumpulkan data umum bangunan dan data tanah gedung asrama sebagai berikut :

Data umum bangunan

1. Nama Bangunan : Gedung Asrama President University
2. Lokasi Bangunan : Cikarang, Jawa Barat
3. Fungsi Bangunan : Gedung asrama
4. Jumlah Lantai : 4 Lantai
5. Tinggi Gedung : 16 meter
6. Struktur Utama : Beton Bertulang

Data Modifikasi Bangunan

1. Nama Bangunan : Gedung Asrama President University
2. Lokasi Bangunan : Cikarang, Jawa Barat
3. Fungsi Bangunan : Gedung asrama
4. Jumlah Lantai : 10 Lantai
5. Tinggi Gedung : 40 meter
6. Zona Gempa : Cikarang, Jawa Barat
7. Struktur Utama : *Castellated Beam* dan Kolom *Concrete Filled Steel Tube* (BJ 41, $f_y = 250$ MPa, $f_u = 410$ MPa)
8. Sistem Struktur : Sistem *steel plate shear wall*

3.2.2 Studi Literatur

Melakukan studi referensi berupa buku pustaka, diktat pelajaran, penelitian terdahulu, jurnal konstruksi baja serta peraturan mengenai perencanaan struktur gedung menggunakan profil baja *castellated beam* dan kolom *concrete filled steel tube* yaitu :

- a. American Institute of Steel Construction – Load and Resistance Factor Design (AISC-LRFD) 2010.
- b. SNI 1727:2013 tentang “*Beban Minimum untuk Perancangan Gedung dan Struktur lain*”.
- c. Peraturan Pembebanan Indonesia Untuk Gedung (PPIUG) 1987.
- d. SNI 1726:2012 tentang “*Tata Cara Perencanaan Ketahanan Gempa untuk Struktur Bangunan Gedung dan Non Gedung*”.
- e. SNI 1729:2015 tentang “*Spesifikasi Untuk Bangunan Gedung Baja Struktural*”.
- f. SNI 2847:2013 tentang “*Persyaratan Beton Struktural Untuk Bangunan Gedung*”.
- g. Browsing penelitian terdahulu dan jurnal-jurnal melalui internet.

3.2.3 Pembebanan

1. Beban Mati

Menurut pasal 3.1.1 SNI 1727:2013, beban mati adalah berat seluruh konstruksi bangunan gedung yang terpasang, termasuk dinding, lantai, atap, plafon, tangga, dinding partisi tetap, *finishing*, dan komponen arsitektural dan struktural lainnya.

2. Beban Hidup

Berdasarkan pasal 4.1 SNI 1727:2013 beban hidup adalah beban yang diakibatkan oleh pengguna dan penghuni bangunan gedung atau struktur lain yang tidak termasuk beban konstruksi dan beban lingkungan, seperti beban angin, beban hujan beban gempa, beban banjir, atau beban mati. Nilai dari beban hidup itu sendiri dapat diambil dari tabel 4-1 SNI 1727:2013 hal.25

3. Beban Angin

Ketentuan mengenai beban angin dapat dilihat pada pasal 26 s/d pasal 31 SNI 1727:2013

4. Beban Gempa

Besarnya beban gempa yang terjadi pada struktur bangunan tergantung dari beberapa faktor yaitu, massa dan kekakuan struktur, waktu getar alami dan pengaruh redaman dari struktur, kondisi tanah, dan wilayah kegempaan dimana struktur bangunan tersebut didirikan. Massa dari struktur bangunan merupakan faktor yang sangat penting, karena beban gempa merupakan gaya inersia yang besarnya sangat tergantung dari besarnya massa dari struktur. Besarnya Beban Gempa Dasar Nominal horizontal akibat gempa menurut Standar Perencanaan Ketahanan Gempa Untuk Struktur Gedung (SNI 1726:2012 pasal 6), dinyatakan sebagai berikut :

a. Gempa Rencana

Tata cara ini menentukan pengaruh gempa rencana yang ditinjau dalam perencanaan dan evaluasi struktur bangunan gedung serta berbagai bagian dan peralatannya secara umum. Gempa rencana ditetapkan sebagai gempa dengan kemungkinan terlewati besarnya selama umur struktur bangunan 50 tahun adalah sebesar 2 persen (*SNI 1726:2012 Pasal 4.1.1*).

b. Faktor Keutamaan dan Kategori Resiko Bangunan

Untuk berbagai kategori resiko struktur bangunan gedung dan non gedung, pengaruh gempa rencana terhadapnya harus dikalikan dengan suatu faktor keutamaan. Kategori resiko ditentukan berdasarkan jenis pemanfaatan bangunan. (*SNI 1726:2012 Pasal 4.1.2*).

c. Menentukan Klasifikasi Situs (SA-SF)

Menurut pasal 5.3 SNI 1726:2012 kelas situs disesuaikan dengan jenis tanah yang ada.

d. Menentukan Faktor Koefisien Situs (F_a , F_v)

Untuk penentuan respon spektral percepatan gempa MCE_R di permukaan tanah, diperlukan suatu factor amplifikasi seismic pada perioda 0,2 detik dan perioda 1 detik (*SNI 1726:2012 Pasal 6.2*). Faktor amplifikasi meliputi faktor amplifikasi getaran terkait percepatan pada getaran perioda pendek (F_a) dan faktor amplifikasi terkait percepatan yang mewakili getaran perioda 1 detik (F_v). Parameter spectrum respons percepatan pada perioda pendek (S_{MS}) dan perioda 1 detik (S_{M1}) ditentukan dengan rumus :

$$S_{MS} = F_a \cdot S_s \quad (3.1)$$

$$S_{M1} = F_v \cdot S_1 \quad (3.2)$$

Keterangan :

- S_s adalah parameter respons spectral percepatan gempa MCER terpetakan untuk perioda pendek
- S_1 adalah parameter respons spectral percepatan gempa MCER terpetakan untuk perioda 1,0 detik

e. Menghitung Parameter Percepatan Desain (S_{DS} , S_{D1})

Parameter percepatan spectral desain untuk periode pendek (S_{DS}), dan pada periode 1 detik (S_{D1}) mengacu pada SNI 1726:2012 Pasal 6.3

$$S_{DS} = \frac{2}{3} S_{MS} \quad (3.3)$$

$$S_{D1} = \frac{2}{3} S_{M1} \quad (3.4)$$

f. Menentukan Kategori Desain Seismik-KDS (A-F)

Struktur harus ditetapkan memiliki suatu kategori desain seismic sesuai SNI 1726:2012 Pasal 6.5.

g. Sistem dan Parameter Struktur (R , C_d , Ω_o)

Bila sistem yang berbeda digunakan, masing-masing nilai R , C_d , Ω_o , harus dikenakan pada setiap sistem, termasuk batasan sistem struktur (*SNI 1726:2012 Pasal 7.2-2*).

h. Menentukan prosedur analisis gaya lateral. SNI 1726:2012 memberikan petunjuk untuk tiga prosedur analisis, yaitu :

- Analisis gaya lateral equivalent (GLE atau ELF)
- Analisis Super posisi Ragam (MSA)
- Analisis Riwayat Waktu (RHA)

5. Kombinasi Pembebanan

Pembebanan struktur baja harus mampu memikul semua kombinasi pembebanan di bawah ini berdasarkan pasal 4.2.2 SNI 1726:2012, yaitu :

1. 1,4 DL
2. 1,2 DL + 1,6 LL
3. 1,2 DL ± 1,0Ex + 1,0LL
4. 1,2 DL ± 1,0Ey + 1,0LL
5. 0,9 DL ± 1,0Ex
6. 0,9 DL ± 1,0Ey

Keterangan :

D = Beban Mati yang diakibatkan oleh berat konstruksi permanen, termasuk dinding, lantai, atap, plafon, partisi tetap, tangga, dan peralatan layan tetap.

L = Beban Hidup yang ditimbulkan oleh penggunaan gedung, termasuk kejut, tetapi tidak termasuk beban lingkungan seperti angin, hujan, dan lain-lain.

Ex = Beban gempa arah x, yang ditentukan menurut SNI 1726-2012.

Ey = Beban gempa arah Y, yang ditentukan menurut SNI 1726-2012.

3.2.4 Pemodelan dan Analisa Struktur

Dalam permodelan struktur dan analisa struktur akan digunakan program bantu SAP2000 yang kemudian akan didapat perhitungan-perhitungan gaya dalam struktur. Selanjutnya output SAP2000 yang meliputi gaya-gaya dalam akan digunakan untuk melakukan kontrol pada model struktur yang direncanakan.

3.2.5 Kontrol Desain

3.2.5.1 Castellated Beam

1. Kontrol Penampang (SNI 1729:2015 tabel 7.5 – 1) :

$$\begin{array}{ll}
 \text{Pelat Badan :} & \text{Pelat Sayap :} \\
 \frac{h}{tw} \leq 3,76 \sqrt{\frac{E}{fy}} & \frac{b}{2tf} \leq 0,38 \sqrt{\frac{E}{fy}}
 \end{array} \quad (3.5)$$

$$\lambda_{Rw} = 5,70 \sqrt{\frac{E}{f_y}} \quad \lambda_{Rf} = 1,0 \sqrt{\frac{E}{f_y}} \quad (3.6)$$

- Penampang Kompak :

$$\lambda \leq \lambda_P$$

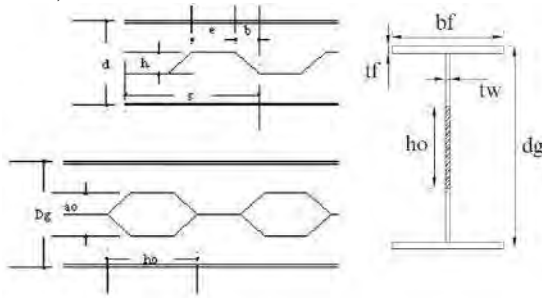
$$M_n = M_P = Z_x f_y \quad (3.7)$$

- Penampang Tidak Kompak :

$$\lambda < \lambda_P \leq \lambda_R$$

$$M_n = M_P - (M_P - 0,7S_x f_y) \frac{(\lambda - \lambda_P)}{(\lambda_R - \lambda_P)} \quad (3.8)$$

2. Kontrol Tekuk Badan (eq. 4.2 ASCE journal page 3319) :



$$a. \quad \frac{d-2t_f}{t_w} \leq \frac{1365}{\sqrt{f_y}} \quad ; \quad \frac{d-2t_f}{t_w} \leq \frac{1100}{\sqrt{f_y}}$$

$$\bullet \quad \frac{a_0}{h_0} \leq 3,0 \quad (3.9)$$

$$\bullet \quad V_m \leq \frac{2}{3} V_p \quad (3.10)$$

Untuk balok non-komposit dan balok komposit pada momen negatif

$$\bullet \quad V_m \leq \frac{2}{3} V_p + V_c \quad (3.11)$$

Untuk balok komposit pada momen positif

$$b. \frac{1100}{\sqrt{fy}} < \frac{d-2tf}{tw} \leq \frac{1365}{\sqrt{fy}}$$

$$\bullet \frac{a_0}{h_0} \leq 2,2 \quad (3.12)$$

$$\bullet V_m \leq 0,45V_p \quad (3.13)$$

c. Parameter Opening

$$\bullet PO = \left(\frac{a_0}{h_0}\right) + \left(\frac{6h_0}{d}\right) \text{ tidak boleh lebih dari } 5,6 \text{ untuk balok baja} \quad (3.14)$$

$$\bullet PO = \left(\frac{a_0}{h_0}\right) + \left(\frac{6h_0}{d}\right) \text{ tidak boleh lebih dari } 6,0 \text{ untuk balok komposit} \quad (3.15)$$

3. Kontrol Momen Lentur Nominal

Momen Lentur :

$$M_u \leq \phi M_n$$

$$M_n = M_p - fy \cdot \Delta A_s \cdot \left(\frac{h_0}{4} + e\right) \quad (3.16)$$

Keterangan :

M_n = Kuat Momen Lentur Nominal Balok

ΔA_s = $h_0 \cdot tw$

h_0 = tinggi lubang

e = eksentrisitas lubang

fy = kuat leleh baja

4. Kontrol Kuat Geser

$$V_u \leq V_n \quad (3.17)$$

$$V_n = \sum V_{nt} \quad (3.18)$$

Untuk tee bawah dan atas :

$$\frac{\sqrt{6+\mu}}{v+\sqrt{3}} \leq 1.0 \quad (3.19)$$

$$V_{nt} = \frac{\sqrt{6+\mu}}{v+\sqrt{3}} \leq V_{pt} \quad (3.20)$$

$$V_{pt} = f_y \cdot t_w \cdot S_t / \sqrt{3} \quad (3.21)$$

Keterangan :

- V_{nt} = Kuat geser satu tee
- F_y = Kuat leleh baja
- a_0 = Panjang lubang
- t_w = Tebal badan
- S_t = Tinggi tee
- V = Aspek rasio tee a_0 / S_t

3.2.5.2 Kolom *Concrete Filled Steel Tube*

1. Kontrol Penampang

Penampang tidak boleh termasuk dalam kategori penampang langsing :

Pelat Badan :	Pelat Sayap :
$\frac{h}{t_w} \leq 1,49 \sqrt{\frac{E}{f_y}}$	$\frac{b}{2t_f} \leq 0,56 \sqrt{\frac{E}{f_y}}$

(3.22)

2. Kontrol Kekakuan Portal (SNI 1729:2015 pasal 7.6.3.3)

$$G = \frac{\sum \left(\frac{I_c}{L_c} \right)}{\sum \left(\frac{I_b}{L_b} \right)} \quad (3.23)$$

3. Amplikasi Momen Struktur Portal (SNI 1729:2015 pasal 8.2)

$$M_r = B_1 \cdot M_{nt} + B_2 \cdot M_{lt} \quad (3.24)$$

$$P_r = P_{nt} + B_2 \cdot P_{lt} \quad (3.25)$$

4. Kontrol Tekuk-Lentur (SNI 1729:2015 pasal E3)

$$\lambda = \frac{K_c \cdot L}{r} \quad (3.26)$$

$$F_e = \frac{\pi^2 \cdot E}{\left(\frac{KL}{r}\right)^2} \quad (3.27)$$

$$\text{Bila } \lambda \leq 4,71 \sqrt{\frac{E}{f_y}} \text{ atau } \frac{f_y}{F_e} \leq 2,25 \quad (3.28)$$

$$\text{Maka } F_{cr} = \left[0,658 \frac{f_y}{F_e} \right] \quad (3.29)$$

$$\text{Bila } \lambda > 4,71 \sqrt{\frac{E}{f_y}} \text{ atau } \frac{f_y}{F_e} > 2,25 \quad (3.30)$$

$$\text{Maka } F_{cr} = 0,877 F_e \quad (3.31)$$

5. Kontrol Tekuk-Puntir (SNI 1729:2015 pasal E4)

$$F_e = \left[\frac{\pi^2 E C_w}{(K_z L)^2} + GJ \right] \frac{1}{I_x + I_y} \quad (3.32)$$

6. Kontrol Gaya Aksial dan Momen Lentur (SNI 1729:2015 pasal F2)

$$P_n = A_g \cdot F_{cr} \quad (3.33)$$

$$P_c = \phi P_n \quad (3.34)$$

$$M_u \leq \phi M_n$$

Keterangan :

M_u = Momen lentur rencana (N.mm)

M_n = Kuat lentur nominal penampang (N.mm)

ϕ = Faktor reduksi (0.9)

Tekuk Torsi Lateral :

a. Bentang Pendek ($L_b \leq L_p$)

$$M_n = M_p = Z_x \cdot f_y$$

$$L_p = 1.76 \cdot r_y \sqrt{\frac{E}{f_y}} \quad (3.35)$$

$$r_y = \sqrt{\frac{I_y}{A}} \quad (3.36)$$

r_y = Jari-jari girasi terhadap sumbu lemah
Keadaan batas dari tekuk torsi-lateral tidak boleh digunakan

- b. Bentang Menengah ($L_p \leq L_b \leq L_r$)

$$M_n = C_b \left[M_p - (M_p - 0,7S_x f_y) \frac{L_b - L_p}{L_r - L_p} \right] \leq M_p \quad (3.37)$$

- c. Bentang Panjang ($L_b > L_r$)

$$M_n = F_{cr} S_x \leq M_p \quad (3.38)$$

Persamaan interaksi aksial momen (SNI 1729:2015 pasal H1) :

- a. Jika $\frac{P_r}{P_c} \geq 0,2$, maka :

$$\frac{P_r}{P_c} + \frac{8}{9} \left(\frac{M_{rx}}{M_{cx}} + \frac{M_{ry}}{M_{cy}} \right) \leq 1,0 \quad (3.39)$$

- b. Jika $\frac{P_r}{P_c} < 0,2$, maka :

$$\frac{P_r}{2P_c} + \left(\frac{M_{rx}}{M_{cx}} + \frac{M_{ry}}{M_{cy}} \right) \leq 1,0 \quad (3.40)$$

3.2.6 Perencanaan Sambungan

Perencanaan sambungan dilakukan menggunakan sambungan baut maupun sambungan las. Perencanaan sambungan ini antara lain meliputi sambungan balok anak – balok induk, balok induk – kolom, kolom - plat landasan. Pada struktur bangunan, perencanaan sambungan meliputi:

1. Las Tumpul

Pada desain sambungan las tumpul, untuk menghitung kekuatan desain (ϕR_n) diperjelas pada Tabel J2.5 SNI 1729-

2015. Pada desain sambungan las sudut, untuk menghitung kekuatan desain (ϕR_n) menurut Pasal J2.4 :

$$R_n = F_{nw} \cdot A_{we} \quad (\text{SNI 1729:2015 J2-4}) \quad (3.41)$$

Keterangan

$$\phi = 0.75$$

$$F_{nw} = 0.60 F_{EXX} (1.0 + 0.50 \sin^{1.5} \theta) \quad (\text{SNI 1729:2015 J2-5})$$

F_{EXX} = Kekuatan klasifikasi logam pengisi, ksi (MPa).

θ = Sudut pembebanan yang diukur dari sumbu longitudinal las.

Ukuran minimum las sudut ditentukan dari tebal bagian paling tipis yang tersambung.

2. Sambungan Baut

a. Pada desain sambungan baut, untuk menghitung kekuatan geser dan tarik desain menggunakan rumus yang sama (ϕR_n) menurut Pasal J3.6 :

$$R_n = F_n \cdot A_b \quad (\text{SNI 1729:2015 J3-1}) \quad (3.42)$$

Keterangan :

$$\phi = 0.75$$

A_b = luas tubuh baut tidak berulir nominal atau bagian berulir, in.2 (mm²)

F_n = tegangan tarik nominal, F_{nt} , atau tegangan geser, F_{nv} dari Tabel J3.2, ksi (MPa)

b. Pada desain sambungan baut, untuk menghitung kombinasi gaya tarik dan geser dalam sambungan tipe tumpuan menurut Pasal J3.7 :

$$R_n = F'_{nt} \cdot A_b \quad (\text{SNI 1729:2015 J3-2}) \quad (3.43)$$

Keterangan :

$$\phi = 0.75$$

F'_{nt} = tegangan tarik nominal yang dimodifikasi mencakup efek tegangan geser, ksi (MPa)

$$F'_{nt} = 1.3 F_{nt} - F_{nt} \phi F_{nv} / f_{rv} \leq F_{nt} \quad (\text{SNI 1729:2015 J3-3a})$$

F_{nt} = tegangan tarik nominal dari Tabel J3.2, ksi (MPa)

F_{nv} = tegangan geser dari Tabel J3.2, ksi (MPa)

f_{rv} = tegangan geser yang diperlukan menggunakan kombinasi beban, ksi (MPa)

Ukuran jarak tepi minimum baut ditentukan diameter baut pada Tabel J3.4M.

3.2.7 Perencanaan Pondasi

Pondasi pada umumnya berlaku sebagai komponen struktur pendukung bangunan yang terbawah dan berfungsi sebagai elemen terakhir yang meneruskan beban ke tanah. Dalam perencanaan pondasi ada dua jenis pondasi yang umum dipakai dalam dunia konstruksi, yaitu pondasi dangkal dan pondasi dalam. Pondasi dangkal dipakai untuk struktur dengan beban yang relatif kecil, sedangkan untuk pondasi dalam dipakai untuk struktur dengan beban yang relatif besar seperti pada gedung yang berlantai banyak, dikatakan pondasi dalam jika perbandingan antara kedalaman pondasi (D) dengan diameternya (B) adalah lebih besar sama dengan 10 ($D/B > 10$). Pondasi dalam ini ada beberapa macam jenis, antara lain pondasi tiang pancang, pondasi tiang bor (pondasi sumuran), pondasi caisson dan lain sebagainya. Dalam tugas akhir ini akan direncanakan pondasi tiang pancang.

1. Tiang Pancang Tunggal

Perencanaan struktur pondasi menggunakan pondasi tiang pancang. data tanah yang digunakan adalah hasil SPT. Daya dukung pada pondasi tiang pancang tunggal didapatkan dengan menjumlahkan dari tahananujung bawah ultimit (Q_p) dan tanah gesek ultimate (Q_s) antara dinding tiang dan tanah sekitarnya. Daya dukung dihitung berdasarkan persamaan *Luciano Decourt*.

$$a. \quad Q_L = Q_p + Q_s \quad (3.44)$$

Keterangan,

Q_L = Daya dukung tanah maksimum pada pondasi

Q_p = *Resistance ultimate* didasar pondasi

Q_s = *Resistance ultimate* akibat lekatan lateral.

$$b. Q_p = q_p \cdot A_p = (N_p \cdot K) \cdot A_p \quad (3.45)$$

Keterangan,

N_p = Harga rata-rata SPT di sekitar 4B di atas hingga 4
B di bawah dasar tiang pondasi

K = Koefisien karakteristik tanah
= 12 t/m², untuk tanah lempung
= 20 t/m², untuk tanah lanau berlempung
= 25 t/m², untuk tanah lanau berpasir
= 40 t/m², untuk tanah pasir

A_p = Luas penampang dasar tiang

q_p = tegangan di ujung tiang

$$c. Q_s = q_s \cdot A_s = (N_s/3 + I) \cdot A_s \quad (3.46)$$

Keterangan,

q_s = tegangan akibat lekatan lateral dalam t/m²

N_s = harga rata-rata sepanjang tiang yang tertanam,
dengan batasan : $3 \leq N \leq 50$

A_s = keliling x panjang tiang yang terbenam

Daya dukung ijin dari satu tiang pancang yang berdiri sendiri adalah daya dukung tiang total dibagi dengan suatu angka keamanan.

$$Q_{ijin \ 1 \ tiang} = \frac{Q_u}{SF} \quad (3.47)$$

2. Perencanaan Pondasi Tiang Grup

a. Perhitungan jarak tiang

untuk jarak as ke tepi pancang digunakan $2,5D \leq S < 3D$

untuk jarak as ke tepi tiang pancang digunakan $1,5D < S_1 < 2D$

b. Untuk menghitung koefisien efisiensi E_k , digunakan cara Converse – Labarre :

$$E_k = 1 - \tan^{-1} \frac{D}{S} \left[\frac{(n-1)m + (m-1)n}{90mn} \right] \quad (3.48)$$

Keterangan,

D = diameter tiang pondasi

S = jarak as ke as antar tiang dalam group

m = jumlah baris tiang dalam group

n = jumlah kolom tiang dalam group

Untuk selanjutnya, bila di atas tiang-tiang dalam kelompok yang disatukan oleh kepala tiang (poer) beban-beban yang bekerja adalah beban vertikal, beban horizontal, dan Momen (M), maka besarnya beban vertikal ekivalen P_v pada sebuah tiang adalah,

$$P_v = \frac{V}{n} \pm \frac{M_y \cdot x_{maks}}{\sum x^2} \pm \frac{M_x \cdot y_{maks}}{\sum y^2} \quad (3.49)$$

Keterangan,

V = beban vertikal dari kolom

n = banyaknya tiang dalam group

M_x = momen terhadap sumbu x

M_y = momen terhadap sumbu y

x_{maks} = absis terjauh terhadap titik berat kelompok tiang

y_{maks} = ordinat terjauh terhadap titik berat kelompok tiang

$\sum x^2$ = jumlah dari kuadrat absis tiap tiang terhadap garis netral group

$\sum y^2$ = jumlah dari kuadrat ordinat tiap tiang terhadap garis netral group

3. Daya Dukung Lateral tiang Pancang

Dalam menentukan daya dukung lateral tiang pancang terdapat dua jenis tiang diantara lain :

a. Tiang dengan kepala tidak tertahan

b. Tiang dengan kepala tertahan

Untuk setiap jenis tiang tersebut ditinjau terhadap dua keadaan jenis tanah yaitu :

a. Jenis tanah kohesip

b. Jenis tanah tidak kohesip

Cara perhitungan menganggap bahwa besaran-besaran tanah adalah sama sepanjang tiang. Perbedaan kecil dalam besaran tanah dapat diakomodasi dengan besaran rata-rata dari tanah. Mengingat ketahanan lateral ditentukan oleh lapisan permukaan sekitar kepala tiang, nilai rata-rata harus dipertimbangkan untuk mencerminkan hal tersebut.

3.2.8 Penggambaran Hasil Perencanaan

Penggambaran merupakan output akhir dari analisis struktur yang telah dilakukan. Gambar yang dihasilkan antara lain : gambar denah dan potongan struktur primer, sekunder, sambungan, pondasi, dan lain-lain.

“Halaman ini sengaja dikosongkan”

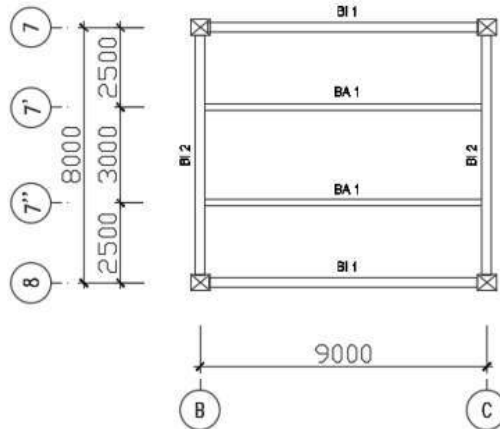
BAB IV PERENCANAAN STRUKTUR SEKUNDER

4.1 Perencanaan Pelat Lantai

Pada perencanaan lantai gedung ini menggunakan tabel perencanaan praktis dari *Super Floor Deck*. Spesifikasi yang digunakan adalah sebagai berikut:

- Direncanakan menggunakan satu baris penyangga selama pengerasan pelat beton
- Beban mati (berat sendiri bondek dan pelat beton) sudah diperhitungkan
- Berat berguna yang digunakan adalah jumlah beban hidup dan beban-beban finishing lainnya
- Bondek menggunakan tebal 0,75 mm

4.1.1 Perencanaan Pelat Lantai Atap



Gambar 4.1 Pelat Lantai Atap

Peraturan pembebanan pada struktur pelat lantai atap menggunakan SNI 1727:2013 dan ASCE 2002.

- 1) Beban Mati (Tabel C3-1. ASCE 2002)

- Berat *water proofing* = 5 kg/m²
 - Berat plafon = 5 kg/m²
 - Berat penggantung = 10 kg/m²
 - Berat *ducting* dan *plumbing* = $\frac{19,1 \text{ kg/m}^2}{}$
- $$q_{D\text{total}} = 39,1 \text{ kg/m}^2$$
- 2) Beban Hidup (Tabel 4-1. SNI 1727:2013)
- Lantai atap $q_{\text{Lantai}} = 96 \text{ kg/m}^2$
- 3) Beban Berguna
- $q = q_D + q_L$
 - = 39,1 + 96
 - = 135,1/m² ≈ 200 kg/m²
 - (mengikuti brosur)

4) Data-data Perencanaan Pelat Bondek

Berdasarkan tabel perencanaan praktis untuk bentang menerus dengan tulangan negative dengan satu baris penyangga, maka didapatkan data-data sebagai berikut:

- Bentang = 3 m
- Beban berguna = 200 kg/m²
- Tulangan negatif = 2,51 cm²/m
- Tebal pelat beton = 0,09 m
- Digunakan tulangan = Ø10

Maka, jumlah yang dibutuhkan setiap meter adalah:

- $n = \frac{\text{Luas yang dibutuhkan}}{\text{Luas tulangan dipasang}}$
 - $n = \frac{2,51}{\frac{1}{4}\pi d^2} = \frac{2,51}{\frac{1}{4}\pi \cdot 1^2} = 3,197 \text{ buah} \approx 4 \text{ buah}$
 - Jarak antar tulangan = $\frac{1000}{4+1} = 200 \text{ mm}$
 - Tulangan susut suhu digunakan tulangan Ø8 (As = 0,503 cm²)
- $$d = t_p - \text{selimut beton} - \frac{\phi_{\text{tul. utama}}}{2}$$

$$= 90 \text{ mm} - 20 \text{ mm} - \frac{8 \text{ mm}}{2} = 66 \text{ mm}$$

Digunakan besi tulangan f_y 240 Mpa

$$\rho_{\min} = 0,0020 \quad (\text{SNI 2847-2013 Pasal 14.3.3 (c)})$$

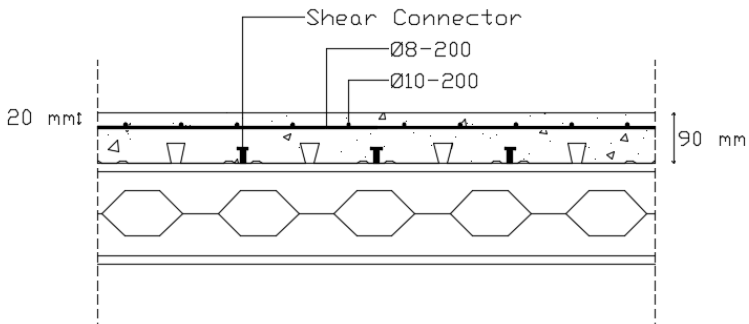
$$\text{Maka, } A_{s_{\min}} = \rho_{\min} \cdot b \cdot d = 0,0020 \times 1000 \times 66 \\ = 132 \text{ mm}^2$$

Jumlah tulangan yang dibutuhkan tiap tinjauan 1 meter

$$n_{tul} = \frac{A_{s_{\min}}}{A_{s \text{ 1.tul}}} = \frac{132}{50,24} = 2,627 \text{ bh} \approx 4 \text{ bh}$$

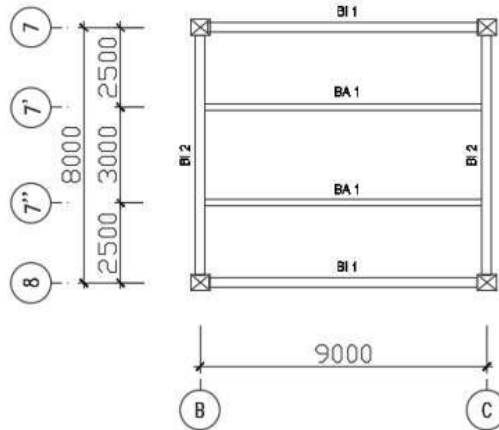
$$\text{Jarak antar tulangan } s = \frac{1000}{4-1} = 333,3 \text{ mm} \approx 200 \text{ mm}$$

Maka, untuk pelat lantai atap ukuran 9m x 8m dipasang tulangan negatif $\varnothing 10$ -200 mm dan tulangan susut suhu $\varnothing 8$ -200 mm.



Gambar 4.2 Penulangan Bondek Atap

4.1.2 Perencanaan Pelat Lantai Asrama



Gambar 4.3 Pelat Lantai Asrama

Peraturan pembebanan pada struktur pelat lantai asrama menggunakan SNI 1727:2013 dan ASCE 2002.

- 1) Beban Mati (Tabel C3-1. ASCE 2002)
 - Berat keramik + spesi = 110 kg/m²
 - Berat plafon = 5 kg/m²
 - Berat penggantung = 10 kg/m²
 - Berat *ducting* dan *plumbing* = 19,1 kg/m²
$$q_{Dtotal} = 144,1 \text{ kg/m}^2$$
- 2) Beban Hidup (Tabel 4-1. SNI 1727:2013)
 - Lantai atap q_{Lantai} = 192 kg/m²
- 3) Beban Berguna
 - $q = q_D + q_L$
 - = 144,1 + 192
 - = 336,1/m² \approx 400 kg/m²
 - (mengikuti brosur)
- 4) Data-data Perencanaan Pelat Bondek

Berdasarkan tabel perencanaan praktis untuk bentang menerus dengan tulangan negative dengan satu baris penyangga, maka didapatkan data-data sebagai berikut:

- Bentang = 3 m
- Beban berguna = 400 kg/m²
- Tulangan negatif = 3,25 cm²/m
- Tebal pelat beton = 0,10 m
- Digunakan tulangan = Ø 10

Maka, jumlah yang dibutuhkan setiap meter adalah:

- $n = \frac{\text{Luas yang dibutuhkan}}{\text{Luas tulangan dipasang}}$
- $n = \frac{3,25}{\frac{1}{4}\pi d^2} = \frac{3,25}{\frac{1}{4}\pi \cdot 1^2} = 4,14 \text{ buah} \approx 5 \text{ buah}$
- Jarak antar tulangan = $\frac{1000}{5+1} = 166,67 \text{ mm} \approx 150 \text{ mm}$
- Tulangan susut suhu digunakan tulangan Ø 8 (As = 0,503 cm²)

$$d = tp - \text{selimut beton} - \frac{\phi_{\text{tul. utama}}}{2}$$

$$= 100 \text{ mm} - 20 \text{ mm} - \frac{8 \text{ mm}}{2} = 76 \text{ mm}$$

Digunakan besi tulangan fy 240 Mpa

$$\rho_{\min} = 0,0020 \quad (\text{SNI 2847-2013 Pasal 14.3.3 (c)})$$

$$\text{Maka, } A_{s_{\min}} = \rho_{\min} \cdot b \cdot d = 0,0020 \times 1000 \times 76$$

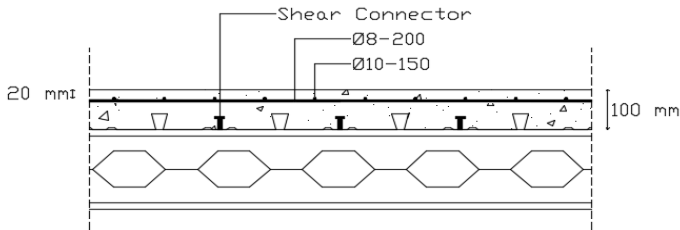
$$= 152 \text{ mm}^2$$

Jumlah tulangan yang dibutuhkan tiap tinjauan 1 meter

$$n_{\text{tul}} = \frac{A_{s_{\min}}}{A_{s \text{ 1.tul}}} = \frac{152}{50,24} = 3,025 \text{ bh} \approx 5 \text{ bh}$$

$$\text{Jarak antar tulangan } s = \frac{1000}{5-1} = 250 \text{ mm} \approx 200 \text{ mm}$$

Maka, untuk pelat lantai atap ukuran 9m x 8m dipasang tulangan negatif Ø10-150 mm dan tulangan susut suhu Ø8-200 mm.



Gambar 4.4 Penulangan Bondek Asrama

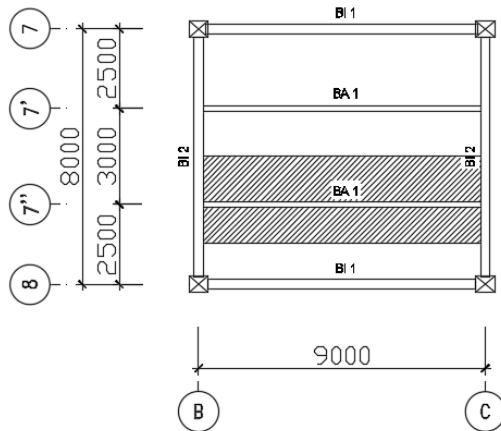
4.2 Perencanaan Balok Anak

Balok anak berfungsi untuk membagi luasan agar tidak terlalu lebar sehingga masih mempunyai kekakuan yang lebih baik untuk memikul beban yang terjadi, posisinya berada menumpu diatas dua tumpuan sederhana. Pada modifikasi ini digunakan balok anak *castellated beam* karena bentang yang digunakan panjangnya lebih dari 6 m.

4.2.1 Perencanaan Balok Anak Lantai Atap (BA 1)

Balok anak lantai atap direncanakan menggunakan profil WF 350 x 175 x 7 x 11, dengan F_y 250 Mpa (BJ 41), dengan data-data sebagai berikut:

w	= 49,6 kg/m	r	= 14 mm
d	= 350 mm	Z _x	= 841 cm ³
bf	= 175 mm	Z _y	= 172 cm ³
tw	= 7 mm	i _x	= 14,7 cm
tf	= 11 mm	i _y	= 3,95 cm
I _x	= 13600cm ⁴	h	= d-2(tf+r)
I _y	= 984 cm ⁴		= 300 mm
E	= 200000 MPa		



Gambar 4.5 Denah Pembebanan Balok Lantai Atap (BA 1)

1) Cek Penampang

- Pelat Sayap

$$\lambda \leq \lambda_p \rightarrow \frac{b}{2t_f} \leq 0,38 \sqrt{\frac{E}{f_y}}$$

$$\frac{174}{2 \times 11} \leq 0,38 \sqrt{\frac{200000}{250}}$$

7,95 ≤ 10,75 (Penampang Kompak)

- Pelat Badan

$$\lambda \leq \lambda_p \rightarrow \frac{h}{t_w} \leq 3,76 \sqrt{\frac{E}{f_y}}$$

$$\frac{300}{7} \leq 3,76 \sqrt{\frac{200000}{250}}$$

42,86 ≤ 106,35 (Penampang Kompak)

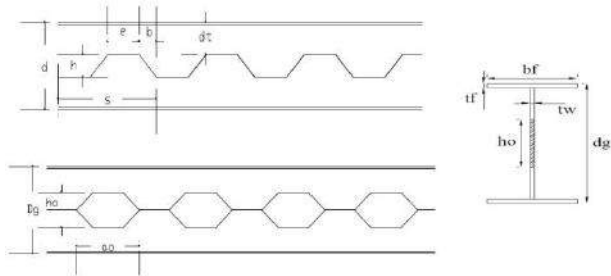
Karena penampang kompak, maka $M_n = M_p$

$$M_p = M_n = Z_x \times f_y = 841 \times 2500$$

$$= 2102500 \text{ kg.cm} = 21025 \text{ kg.m}$$

$$\begin{aligned}\emptyset Mn &= 0,9 \times Mn = 0,9 \times 2102500 \\ &= 1892250 \text{ kg.cm} = 18922,5 \text{ kg.m}\end{aligned}$$

2) Profil *Castellated Beam*



Gambar 4.6 Detail Potongan *Castellated Beam*

- $\emptyset = 60^0$
 - $\text{Tan } \emptyset = 1,73$
- Dimensi profil *castellated beam*:
- $K_1 = 1.25$
 - $h = d(K_1 - 1) = 350 \times (1,25 - 1) = 87,5 \text{ mm}$
 - $dg = d + h = 300 + 87,5 = 437,5 \text{ mm}$
 - $b = \frac{h}{\text{tg } \emptyset} = \frac{87,5}{1,73} = 50,5 \text{ mm}$
 - $dt = st = \frac{dg - 2tf}{2} - h = \frac{437,5 - (2 \times 11)}{2} - 87,5 = 120,3 \text{ mm}$
 - $e = 2h = 2 \times 87,5 = 175 \text{ mm}$
 - $a_0 = 2b + e = 2 \times 50,5 + 175 = 276 \text{ mm}$
 - $h_0 = 2h = e = 175 \text{ mm}$

Maka, profil WF menjadi profil *castellated* 437,5×175×7×11 dengan data-data sebagai berikut:

d	= 437,5 mm	h ₀	= 175 mm
bf	= 175 mm	a ₀	= 276 mm
tw	= 7 mm	r	= 14 mm
tf	= 11 mm	h	= 387,5 mm

a) I_x dan Z_x *Castellated* Tanpa Lubang

$$\begin{aligned}
 I_x &= \frac{1}{12} b \cdot d_g^3 - \left(2 \times \frac{1}{12} \times \left(\frac{b - t_w}{2} \right) (d_g - 2t_r)^3 \right) \\
 &= \frac{1}{12} \cdot 175 \cdot 437,5^3 - \left(2 \times \frac{1}{12} \times \left(\frac{175 - 7}{2} \right) (437,5 - 2 \cdot 11)^3 \right) \\
 &= 216963417,1 \text{ mm}^4 = 21696,34 \text{ cm}^4
 \end{aligned}$$

$$\begin{aligned}
 Z_x &= \left(\frac{1}{4} \times b \times d_g^2 \right) - \left(2 \times \frac{1}{4} \times \left(\frac{b_r - t_w}{2} \right) \times (d_g - 2t_r)^2 \right) \\
 &= \left(\frac{1}{4} \times 175 \times 437,5^2 \right) - \left(2 \times \frac{1}{4} \times \left(\frac{175 - 7}{2} \right) \times (437,5 - 2 \cdot 11)^2 \right) \\
 &= 1123132,9 \text{ mm}^3 = 1123,13 \text{ cm}^3
 \end{aligned}$$

b) I_x dan Z_x *Castellated* Lubang

$$\begin{aligned}
 I_x &= \frac{1}{12} b \cdot d_g^3 - \left(2 \times \frac{1}{12} \times \left(\frac{b - t_w}{2} \right) (d_g - 2t_r)^3 \right) - \left(\frac{1}{12} \times t_w \times h_o^3 \right) \\
 &= \frac{1}{12} \cdot 175 \cdot 437,5^3 - \left(2 \times \frac{1}{12} \times \left(\frac{175 - 7}{2} \right) (437,5 - 2 \cdot 11)^3 \right) - \left(\frac{1}{12} \times 7 \times 175^3 \right) \\
 &= 213837115 \text{ mm}^4 = 21383,7 \text{ cm}^4
 \end{aligned}$$

$$\begin{aligned}
 Z_x &= \left(\frac{1}{4} \times b \times d_g^2 \right) - \left(2 \times \frac{1}{4} \times \left(\frac{b_r - t_w}{2} \right) \times (d_g - 2t_r)^2 \right) - \left(\frac{1}{4} \times t_w \times h_o^2 \right) \\
 &= \left(\frac{1}{4} \times 175 \times 437,5^2 \right) - \left(2 \times \frac{1}{4} \times \left(\frac{175 - 7}{2} \right) \times (437,5 - 2 \cdot 11)^2 \right) - \left(\frac{1}{4} \times 7 \times 175^2 \right) \\
 &= 1069539,2 \text{ mm}^3 = 1069,54 \text{ cm}^3
 \end{aligned}$$

3) Beban-beban Yang Bekerja

a) Beban Mati

- Berat pelat bondek = 10,1 kg/m²
- Berat sendiri pelat beton 0,09x2400 = 216 kg/m²
- Berat *waterproofing* = 5 kg/m²
- Berat plafon = 5 kg/m²

- Berat penggantung $= 10 \text{ kg/m}^2$
- Berat *ducting* dan *plumbing* $= 19,1 \frac{\text{kg/m}^2}{\text{m}} +$
 $q_D = 265,2 \text{ kg/m}^2$
- $W_{\text{Profil}} = 49,9 \text{ kg/m}$
- $q_{D\text{total}} = (q_D \times \text{panjang tributari}) + W_{\text{profil}}$
 $= (265,2 \text{ kg/m}^2 \times (2,5\text{m}/2 + 3\text{m}/2)) + 49,6 \text{ kg/m}$
 $= 778,9 \text{ kg/m}$

b) Beban Hidup

$$q_{L\text{total}} = (2,5\text{m}/3 + 3\text{m}/2) \times 96 \text{ kg/m}^2$$

$$= 264 \text{ kg/m}$$

c) Kombinasi Pembebanan

$$q_u = (1,2 \times q_{D\text{total}}) + (1,6 \times q_{L\text{total}})$$

$$= (1,2 \times 778,9 \text{ kg/m}) + (1,6 \times 264 \text{ kg/m})$$

$$= 1357,08 \text{ kg/m}$$

4) Gaya Dalam Yang Bekerja Pada Balok

a) Momen yang terjadi

$$M_u = \frac{1}{8} \times q_u \times L^2 = \frac{1}{8} \times 1357,08 \times 9^2 = 13740,4 \text{ kg.m}$$

b) Gaya geser yang terjadi

$$V_u = \frac{1}{2} \times q_u \times L = \frac{1}{2} \times 1357,08 \times 9 = 6106,86 \text{ kg}$$

5) Kontrol Kuat Momen Lentur

a) Ketika Solid

- Kontrol Pelat Sayap (Solid)

$$\lambda \leq \lambda_p \rightarrow \frac{b}{2t_f} \leq 0,38 \sqrt{\frac{E}{f_y}} \rightarrow \frac{175}{2 \times 11} \leq 0,38 \sqrt{\frac{200000}{250}}$$

$$7,95 < 10,75 \text{ (Penampang Kompak)}$$

- Kontrol pelat badan (Solid)

$$\lambda \leq \lambda_p \rightarrow \frac{h}{tw} \leq 3,76 \sqrt{\frac{E}{f_y}} \rightarrow \frac{387,5}{7} \leq 3,76 \sqrt{\frac{200000}{250}}$$

55,3 < 106,35 (Penampang Kompak)

- Karena penampang kompak, maka $M_n = M_p$ (solid)

$$M_p = M_n = Z_x \times F_y = 1123,13 \text{ cm}^3 \times 2500 \text{ kg/cm}^2$$

$$= 2807832,34 \text{ kg.cm} = 28078,3 \text{ kg.m}$$

$$\phi M_n = 0,9 \times M_n = 0,9 \times 2807832,34 \text{ kg.cm}$$

$$= 2527049,11 \text{ kg.cm} = 25270,5 \text{ kg.m}$$

Kontrol $\phi M_n \geq M_u$

$$25270,5 \text{ kg.m} > 13740,4 \text{ kg.m} \text{ (OK)}$$

- Kontrol Penampang Terhadap Tekuk Lateral

Jarak penahan lateral (L_b) = 40 cm

L_p = 196,63 cm } Dari Tabel (L_p & L_r)

L_r = 570,59 cm }

$L_b < L_p \rightarrow$ Bentang Pendek

Karena bentang pendek, maka :

$$M_p = M_n = Z_x \times F_y = 1123,13 \text{ cm}^3 \times 2500 \text{ kg/cm}^2$$

$$= 2807832,34 \text{ kg.cm} = 28078,3 \text{ kg.m}$$

$$\phi M_n = 0,9 \times M_n = 0,9 \times 2807832,34 \text{ kg.cm}$$

$$= 2527049,11 \text{ kg.cm} = 25270,5 \text{ kg.m}$$

Kontrol $\phi M_n \geq M_u$

$$25270,5 \text{ kg.m} > 13740,4 \text{ kg.m} \text{ (OK)}$$

- b) Ketika Lubang

- Kontrol pelat badan (Lubang)

$$\lambda \leq \lambda_p \rightarrow \frac{h-h_o}{tw} \leq 3,76 \sqrt{\frac{E}{f_y}} \rightarrow \frac{387,5-175}{7} \leq 3,76 \sqrt{\frac{200000}{250}}$$

30,35 < 106,35 (Penampang Kompak)

- Karena penampang kompak, maka $M_n = M_p$ (Lubang)

$$M_n = M_p \cdot f_y \times \Delta A_s \left(\frac{h_0}{4} + e \right)$$

$$M_p = Z_x \times F_y = 1069,5 \text{ cm}^3 \times 2500 \text{ kg/cm}^2$$

$$= 2673847,97 \text{ kg.cm} = 26738,48 \text{ kg.m}$$

$$\Delta A_s = h_0 \times t_w = 17,5 \times 0,7 = 12,25 \text{ cm}^2$$

$$M_n = M_p \cdot f_y \times \Delta A_s \left(\frac{h_0}{4} + e \right)$$

$$= 2673848 - 2500 \times 12,25 \times \left(\frac{17,5}{4} + 0 \right)$$

$$= 2539863,6 \text{ kg.cm}$$

$$\emptyset M_n = 0,9 \times M_n = 0,9 \times 2539863,6 \text{ kg.cm}$$

$$= 2285877 \text{ kg.cm} = 22858,77 \text{ kg.m}$$

Kontrol $\emptyset M_n \geq M_u$

$$22858,77 \text{ kg.m} \geq 13740,435 \text{ kg.m (OK)}$$

6) Kontrol Kuat Geser

Syarat ASCE 3.2 hal 3326-3327

$$\frac{d_g - 2t_f}{t_w} \leq \frac{1365}{\sqrt{f_y}} \rightarrow \frac{437,5 - 2,11}{7} \leq \frac{1365}{\sqrt{250}} \rightarrow 59,35 \leq 86,33 \text{ (OK)}$$

$$\frac{d_g - 2t_f}{t_w} \leq \frac{1100}{\sqrt{f_y}} \rightarrow \frac{437,5 - 2,11}{7} \leq \frac{1100}{\sqrt{250}} \rightarrow 59,35 \leq 69,57 \text{ (OK)}$$

Maka pelat badan termasuk plastis.

- a) Perbandingan Lebar Terhadap Tinggi Lubang

$$\frac{a_0}{h_0} < 3 = \frac{276}{175} = 1,57 < 3 \text{ (OK)}$$

- b) Parameter Lubang

$$P_o = \frac{a_0}{h_0} + \frac{6h_0}{d} = 1,57 + \frac{6 \times 175}{437,5} = 3,98 < 5,6 \text{ (OK)}$$

(Balok Non Komposit = 5,6)

- c) Kapasitas Geser Nominal Maksimum Pada Lubang
 $V_{nt} \leq V_{pt}$

$$V_{pt} = \frac{f_y \times t_w \times d_t}{\sqrt{3}} = 2500 \times 0,7 \times \frac{12,03}{\sqrt{3}} = 12149,6 \text{ kg}$$

$$\mu = 0$$

$$V = \frac{a_0}{d_T} = \frac{276}{120,3} = 2,3$$

$$\frac{\sqrt{6} + \mu}{v + \sqrt{3}} = \frac{\sqrt{6} + 0}{2,3 + \sqrt{3}} = 0,61 \leq 1,00 \text{ (OK)}$$

$$V_{nt} = \frac{\sqrt{6} + \mu}{v + \sqrt{3}} \times V_{pt} = \frac{\sqrt{6} + 0}{2,3 + \sqrt{3}} \times 12149,61$$

$$= 7389,1 \leq 12149,6 \text{ (OK)}$$

$$V_n = \Sigma V_{nt} = 2 \times V_{nt} = 2 \times 7389,1 = 14778,32 \text{ kg}$$

$$\emptyset V_n = 0,9 \times V_n = 0,9 \times 14778,32 = 13300,5 \text{ kg}$$

$$\text{Kontrol, } \emptyset V_n \geq V_u = 13300,5 \text{ kg} \geq 6106,9 \text{ kg (OK)}$$

- 7) Persamaan Interaksi

$$\left(\frac{M_u}{\Phi M_n} \right)^3 + \left(\frac{V_u}{\Phi V_n} \right)^3 \leq 1,0$$

$$\left(\frac{13740,4}{22858,77} \right)^3 + \left(\frac{6106,86}{13300,48} \right)^3 \leq 1,0$$

$$0,31 \leq 1,00 \text{ (OK)}$$

- 8) Kontrol Jarak Antar Lubang

$$S = 2(b+e) = 2 \times (50,5 + 175) = 451 \text{ mm}$$

$$S \geq h_0 = 451 \text{ mm} \geq 175 \text{ mm (OK)}$$

$$S \geq a_0 = 451 \text{ mm} \geq 276 \text{ mm (OK)}$$

$$V_p = \frac{f_y \times t_w \times d_g}{\sqrt{3}} = \frac{2500 \times 0,7 \times 43,7}{\sqrt{3}} = 44203,38 \text{ kg}$$

$$S \geq a_0 \left(\frac{\frac{Vu}{\phi V_p}}{1 - \frac{Vu}{\phi V_p}} \right)$$

$$451 \geq 276 \times \left(\frac{\frac{6106,9}{0,9 \times 44203,38}}{1 - \frac{6106,9}{0,9 \times 44203,38}} \right)$$

$$378,87 \text{ mm} \geq 50,06 \text{ mm (OK)}$$

9) Kontrol Lendutan

$$f_{ijin} = \frac{L}{360} = \frac{900}{360} = 2,5 \text{ cm}$$

$$f_{terjadi} = \frac{5}{384} \times \frac{(q_d + q_L) \times L^4}{E \times I_x}$$

$$\frac{5}{384} \times \frac{(7,789 + 2,64) \times 900^4}{2000000 \times \left(\frac{21696,34 + 21383,71}{2} \right)}$$

$$= 2,1 \text{ cm}$$

$$f_{terjadi} \leq f_{ijin} = 2,1 \text{ cm} \leq 2,5 \text{ cm (OK)}$$

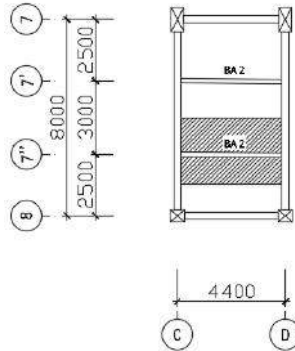
Jadi Profil *Castellated Beam* 437,5 x 175 x 7 x 11 dapat digunakan sebagai balok anak lantai atap.

4.2.2 Perencanaan Balok Anak Lantai Atap (BA 2)

Balok anak yang terletak pada lantai atap direncanakan menggunakan profil WF 250 x 125 x 5 x 8, dengan data- data sebagai berikut:

$$\begin{array}{ll} w & = 25,7 \text{ kg/m} & r & = 12 \text{ mm} \\ d & = 248 \text{ mm} & Z_x & = 305 \text{ cm}^3 \end{array}$$

bf	= 124 mm	Sx	= 285 cm ³
tw	= 5 mm	ix	= 10,4 cm
tf	= 8 mm	iy	= 2,79 cm
Ix	= 3540 cm ⁴	h	= d-2(tf+r)
Iy	= 255 cm ⁴		= 208 mm
E	= 200000 MPa		



Gambar 4.7 Denah Pembebanan Balok Lantai Atap (BA 2)

1) Beban-beban Yang Bekerja

a) Beban Mati

- Berat pelat bondek	= 10,1 kg/m ²
- Berat sendiri pelat beton 0,09x2400	= 216 kg/m ²
- Berat <i>waterproofing</i>	= 5 kg/m ²
- Berat plafon	= 5 kg/m ²
- Berat penggantung	= 10 kg/m ²
- Berat <i>ducting</i> dan <i>plumbing</i>	= 19,1 kg/m ² +
	$q_D = 265,2 \text{ kg/m}^2$

- W_{Profil}	= 49,9 kg/m
- $q_{D\text{total}}$	= ($q_D \times \text{panjang tributari}$) + W_{profil}
	= $(265,2 \text{ kg/m}^2 \times (2,5\text{m}/2 + 3\text{m}/2)) + 25,7\text{kg/m}$
	= 755 kg/m

b) Beban Hidup

$$q_{L\text{total}} = (2,5\text{m}/3 + 3\text{m}/2) \times 96\text{kg/m}^2 = 264 \text{ kg/m}$$

c) Kombinasi Pembebanan

$$\begin{aligned} q_u &= (1,2 \times q_{Dtotal}) + (1,6 \times q_{Ltotal}) \\ &= (1,2 \times 755 \text{ kg/m}) + (1,6 \times 264 \text{ kg/m}) \\ &= 1328,4 \text{ kg/m} \end{aligned}$$

2) Gaya Dalam Yang Bekerja Pada Balok

a) Momen yang terjadi

$$M_u = \frac{1}{8} \times q_u \times L^2 = \frac{1}{8} \times 1328,4 \times 4,4^2 = 3214,7 \text{ kg.m}$$

b) Gaya geser yang terjadi

$$V_u = \frac{1}{2} \times q_u \times L = \frac{1}{2} \times 1328,4 \times 4,4 = 2922,48 \text{ kg}$$

c) Reaksi perletakan

$$R_a = R_b = \frac{1}{2} \times q_u \times L = \frac{1}{2} \times 1328,4 \times 4,4 = 2922,48 \text{ kg}$$

3) Kontrol Kuat Momen Lentur

- Kontrol Pelat Sayap

$$\lambda \leq \lambda_p \rightarrow \frac{b}{2t_f} \leq 0,38 \sqrt{\frac{E}{f_y}} \rightarrow \frac{124}{2 \times 8} \leq 0,38 \sqrt{\frac{200000}{250}}$$

$$7,75 < 10,75 \text{ (Penampang Kompak)}$$

- Kontrol pelat badan (Solid)

$$\lambda \leq \lambda_p \rightarrow \frac{h}{t_w} \leq 3,76 \sqrt{\frac{E}{f_y}} \rightarrow \frac{208}{5} \leq 3,76 \sqrt{\frac{200000}{250}}$$

$$41,6 < 106,35 \text{ (Penampang Kompak)}$$

- Karena penampang kompak, maka $M_n = M_p$ (solid)

$$\begin{aligned} M_p = M_n &= Z_x \times F_y = 305 \text{ cm}^3 \times 2500 \text{ kg/cm}^2 \\ &= 762500 \text{ kg.cm} = 7625 \text{ kg.m} \end{aligned}$$

$$\begin{aligned} \phi M_n &= 0,9 \times M_n = 0,9 \times 762500 \text{ kg.cm} \\ &= 686250 \text{ kg.cm} = 6862,5 \text{ kg.m} \end{aligned}$$

Kontrol $\emptyset Mn \geq Mu$

$$6862,5 \text{ kg.m} > 3214,7 \text{ kg.m} \text{ (OK)}$$

4) Kontrol Penampang Terhadap Tekuk Lateral

$$\text{Jarak penahan lateral (Lb)} = 40 \text{ cm}$$

$$\left. \begin{array}{l} Lp = 138,9 \text{ cm} \\ Lr = 404,5 \text{ cm} \end{array} \right\} \text{ Dari Tabel (Lp \& Lr)}$$

$$Lb < Lp \rightarrow \text{Bentang Pendek}$$

Karena bentang pendek, maka :

$$\begin{aligned} Mp = Mn &= Z_x \times F_y = 305 \text{ cm}^3 \times 2500 \text{ kg/cm}^2 \\ &= 762500 \text{ kg.cm} = 7625 \text{ kg.m} \end{aligned}$$

$$\begin{aligned} \emptyset Mn &= 0,9 \times Mn = 0,9 \times 762500 \text{ kg.cm} \\ &= 686250 \text{ kg.cm} = 6862,5 \text{ kg.m} \end{aligned}$$

Kontrol $\emptyset Mn \geq Mu$

$$6862,5 \text{ kg.m} > 3214,7 \text{ kg.m} \text{ (OK)}$$

5) Kontrol Geser

$$Vu = 2922,5 \text{ kg}$$

$$\frac{h}{tw} \leq 1,1 \sqrt{k_v \frac{E}{F_y}}$$

$$\frac{208}{5} \leq 1,1 \sqrt{5 \times \frac{200000}{250}}$$

$$41,6 \leq 69,570 \rightarrow \text{plastis}$$

$h/tw < 260$ maka, $k_v = 5$ (SNI 1729:2015, Pasal G2.1)

maka, $C_v = 1,00$ sehingga

$$\begin{aligned} \text{Maka, } \emptyset V_n &= 0,9 \times (0,6 f_y A_w C_v) \\ &= 0,9 \times (0,6 \times 2500 \times (12,4 \times 0,5) \times 1,0) \\ &= 9300 \text{ kg} \end{aligned}$$

Syarat : $\emptyset V_n \geq V_u$

$$9300 \text{ kg} \geq 2922,5 \text{ kg} \text{ (OK)}$$

6) Kontrol Lendutan

$$f_{\text{ijin}} = \frac{L}{360} = \frac{440}{360} = 1,22 \text{ cm}$$

$$f_{\text{terjadi}} = \frac{5}{384} \times \frac{q \times L^4}{E \times I_x}$$

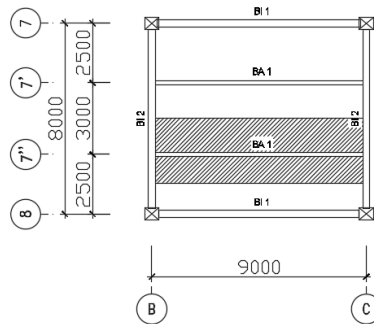
$$f_{\text{terjadi}} = \frac{5}{384} \times \frac{(7,55+2,64) \times 440^4}{2000000 \times 3540} = 0,7 \text{ cm}$$

Maka, profil WF 250 x 125 x 5 x 8 dapat digunakan sebagai balok anak atap (BA 2)

4.2.3 Perencanaan Balok Anak Lantai Asrama (BA 1)

Balok anak lantai atap direncanakan menggunakan profil WF 400 x 200 x 7 x 11, dengan F_y 250 Mpa (BJ 41), dengan data-data sebagai berikut:

w	= 56,6 kg/m	r	= 16 mm
d	= 396 mm	Z _x	= 1088 cm ³
bf	= 199 mm	Z _y	= 222 cm ³
tw	= 7 mm	i _x	= 16,7 cm
tf	= 11 mm	i _y	= 4,18 cm
I _x	= 20000 cm ⁴	h	= d-2(tf+r)
I _y	= 1450 cm ⁴		= 342 mm
E	= 200000 MPa		



Gambar 4.8 Denah Pembebanan Balok Lantai Asrama (BA 1)

1) Cek Penampang

- Pelat Sayap

$$\lambda \leq \lambda_p \rightarrow \frac{b}{2t_f} \leq 0,38 \sqrt{\frac{E}{f_y}}$$

$$\frac{199}{2 \times 11} \leq 0,38 \sqrt{\frac{200000}{250}}$$

$$9,05 \leq 10,75 \text{ (Penampang Kompak)}$$

- Pelat Badan

$$\lambda \leq \lambda_p \rightarrow \frac{h}{t_w} \leq 3,76 \sqrt{\frac{E}{f_y}}$$

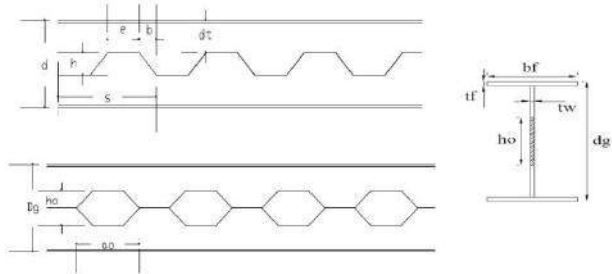
$$\frac{342}{7} \leq 3,76 \sqrt{\frac{200000}{250}}$$

$$48,86 \leq 106,35 \text{ (Penampang Kompak)}$$

Karena penampang kompak, maka $M_n = M_p$

$$\begin{aligned} M_p = M_n &= Z_x \times f_y = 1088 \times 2500 \\ &= 2720000 \text{ kg.cm} = 27200 \text{ kg.m} \end{aligned}$$

$$\begin{aligned} \phi M_n &= 0,9 \times M_n = 0,9 \times 2720000 \\ &= 2448000 \text{ kg.cm} = 24480 \text{ kg.m} \end{aligned}$$

2) Profil *Castellated Beam*Gambar 4.9 Detail Potongan *Castellated Beam*

- $\theta = 60^\circ$
 - $\tan \theta = 1,73$
- Dimensi profil *castellated beam*:
- $K_1 = 1.25$
 - $h = d(K_1 - 1) = 396 \times (1,25 - 1) = 99 \text{ mm}$
 - $dg = d + h = 396 + 99 = 495 \text{ mm}$
 - $b = \frac{h}{\tan \theta} = \frac{99}{1,73} = 57,15 \text{ mm}$
 - $dt = st = \frac{dg - 2tf}{2} - h = \frac{495 - (2 \times 11)}{2} - 99 = 137,5 \text{ mm}$
 - $e = 2h = 2 \times 99 = 198 \text{ mm}$
 - $a_0 = 2b + e = 2 \times 57,15 + 198 = 312,3 \text{ mm}$
 - $h_0 = 2h = e = 198 \text{ mm}$

Maka, profil WF menjadi profil *castellated* 495×200×7×11 dengan data-data sebagai berikut:

d	$= 495$	mm	h_0	$= 198$	mm
bf	$= 200$	mm	a_0	$= 312,3$	mm
tw	$= 7$	mm	r	$= 16$	mm
tf	$= 11$	mm	h	$= 441$	mm

c) I_x dan Z_x *Castellated* Tanpa Lubang

$$\begin{aligned}
 I_x &= \frac{1}{12} b \cdot d_g^3 - \left(2 \times \frac{1}{12} \times \left(\frac{b - t_w}{2} \right) (d_g - 2t_f)^3 \right) \\
 &= \frac{1}{12} \cdot 199 \cdot 495^3 - \left(2 \times \frac{1}{12} \times \left(\frac{199 - 7}{2} \right) (495 - 2 \cdot 11)^3 \right) \\
 &= 318167896,8 \text{ mm}^4 = 31816,79 \text{ cm}^4
 \end{aligned}$$

$$\begin{aligned}
 Z_x &= \left(\frac{1}{4} \times b \times d_g^2 \right) - \left(2 \times \frac{1}{4} \times \left(\frac{b_f - t_w}{2} \right) \times (d_g - 2t_f)^2 \right) \\
 &= \left(\frac{1}{4} \times 199 \times 495 \right) - \left(2 \times \frac{1}{4} \times \left(\frac{199 - 7}{2} \right) \times (495 - 2 \cdot 11)^2 \right) \\
 &= 1451001,75 \text{ mm}^3 = 1451 \text{ cm}^3
 \end{aligned}$$

d) I_x dan Z_x *Castellated* Lubang

$$\begin{aligned}
 I_x &= \frac{1}{12} b \cdot d_g^3 - \left(2 \times \frac{1}{12} \times \left(\frac{b - t_w}{2} \right) (d_g - 2t_f)^3 \right) - \left(\frac{1}{12} \times t_w \times h_o^3 \right) \\
 &= \frac{1}{12} \cdot 199 \cdot 495^3 - \left(2 \times \frac{1}{12} \times \left(\frac{199 - 7}{2} \right) (495 - 2 \cdot 11)^3 \right) - \left(\frac{1}{12} \times 7 \times 198^3 \right) \\
 &= 313639834,8 \text{ mm}^4 = 31363,98 \text{ cm}^4
 \end{aligned}$$

$$\begin{aligned}
 Z_x &= \left(\frac{1}{4} \times b \times d_g^2 \right) - \left(2 \times \frac{1}{4} \times \left(\frac{b_f - t_w}{2} \right) \times (d_g - 2t_f)^2 \right) - \left(\frac{1}{4} \times t_w \times h_o^2 \right) \\
 &= \left(\frac{1}{4} \times 199 \times 495 \right) - \left(2 \times \frac{1}{4} \times \left(\frac{199 - 7}{2} \right) \times (495 - 2 \cdot 11)^2 \right) - \left(\frac{1}{4} \times 7 \times 198^2 \right) \\
 &= 1382394,75 \text{ mm}^3 = 1382,39 \text{ cm}^3
 \end{aligned}$$

3) Beban-beban Yang Bekerja

a) Beban Mati

- Berat pelat bondek = 10,1 kg/m²
- Berat sendiri pelat beton 0,09x2400 = 216 kg/m²
- Berat keramik+spesi = 110 kg/m²
- Berat plafon = 5 kg/m²
- Berat penggantung = 10 kg/m²

$$\begin{aligned}
 - \text{ Berat ducting dan plumbing} &= 19,1 \text{ kg/m}^2 + \\
 &= 394,2 \text{ kg/m}^2 \\
 - W_{\text{Profil}} &= 69,2 \text{ kg/m} \\
 - q_{\text{Dtotal}} &= (q_{\text{D}} \times \text{panjang tributari}) + W_{\text{profil}} \\
 &= (394,2 \text{ kg/m}^2 \times (2,5\text{m}/2 + 3\text{m}/2)) + 69,2 \text{ kg/m} \\
 &= 1140,65 \text{ kg/m}
 \end{aligned}$$

b) Beban Hidup

$$\begin{aligned}
 q_{\text{Ltotal}} &= (2,5\text{m}/3 + 3\text{m}/2) \times 192 \text{ kg/m}^2 \\
 &= 528 \text{ kg/m}
 \end{aligned}$$

c) Kombinasi Pembebanan

$$\begin{aligned}
 q_u &= (1,2 \times q_{\text{Dtotal}}) + (1,6 \times q_{\text{Ltotal}}) \\
 &= (1,2 \times 1140,65 \text{ kg/m}) + (1,6 \times 528 \text{ kg/m}) \\
 &= 2213,58 \text{ kg/m}
 \end{aligned}$$

4) Gaya Dalam Yang Bekerja Pada Balok

a) Momen yang terjadi

$$\text{Mu} = \frac{1}{8} \times q_u \times L^2 = \frac{1}{8} \times 2213,58 \times 9^2 = 22412,49 \text{ kg.m}$$

b) Gaya geser yang terjadi

$$\text{Vu} = \frac{1}{2} \times q_u \times L = \frac{1}{2} \times 2213,58 \times 9 = 9961,11 \text{ kg}$$

5) Kontrol Kuat Momen Lentur

a) Ketika Solid

- Kontrol Pelat Sayap (Solid)

$$\lambda \leq \lambda_p \rightarrow \frac{b}{2t_f} \leq 0,38 \sqrt{\frac{E}{f_y}} \rightarrow \frac{199}{2 \times 11} \leq 0,38 \sqrt{\frac{200000}{250}}$$

$$9,05 < 10,75 \text{ (Penampang Kompak)}$$

- Kontrol pelat badan (Solid)

$$\lambda \leq \lambda_p \rightarrow \frac{h}{tw} \leq 3,76 \sqrt{\frac{E}{f_y}} \rightarrow \frac{441}{7} \leq 3,76 \sqrt{\frac{200000}{250}}$$

63 < 106,35 (Penampang Kompak)

- Karena penampang kompak, maka $M_n = M_p$ (solid)

$$M_p = M_n = Z_x \times F_y = 1451 \text{ cm}^3 \times 2500 \text{ kg/cm}^2$$

$$= 3627504,375 \text{ kg.cm} = 36275,04 \text{ kg.m}$$

$$\phi M_n = 0,9 \times M_n = 0,9 \times 3627504,375 \text{ kg.cm}$$

$$= 3264753,9 \text{ kg.cm} = 32647,5 \text{ kg.m}$$

Kontrol $\phi M_n \geq M_u$

$$32647,53 \text{ kg.m} > 22412,49 \text{ kg.m} \text{ (OK)}$$

- Kontrol Penampang Terhadap Tekuk Lateral

Jarak penahan lateral (L_b) = 40 cm

L_p = 223,02 cm } Dari Tabel (L_p & L_r)

L_r = 622,86 cm }

$L_b < L_p \rightarrow$ Bentang Pendek

Karena bentang pendek, maka :

$$M_p = M_n = Z_x \times F_y = 1451 \text{ cm}^3 \times 2500 \text{ kg/cm}^2$$

$$= 3627504,375 \text{ kg.cm} = 36275,04 \text{ kg.m}$$

$$\phi M_n = 0,9 \times M_n = 0,9 \times 3627504,375 \text{ kg.cm}$$

$$= 3264753,9 \text{ kg.cm} = 32647,5 \text{ kg.m}$$

Kontrol $\phi M_n \geq M_u$

$$32647,53 \text{ kg.m} > 22412,49 \text{ kg.m} \text{ (OK)}$$

- b) Ketika Lubang

- Kontrol pelat badan (Lubang)

$$\lambda \leq \lambda_p \rightarrow \frac{h-h_o}{tw} \leq 3,76 \sqrt{\frac{E}{f_y}} \rightarrow \frac{441-198}{7} \leq 3,76 \sqrt{\frac{200000}{250}}$$

34,7 < 106,35 (Penampang Kompak)

- Karena penampang kompak, maka $M_n = M_p$ (Lubang)

$$M_n = M_p - f_y \times \Delta A_s \left(\frac{h_0}{4} + e \right)$$

$$M_p = Z_x \times F_y = 1382,4 \text{ cm}^3 \times 2500 \text{ kg/cm}^2$$

$$= 3455987 \text{ kg.cm} = 34559,87 \text{ kg.m}$$

$$\Delta A_s = h_0 \times t_w = 19,8 \times 0,7 = 13,86 \text{ cm}^2$$

$$M_n = M_p - f_y \times \Delta A_s \left(\frac{h_0}{4} + e \right)$$

$$= 3455987 - 2500 \times 13,86 \times \left(\frac{19,8}{4} + 0 \right)$$

$$= 3284469,4 \text{ kg.cm}$$

$$\emptyset M_n = 0,9 \times M_n = 0,9 \times 3284469,4 \text{ kg.cm}$$

$$= 2956022 \text{ kg.cm} = 29560,2 \text{ kg.m}$$

Kontrol $\emptyset M_n \geq M_u$

$$29560,2 \text{ kg.m} \geq 22412,5 \text{ kg.m} \text{ (OK)}$$

6) Kontrol Kuat Geser

Syarat ASCE 3.2 hal 3326-3327

$$\frac{d_g - 2t_f}{t_w} \leq \frac{1365}{\sqrt{f_y}} \rightarrow \frac{495 - 2.11}{7} \leq \frac{1365}{\sqrt{250}} \rightarrow 67,6 \leq 86,33 \text{ (OK)}$$

$$\frac{d_g - 2t_f}{t_w} \leq \frac{1100}{\sqrt{f_y}} \rightarrow \frac{495 - 2.11}{7} \leq \frac{1100}{\sqrt{250}} \rightarrow 67,6 \leq 69,57 \text{ (OK)}$$

Maka pelat badan termasuk plastis.

- a) Perbandingan Lebar Terhadap Tinggi Lubang

$$\frac{a_0}{h_0} < 3 = \frac{312,3}{198} = 1,57 < 3 \text{ (OK)}$$

- b) Parameter Lubang

$$P_0 = \frac{a_0}{h_0} + \frac{6h_0}{d} = 1,57 + \frac{6 \times 198}{495} = 3,98 < 5,6 \text{ (OK)}$$

(Balok Non Komposit = 5,6)

- c) Kapasitas Geser Nominal Maksimum Pada Lubang
 $V_{nt} \leq V_{pt}$

$$V_{pt} = \frac{f_y \times t_w \times d_t}{\sqrt{3}} = 2500 \times 0,7 \times \frac{13,75}{\sqrt{3}} = 13892,5 \text{ kg}$$

$$\mu = 0$$

$$V = \frac{a_0}{d_T} = \frac{312,3}{137,5} = 2,27$$

$$\frac{\sqrt{6} + \mu}{v + \sqrt{3}} = \frac{\sqrt{6} + 0}{2,27 + \sqrt{3}} = 0,61 \leq 1,00 \text{ (OK)}$$

$$V_{nt} = \frac{\sqrt{6} + \mu}{v + \sqrt{3}} \times V_{pt} = \frac{\sqrt{6} + 0}{2,27 + \sqrt{3}} \times 13892,5$$

$$= 8500,1 \leq 13892,5 \text{ (OK)}$$

$$V_n = \Sigma V_{nt} = 2 \times V_{nt} = 2 \times 8500,1 = 17000,2 \text{ kg}$$

$$\emptyset V_n = 0,9 \times V_n = 0,9 \times 17000,2 = 15300,1 \text{ kg}$$

$$\text{Kontrol, } \emptyset V_n \geq V_u = 15300,1 \text{ kg} \geq 9961,1 \text{ kg (OK)}$$

- 7) Persamaan Interaksi

$$\left(\frac{M_u}{\Phi M_n} \right)^3 + \left(\frac{V_u}{\Phi V_n} \right)^3 \leq 1,0$$

$$\left(\frac{22412,5}{29560,2} \right)^3 + \left(\frac{9961,11}{15300,14} \right)^3 \leq 1,0$$

$$0,71 \leq 1,00 \text{ (OK)}$$

- 8) Kontrol Jarak Antar Lubang

$$S = 2(b+e) = 2 \times (57,2 + 198) = 510,3 \text{ mm}$$

$$S \geq h_0 = 510,3 \text{ mm} \geq 198 \text{ mm (OK)}$$

$$S \geq a_0 = 510,3 \text{ mm} \geq 312,2 \text{ mm (OK)}$$

$$V_p = \frac{f_y \times t_w \times d_g}{\sqrt{3}} = \frac{2500 \times 0,7 \times 49,5}{\sqrt{3}} = 50012,97 \text{ kg}$$

$$S \geq a_0 \left(\frac{V_u}{\phi V_p} \right)$$

$$510,3 \geq 312,3 \times \left(\frac{9961,1}{1 - \frac{0,9 \times 50012,97}{9961,1}} \right)$$

$$510,3 \text{ mm} \geq 88,76 \text{ mm (OK)}$$

9) Kontrol Lendutan

$$f_{ijin} = \frac{L}{360} = \frac{900}{360} = 2,5 \text{ cm}$$

$$f_{terjadi} = \frac{5}{384} \times \frac{(q_d + q_L) \times L^4}{E \times I_x}$$

$$= \frac{5}{384} \times \frac{(11,4 + 5,28) \times 900^4}{2000000 \times \left(\frac{31816,8 + 31363,98}{2} \right)}$$

$$= 2,26 \text{ cm}$$

$$f_{terjadi} \leq f_{ijin} = 2,26 \text{ cm} \leq 2,5 \text{ cm (OK)}$$

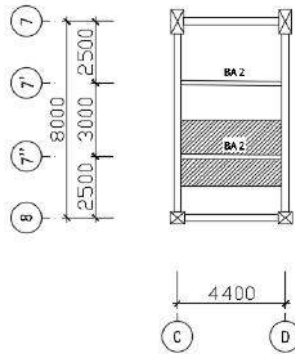
Jadi Profil *Castellated Beam* 495 × 200 × 7 × 11 dapat digunakan sebagai balok anak lantai asrama BA 1.

4.2.4 Perencanaan Balok Anak Lantai Asrama (BA 2)

Balok anak yang terletak pada lantai atap direncanakan menggunakan profil WF 250 × 175 × 7 × 11, dengan data- data sebagai berikut:

w	= 44,1 kg/m	r	= 16 mm
d	= 244 mm	Z _x	= 535 cm ³
bf	= 175 mm	S _x	= 503 cm ³

$$\begin{array}{ll}
 tw & = 7 \text{ mm} & ix & = 10,4 \text{ cm} \\
 tf & = 11 \text{ mm} & iy & = 4,18 \text{ cm} \\
 I_x & = 6120 \text{ cm}^4 & h & = d-2(tf+r) \\
 I_y & = 984 \text{ cm}^4 & & = 190 \text{ mm} \\
 E & = 200000 \text{ MPa} & &
 \end{array}$$



Gambar 4.10 Denah Pembebanan Balok Lantai Asrama (BA 2)

1) Beban-beban Yang Bekerja

a) Beban Mati

- Berat pelat bondek	= 10,1 kg/m ²
- Berat sendiri pelat beton 0,1x2400	= 240 kg/m ²
- Berat keramik+spesi	= 110 kg/m ²
- Berat plafon	= 5 kg/m ²
- Berat penggantung	= 10 kg/m ²
- Berat <i>ducting</i> dan <i>plumbing</i>	= 19,1 kg/m ² +
	$q_D = 394,2 \text{ kg/m}^2$

$$- W_{\text{Profil}} = 49,9 \text{ kg/m}$$

$$\begin{aligned}
 - q_{D\text{total}} &= (q_D \times \text{panjang tributari}) + W_{\text{profil}} \\
 &= (394,2 \text{ kg/m}^2 \times (2,5\text{m}/2 + 3\text{m}/2)) + 44,1 \text{ kg/m} \\
 &= 1128,15 \text{ kg/m}
 \end{aligned}$$

b) Beban Hidup

$$q_{L\text{total}} = (2,5\text{m}/3 + 3\text{m}/2) \times 192 \text{ kg/m}^2 = 528 \text{ kg/m}$$

c) Kombinasi Pembebanan

$$\begin{aligned} q_u &= (1,2 \times q_{Dtotal}) + (1,6 \times q_{Ltotal}) \\ &= (1,2 \times 1128,15 \text{ kg/m}) + (1,6 \times 528 \text{ kg/m}) \\ &= 2198,58 \text{ kg/m} \end{aligned}$$

2) Gaya Dalam Yang Bekerja Pada Balok

a) Momen yang terjadi

$$M_u = \frac{1}{8} \times q_u \times L^2 = \frac{1}{8} \times 2198,58 \times 4,4^2 = 5320,56 \text{ kg.m}$$

b) Gaya geser yang terjadi

$$V_u = \frac{1}{2} \times q_u \times L = \frac{1}{2} \times 2198,58 \times 4,4 = 4836,9 \text{ kg}$$

c) Reaksi perletakan

$$R_a = R_b = \frac{1}{2} \times q_u \times L = \frac{1}{2} \times 2198,58 \times 4,4 = 4836,9 \text{ kg}$$

3) Kontrol Kuat Momen Lentur

- Kontrol Pelat Sayap

$$\lambda \leq \lambda_p \rightarrow \frac{b}{2t_f} \leq 0,38 \sqrt{\frac{E}{f_y}} \rightarrow \frac{175}{2 \times 11} \leq 0,38 \sqrt{\frac{200000}{250}}$$

$$7,95 < 10,75 \text{ (Penampang Kompak)}$$

- Kontrol pelat badan

$$\lambda \leq \lambda_p \rightarrow \frac{h}{t_w} \leq 3,76 \sqrt{\frac{E}{f_y}} \rightarrow \frac{190}{7} \leq 3,76 \sqrt{\frac{200000}{250}}$$

$$27,14 < 106,35 \text{ (Penampang Kompak)}$$

- Karena penampang kompak, maka $M_n = M_p$ (solid)

$$\begin{aligned} M_p = M_n &= Z_x \times F_y = 535 \text{ cm}^3 \times 2500 \text{ kg/cm}^2 \\ &= 1337500 \text{ kg.cm} = 13375 \text{ kg.m} \end{aligned}$$

$$\begin{aligned} \phi M_n &= 0,9 \times M_n = 0,9 \times 1337500 \text{ kg.cm} \\ &= 1203750 \text{ kg.cm} = 12037,5 \text{ kg.m} \end{aligned}$$

Kontrol $\emptyset Mn \geq Mu$

$$12037,5 \text{ kg.m} > 5320,56 \text{ kg.m} \text{ (OK)}$$

4) Kontrol Penampang Terhadap Tekuk Lateral

$$\text{Jarak penahan lateral (Lb)} = 40 \text{ cm}$$

$$\left. \begin{array}{l} L_p = 208,08 \text{ cm} \\ L_r = 689,2 \text{ cm} \end{array} \right\} \text{ Dari Tabel (Lp \& Lr)}$$

$L_b < L_p \rightarrow$ Bentang Pendek

Karena bentang pendek, maka :

$$\begin{aligned} M_p = M_n &= Z_x \times F_y = 535 \text{ cm}^3 \times 2500 \text{ kg/cm}^2 \\ &= 1337500 \text{ kg.cm} = 13375 \text{ kg.m} \end{aligned}$$

$$\begin{aligned} \emptyset Mn &= 0,9 \times M_n = 0,9 \times 1337500 \text{ kg.cm} \\ &= 1203750 \text{ kg.cm} = 12037,5 \text{ kg.m} \end{aligned}$$

Kontrol $\emptyset Mn \geq Mu$

$$12037,5 \text{ kg.m} > 5320,56 \text{ kg.m} \text{ (OK)}$$

5) Kontrol Geser

$$V_u = 4836,88 \text{ kg}$$

$$\frac{h}{tw} \leq 1,1 \sqrt{k_v \frac{E}{F_y}}$$

$$\frac{190}{7} \leq 1,1 \sqrt{5 \times \frac{200000}{250}}$$

$$27,14 \leq 69,570 \rightarrow \text{plastis}$$

$h/tw < 260$ maka, $k_v = 5$ (SNI 1729:2015, Pasal G2.1)

maka, $C_v = 1,00$ sehingga

$$\begin{aligned} \text{Maka, } \emptyset V_n &= 0,9 \times (0,6 f_y A_w C_v) \\ &= 0,9 \times (0,6 \times 2500 \times (17,5 \times 0,7) \times 1,0) \\ &= 18375 \text{ kg} \end{aligned}$$

Syarat : $\emptyset V_n \geq V_u$
 $18375 \text{ kg} \geq 4836,9 \text{ kg}$ (OK)

6) Kontrol Lendutan

$$f_{\text{ijin}} = \frac{L}{360} = \frac{440}{360} = 1,22 \text{ cm}$$

$$f_{\text{terjadi}} = \frac{5}{384} \times \frac{q \times L^4}{E \times I_x}$$

$$f_{\text{terjadi}} = \frac{5}{384} \times \frac{(11,28 + 5,28) \times 440^4}{2000000 \times 6120} = 0,66 \text{ cm}$$

Maka, profil WF 250 x 175 x 7 x 11 dapat digunakan sebagai balok anak asrama (BA 2)

4.3 Perencanaan Tangga dan Bordes

Tangga merupakan sebuah konstruksi yang dirancang untuk menghubungkan dua tingkat vertikal yang memiliki jarak satu sama lain. Pada asrama President University ini direncanakan tangga konstruksi baja.

4.3.1 Perencanaan Tangga

1) Data teknis tangga:

- Mutu baja = BJ 41
- Tinggi antar lantai = 400 cm
- Tinggi bordes = 200 cm
- Panjang Tangga = 300 cm
- Lebar tangga = 175 cm
- Lebar bordes = 150 cm
- Lebar antrede (i) = 30 cm
- Lebar pegangan tangga = 50 cm

Syarat perencanaan optrede dan antrede serta kemiringan tangga sebagai berikut:

$$60 \text{ cm} \leq (2t + i) \leq 65 \text{ cm}$$

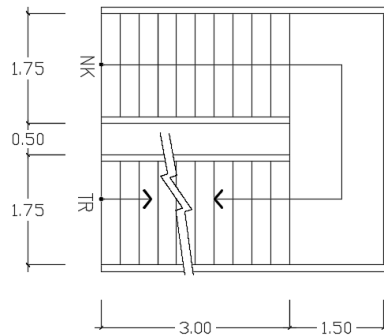
$$25^{\circ} < a < 40^{\circ}$$

Dimana:

- t = tinggi optrede (cm)
- i = lebar antrede (cm)
- a = kemiringan tangga

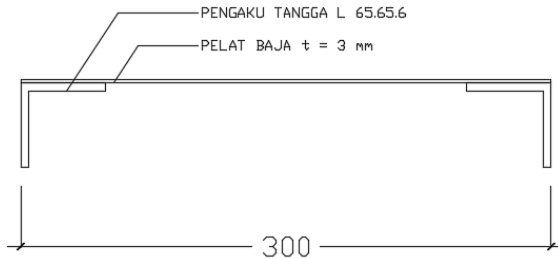
Maka,

- Direncanakan tinggi optrede (t) = 17 cm
- Jumlah optrede = $\frac{\text{tinggi bordes}}{t} = \frac{200}{17} = 11$ buah
- Jumlah antrede (n) = $11 \text{ bh} - 1 = 10$ buah
- Kontrol, $60 \text{ cm} \leq (2 \times 17 + 30) \leq 65 \text{ cm}$
 $60 \text{ cm} \leq 64 \text{ cm} \leq 65 \text{ cm}$ (**OK**)
- Jadi tinggi optrede = 16,667 cm
- Kemiringan tangga (α) = $\arctg \frac{200}{300} = 33,69^{\circ}$



Gambar 4.11 Denah Tangga Utama

2) Perencanaan Anak Tangga



Gambar 4.12 Pelat Anak Tangga

a) Perencanaan tebal anak tangga

Tebal pelat tangga	= 3 mm
Berat jenis baja	= 7850 kg/m ³
Mutu baja BJ 41, f _y	= 2500 kg/cm ²

b) Perencanaan pembebanan pelat tangga

- **Beban Mati**

Berat pelat = 0,003 × 1,75 × 7850	= 41,21 kg/m
Alat penyambung 10%	<u>= 4,12 kg/m</u> +
q_D	= 45,33 kg/m

- **Beban Hidup**

q _L = 300 kg/m ² × 1,75 m	= 525 kg/m
---	------------

- **Perhitungan M_d dan M_l**

L (lebar antrede)	= 0,30 m
P	= 100 kg
$M_D = \frac{1}{8} \times q_d \times L^2 = \frac{1}{8} \times 45,33 \times 0,30^2$	= 0,51 kg.m
$M_L = \frac{1}{8} \times q_l \times L^2 = \frac{1}{8} \times 525 \times 0,30^2$	= 5,91 kg.m

$$M_L = \frac{1}{4} \times p l \times L = \frac{1}{4} \times 100 \times 0,30 = 7,50 \text{ kg.m}$$

Maka yang menentukan,

$$M_D = 0,51 \text{ kg.m}$$

$M_L = 7,50 \text{ kg.m}$ (yang paling besar)

- **Perhitungan Kombinasi Pembebanan M_u**

$$M_u = 1,4 \cdot M_D = 1,4 \cdot 0,51 = 0,71 \text{ kg.m}$$

$$M_u = 1,2M_D + 1,6M_L = 1,2 \cdot 0,51 + 1,6 \cdot 7,50 = 12,61 \text{ kg.m}$$

Maka yang menentukan,

$$M_u = 12,61 \text{ kg.m}$$

- **Kontrol Momen Lentur**

$$Z_x = \frac{1}{4} \times b \times h^2 = \frac{1}{4} \times 175 \times 0,3^2 = 3,94 \text{ cm}^3$$

$$\emptyset M_n = \emptyset Z_x \cdot f_y = 0,9 \cdot 3,94 \cdot 2500 = 8859 \text{ kg.cm}$$

$$= 88,59 \text{ kg.m}$$

Syarat, $\emptyset M_n > M_u \rightarrow 88,59 \text{ kg.m} > 12,61 \text{ kg.m}$ (**OK**)

- **Kontrol Lendutan**

$$f_{ijin} = \frac{L}{240} = \frac{30}{240} = 0,125 \text{ cm}$$

$$I_x = \frac{1}{12} \times b \times h^3 = \frac{1}{12} \times 175 \times 0,3^3 = 0,39 \text{ cm}^4$$

$$f^o = \frac{5 \left(\frac{q d l + q l l}{100} \right) l^4}{384 \cdot E I_x} = \frac{5 \left(\frac{45,33 + 525}{100} \right) 30^4}{384 \cdot 2000000 \cdot 0,39} = 0,076 \text{ cm}$$

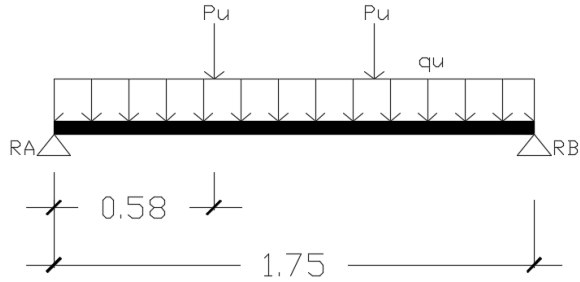
Maka, $f^o \leq f_{ijin} \rightarrow 0,076 \text{ cm} \leq 0,125 \text{ cm}$ (**OK**)

c) Perencanaan pengaku anak tangga

Direncanakan menggunakan profil siku 65 x 65 x 6 dengan data sebagai berikut,

$$w = 5,91 \text{ kg/m} \quad I_x = 29,4 \text{ cm}^4$$

A	= 7,527 cm ²	I _y	= 29,4 cm ⁴
bf	= 65 mm	i _x	= 1,98 cm
tw	= 6 mm	i _y	= 1,98 cm
Z _x	= 6,27 cm ³		



Gambar 4.13 Sketsa Pembebanan Pengaku Anak Tangga

- **Beban Mati ($\frac{1}{2}$ Lebar Antrede)**

$$\text{Berat plat} = 0,003 \times \frac{0,30}{2} \times 7850 = 3,53 \text{ kg/m}$$

$$\text{Berat baja siku} = 65 \times 65 \times 6 = 5,91 \text{ kg/m} +$$

$$= 9,44 \text{ kg/m}$$

$$\text{Alat penyambung (10\%)} = 0,94 \text{ kg/m} +$$

$$q_D = 10,39 \text{ kg/m}$$

- **Beban Hidup ($\frac{1}{2}$ Lebar Antrede)**

$$q_L = 300 \text{ kg/m}^2 \cdot \frac{0,30}{2} = 45 \text{ kg/m}$$

$$P_L = 100 \text{ kg}$$

- **Perhitungan M_d dan M_l**

$$L \text{ (lebar tangga)} = 1,75 \text{ m}$$

$$P = 100 \text{ kg}$$

$$M_D = \frac{1}{8} \times q_D \times L^2 = \frac{1}{8} \times 10,39 \times 1,75^2 = 3,98 \text{ kg.m}$$

$$M_L = \text{merata} \frac{1}{8} \times q_l \times L^2 = \frac{1}{8} \times 45 \times 1,75^2 = 17,23 \text{ kg.m}$$

$$M_L = \text{terpusat} \frac{1}{3} \times P \times L = \frac{1}{3} \times 100 \times 1,75 = 58,33 \text{ kg.m}$$

Maka yang menentukan,

$$M_D = 3,98 \text{ kg.m}$$

$$M_L = 58,33 \text{ kg.m (yang paling besar)}$$

$$\begin{aligned} V_u &= 1,2 \left(\frac{1}{2} \times q_d \times L \right) + 1,6 \left(\frac{1}{2} \times P \times 2 \right) \\ &= 1,2 \left(\frac{1}{2} \times 10,39 \times 1,75 \right) + 1,6 \left(\frac{1}{2} \times 100 \times 2 \right) \\ &= 170,91 \text{ kg} \end{aligned}$$

- **Perhitungan Kombinasi pembebanan M_u**

$$M_u = 1,2.M_D + 1,6.M_L = 1,2.3,98 + 1,6.58,33 = 98,1 \text{ kg.m}$$

- **Kontrol Penampang Profil**

Kontrol pelat sayap

$$\lambda = \frac{bf}{tf} = \frac{65}{6} = 10,833$$

$$\lambda_p = 0,54 \sqrt{\frac{E}{f_y}} = 0,54 \sqrt{\frac{200000}{250}} = 15,27$$

$$\lambda < \lambda_p \rightarrow 10,833 < 15,27 \rightarrow \text{OK (Penampang Kompak)}$$

Karena penampang kompak, Maka $M_n = M_p$

$$M_n = \phi Z_x \cdot f_y = 0,9 \cdot 6,27 \cdot 2500 = 14107,5 \text{ kg.cm}$$

$$= 141,075 \text{ kg.m}$$

$$\phi M_n = 0,90 \cdot 141,075 \text{ kg.m}$$

$$= 126,96 \text{ kg.m}$$

Syarat,

$$\phi M_n \geq M_u \rightarrow 126,96 \text{ kg.m} \geq 98,1 \text{ kg.m (OK)}$$

- **Kontrol Kuat Geser**

$$V_u = 170,91 \text{ kg}$$

$$\frac{h_w}{t_w} = \frac{65 - 6}{6} = 9,83$$

$$\frac{h_w}{t_w} < 260 \rightarrow kv = 1 \text{ (SNI 1729:2015, Pasal G2.1)}$$

$$1,10 \sqrt{k_v \frac{E}{f_y}} = 1,10 \sqrt{5 \frac{200000}{250}} = 69,57$$

$$k_v = 5 \text{ (SNI 1729:2015, Pasal G2.1)}$$

$$9,83 < 69,57 \text{ Maka, } C_v = 1$$

$$\begin{aligned} V_n &= 0,6 \cdot f_y \cdot A_w \cdot C_v \\ &= 0,6 \cdot 2500 \cdot (6,5 \cdot 0,6) \cdot 1 \\ &= 5850 \text{ kg} \end{aligned}$$

$$\begin{aligned} \phi V_n &= 0,9 \cdot V_n \\ &= 0,9 \cdot 5850 \text{ kg} \\ &= 5265 \text{ kg} \end{aligned}$$

$$\text{Syarat, } \phi V_n > V_u \rightarrow 5265 \text{ kg} > 170,91 \text{ kg (OK)}$$

- Kontrol Lendutan

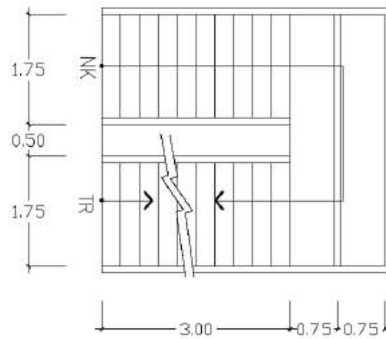
$$f_{ijin} = \frac{L}{240} = \frac{175}{240} = 0,73 \text{ cm}$$

$$\begin{aligned} f^o &= \frac{5 \left(\frac{qdl + qll}{100} \right) l^4}{384 \cdot E \cdot I_x} + \left(\frac{23}{684} \times \frac{P \cdot l^3}{E \cdot I_x} \right) \\ &= \frac{5 \left(\frac{12,98 + 45}{100} \right) 175^4}{384 \cdot 2000000 \cdot 29,4} + \left(\frac{23}{684} \times \frac{100 \cdot 175^3}{2000000 \cdot 29,4} \right) \end{aligned}$$

$$= 0,12 \text{ cm}$$

$$\text{Maka, } f^o < f_{ijin} \rightarrow 0,12 \text{ cm} < 0,73 \text{ cm (OK)}$$

4.3.2 Perencanaan Bordes



Gambar 4.14 Denah Bordes

1) Pelat Bordes

a) Data Pelat Bordes

- Tebal pelat bordes = 5 mm
- Berat jenis baja = 7850 kg/m³
- Mutu baja BJ 41, fy = 2500 kg/cm
- Lebar tangga = 1,75 m
- Lebar bordes = 1,50 m
- ½ lebar bordes = 0,75 m

b) Perencanaan Pembebanan Pelat Bordes

- **Beban Mati**

$$\begin{aligned} \text{Berat pelat} &= 0,005 \times 1,75 \times 7850 &&= 68,69 \text{ kg/m} \\ \text{Alat penyambung 10\%} &&&= 6,87 \text{ kg/m} + \\ q_D &&&= 75,56 \text{ kg/m} \end{aligned}$$

- **Beban Hidup**

$$q_L = 300 \text{ kg/m}^2 \times 1,75 \text{ m} = 525 \text{ kg/m}$$

- **Perhitungan Md dan MI**

$$M_D = \frac{1}{8} \times qd \times L^2 = \frac{1}{8} \times 75,56 \times 0,75^2 = 5,3 \text{ kg.m}$$

$$M_L = \frac{1}{8} \times ql \times L^2 = \frac{1}{8} \times 525 \times 0,75^2 = 36,9 \text{ kg.m}$$

- **Perhitungan Kombinasi Pembebanan M_u**

$$\begin{aligned} M_u &= 1,2M_D + 1,6M_L = 1,2 \times 5,3 + 1,6 \times 36,9 \\ &= 65,44 \text{ kg.m} \end{aligned}$$

- **Kontrol Momen Lentur**

$$Z_x = \frac{1}{4} \times b \times h^2 = \frac{1}{4} \times 175 \times 0,5^2 = 10,9 \text{ cm}^3$$

$$\begin{aligned} \emptyset M_n &= 0,9 \cdot Z_x \cdot f_y = 0,9 \cdot 10,9 \cdot 2500 = 24609,4 \text{ kg.cm} \\ &= 246,09 \text{ kg.m} \end{aligned}$$

$$\text{Syarat, } \emptyset M_n > M_u \rightarrow 246,09 \text{ kg.m} > 65,44 \text{ kg.m (OK)}$$

- **Kontrol Lendutan**

$$f_{ijin} = \frac{L}{240} = \frac{75}{240} = 0,21 \text{ cm}$$

$$I_x = \frac{1}{12} \times b \times h^3 = \frac{1}{12} \times 175 \times 0,5^3 = 1,56 \text{ cm}^4$$

$$f^o = \frac{5 \left(\frac{qd + ql}{100} \right) l^4}{384 \cdot EI_x} = \frac{5 \left(\frac{75,56 + 525}{100} \right) 75^4}{384 \times 2000000 \times 1,8} = 0,01 \text{ cm}$$

$$\text{Maka, } f^o < f_{ijin} \rightarrow 0,01 \text{ cm} < 0,21 \text{ cm (OK)}$$

2) Perencanaan Balok Bordes

Direncanakan menggunakan profil WF 100 x 50 x 5 x 7 dengan data sebagai berikut:

$$\begin{array}{ll} A = 11,85 \text{ cm}^2 & i_x = 3,98 \text{ cm} \\ w = 9,30 \text{ kg/m} & i_y = 1,12 \text{ cm} \\ d = 100 \text{ mm} & r = 8,0 \text{ mm} \end{array}$$

$$\begin{array}{ll}
 bf = 50 & \text{mm} & Z_x = 42 & \text{cm}^3 \\
 tw = 5 & \text{mm} & Z_y = 9 & \text{cm}^3 \\
 tf = 7 & \text{mm} & S_x = 37,50 & \text{cm}^3 \\
 I_x = 187 & \text{cm}^4 & S_y = 5,91 & \text{cm}^3 \\
 I_y = 14,8 & \text{cm}^4 & h = d-2(tf+r) & \\
 & & = 70 & \text{mm}
 \end{array}$$

a) Perencanaan pembebanan balok bordes

- **Beban Mati**

$$\begin{array}{ll}
 \text{Berat pelat} = 0,005 \times 0,75 \times 7850 & = 29,4 \text{ kg/m} \\
 \text{Berat profil} & = \underline{9,3 \text{ kg/m} +} \\
 & = 38,7 \text{ kg/m} \\
 \text{Alat penyambung 10\%} & = \underline{3,87 \text{ kg/m} +} \\
 & q_D = 42,6 \text{ kg/m}
 \end{array}$$

- **Beban Hidup**

$$\begin{array}{l}
 \text{Lantai asrama} = 300 \text{ kg/m}^2 \text{ (PPIUG 1987)} \\
 q_L = 300 \text{ kg/m}^2 \times 0,75 \text{ m} = 225 \text{ kg/m}
 \end{array}$$

- **Perhitungan Gaya Dalam**

$$\begin{array}{ll}
 V_D = \frac{1}{2} \times q_D \times L = \frac{1}{2} \times 42,61 \times 1,75 & = 37,3 \text{ kg} \\
 M_D = \frac{1}{8} \times q_D \times L^2 = \frac{1}{8} \times 42,61 \times 1,75^2 & = 16,3 \text{ kg.m} \\
 V_L = \frac{1}{2} \times q_L \times L = \frac{1}{2} \times 225 \times 1,75 & = 196,8 \text{ kg} \\
 M_L = \frac{1}{8} \times q_L \times L^2 = \frac{1}{8} \times 225 \times 1,75^2 & = 86,1 \text{ kg.m}
 \end{array}$$

- **Perhitungan Kombinasi Pembebanan M_u dan V_u**

$$\begin{array}{l}
 V_u = 1,2 \times V_D + 1,6 \times V_L \\
 = 1,2 \times 37,3 + 1,6 \times 196,8 \\
 = 359,7 \text{ kg.m}
 \end{array}$$

$$M_u = 1,2 \times M_D + 1,6 \times M_L$$

$$= 1,2 \times 16,3 + 1,6 \times 86,1$$

$$= 157,38 \text{ kg.m}$$

- **Kontrol Penampang**

Pelat sayap

$$\lambda = \frac{b_f}{2t_f} = \frac{50}{2 \times 7} = 3,57$$

$$\lambda_p = 0,38 \sqrt{\frac{E}{f_y}} = 0,38 \sqrt{\frac{200000}{250}} = 10,75$$

$$\lambda < \lambda_p \rightarrow 3,57 < 10,75 \text{ (Penampang Kompak)}$$

Pelat badan

$$\lambda \leq \lambda_p \rightarrow \frac{h}{tw} \leq 3,76 \sqrt{\frac{E}{f_y}} \rightarrow \frac{70}{5} \leq 3,76 \sqrt{\frac{200000}{250}}$$

$$14 < 106,35 \text{ (Penampang Kompak)}$$

Karena penampang kompak, maka $M_n = M_p$

$$M_p = M_n = Z_x \times F_y$$

$$= 42 \text{ cm}^3 \times 2500 \text{ kg/cm}^2$$

$$= 105000 \text{ kg.cm}$$

$$= 1050 \text{ kg.m}$$

- **Cek Kemampuan Penampang**

$$\phi M_n = 0,9 \times M_n$$

$$= 0,9 \times 105000 \text{ kg.cm}$$

$$= 94500 \text{ kg.cm}$$

$$= 945 \text{ kg.m}$$

$$\phi M_n \geq M_u \rightarrow 945 \text{ kg.m} \geq 157,39 \text{ (OK)}$$

- **Kontrol Kuat Geser**

$$V_u = 359,74 \text{ kg}$$

$$\frac{h_w}{t_w} = \frac{50 - 5}{5} = 9 < 260, k_v = 5 \text{ (SNI 1729:2015, Pasal G2.1)}$$

$$1,10 \sqrt{k_v \frac{E}{f_y}} = 1,10 \sqrt{5 \times \frac{200000}{250}} = 69,57$$

$k_v = 5$ (SNI 1729:2015, Pasal G2.1)

Maka, $C_v = 1,00$

$$\begin{aligned} V_n &= 0,6 \cdot f_y \cdot A_w \cdot C_v \\ &= 0,6 \cdot 2500 \cdot (10 \cdot 0,5) \cdot 1 \\ &= 7500 \text{ kg} \end{aligned}$$

$$\begin{aligned} \phi V_n &= 0,9 \cdot V_n \\ &= 0,9 \cdot 7500 \text{ kg} \\ &= 6750 \text{ kg} \end{aligned}$$

Syarat, $\phi V_n > V_u \rightarrow 6750 \text{ kg} > 359,74 \text{ kg}$ (**OK**)

- Kontrol Lendutan

$$f_{ijin} = \frac{L}{240} = \frac{175}{240} = 0,73 \text{ cm}$$

$$f^o = \frac{5 \left(\frac{qdl + qll}{100} \right) l^4}{384 \cdot EI_x} = \frac{5 \left(\frac{42,6 + 225}{100} \right) 175^4}{384 \cdot 2000000 \cdot 187} = 0,08 \text{ cm}$$

Kontrol, $f^o < f_{ijin} \rightarrow 0,08 \text{ cm} < 0,73 \text{ cm}$ (**OK**)

Maka, profil WF 100 x 50 x 5 x 7 dapat digunakan sebagai balok bordes pada tangga.

4.3.3 Perencanaan Balok Utama Tangga

Direncanakan menggunakan profil WF 200 x 100 x 4,5 x 7 dengan data sebagai berikut:

$A = 23,18 \text{ cm}^2$	$i_x = 8,26 \text{ cm}$
$w = 18,20 \text{ kg/m}$	$i_y = 2,21 \text{ cm}$
$d = 200 \text{ mm}$	$r = 11,0 \text{ mm}$
$bf = 100 \text{ mm}$	$Z_x = 170 \text{ cm}^3$
$tw = 4,5 \text{ mm}$	$Z_y = 35 \text{ cm}^3$
$tf = 7 \text{ mm}$	$S_x = 160 \text{ cm}^3$
$I_x = 1580 \text{ cm}^4$	$S_y = 23 \text{ cm}^3$
$I_y = 114 \text{ cm}^4$	$h = d - 2(tf + r)$

$$= 164 \text{ mm}$$

a) Perencanaan pembebanan anak tangga

- **Beban Mati (Anak Tangga)**

$$\text{Berat pelat} = 0,003 \times 0,875 \times 7850 = 20,6 \text{ kg/m}$$

$$\text{W profil siku} = 5,91 \times 2 = 11,82 \text{ kg/m} +$$

$$= 32,4 \text{ kg/m}$$

$$\text{Alat penyambung 10\%} = 3,24 \text{ kg/m} +$$

$$q_{D1} = 35,67 \text{ kg/m}$$

- **Beban Hidup**

$$q_{L1} = 300 \times \frac{0,875}{\cos 33,69} = 315,5 \text{ kg/m}$$

$$\begin{aligned} q_{U1} &= 1,2 q_D + 1,6 q_L \\ &= 1,2 \cdot 35,67 + 1,6 \cdot 315,5 \\ &= 547,58 \text{ kg/m} \end{aligned}$$

b) Perencanaan pembebanan dan gaya dalam bordes

- **Beban Mati**

$$\text{Berat pelat} = 0,005 \times 0,875 \times 7850 = 34,34 \text{ kg/m}$$

$$\text{Alat penyambung 10\%} = 3,4 \text{ kg/m} +$$

$$q_{D2} = 37,8 \text{ kg/m}$$

- **Beban Hidup**

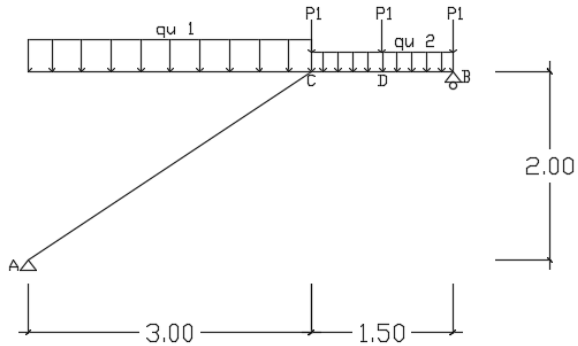
$$q_{L2} = 300 \times 0,875 = 262,5 \text{ kg/m}$$

$$\begin{aligned} q_{U2} &= 1,2 q_D + 1,6 q_L \\ &= 1,2 \cdot 37,8 + 1,6 \cdot 262,5 \\ &= 465,33 \text{ kg/m} \end{aligned}$$

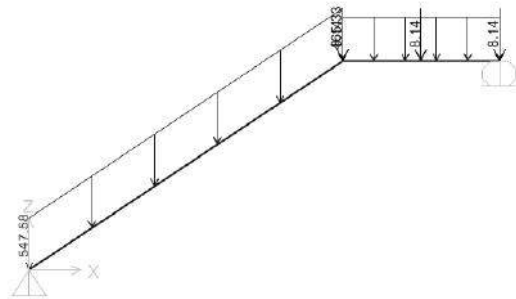
- **Beban Terpusat**

Beban terpusat akibat balok bordes

$$P_1 = 9,3 \times 0,875 = 8,14 \text{ kg}$$

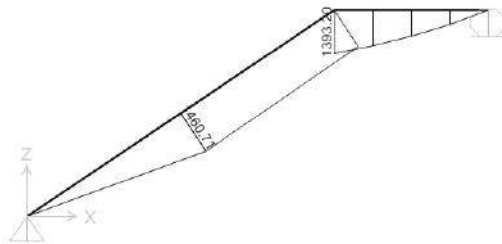


Gambar 4.15 Model Pembebanan Balok Utama Tangga



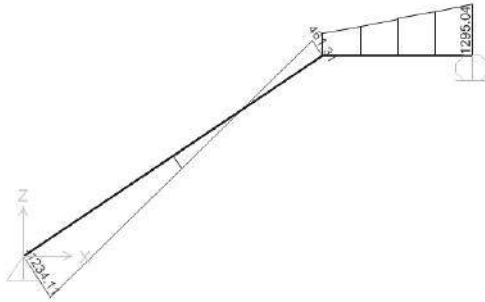
Gambar 4.16 Pemodelan Pembebanan Pada SAP

- c) Output Gaya Dalam
- Momen maksimum = 1460,71 kgm.



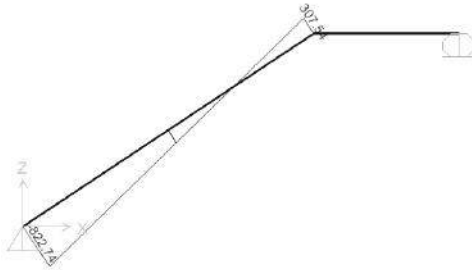
Gambar 4.17 Bidang M Balok Tangga

- Geser maksimum = 1303,18 kg.



Gambar 4.18 Bidang Geser Balok Tangga

- Aksial maksimum = 822,74 kg



Gambar 4.19 Bidang Aksial Balok Tangga

d) Kontrol Penampang Profil

- **Kontrol Pelat Sayap**

$$\frac{bf}{2 \times tf} = \frac{100}{2 \times 7} = 7,14$$

$$\lambda_p = 0,38 \times \sqrt{\frac{E}{f_y}} = 0,38 \times \sqrt{\frac{200000}{250}} = 10,75$$

$$\frac{bf}{2 \times tf} \leq \lambda_p \rightarrow \text{penampang kompak}$$

- **Kontrol Pelat Badan**

$$\frac{h}{tw} = \frac{164}{4,5} = 36,44$$

$$\lambda_p = 3,76 \times \sqrt{\frac{E}{f_y}} = 3,76 \times \sqrt{\frac{200000}{250}} = 106,35$$

$$\frac{h}{tw} \leq \lambda_p \rightarrow \text{penampang kompak}$$

Maka, Penampang kompak, $M_n = M_p$

$$\begin{aligned} M_p = M_n &= Z_x \times F_y \\ &= 170 \text{ cm}^3 \times 2500 \text{ kg/cm}^2 \\ &= 425000 \text{ kg.cm} \\ &= 4250 \text{ kg.m} \end{aligned}$$

e) **Kontrol Penampang Terhadap tekuk Lateral**

$$L_b = \sqrt{t^2 + I^2} = \sqrt{16,67^2 + 30^2} = 34,42 \text{ cm}$$

(pengaku anak tangga)

$$\begin{aligned} L_p &= 1,76 \times i_y \times \sqrt{\frac{E}{f_y}} \\ &= 1,76 \times 2,21 \times \sqrt{\frac{200000}{250}} = 110,01 \text{ cm} \end{aligned}$$

Karena $L_b < L_p \rightarrow 34,42 \text{ cm} < 110,01 \text{ cm} \rightarrow$ Bentang pendek. Maka, $M_n = M_p$

$$\begin{aligned} M_p = M_n &= Z_x \times F_y \\ &= 170 \text{ cm}^3 \times 2500 \text{ kg/cm}^2 \\ &= 425000 \text{ kg.cm} \\ &= 4250 \text{ kg.m} \end{aligned}$$

Cek Kemampuan Penampang

$$\emptyset M_n \geq M_u$$

$$0,9 \times M_n \geq M_u$$

$$0,9 \times 4250 \geq 1460,71 \text{ kg.m}$$

$$3825 \text{ kg.m} \geq 1460,71 \text{ kg.m (OK)}$$

f) Kontrol Geser

$$V_u = 1303,18 \text{ kg}$$

$$\frac{hw}{tw} = \frac{164}{4,5} = 36,44$$

$$k_v = 5 \text{ (SNI 1729:2015, Pasal G2.1)}$$

$$1,1 \sqrt{k_v \times \frac{E}{f_y}} = 1,1 \sqrt{5 \times \frac{200000}{250}} = 69,57$$

$$\text{karena, } \frac{h_w}{t_w} < 1,10 \sqrt{k_v \frac{E}{f_y}} \rightarrow 36,44 \leq 69,57 \rightarrow \text{plastis}$$

maka $C_v = 1,00$; sehingga

$$\begin{aligned} \phi V_n &= 0,6 f_y A_w C_v \\ &= 0,9 \times 0,6 \times 2500 \times (20 \times 0,45) \times 1 \\ &= 12150 \text{ kg} \end{aligned}$$

$$\phi V_n \geq V_u \rightarrow 12150 \text{ kg} \geq 1303,18 \text{ kg (OK)}$$

g) Persamaan Interaksi Tekan Lentur

$$L = \sqrt{300^2 + 200^2} = 360,56 \text{ cm}$$

$$K_c = 0,7 \text{ (sendi - jepit)}$$

$$\lambda = K_c \times L = 0,7 \times 360,56 = 252,39$$

$$\begin{aligned} \lambda_c &= \frac{\lambda}{\pi \times i_y} \times \sqrt{\frac{f_y}{E}} = \frac{252,39}{\pi \times 2,21} \times \sqrt{\frac{2500}{2000000}} \\ &= 1,28 > 1,2, \text{ maka } \omega = \end{aligned}$$

$$\omega = 1,25 \times \lambda c^2 = 1,25 \times 1,2^2 = 2,06$$

$$P_n = A_g \times \frac{f_y}{\omega} = 23,18 \times \frac{2500}{2,06} = 28037,41 \text{ kg}$$

$$\phi P_n = 0,85 \times 28037,41 = 23831,8 \text{ kg}$$

$$\frac{P_u}{\phi P_n} = \frac{822,74}{23831,8} = 0,03 < 2$$

(Maka digunakan persamaan interaksi 2)

$$\begin{aligned}
&= \frac{P_u}{2\phi P_n} + \left[\frac{M_{u_x}}{\phi M_{n_x}} + \frac{M_{u_y}}{\phi M_{n_y}} \right] \leq 1,00 \\
&= \frac{822,34}{2 \times 23831,79} + \left[\frac{1460,71}{3825} + \frac{0}{0,9 \times 35 \times 2500} \right] \leq 1,00 \\
&= 0,4 \leq 1,00 \text{ (OK)}
\end{aligned}$$

h) Kontrol Lendutan

$$f_{ijin} = \frac{L}{240} = \frac{360,56}{240} = 1,5 \text{ cm}$$

$$f = 0,6 \text{ cm (dari hasil analisa SAP)}$$

$$f \text{ SAP} \leq f \text{ ijin (OK)}$$

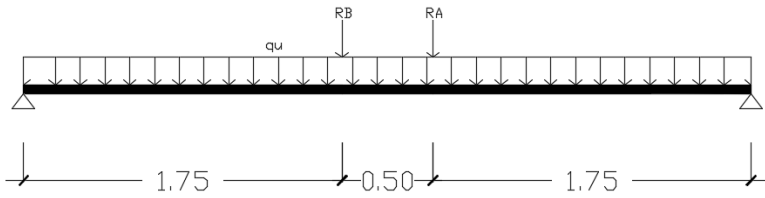
4.3.4 Balok Penumpu Tangga

Balok penumpu tangga direncanakan dengan menggunakan profil WF 200 x 100 x 5,5 x 8 dengan data sebagai berikut:

A	= 27,16 cm ²	ix	= 8,24 cm
w	= 21,30 kg/m	iy	= 2,22 cm
d	= 200 mm	r	= 11,0 mm
bf	= 100 mm	Zx	= 200 cm ³
tw	= 5,5 mm	Sx	= 184 cm ³
tf	= 8 mm	h	= d - 2(tf + r)
Ix	= 1840 cm ⁴		= 162 mm
Iy	= 134 cm ⁴		

1) Pembebanan

Pembebanan pada balok penumpu tangga diperoleh dari gaya reaksi Ra dan Rb yang bekerja pada balok utama tangga. Gaya reaksi tersebut akan menjadi beban terpusat P yang menumpu pada balok penumpu tangga. Pada balok penumpu tangga juga bekerja beban merata yang berasal dari dinding setengah dari tinggi lantai dan berat profil. Sketsa pembebanan balok penumpu tangga bisa dilihat pada gambar dibawah ini:



Gambar 4.20 Pembebanan Balok Penumpu Tangga

R_a = 1483,22 kg (Output SAP Balok Tangga)

R_b = 1303,18 kg (Output SAP Balok Tangga)

Beban merata (q)

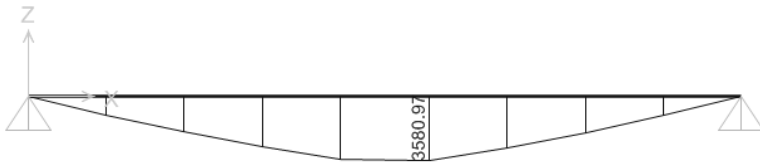
Beban dinding = 2×250 = 500 kg/m

Berat sambungan 10% = 50 kg/m +

q = 550 kg/m

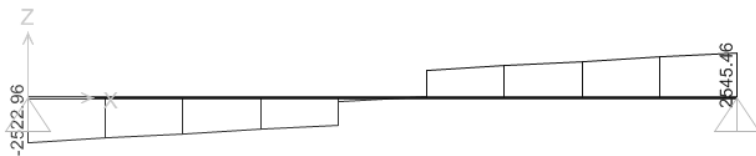
2) Output Gaya Dalam

- Momen maksimum = 3580,97 kgm.



Gambar 4.21 Bidang M Balok Penumpu Tangga

- Geser Maksimum = 2545,46 kg



Gambar 4.22 Bidang Geser Balok Penumpu Tangga

3) Kontrol Penampang Tekuk Lokal

- Pelat sayap

$$\lambda = \frac{bf}{2tf} = \frac{100}{2 \times 8} = 6,25$$

$$\lambda_p = 0,38 \sqrt{\frac{E}{f_y}} = 0,38 \sqrt{\frac{200000}{250}} = 10,75$$

 $\lambda \leq \lambda_p \rightarrow 6,25 \leq 10,75 \rightarrow$ Penampang sayap kompak

- Pelat badan

$$\lambda = \frac{hw}{tw} = \frac{162}{5,50} = 29,45$$

$$\lambda_p = 3,76 \sqrt{\frac{E}{f_y}} = 3,76 \sqrt{\frac{200000}{250}} = 106,35$$

 $\lambda \leq \lambda_p \rightarrow 29,45 \leq 106,35 \rightarrow$ Penampang badan kompak

Karena penampang kompak, Maka $M_p = M_n$.

$$\begin{aligned} M_p = M_n &= Z_x \times F_y \\ &= 200 \text{ cm}^3 \times 2500 \text{ kg/cm}^2 \\ &= 500000 \text{ kg.cm} \\ &= 5000 \text{ kg.m} \end{aligned}$$

Cek Kemampuan Penampang

$$\emptyset M_n \geq M_u$$

$$0,9 \times M_n \geq M_u$$

$$0,9 \times 5000 \geq 3580,97 \text{ kg.m}$$

$$4500 \text{ kg.m} \geq 3580,97 \text{ kg.m (OK)}$$

4) Kontrol Penampang Terhadap Tekuk Lateral

Jarak penahan lateral (L_b) = 175 cm

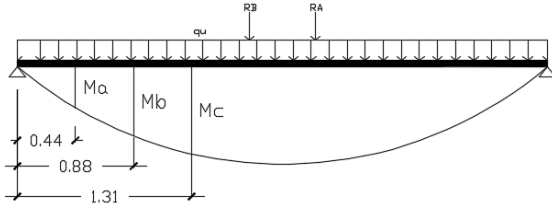
Didapatkan dari tabel L_p dan L_r ,

$$L_p = 110,612 \text{ cm}$$

$$L_r = 361,127 \text{ cm}$$

$L_p < L_b < L_r \rightarrow$ Bentang menengah, maka:

$$M_n = C_b \left[M_p - (M_p - 0,7 \cdot f_y \cdot S_x) \left(\frac{L_b - L_p}{L_r - L_p} \right) \right] \leq M_p$$



Gambar 4.23 Posisi M_a , M_b , M_c Balok Penumpu Tangga

Momen :

$$M_a = 1049,19 \text{ kg.m} \quad X = 437,5 \text{ mm}$$

$$M_b = 1989,19 \text{ kg.m} \quad X = 875 \text{ mm}$$

$$M_c = 2819,99 \text{ kg.m} \quad X = 1312,5 \text{ mm}$$

$$M_{\max} = 3541,59 \text{ kg.m} \quad X = 1750 \text{ mm}$$

$$\begin{aligned} C_b &= \frac{12,5 M_{\max}}{2,5 M_{\max} + 3 M_A + 4 M_B + 3 M_C} \leq 2,3 \\ &= \frac{12,5 \times 3541,59}{2,5 \times 3541,59 + 3 \times 1049,19 + 4 \times 1989,19 + 3 \times 2819,99} \leq 2,3 \\ &= 1,56 \leq 2,3 \end{aligned}$$

$$\begin{aligned} M_n &= C_b \left[M_p - (M_p - 0,7 f_y S_x) \left(\frac{L_b - L_p}{L_r - L_p} \right) \right] \leq M_p \\ &= 1,56 \left[500000 - (500000 - 0,7 \times 2500 \times 184) \left(\frac{175 - 110,612}{361,127 - 110,612} \right) \right] \leq M_p \\ &= 707628,8 \text{ kg.cm} = 7076,3 \text{ kg.m} \end{aligned}$$

$$M_n = 7076,3 \text{ kg.m} > M_p = 5000 \text{ kg.m}$$

Maka dipakai $M_n = M_p = 5000 \text{ kg.m}$

- Cek kemampuan penampang

$$\emptyset M_n \geq M_u$$

$$\emptyset M_n = 0,9 \times 5000 \text{ kg.m}$$

$$= 4500 \text{ kg.m} > M_u = 3541,59 \text{ kg.m (OK)}$$

5) Kontrol Penampang Profil Terhadap Gaya Geser

$$\frac{h}{t_w} = \frac{162}{5,5} = 29,45 ; 1,1\sqrt{K_v \frac{E}{f_y}} = 1,1\sqrt{5 \times \frac{2000000}{2500}} = 69,57$$

$$\text{Karena } \frac{h}{t_w} \leq 1,1\sqrt{K_v \frac{E}{f_y}} \rightarrow 29,45 \leq 69,57$$

Maka $C_v = 1,00$; sehingga

$$V_n = 0,6 \cdot f_y \cdot A_w \cdot C_v = 0,6 \times 2500 \times (10 \times 0,55) \times 1 = 8250 \text{ kg}$$

$$\phi V_n = 0,9 \times 8250 = 7425 \text{ kg}$$

$$\phi V_n = 7425 \text{ kg} \geq V_u = 2545,46 \text{ kg (OK)}$$

6) Kontrol Lendutan

$$L = 400 \text{ cm}$$

$$f_{ijin} = \frac{L}{240} = \frac{400}{240} = 1,67 \text{ cm}$$

$$f = 1,5 \text{ cm (dari hasil analisa SAP)}$$

$$f \text{ SAP} \leq f_{ijin} \text{ (OK)}$$

4.4 Perencanaan Balok Lift

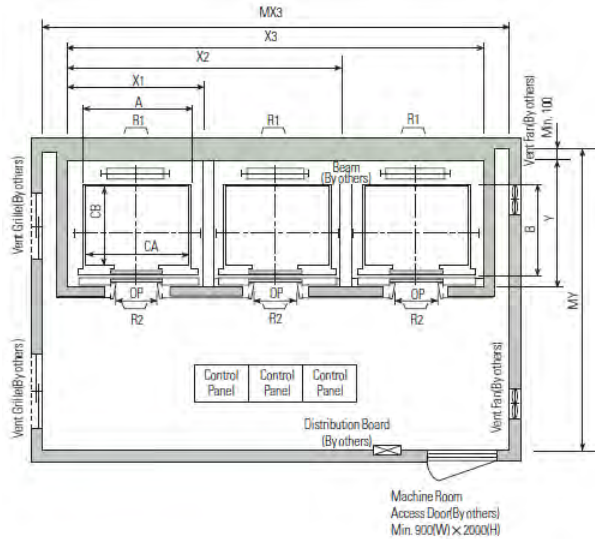
Pada perencanaan balok lift ini meliputi balok-balok yang berkaitan dengan ruang mesin lift yaitu balok penggantung lift. Pada bangunan ini menggunakan *lift* penumpang dengan data-data sesuai brosur sebagai berikut :

- Tipe lift : *Passenger Elevators*
- Merek : HYUNDAI
- Kapasitas : 24 Orang / 1600 kg
- Lebar pintu (*opening width*) : 1100 mm
- Dimensi ruang luncur
(*hoistway inside*) 3 Car : 8300 x 2280 mm²
- Dimensi sangkar (*Car size*)
 - Internal : 2150 x 1600 mm²
 - Eksternal : 2250 x 1770 mm²
- Dimensi ruang mesin (3 Car) : 8700 x 4200 mm²

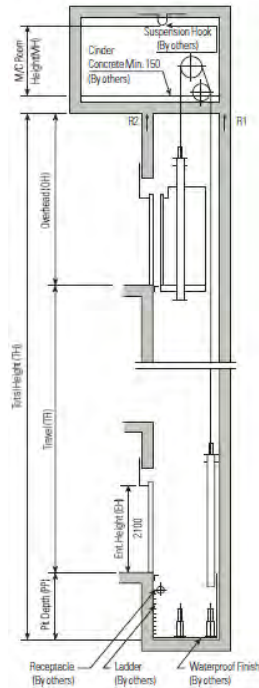
- Beban reaksi ruang mesin :

$$R_1 = 8500 \text{ kg}$$

$$R_2 = 6800 \text{ kg}$$



Gambar 4.24 Denah Lift



Gambar 4.25 Potongan Melintang *Lift*

Balok penggantung lift direncanakan menggunakan profil WF 400x200x8x13, dengan data- data sebagai berikut:

A	= 84,12 cm ²	ix	= 16,8 cm
w	= 66,03 kg/m	iy	= 4,54 cm
d	= 400 mm	r	= 16 mm
bf	= 200 mm	Zx	= 1286 cm ³
tw	= 8 mm	Sx	= 1190 cm ³
tf	= 13 mm	h	= d-2(tf+r)
Ix	= 23700cm ⁴		= 256 mm
Iy	= 1740 cm ⁴		

a. Pembebanan pada balok penggantung *lift*

- Beban mati

Berat profil balok penggantung lift = 66.03 kg/m

Berat sambungan, dll(10%) = 6.60 kg/m

$q_D = 72.63$ kg/m

- Beban merata ultimate

$q_U = 1.4 q_D$

= 1.4 (72.63) = 101.68 kg/m

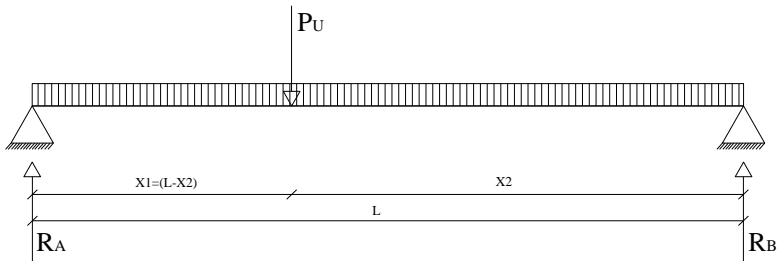
- Beban terpusat lift

Pada pasal 4.6 Impact Load SNI 1727:2013 (Peraturan Pembebanan Untuk Bangunan Gedung dan Struktur Lain) menyatakan bahwa semua beban elevator harus ditingkatkan 50% untuk mesin yang bergerak maju dan mundur atau unit tenaga-*driven*, Semua persentase harus meningkat bila disyaratkan oleh produsen.

$R_A=R_1$. KLL = 8500 x (1 + 50%) = 12750 kg

$R_B=R_2$. KLL = 6800 x (1 + 50%) = 10200 kg

b. Perhitungan gaya dalam yang terjadi pada balok penggantung *lift*



Gambar 4.26 Model Pembebanan Balok Penggantung *Lift*

$$\sum M_B = 0$$

$$R_A \cdot L - P_u \cdot X_2 = 0$$

$$12750 \cdot 2,5 = P_u \cdot X_2$$

$$P_u = \frac{31875}{X_2} \dots\dots\dots \text{pers. 1}$$

$$\sum M_A = 0$$

$$-R_B \cdot L + P_u \cdot (L - X_2) = 0$$

$$-10200 \cdot 2,5 + \frac{31875}{X_2} (L - X_2) = 0$$

$$-25500 + \frac{79687,5}{X_2} - 31875 = 0$$

$$-57375 = -\frac{79687,5}{X_2}$$

$$X_2 = \frac{79687,5}{57375}$$

$$X_2 = 1,4 \text{ m}$$

$$X_1 = (L - X_2)$$

$$X_1 = (2,5 - 1,4)$$

$$X_1 = 1,1 \text{ m}$$

$$P_u = \frac{31875}{X_2}$$

$$P_u = \frac{31875}{1,4} = 22767,86 \text{ kg}$$

- Momen maksimum

$$M_u = \frac{P_u \cdot X_1 \cdot X_2}{L} + \frac{1}{8} \cdot q_u \cdot L^2$$

$$M_u = \frac{22767,86 \times 1,1 \times 1,4}{2,5} + \frac{1}{8} \times 101,68 \times 2,5^2$$

$$M_u = 14025 \text{ kg.m} + 79,44 \text{ kg.m}$$

$$M_u = 14104,44 \text{ kg.m}$$

- Gaya geser

$$V_u = R_A + \frac{1}{2} \cdot q_u \cdot L$$

$$V_u = 12750 + \frac{1}{2} \times 101,68 \times 2,5$$

$$V_u = 12750 \text{ kg} + 127,1 \text{ kg}$$

$$V_u = 12877,1 \text{ kg}$$

- c. Kontrol penampang profil terhadap gaya lentur
 - Kontrol penampang terhadap tekuk lokal

Pelat sayap

$$\lambda = \frac{b_f}{2t_f} = \frac{200}{2 \times 13} = 7.69$$

$$\lambda_p = 0.38 \sqrt{\frac{E}{f_y}} = 0.38 \sqrt{\frac{2 \times 10^5}{250}} = 10.75$$

$$\lambda \leq \lambda_p \rightarrow 7.69 \leq 10.75 \rightarrow \text{penampang sayap kompak}$$

Pelat badan

$$\lambda = \frac{h_w}{t_w} = \frac{342}{8} = 42.75$$

$$\lambda_p = 3.76 \sqrt{\frac{E}{f_y}} = 3.76 \sqrt{\frac{2 \times 10^5}{250}} = 106.35$$

$\lambda \leq \lambda_p \rightarrow 42.75 \leq 106.35 \rightarrow$ penampang badan kompak

- Karena penampang kompak, maka $M_n = M_p$
 $M_p = f_y \cdot Z_x = 2500 \times 1286 = 3215000 \text{ kgcm}$
 $= 32150 \text{ kgm}$

- Cek kemampuan penampang

$$\emptyset M_n \geq M_u$$

$$\emptyset M_n = 0.9 \times 32150$$

$$= 28935 \text{ kg.m} > 14104,44 \text{ kg.m (OK)}$$

• Kontrol penampang terhadap tekuk lateral

($L_b = 250 \text{ cm}$).

$$L_p = 1,76 \times i_y \times \sqrt{\frac{E}{f_y}} = 1,76 \times 4,55 \times \sqrt{\frac{2 \times 10^6}{2500}} = 226,5 \text{ cm}$$

$$J \approx \sum \frac{bt^3}{3} = \frac{1}{3} \left((2 \cdot b_f \cdot t_f^3) + ((d - 2 \cdot t_f) \cdot t_w^3) \right)$$

$$= \frac{1}{3} \left((2 \cdot 200 \cdot 13^3) + ((400 - 2 \cdot 13) \cdot 8^3) \right)$$

$$= 35,68 \text{ cm}^4$$

$$S_x = 1190 \text{ cm}^3$$

$$r_{ts} = \frac{b_f}{\sqrt{12 \left(1 + \frac{1}{6} \frac{ht_w}{b_f t_f} \right)}} = \frac{200}{\sqrt{12 \left(1 + \frac{1}{6} \frac{400 \cdot 8}{200 \cdot 13} \right)}} = 5,26 \text{ cm}$$

$$L_r = 1,95 r_{ts} \frac{E}{0,7 F_y} \sqrt{\frac{Jc}{S_x h_o} + \sqrt{\left(\frac{Jc}{S_x h_o} \right)^2 + 6,67 \left(\frac{0,7 F_y}{E} \right)^2}}$$

$C = 1$, Penampang I simetris

$L_r = 658,357 \text{ cm}$,

$L_p \leq L_b \leq L_r \rightarrow 226.6 \text{ cm} \leq 250 \text{ cm} \leq 658,357 \text{ cm}$

\rightarrow bentang Menengah

- Karena bentang menengah, maka ,

$$C_b = \frac{12,5M_{\max}}{2,5M_{\max} + 3M_A + 4M_B + 3M_C}$$

$$M_A = Ra \cdot x - \frac{1}{2} \cdot q \cdot x^2 = 12750 \cdot 0,625 - \frac{1}{2} \cdot 101,68 \cdot 0,625^2$$

$$= 7948,9 \text{ kg.m}$$

$$M_B = Ra \cdot x - \frac{1}{2} \cdot q \cdot x^2 - Pu \cdot x$$

$$= 12750 \cdot 1,25 - \frac{1}{2} \cdot 101,68 \cdot 1,25^2 - 22767,86 \cdot (1,25 - 1,1)$$

$$= 12442,9 \text{ kg.m}$$

$$M_C = Ra \cdot x - \frac{1}{2} \cdot q \cdot x^2 - Pu \cdot x$$

$$= 12750 \cdot 1,875 - \frac{1}{2} \cdot 101,68 \cdot 1,875^2 - 22767,86 \cdot (1,875 - 1,1)$$

$$= 6082,4 \text{ kg.m}$$

$$C_b = \frac{12,5(14104,44)}{2,5(14104,44) + 3(7948,9) + 4(12442,9) + 3(6082,4)}$$

$$C_b = 1,38$$

$$M_n = C_b \left[M_p - (M_p - 0,7F_y S_x) \left(\frac{L_b - L_p}{L_r - L_p} \right) \right] \leq M_p$$

$$M_n = 1,38 \left[3215000 - (3215000 - 0,7 \cdot 25000 \cdot 1190) \left(\frac{250 - 226,5}{658,36 - 226,5} \right) \right] \leq M_p$$

$$M_n = 4351656,3 \text{ kg.cm} > M_p$$

Karena nilai M_n bentang menengah melebihi nilai M_p , maka nilai yang dipakai adalah nilai M_p sebagai perencanaan.

- Cek kemampuan penampang

$$\emptyset M_n \geq M_u$$

$$\emptyset M_n = 0.9 \times 32150$$

$$= 28935 \text{ kgm} > 14104,44 \text{ kgm (OK)}$$

d. Kontrol penampang profil terhadap gaya geser

$$\frac{h_w}{t_w} = \frac{342}{8} = 42,75; 1.10 \sqrt{k_v \frac{E}{f_y}} = 1,10 \sqrt{5 \times \frac{2 \times 10^6}{2500}} = 69.57$$

$$\text{karena } \frac{h_w}{t_w} \leq 1.10 \sqrt{k_v \frac{E}{f_y}} \rightarrow 42.75 \leq 69.57$$

maka $C_v = 1.00$; sehingga

$$V_n = 0.6 f_y A_w C_v = 0.6 \times 2500 \times (40 \times 0.8) \times 1.00 = 48000 \text{ kg}$$

$$\emptyset V_n \geq V_u$$

$$\emptyset V_n = 0.9 \times 48000$$

$$= 43200 \text{ kg} > 12877,1 \text{ (OK)}$$

e. Kontrol lendutan

$$L = 250 \text{ cm}$$

$$f_{ijin} = \frac{L}{360} = \frac{250}{360} = 0,7 \text{ cm}$$

$$f = \frac{5}{384} \times \frac{q_u L^4}{EI_x} + \frac{P_u \times X1(L^2 - X1^2)^{3/2}}{9\sqrt{3LEI}}$$

$$= \frac{5}{384} \times \frac{1,02 \times 250^4}{2 \times 10^6 \times 23700} + \frac{22767,86 \times 110(250^2 - 110^2)^{3/2}}{9\sqrt{3} \times 250 \times 2 \times 10^6 \times 23700}$$

$$= 0,0011 \text{ cm} + 0,15 \text{ cm}$$

$$f \leq f_{ijin} \rightarrow 0,15 \text{ cm} \leq 0,7 \text{ cm (OK)}$$

“Halaman ini sengaja dikosongkan”

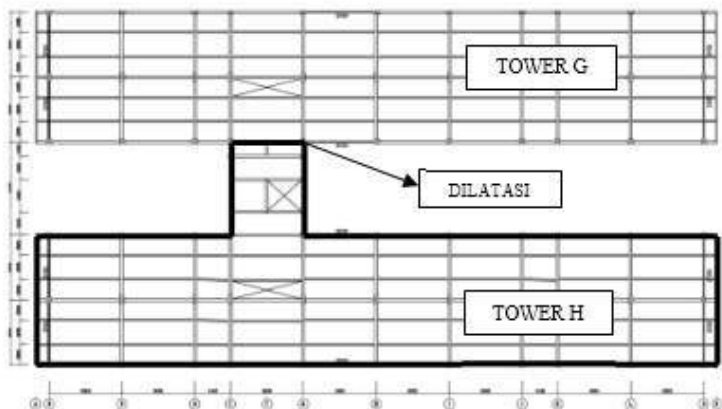
BAB V PEMODELAN STRUKTUR

5.1 Pemodelan Struktur

Pemodelan struktur pada modifikasi bangunan gedung ini menggunakan sistem dinding geser pelat baja (*SPSW*). Fungsi dari dinding geser pelat baja sebagai penahan gaya lateral yang terjadi akibat gempa.

Struktur kolom menggunakan kolom HSS. Pemodelan pada SAP2000 dilakukan dengan cara membuat *property by other* dengan memilih *section designer*. Struktur balok menggunakan *castellated beam*. Pemodelan pada SAP2000 dilakukan dengan cara membuat profil WF awal lalu momen inersia sumbu 3-3 diubah sesuai perhitungan pembesaran momen akibat pembesaran profil *castellated beam* pada menu *set modifiers*.

Gedung ini terdiri dari 2 tower G dan H yang terdiri dari 10 lantai asrama, dan 1 lantai atap dengan total tinggi struktur bangunan 40 meter. Antara tower G dan H dipisahkan dengan dilatasi pada as 3 bangunan. Berikut merupakan denah struktur bangunan yang di modifikasi:

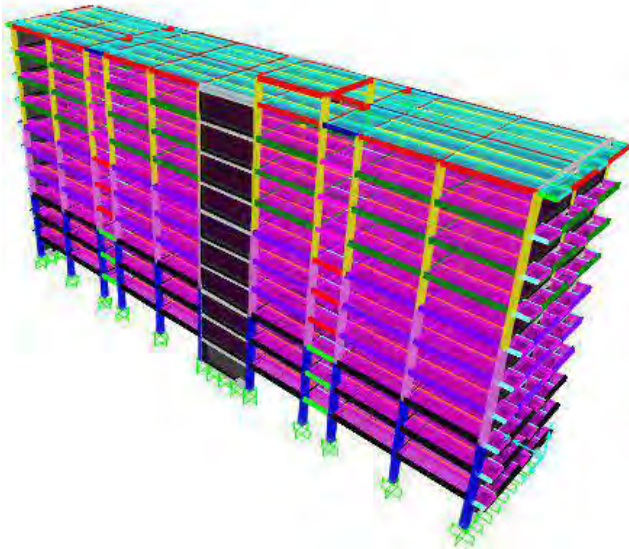


Gambar 5.1 Denah Struktur Modifikasi Gedung Asrama President University

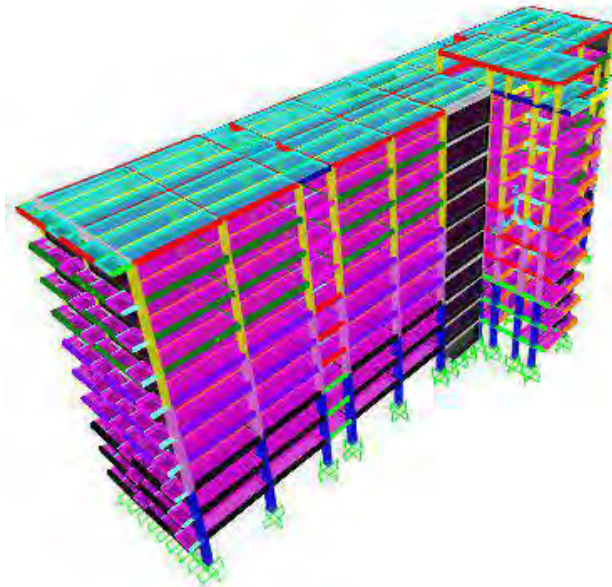
Pada gambar 5.1 diasumsikan arah vertikal mengikuti sumbu-X dan arah horizontal mengikuti arah sumbu-Y pada pemodelan gambar. Sistem dinding geser pelat baja yang direncanakan 12 buah dinding geser yang diletakkan di tengah dan tepi bangunan.

Pemodelan struktur Gedung Asrama President University ini dilakukan menggunakan program bantu SAP 2000. Pada SAP 2000, struktur gedung dimodelkan sesuai dengan kondisi yang sesungguhnya. Program ini membantu dalam perhitungan yang digunakan untuk mengontrol struktur gedung apakah telah memenuhi syarat pada SNI 1726-2012 (Tata Cara Perencanaan Gempa untuk Struktur Bangunan Gedung dan Non Gedung) serta SNI 1729-2915 (Spesifikasi Untuk Bangunan Gedung Baja Struktural).

Pemodelan yang sudah dilakukan dalam program SAP 2000 ditunjukkan pada Gambar 5.2 dan 5.3.



Gambar 5.2 Model 3 Dimensi Struktur Gedung Asrama President University Tower G



Gambar 5.3 Model 3 Dimensi Struktur Gedung Asrama President University Tower H

5.2 Pembebanan Struktur Utama

Pembebanan struktur berdasarkan pada peraturan SNI 1727-2013 (Beban Minimum Untuk Perancangan Bangunan Gedung dan Struktur Lain) dan ASCE 7-2002 dengan rincian sebagai berikut:

1. Beban Mati (*Dead Load*)

Beban mati merupakan seluruh bagian bangunan yang bersifat tetap dan tidak terpisahkan dari bangunan selama masa layannya. Beban mati yang dihitung pada struktur ini tertera sebagai berikut:

a. Pelat Atap

- Berat *waterproofing* = 5 kg/m²
- Berat plafon = 5 kg/m²

- Berat penggantung = 10 kg/m^2
 - Berat ducting+plumbing = $19,10 \text{ kg/m}^2 +$
 $q_{D\text{total}} = 39,10 \text{ kg/m}^2$
- b. Pelat Asrama
- Berat plafon = 5 kg/m^2
 - Berat penggantung = 10 kg/m^2
 - Berat keramik+spesi = 110 kg/m^2
 - Berat ducting+plumbing = $19,10 \text{ kg/m}^2 +$
 $q_{D\text{total}} = 144,1 \text{ kg/m}^2$
- c. Berat Sendiri Profil Baja
- Berat sendiri profil baja sudah dihitung otomatis oleh program bantu SAP 2000 pada perencanaan struktur utama.

2. Beban Hidup (*Live Load*)

Beban hidup merupakan beban yang bertumpu pada bangunan yang memiliki kemungkinan lepas dari bangunan tersebut. Beban hidup sudah termasuk perlengkapan ruangan dan dinding pemisah ringan (dinding partisi) yang beratnya tidak melebihi 100 kg/m^2 . Dengan rincian beban hidup tertera sebagai berikut:

- a. Pelat atap = 96 kg/m^2
- b. Pelat lantai asrama = 192 kg/m^2

3. Beban Gempa (*Earthquake Load*)

Kota Cikarang merupakan wilayah gempa zona sedang sesuai zona wilayah gempa. Perhitungan beban gempa pada bangunan ini menggunakan analisa beban gempa dinamik, dengan menggunakan parameter sesuai SNI 03-1726-2012.

5.2.1 Berat Total Bangunan

Berat dari beban bangunan merupakan total dari beban mati yang terdiri dari berat sendiri material-material konstruksi dan elemen-elemen struktur, serta beban hidup berasal dari penggunaan fungsi bangunan. Berat bangunan dihitung karena

berat struktur bangunan sangat mempengaruhi besar beban gempa yang terjadi, karenanya berat total bangunan digunakan untuk menentukan gaya geser stastik. Berat bangunan tersaji dalam tabel 5.1.

Tabel 5.1 Rekapitulasi Berat Bangunan

Lantai	Berat (kg)	
	Tower G	Tower H
Dasar	12.050,00	12.050,00
1	662.205,57	686.856,52
2	662.205,57	686.856,52
3	662.205,57	686.856,52
4	616.277,62	641.808,56
5	616.277,62	641.808,56
6	616.277,62	641.808,56
7	543.835,96	568.727,37
8	543.835,96	568.727,37
9	543.835,96	568.727,37
ATAP	526.313,64	566.326,69
Jumlah	6.005.321,09	6.270.554,04

Dari hasil analisa SAP didapatkan total berat bangunan dari kombinasi 1D sebesar 5.845.904,80 kg untuk tower G dan 6.359.362,25 kg untuk tower H. Dengan maksimal selisih 5% dari hasil perhitungan manual dibandingkan dengan perhitungan SAP 2000, sebagai berikut:

Selisih perhitungan antara manual dan SAP 2000 :

$$\begin{aligned}
 & - \text{ Tower H} \\
 & 6.005.321,09 - 5.845.904,80 = 159.416,29 \text{ kg.} \\
 & \frac{159.416,29}{6.005.321,09} \times 100\% = 2,6\% \leq 5\%
 \end{aligned}$$

$$\begin{aligned}
 & - \text{ Tower H} \\
 & 6.359.362,25 - 6.270.554,04 = 88.808,21 \text{ kg.} \\
 & \frac{88.808,21}{6.270.554,04} \times 100\% = 1,4\% \leq 5\%
 \end{aligned}$$

Maka pemodelan bangunan dianggap mendekati bangunan aslinya.

5.2.2 Kombinasi Pembebanan

Kombinasi pembebanan pada saat perencanaan struktur bangunan diperlukan, seperti halnya pada saat konstruksi beban-beban yang bekerja pada struktur hanya beban mati saja dan beban hidup sementara akibat dari pekerja bangunan. Sedangkan pada masa layan terdapat beban-beban hidup permanen dari aktifitas pemakaian gedung dan barang-barang yang terletak didalam gedung. Hal ini akan berpengaruh pada kuat rencana elemen struktur yang direncanakan berdasarkan kombinasi pembebanan terbesar akibat penjumlahan beban-beban yang bekerja.

Kombinasi pembebanan yang dipakai pada struktur gedung mengacu pada SNI-1726-2012 sebagai berikut:

- 1.4 DL
- 1.2 DL + 1.6 LL
- 1.2 DL ± 1.0E + 1.0LL
- 0.9 DL ± 1.0E

Keterangan:

DL = Beban mati

LL = Beban hidup

E = Beban gempa yang dinyatakan dalam 2 arah

Dua kombinasi pertama merupakan kombinasi pembebanan yang dipengaruhi oleh beban mati dan hidup saja. Sedangkan dua kombinasi pembebanan berikutnya telah dipengaruhi oleh beban gempa.

5.3 Pembebanan Gempa Dinamis

Pada modifikasi struktur gedung ini mempunyai ketinggian 40 meter dengan 10 lantai asrama, dan 1 lantai atap. Perhitungan beban gempa pada struktur ini mengacu pada SNI 03-1726-2012 menggunakan analisis respon dinamik sesuai dengan parameter yang telah ditentukan.

5.3.1 Klasifikasi Tanah

Untuk mengetahui klasifikasi tanah ada pada kategori tertentu maka dilakukan test penetrasi tanah (SPT) sesuai data tanah daerah cikarang yang menjadi lokasi modifikasi struktur gedung asrama President University. Berikut merupakan perhitungan \tilde{N} rata-rata untuk menentukan jenis tanah pada tabel 5.2 Nilai \tilde{N} untuk Penentuan Jenis Tanah:

- $\tilde{N} \geq 50 =$ Tanah Keras
- $15 \leq \tilde{N} < 50 =$ Tanah Sedang
- $\tilde{N} < 15 =$ Tanah Lunak

Tabel 5.2 Nilai \tilde{N} untuk Penentuan Jenis Tanah

Keterangan	Kedalaman (m)	Tebal (m)	N	Tebal/N
Lapisan 1	0	-	0	-
Lapisan 2	2,25	2,25	4	0,56
Lapisan 3	4,25	2	19	0,11
Lapisan 4	6,25	2	23	0,09
Lapisan 5	8,25	2	15	0,13
Lapisan 6	10,25	2	19	0,11
Lapisan 7	12,25	2	22	0,09
Lapisan 8	14,25	2	29	0,07
Lapisan 9	16,25	2	31	0,06
Lapisan 10	18,25	2	38	0,05
Lapisan 11	20,25	2	41	0,05
Lapisan 12	22,25	2	35	0,06
Lapisan 13	24,25	2	42	0,05
Lapisan 14	26,25	2	37	0,05
Lapisan 15	28,25	2	40	0,05
Lapisan 16	30,25	2	43	0,05
Total		30,25		1,57

$$\tilde{N} = \frac{30,25}{1,57} = 19,21 \rightarrow 15 \geq \tilde{N} \geq 50, \text{ Termasuk tanah sedang.}$$

Dari perhitungan nilai \tilde{N} didapatkan jenis **tanah sedang**.

5.3.2 Lantai Tingkat Sebagai Diafragma

Menurut SNI 03-1726-2012 Pasal 7.3.1.2 bahwa lantai dengan dek metal yang diberi penutup *topping* beton dapat dianggap kaku dalam bidangnya dan karenanya dapat dianggap bekerja sebagai diafragma terhadap beban gempa horizontal.

5.3.3 Arah Pembebanan

Beban gempa yang bekerja pada struktur bangunan terjadi dalam arah sembarang (tidak terduga) baik dalam arah x dan y secara bolak-balik dan periodik. Untuk mensimulasikan arah pengaruh gempa rencana yang sembarang terhadap struktur gedung, pengaruh pembebanan gempa rencana dalam arah utama harus dianggap efektif 100% dan harus dianggap terjadi bersamaan dengan pengaruh pembebanan gempa yang arahnya tegak lurus dengan arah utama dengan efektifitas 30%.

- Gempa Respon Spektrum X :
100% efektifitas untuk arah X dan 30% efektifitas arah Y
- Gempa Respon Spektrum Y :
100% efektifitas untuk arah Y dan 30% efektifitas arah X

5.3.4 Parameter Respon Spektrum Rencana

Pada penentuan respon spectrum rencana digunakan SNI 1726-2012 dengan beberapa parameter yang harus ditentukan, berikut merupakan parameter yang ditentukan sesuai peraturan berlaku:

- 1) Kategori Resiko Bangunan Gedung
Sesuai dengan tabel 1 SNI 1726-2012, untuk asrama termasuk dalam Kategori Risiko II.

- 2) Faktor Keutamaan
 Sesuai dengan tabel 2 SNI 1726-2012, setelah didapatkan gedung termasuk risiko II maka ditentukan Faktor Keutamaan Gempa $I_e = 1,0$.
- 3) Kategori Desain Seismik
 Sesuai dengan klasifikasi tanah yang telah ditentukan sebelumnya, kota Cikarang memiliki klasifikasi tanah **SD** jenis tanah sedang sesuai dengan Tabel 3 SNI 1726-2012
- 4) Parameter Percepatan Gempa
 Berdasarkan pada gambar 9 dan 10 peta zona gempa SNI 1726-2012 kota Padang memiliki nilai sebagai berikut:
 $S_s = 0,7g$
 $S_1 = 0,25g$
- 5) Faktor Koefisien Situs
 Sesuai dengan tabel 4 dan 5 SNI 1726-2012 didapatkan nilai sebagai berikut:
 $F_a = 1,24$ (Interpolasi linier)
 $F_v = 1,9$ (Interpolasi linier)
- 6) Percepatan Spektral Desain
 Sebelum menghitung percepatan spectral desain, dihitung dulu parameter spectrum respons percepatan peroida pendek (S_{MS}) dan peroida 1 detik (S_{M1}) yang disesuaikan dengan pengaruh klasifikasi situs sesuai dengan perumusan (5) dan (6) pada SNI 1726-2012 sebagai berikut:
 $S_{MS} = F_a \times S_s = 1,24 \times 0,7g = 0,868g$
 $S_{M1} = F_v \times S_1 = 1,9 \times 0,25g = 0,475g$
 $S_{DS} = \frac{2}{3} S_{MS} = \frac{2}{3} \times 0,868g = 0,58g$
 $S_{D1} = \frac{2}{3} S_{M1} = \frac{2}{3} \times 0,475g = 0,32g$

7) Parameter Struktur

Sesuai dengan Tabel 9 SNI 1726-2012 untuk sistem pelat dinding geser pelat baja dan beton komposit maka didapatkan nilai parameter struktur sebagai berikut:

$$R^a = 7,5$$

$$\Omega_0 = 2,5$$

$$C_d^b = 6$$

8) Model respon Spektrum

Untuk mengetahui grafik respon spectrum rencana sesuai dengan pasal 6.4 SNI 1726:2012 sebagai berikut:

a) Batasan Periode

$$T_0 = 0,2 \times \frac{S_{D1}}{S_{DS}} = 0,2 \times \frac{0,32}{0,58} = 0,11 \text{ detik}$$

$$T_s = \frac{S_{D1}}{S_{DS}} = \frac{0,32}{0,58} = 0,55 \text{ detik}$$

b) Respon Spektrum Percepatan Saat $T < T_0$

$$S_a = S_{DS} \left(0,4 + 0,6 \frac{T}{T_0} \right), \text{ maka dicoba saat } T = 0 \text{ detik } S_a$$

$$\text{adalah } S_a = 0,58 \left(0,4 + 0,6 \frac{0}{0,11} \right) = 0,23 \text{ g}$$

c) Respon Spektrum Percepatan Saat $T_0 \leq T \leq T_s$

$$S_a = S_{DS} = 0,58 \text{ g}$$

d) Respon Spektrum Percepatan Saat $T \geq T_s$

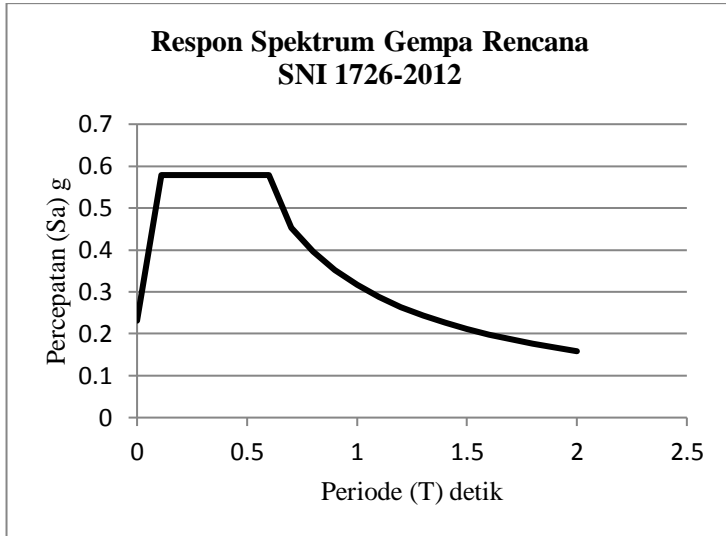
Karena T_s didapat nilai 0,55 detik maka dicoba $T = 0,7$ detik untuk menentukan percepatan desain respon spectra (S_a) sebagai berikut:

$$S_a = \frac{SD_1}{T} = \frac{0,32}{0,7} = 0,45 \text{ detik}$$

Untuk selanjutnya nilai periode fundamental (T) dan nilai respon spectra (S_a) akan ditabelkan pada Tabel 5.3

Tabel 5.3 Nilai T dan Sa

T (detik)	Sa
0	0,231467
0,109	0,578667
0,200	0,578667
0,300	0,578667
0,400	0,578667
0,500	0,578667
0,600	0,5787
0,700	0,45
0,800	0,40
0,900	0,35
1,000	0,32
1,100	0,29
1,200	0,26
1,300	0,24
1,400	0,23
1,500	0,21
1,600	0,20
1,700	0,19
1,800	0,18
1,900	0,17
2,000	0,16



Gambar 5.4 Grafik Spektrum Percepatan Gempa Wilayah Cikarang

Untuk mendistribusikan gempa dua arah x dan y maka beban di distribusikan 100% ke arah x dan 30% ke arah y, dan pada sumbu sebaliknya jika ditinjau. Maka nilai respon spektrum harus dikalikan dengan faktor skala $g \times \frac{I_e}{R}$ dengan $g = 9,81$ m/det.

Maka faktor skala adalah:

- Faktor skala arah -X = $g \times \frac{I_e}{R} = 9,81 \times \frac{1}{7,5} = 1,308$
- Faktor skala arah -Y = $30\% \times 1,308 = 0,3924$
- Nilai redam struktur baja (*damping ratio*) = 0,05.

5.4 Kontrol Desain

Setelah dilakukan pemodelan struktur 3 dimensi dengan program bantu SAP 2000, hasil analisis struktur harus dikontrol terhadap suatu batasan-batasan tertentu sesuai dengan peraturan SNI 03-1726-2012 untuk menentukan kelayakan sistem struktur

tersebut. Adapun hal-hal yang harus dikontrol adalah sebagai berikut :

- Kontrol partisipasi massa
- Kontrol waktu getar alami fundamental
- Kontrol nilai akhir respon spektrum
- Kontrol batas simpangan (*drift*)

Dari analisis tersebut juga diambil gaya dalam yang terjadi pada masing-masing elemen struktur untuk dilakukan pengecekan kapasitas penampang.

5.4.1 Kontrol Partisipasi Massa

Perhitungan respon dinamik struktur harus sedemikiannya agar partisipasi massa terkombinasi paling sedikit sebesar 90% dari massa asli dari masing-masing arah. Karenanya digunakan bantuan program SAP 2000 untuk mengeluarkan partisipasi massa seperti Tabel 5.4 dan 5.5 berikut ini:

Tabel 5.4 Rasio Partisipasi Massa Tower G

TABLE: Modal Participating Mass Ratios				
OutputCase	StepNum	Period	SumUX	SumUY
Text	Unitless	Sec	Unitless	Unitless
MODAL	1	0,938	0,000	0,006
MODAL	2	0,929	0,133	0,006
MODAL	3	0,914	0,133	0,006
MODAL	4	0,893	0,134	0,006
MODAL	5	0,869	0,720	0,006
MODAL	6	0,706	0,720	0,728
MODAL	7	0,600	0,720	0,730
MODAL	8	0,535	0,720	0,730
MODAL	9	0,306	0,720	0,839
MODAL	10	0,290	0,865	0,839
MODAL	11	0,147	0,865	0,941
MODAL	12	0,129	0,954	0,941

Tabel 5.5 Rasio Partisipasi Massa Tower H

TABLE: Modal Participating Mass Ratios				
OutputCase	StepNum	Period	SumUX	SumUY
Text	Unitless	Sec	Unitless	Unitless
MODAL	1	0,938	0,000	0,007
MODAL	2	0,935	0,283	0,007
MODAL	3	0,891	0,710	0,007
MODAL	4	0,889	0,716	0,007
MODAL	5	0,850	0,716	0,007
MODAL	6	0,731	0,716	0,723
MODAL	7	0,574	0,716	0,724
MODAL	8	0,509	0,717	0,725
MODAL	9	0,319	0,718	0,835
MODAL	10	0,302	0,860	0,835
MODAL	11	0,153	0,861	0,939
MODAL	12	0,136	0,951	0,939

Dari tabel di atas didapat partisipasi massa untuk tower G arah X sebesar 95,4% pada modal ke 12 dan partisipasi massa arah Y sebesar 94,1% pada modal ke 11. Untuk tower H didapat partisipasi massa arah X sebesar 95,1% pada modal ke 12 dan partisipasi massa arah Y sebesar 93,9% pada modal ke 11. Maka dapat disimpulkan analisis struktur yang sudah dilakukan telah memenuhi syarat yang terdapat pada SNI-03-1726-2012 pasal 7.9.1 yaitu partisipasi massa ragam terkombinasi paling sedikit sebesar 90%.

5.4.2 Kontrol Waktu Getar Alami Fundamental

Untuk mencegah penggunaan struktur gedung yang terlalu fleksibel, nilai waktu getar alami fundamental (T) dari struktur gedung harus dibatasi. Berdasarkan SNI 03-1726-2012, periode fundamental struktur harus ditentukan dari $T_a = C_t \cdot h_n^x$.

Nilai T_a di atas adalah batas bawah periode struktur yang ditinjau. Untuk batas atas nya dikalikan dengan koefisien batas. Besarnya koefisien tersebut tergantung dari nilai S_{D1} .

Struktur gedung modifikasi memiliki tinggi 40 m. Pada struktur ini digunakan sistem rangka baja dengan dinding geser plat baja sehingga pada tabel 15 SNI 03-1726-2012 didapatkan nilai :

- $C_t = 0,0488$
- $x = 0,75$
- $h_n = 40$ m

maka :

Menghitung Periode Fundamental Perkiraan

$$- T_a = 0,0488 \times 40^{0,75} \\ = 0,776 \text{ s}$$

Menghitung Batas Atas Periode Struktur

Nilai $C_u = 1,4$ didapat dari tabel 14 SNI 03-1726-2012, untuk nilai $S_{D1} = 0,32$, maka :

$$- C_u \times T_a = 1,4 \times 0,776 = 1,08 \text{ s}$$

Dari hasil analisis SAP 2000 didapat,

Tabel 5.6 Periode dan Frekuensi Struktur Tower G

TABLE: Modal Periods And Frequencies		
OutputCase	StepNum	Period
Text	Unitless	Sec
MODAL	1	0,938
MODAL	2	0,929
MODAL	3	0,914
MODAL	4	0,893
MODAL	5	0,869
MODAL	6	0,706
MODAL	7	0,600
MODAL	8	0,535
MODAL	9	0,306
MODAL	10	0,290
MODAL	11	0,147
MODAL	12	0,129

Tabel 5.7 Periode dan Frekuensi Struktur Tower H

TABLE: Modal Periods And Frequencies		
OutputCase	StepNum	Period
Text	Unitless	Sec
MODAL	1	0,938
MODAL	2	0,935
MODAL	3	0,891
MODAL	4	0,889
MODAL	5	0,850
MODAL	6	0,731
MODAL	7	0,574
MODAL	8	0,509
MODAL	9	0,319
MODAL	10	0,302
MODAL	11	0,153
MODAL	12	0,136

Dari tabel di atas didapat T tower G dan H sebesar 0,938 s. Maka berdasarkan kontrol waktu getar alami fundamental nilai T masih lebih kecil dari $C_u \cdot T$. Jadi analisis struktur gedung masih memenuhi syarat SNI 03-1726-2012 Pasal 7.8.2.

5.4.3 Kontrol Nilai Akhir Respon Spektrum

Nilai akhir respon dinamik struktur gedung dalam arah yang ditetapkan tidak boleh kurang dari 85% nilai respon statik.

$$V = C_s \times W \text{ (SNI 03-1726-2012 Pasal 7.8.1)}$$

- Tower G

$$C_s \text{ perlu} = \frac{S_{DS}}{R/I_e} = \frac{0,578}{7,5/1} = 0,077$$

Nilai C_s tidak perlu diambil lebih besar dari:

$$C_{s1} = \frac{S_{D1}}{T \times \left(\frac{R}{I_e} \right)} = \frac{0,32}{0,938 \times \left(\frac{7,5}{1} \right)} = 0,045$$

$$C_{s2} = 0,044 S_{DS} \cdot I_e = 0,044 \times 0,578 \times 1 = 0,025 \geq 0,01 \text{ (Ok)}$$

Kontrol :

1. $C_{s\text{perlu}} \leq C_{s1} = 0,077 \geq 0,045 \rightarrow$ digunakan $C_s = 0,045$
2. $C_{s\text{perlu}} \geq C_{s2} = 0,077 \geq 0,025 \rightarrow$ digunakan $C_s = 0,077$

Dari kedua hasil perhitungan diatas, apabila digunakan $C_s = 0,077$ maka kontrol 1 tidak OK. Sehingga digunakan $C_s = \mathbf{0,045}$

- Tower H

$$C_{s\text{perlu}} = \frac{S_{DS}}{R/I_e} = \frac{0,578}{7,5/1} = 0,077$$

Nilai C_s tidak perlu diambil lebih besar dari:

$$C_{s1} = \frac{S_{D1}}{T \times \left(\frac{R}{I_e} \right)} = \frac{0,32}{0,938 \times \left(\frac{7,5}{1} \right)} = 0,045$$

$$C_{s2} = 0,044 S_{DS} \cdot I_e = 0,044 \times 0,578 \times 1 = 0,025 \geq 0,01 \text{ (Ok)}$$

Kontrol :

1. $C_{s\text{perlu}} \leq C_{s1} = 0,077 \geq 0,045 \rightarrow$ digunakan $C_s = 0,045$
2. $C_{s\text{perlu}} \geq C_{s2} = 0,077 \geq 0,025 \rightarrow$ digunakan $C_s = 0,077$

Dari kedua hasil perhitungan diatas, apabila digunakan $C_s = 0,077$ maka kontrol 1 tidak OK. Sehingga digunakan $C_s = \mathbf{0,045}$

5.4.4 Kontrol Akhir Base Reaction

a) Tower G

Pada analisis yang sudah dilakukan, didapatkan nilai berat total struktur gedung pada kombinasi 1D+1L adalah 10.537.170,56 kg. Maka:

$$\begin{aligned} V_{\text{statik}} &= C_s \times W \\ &= 0,045 \times 10.764.428 \text{ kg} \\ &= 484.539,5 \text{ kg} \end{aligned}$$

Pada analisis SAP 2000 didapatkan nilai gaya geser (*base shear*) sesuai dengan Tabel 5.8 Gaya Geser Dasar Akibat Beban Gempa

Tabel 5.8 Gaya Geser Dasar Akibat Beban Gempa

OutputCase	GlobalFX	GlobalFY
Text	Kgf	Kgf
RSX	210801,45	81388,99
RSY	63243,14	271290,41

Selanjutnya dilakukan kontrol untuk arah X dan Y:

1) Untuk gempa arah X

$$V_{\text{dinamik}} \geq 85\% \times V_{\text{statik}}$$

$$210.801,45 \text{ kg} \geq 85\% \times 484.539,5 \text{ kg}$$

$$210.801,45 \text{ kg} < 411.858,59 \text{ kg} \text{ (Not Ok)}$$

2) Untuk gempa arah Y

$$V_{\text{dinamik}} \geq 85\% \times V_{\text{statik}}$$

$$271.290,41 \text{ kg} \geq 85\% \times 484.539,5 \text{ kg}$$

$$271.290,41 \text{ kg} < 411.858,59 \text{ kg} \text{ (Not Ok)}$$

Dari hasil kontrol gempa arah X dan Y masih belum memenuhi syarat nilai akhir respon. Menurut Pasal 11.1.4 SNI 1726-2012 pasal 7.9.4.2 dijelaskan jika gaya geser dasar hasil analisi kurang dari 85%, maka harus diperbesar dengan faktor skala arah X dan Y sebagai berikut:

1) Arah X

$$\text{Faktor} = \frac{85\% V_{\text{statik}}}{V_{\text{dinamik arah-X}}} = \frac{411.858,59}{210.801,45} = 1,95$$

$$U1 = \left(g \times \frac{I}{R} \right) \times 1,95 = \left(9,81 \times \frac{1}{7,5} \right) \times 1,95 = 2,55$$

$$U2 = 30\% \left(g \times \frac{I}{R} \right) \times 1,95 = 30\% \left(9,81 \times \frac{1}{7,5} \right) \times 1,95 = 0,77$$

2) Arah Y

$$\text{Faktor} = \frac{85\% V_{\text{statik}}}{V_{\text{dinamik arah-Y}}} = \frac{411.858,59}{271.290,41} = 1,52$$

$$U1 = 30\% \left(g \times \frac{I}{R} \right) \times 1,52 = 30\% \left(9,81 \times \frac{1}{7,5} \right) \times 1,52 = 0,6$$

$$U2 = \left(g \times \frac{I}{R} \right) \times 1,52 = \left(9,81 \times \frac{1}{7,5} \right) \times 1,52 = 1,99$$

Setelah mendapatkan faktor skala, maka dimasukkan kembali faktor U1 dan U2 arah X dan Y, lalu di running ulang maka didapatkan gaya seperti pada Tabel 5.9

Tabel 5.9 Gaya Geser Dasar Akibat Beban Gempa Dikali Faktor Skala

OutputCase	GlobalFX	GlobalFY
Text	Kgf	Kgf
RSX	412577,75	159708,24
RSY	96702	412743,05

Dilakukan kontrol ulang terhadap gempa arah X dan Y sebagai berikut:

1) Untuk gempa arah X

$$V_{\text{dinamik}} \geq 85\% \times V_{\text{statik}}$$

$$412.577,75 \text{ kg} \geq 85\% \times 484.539,5 \text{ kg}$$

$$412.577,75 \text{ kg} > 411.858,59 \text{ kg (Ok)}$$

3) Untuk gempa arah Y

$$V_{\text{dinamik}} \geq 85\% \times V_{\text{statik}}$$

$$412.743,05 \text{ kg} \geq 85\% \times 484.539,5 \text{ kg}$$

$$412.743,05 \text{ kg} > 411.858,59 \text{ kg (Ok)}$$

Dari hasil kontrol diatas didapatkan bahwa analisis struktur memenuhi syarat SNI 1726-2012 pasal 7.8.

b) Tower H

Pada analisis yang sudah dilakukan, didapatkan nilai berat total struktur gedung pada kombinasi 1D+1L adalah 11.201.639 kg. Maka:

$$\begin{aligned} V_{\text{statik}} &= C_s \times W \\ &= 0,045 \times 11582719,7 \text{ kg} \\ &= 521540,113 \text{ kg} \end{aligned}$$

Pada analisis SAP 2000 didapatkan nilai gaya geser (*base shear*) sesuai dengan Tabel 5.10 Gaya Geser Dasar Akibat Beban Gempa

Tabel 5.10 Gaya Geser Dasar Akibat Beban Gempa

OutputCase	GlobalFX	GlobalFY
Text	Kgf	Kgf
RSX	222980.31	85034.44
RSY	67044.55	283192.38

Selanjutnya dilakukan kontrol untuk arah X dan Y:

1) Untuk gempa arah X

$$\begin{aligned} V_{\text{dinamik}} &\geq 85\% \times V_{\text{statik}} \\ 222.980,31 \text{ kg} &\geq 85\% \times 521540,113 \text{ kg} \\ 222.980,31 \text{ kg} &< 443.309,10 \text{ kg} \text{ (Not Ok)} \end{aligned}$$

2) Untuk gempa arah Y

$$\begin{aligned} V_{\text{dinamik}} &\geq 85\% \times V_{\text{statik}} \\ 283.192,38 \text{ kg} &\geq 85\% \times 521540,113 \text{ kg} \\ 283.192,38 \text{ kg} &< 443.309,10 \text{ kg} \text{ (Not Ok)} \end{aligned}$$

Dari hasil kontrol gempa arah X dan Y masih belum memenuhi syarat nilai akhir respon. Menurut Pasal 11.1.4 SNI 1726-2012 pasal 7.9.4.2 dijelaskan jika gaya geser dasar hasil analisis kurang dari 85%, maka harus diperbesar dengan faktor skala arah X dan Y sebagai berikut:

1) Arah X

$$\text{Faktor} = \frac{85\% V_{\text{statik}}}{V_{\text{dinamik arah-X}}} = \frac{443.309,10}{222.980,31} = 1,99$$

$$U1 = \left(g \times \frac{I}{R} \right) \times 1,99 = \left(9,81 \times \frac{1}{7,5} \right) \times 1,99 = 2,60$$

$$U2 = 30\% \left(g \times \frac{I}{R} \right) \times 1,99 = 30\% \left(9,81 \times \frac{1}{7,5} \right) \times 1,99 = 0,78$$

2) Arah Y

$$\text{Faktor} = \frac{85\% V_{\text{statik}}}{V_{\text{dinamik arah-Y}}} = \frac{443.309,10}{283.192,38} = 1,57$$

$$U1 = 30\% \left(g \times \frac{I}{R} \right) \times 1,57 = 30\% \left(9,81 \times \frac{1}{7,5} \right) \times 1,57 = 0,61$$

$$U2 = \left(g \times \frac{I}{R} \right) \times 1,57 = \left(9,81 \times \frac{1}{7,5} \right) \times 1,57 = 2,05$$

Setelah mendapatkan faktor skala, maka dimasukan kembali faktor U1 dan U2 arah X dan Y, lalu di running ulang maka didapatkan gaya seperti pada Tabel 5.11

Tabel 5.11 Gaya Geser Dasar Akibat Beban Gempa Dikali Faktor Skala

OutputCase	GlobalFX	GlobalFY
Text	Kgf	Kgf
RSX	443310.17	173355.04
RSY	104958.41	443841.27

Dilakukan kontrol ulang terhadap gempa arah X dan Y sebagai berikut:

1) Untuk gempa arah X

$$V_{\text{dinamik}} \geq 85\% \times V_{\text{statik}}$$

$$443.310,17 \text{ kg} \geq 85\% \times 521540,113 \text{ kg}$$

$$443.310,17 \text{ kg} > 443.309,10 \text{ kg} \text{ (Ok)}$$

2) Untuk gempa arah Y

$$V_{\text{dinamik}} \geq 85\% \times V_{\text{statik}}$$

$$443.841,27 \text{ kg} \geq 85\% \times 521540,113 \text{ kg}$$

$$443.841,27 \text{ kg} > 443.309,10 \text{ kg} \text{ (Ok)}$$

Dari hasil kontrol diatas didapatkan bahwa analisis struktur memenuhi syarat SNI 1726-2012 pasal 7.8.

5.4.5 Kontrol Batas Simpangan Antar Lantai (*Drift*)

Hitungan simpangan antar lantai (Δ) harus dihitung sebagai perbedaan defleksi pada pusat massa tingkat paling atas dan tingkat paling bawah yang ditinjau. Jika pusat massa tidak terletak segaris dalam sumbu vertikal, maka diijinkan menghitung defleksi pada tingkat paling bawah berdasarkan proyeksi vertikal dari pusat massa tingkat diatasnya.

Δ_s dihitung dengan selisih terbesar dari defleksi titik diatas dan dibawah tingkat yang letaknya segaris secara vertikal. Defleksi pusat massa ditingkat x (δ_x) ditentukan oleh persamaan berikut:

$$\delta_x = \frac{C_d \delta_{xe}}{I_e} \leq \Delta_a$$

Dimana,

δ_{xe} = Defleksi pada lantai ke $-x$ yang ditentukan dengan analisis elastis

C_d = Faktor pembesaran defleksi (6)

I_e = Faktor keutamaan gedung (1)

Δ_a = $0,020h_{sx}$

ρ = Faktor redudansi (1)

Tabel 5.12 Kontrol Simpangan Antar Lantai Akibat Beban
Gempa Arah –X Tower G

Lantai	hi	δx_e	δx	Δ	Δa	$\Delta a/\rho$	$\Delta \leq \Delta a/\rho$
		(mm)	(mm)	(mm)	(mm)	(mm)	(mm)
Lantai Atap	4000	25,04	150,24	12,24	80	80	OK
Lantai 9	4000	23,00	138,00	14,16	80	80	OK
Lantai 8	4000	20,64	123,84	16,26	80	80	OK
Lantai 7	4000	17,93	107,58	16,92	80	80	OK
Lantai 6	4000	15,11	90,66	16,62	80	80	OK
Lantai 5	4000	12,34	74,04	17,28	80	80	OK
Lantai 4	4000	9,46	56,76	17,88	80	80	OK
Lantai 3	4000	6,48	38,88	16,80	80	80	OK
Lantai 2	4000	3,68	22,08	14,10	80	80	OK
Lantai 1	4000	1,33	7,98	7,98	80	80	OK

Tabel 5.13 Kontrol Simpangan Antar Lantai Akibat Beban
Gempa Arah –Y Tower G

Lantai	hi	δx_e	δx	Δ	Δa	$\Delta a/\rho$	$\Delta \leq \Delta a/\rho$
		(mm)	(mm)	(mm)	(mm)	(mm)	(mm)
Lantai Atap	4000	17,92	107,52	8,64	80	80	OK
Lantai 9	4000	16,48	98,88	9,54	80	80	OK
Lantai 8	4000	14,89	89,34	10,74	80	80	OK
Lantai 7	4000	13,10	78,60	11,40	80	80	OK
Lantai 6	4000	11,20	67,20	11,34	80	80	OK
Lantai 5	4000	9,31	55,86	12,54	80	80	OK
Lantai 4	4000	7,22	43,32	13,80	80	80	OK
Lantai 3	4000	4,92	29,52	13,44	80	80	OK
Lantai 2	4000	2,68	16,08	9,66	80	80	OK
Lantai 1	4000	1,07	6,42	6,42	80	80	OK

Tabel 5.14 Kontrol Simpangan Antar Lantai Akibat Beban
Gempa Arah –X Tower H

Lantai	hi	δx_e	δx	Δ	Δa	$\Delta a/\rho$	$\Delta \leq \Delta a/\rho$
		(mm)	(mm)	(mm)	(mm)	(mm)	(mm)
Lantai Atap	4000	28,14	168,84	14,58	80	80	OK
Lantai 9	4000	25,71	154,26	16,56	80	80	OK
Lantai 8	4000	22,95	137,70	18,36	80	80	OK
Lantai 7	4000	19,89	119,34	19,08	80	80	OK
Lantai 6	4000	16,71	100,26	19,32	80	80	OK
Lantai 5	4000	13,49	80,94	20,16	80	80	OK
Lantai 4	4000	10,13	60,78	20,10	80	80	OK
Lantai 3	4000	6,78	40,68	17,76	80	80	OK
Lantai 2	4000	3,82	22,92	14,70	80	80	OK
Lantai 1	4000	1,37	8,22	8,22	80	80	OK

Tabel 5.15 Kontrol Simpangan Antar Lantai Akibat Beban
Gempa Arah –Y Tower H

Lantai	hi	δx_e	δx	Δ	Δa	$\Delta a/\rho$	$\Delta \leq \Delta a/\rho$
		(mm)	(mm)	(mm)	(mm)	(mm)	(mm)
Lantai Atap	4000	18,95	113,70	9,54	80	80	OK
Lantai 9	4000	17,36	104,16	10,38	80	80	OK
Lantai 8	4000	15,63	93,78	11,58	80	80	OK
Lantai 7	4000	13,70	82,20	12,12	80	80	OK
Lantai 6	4000	11,68	70,08	12,00	80	80	OK
Lantai 5	4000	9,68	58,08	13,26	80	80	OK
Lantai 4	4000	7,47	44,82	14,46	80	80	OK
Lantai 3	4000	5,06	30,36	13,56	80	80	OK
Lantai 2	4000	2,80	16,80	9,90	80	80	OK
Lantai 1	4000	1,15	6,90	6,90	80	80	OK

Maka, dari hasil kontrol pada Tabel 5.12 sampai tabel 5.15 simpangan arah X dan Y tower G dan H didapatkan hasil analisis memenuhi persyaratan sesuai SNI 1726-2012 Pasal 7.9.3 dan Pasal 7.12.1.

BAB VI

PERENCANAAN STRUKTUR PRIMER

6.1 Analisis Struktur

Setelah dilakukan pemodelan struktur 3 dimensi dan dikontrol gempa bahwa bangunan mendekati bangunan aslinya, maka tahap selanjutnya adalah dengan melakukan analisis struktur melalui kontrol terhadap struktur utama dengan menggunakan peraturan berlaku yaitu SNI 1729-2015. Tahapan analisa dibagi menjadi 3 yaitu perencanaan struktur primer balok utama, kolom, dan *steel plate shear wall*.

6.2 Perencanaan Struktur Balok

6.2.1 Balok Induk (BI 1) Lantai 1-3 Tower H

Berikut ini merupakan contoh perhitungan balok induk (BI 1) pada lantai 1-3. Dari hasil SAP 2000 dari kombinasi terbesar terdapat pada lantai 3 As H 4-7 diperoleh:

$$M_u = 34083,16 \text{ kg.m}$$

$$V_u = 23036,37 \text{ kg}$$

$$F^o = 0,432 \text{ m}$$

Balok induk dengan bentang 8 dan 9m ini direncanakan menggunakan profil WF 500 x 200 x 10 x 16, dengan F_y 250 MPa (BJ 41), dengan data-data sebagai berikut:

w	= 89,7	kg/m	r	= 20,00	mm
d	= 500	mm	Z_x	= 2096	cm ³
bf	= 200	mm	Z_y	= 332	cm ³
tw	= 10	mm	S_x	= 1910	cm ³
tf	= 16	mm	S_y	= 214	cm ³
I_x	= 47800	cm ⁴	i_x	= 20,50	cm
I_y	= 2140	cm ⁴	i_y	= 4,33	cm
E	= 200000	MPa	h	= 428	mm

1) Cek Penampang

- Pelat Sayap

$$\lambda \leq \lambda_p \rightarrow \frac{b}{2tf} \leq 0,38 \sqrt{\frac{E}{f_y}}$$

$$\frac{200}{2 \times 16} \leq 0,38 \sqrt{\frac{200000}{250}}$$

6,25 ≤ 10,75 (Penampang Kompak)

- Pelat Badan

$$\lambda \leq \lambda_p \rightarrow \frac{h}{tw} \leq 3,76 \sqrt{\frac{E}{f_y}}$$

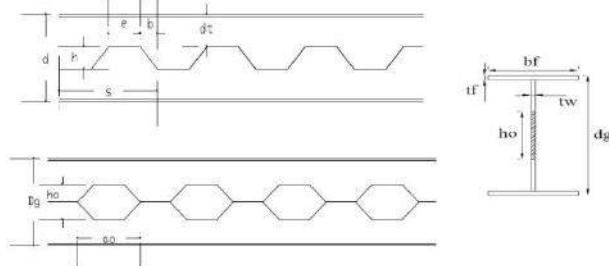
$$\frac{428}{10} \leq 3,76 \sqrt{\frac{200000}{250}}$$

42,8 ≤ 106,35 (Penampang Kompak)

Karena penampang kompak, maka $M_n = M_p$

$$\begin{aligned} M_p &= M_n = Z_x \cdot f_y = 2096 \times 2500 \\ &= 5240000 \text{ kg.cm} = 52400 \text{ kg.m} \end{aligned}$$

$$\begin{aligned} \phi M_n &= 0,9 \times M_n = 0,9 \times 5240000 \\ &= 4716000 \text{ kg.cm} = 47160 \text{ kg.m} \end{aligned}$$

2) Profil *Castellated Beam*

Gambar 6.1 Detail Potongan *Castellated Beam*

- $\phi = 60^0$
- $\text{Tan } \phi = 1,73$

Dimensi profil *castellated beam*:

- $K_1 = 1.25$
- $h = d(K_1-1) = 500 \times (1,25-1) = 125 \text{ mm}$
- $dg = d+h = 500 + 125 = 625 \text{ mm}$
- $b = \frac{h}{\text{tg}\phi} = \frac{125}{1,73} = 72,2 \text{ mm}$
- $dt = st = \frac{dg-2tf}{2} \cdot h = \frac{625-(2 \times 16)}{2} \cdot 125 = 171,5 \text{ mm}$
- $e = 2h = 2 \times 125 = 250 \text{ mm}$
- $a_0 = 2b + e = 2 \times 72,2 + 250 = 394,34 \text{ mm}$
- $h_0 = 2h = e = 250 \text{ mm}$

Maka, profil WF menjadi profil *castellated* 625×200×10×16 dengan data-data sebagai berikut:

d	= 625 mm	h ₀	= 250 mm
bf	= 200 mm	a ₀	= 394,3 mm
tw	= 10 mm	r	= 20 mm
tf	= 16 mm	h	= 553 mm

a) I_x dan Z_x *Castellated* Tanpa Lubang

$$\begin{aligned}
 I_x &= \frac{1}{12} b \cdot d_g^3 - \left(2 \times \frac{1}{12} \times \left(\frac{b - t_w}{2} \right) (d_g - 2t_f)^3 \right) \\
 &= \frac{1}{12} \cdot 200 \cdot 625^3 - \left(2 \times \frac{1}{12} \times \left(\frac{200-10}{2} \right) (625 - 2 \cdot 16)^3 \right) \\
 &= 767319347,5 \text{ mm}^4 = 76731,93 \text{ cm}^4
 \end{aligned}$$

$$\begin{aligned}
 Z_x &= \left(\frac{1}{4} \times b \times d_g^2 \right) - \left(2 \times \frac{1}{4} \times \left(\frac{b_f - t_w}{2} \right) \times (d_g - 2t_f)^2 \right) \\
 &= \left(\frac{1}{4} \times 200 \times 625^2 \right) - \left(2 \times \frac{1}{4} \times \left(\frac{200-10}{2} \right) \times (625-2 \cdot 16)^2 \right) \\
 &= 2827922,5 \text{ mm}^3 = 2827,92 \text{ cm}^3
 \end{aligned}$$

b) I_x dan Z_x *Castellated* Lubang

$$\begin{aligned}
 I_x &= \frac{1}{12} b d_g^3 - \left(2 \times \frac{1}{12} \times \left(\frac{b - t_w}{2} \right) (d_g - 2t_f)^3 \right) - \left(\frac{1}{12} \times t_w \times h_o^3 \right) \\
 &= \frac{1}{12} \cdot 200 \cdot 625^3 - \left(2 \times \frac{1}{12} \times \left(\frac{200-10}{2} \right) (625 - 2 \cdot 16)^3 \right) - \left(\frac{1}{12} \times 10 \times 250^3 \right) \\
 &= 754298514,2 \text{ mm}^4 = 75429,85 \text{ cm}^4
 \end{aligned}$$

$$\begin{aligned}
 Z_x &= \left(\frac{1}{4} \times b \times d_g^2 \right) - \left(2 \times \frac{1}{4} \times \left(\frac{b_f - t_w}{2} \right) \times (d_g - 2t_f)^2 \right) - \left(\frac{1}{4} \times t_w \times h_o^2 \right) \\
 &= \left(\frac{1}{4} \times 200 \times 625^2 \right) - \left(2 \times \frac{1}{4} \times \left(\frac{200-10}{2} \right) \times (625 - 2 \cdot 16)^2 \right) - \left(\frac{1}{4} \times 10 \times 250^2 \right) \\
 &= 2671672,5 \text{ mm}^3 = 2671,67 \text{ cm}^3
 \end{aligned}$$

3) Kontrol Kuat Momen Lentur

a) Ketika Solid

- Kontrol Pelat Sayap (Solid)

$$\lambda \leq \lambda_p \rightarrow \frac{b}{2t_f} \leq 0,38 \sqrt{\frac{E}{f_y}} \rightarrow \frac{200}{2 \times 16} \leq 0,38 \sqrt{\frac{200000}{250}}$$

6,25 < 10,75 (Penampang Kompak)

- Kontrol pelat badan (Solid)

$$\lambda \leq \lambda_p \rightarrow \frac{h}{t_w} \leq 3,76 \sqrt{\frac{E}{f_y}} \rightarrow \frac{553}{10} \leq 3,76 \sqrt{\frac{200000}{250}}$$

55,3 < 106,35 (Penampang Kompak)

- Karena penampang kompak, maka $M_n = M_p$ (solid)

$$\begin{aligned}
 M_p = M_n &= Z_x \times f_y = 2827,92 \times 2500 \\
 &= 7069806,25 \text{ kg.cm} = 70698,06 \text{ kg.m}
 \end{aligned}$$

$$\begin{aligned}
 \phi M_n &= 0,9 \times M_n = 0,9 \times 7069806,25 \\
 &= 6362825,6 \text{ kg.cm} = 63628,26 \text{ kg.m}
 \end{aligned}$$

Kontrol $\phi M_n \geq M_u$

63628,26 kg.m > 34083,16 kg.m (OK)

- Kontrol Penampang Terhadap Tekuk Lateral
 Jarak penahan lateral (L_b) = 300 cm
 L_p = 215,549 cm } Dari Tabel (L_p & L_r)
 L_r = 643,749 cm }
 $L_p < L_b < L_r \rightarrow$ Bentang Menengah

Karena bentang menengah, maka :

$$M_n = C_b \left[M_p - (M_p - 0.7 f_y S_x) \left(\frac{L_b - L_p}{L_r - L_p} \right) \right] \leq M_p$$

Momen :

$$M_a = 5776,13 \text{ kg.m}$$

$$M_b = 16779,42 \text{ kg.m}$$

$$M_c = 7106,69 \text{ kg.m}$$

$$M_{max} = 34083,16 \text{ kg.m}$$

$$\begin{aligned} C_b &= \frac{12,5 M_{max}}{2,5 M_{max} + 3 M_A + 4 M_B + 3 M_C} \leq 2,3 \\ &= \frac{12,5 \times 34083,16}{2,5 \times 34083,16 + 3 \times 5776,13 + 4 \times 16779,42 + 3 \times 7106,69} \\ &= 2,23 > 2,3 \end{aligned}$$

$$\begin{aligned} M_n &= C_b \left[M_p - (M_p - 0.7 f_y S_x) \left(\frac{L_b - L_p}{L_r - L_p} \right) \right] \leq M_p \\ &= 2,23 \left[7069806,3 - (7069806,3 - 0,7 \times 2500 \times 1910) \left(\frac{300 - 215,549}{643,749 - 215,549} \right) \right] \\ &= 14131921,7 \text{ kg.cm} = 141319,2 \text{ kg.m} \end{aligned}$$

$$M_n = 141319,2 \text{ kg.m} > M_p = 70698,06 \text{ kg.m}$$

Maka dipakai $M_n = M_p = 70698,06 \text{ kg.m}$

- Cek kemampuan penampang

$$\emptyset M_n \geq M_u$$

$$\emptyset M_n = 0,9 \times 70698,06 \text{ kg.m}$$

$$= 63628,26 \text{ kg.m} > M_u = 34083,16 \text{ kg.m} \text{ (OK)}$$

b) Ketika Lubang

- Kontrol pelat badan (Lubang)

$$\lambda \leq \lambda_p \rightarrow \frac{h - h_o}{tw} \leq 3,76 \sqrt{\frac{E}{f_y}} \rightarrow \frac{553 - 250}{10} \leq 3,76 \sqrt{\frac{200000}{250}}$$

$$30,3 < 106,35 \text{ (Penampang Kompak)}$$

- Karena penampang kompak, maka $M_n = M_p$ (Lubang)

$$M_n = M_p - f_y \times \Delta A_s \left(\frac{h_o}{4} + e \right)$$

$$M_p = Z_x \cdot F_y = 2671,67 \text{ cm}^3 \times 2500 \text{ kg/cm}^2 \\ = 6679181,25 \text{ kg.cm} = 66791,81 \text{ kg.m}$$

$$\Delta A_s = h_o \times tw = 25 \times 1 = 25 \text{ cm}^2$$

$$M_n = M_p - f_y \times \Delta A_s \left(\frac{h_o}{4} + e \right) \\ = 6679181,3 - 2500 \times 25 \times \left(\frac{25}{4} + 0 \right)$$

$$= 6288556,25 \text{ kg.cm}$$

$$\phi M_n = 0,9 \times M_n = 0,9 \times 6288556,25 \text{ kg.cm}$$

$$= 5659700,625 \text{ kg.cm} = 56597,01 \text{ kg.m}$$

Kontrol $\phi M_n \geq M_u$

$$56597,01 \text{ kg.m} \geq 34083,16 \text{ kg.m}$$

(OK)

4) Kontrol Kuat Geser

Syarat ASCE 3.2 hal 3326-3327

$$\frac{dg - 2tf}{tw} \leq \frac{1365}{\sqrt{f_y}} \rightarrow \frac{625 - 2.16}{10} \leq \frac{1365}{\sqrt{250}} \rightarrow 59,3 \leq 86,33 \text{ (OK)}$$

$$\frac{dg - 2tf}{tw} \leq \frac{1100}{\sqrt{f_y}} \rightarrow \frac{625 - 2.16}{10} \leq \frac{1100}{\sqrt{250}} \rightarrow 59,3 \leq 69,57 \text{ (OK)}$$

Maka pelat badan termasuk plastis.

a) Perbandingan Lebar Terhadap Tinggi Lubang

$$\frac{a_0}{h_0} < 3 = \frac{394,34}{250} = 1,57 < 3 \quad \text{(OK)}$$

b) Parameter Lubang

$$P_0 = \frac{a_0}{h_0} + \frac{6h_0}{d} = 1,57 + \frac{6 \times 250}{625} = 3,98 < 5,6 \quad \text{(OK)}$$

(Balok Non Komposit = 5,6)

c) Kapasitas Geser Nominal Maksimum Pada Lubang

$$V_{nt} \leq V_{pt}$$

$$V_{pt} = \frac{f_y \times t_w \times d_t}{\sqrt{3}} = 2500 \times 1 \times \frac{17,15}{\sqrt{3}} = 24753,89 \text{ kg}$$

$$\mu = 0$$

$$V = \frac{a_0}{d_t} = \frac{394,34}{171,5} = 2,3$$

$$\frac{\sqrt{6} + \mu}{v + \sqrt{3}} = \frac{\sqrt{6} + 0}{2,3 + \sqrt{3}} = 0,61 \leq 1,00 \quad \text{(OK)}$$

$$\begin{aligned} V_{nt} &= \frac{\sqrt{6} + \mu}{v + \sqrt{3}} \times V_{pt} = \frac{\sqrt{6} + 0}{2,3 + \sqrt{3}} \times 24753,9 \\ &= 15040,55 \leq 24753,9 \quad \text{(OK)} \end{aligned}$$

$$V_n = \Sigma V_{nt} = 2 \times V_{nt} = 2 \times 15040,55 = 30081,1 \text{ kg}$$

$$\emptyset V_n = 0,9 \times V_n = 0,9 \times 30081,1 = 27073 \text{ kg}$$

$$\text{Kontrol, } \emptyset V_n \geq V_u = 27073 \text{ kg} \geq 23036,4 \text{ kg} \quad \text{(OK)}$$

5) Persamaan Interaksi

$$\left(\frac{M_u}{\emptyset M_n} \right)^3 + \left(\frac{V_u}{\emptyset V_n} \right)^3 \leq 1,0$$

$$\left(\frac{34083,16}{56597,01} \right)^3 + \left(\frac{23036,4}{27073} \right)^3 \leq 1,0$$

$$0,83 \leq 1,00 \quad \text{(OK)}$$

6) Kontrol Jarak Antar Lubang

$$S = 2(b+e) = 2 \times (72,2 + 250) = 644,3 \text{ mm}$$

$$S \geq h_0 = 644,3 \text{ mm} \geq 250 \text{ mm} \quad \text{(OK)}$$

$$S \geq a_0 = 644,3 \text{ mm} \geq 394,33 \text{ mm} \quad \text{(OK)}$$

$$V_p = \frac{f_y \times t_w \times d_g}{\sqrt{3}} = \frac{2500 \times 1 \times 62,5}{\sqrt{3}} = 90210,98 \text{ kg}$$

$$S \geq a_0 \left(\frac{\frac{V_u}{\phi V_p}}{1 - \frac{V_u}{\phi V_p}} \right)$$

$$644,3 \geq 394,33 \times \left(\frac{\frac{23036,4}{0,9 \times 90210,98}}{1 - \frac{23036,4}{0,9 \times 90210,98}} \right)$$

$$644,3 \text{ mm} \geq 156,21 \text{ mm} \quad \text{(OK)}$$

7) Kontrol Lentutan

$$f_{ijin} = \frac{L}{360} = \frac{800}{360} = 2,2 \text{ cm}$$

$$f_{terjadi} = 0,432 \text{ cm}$$

$$f_{terjadi} \leq f_{ijin} = 0,432 \text{ cm} \leq 2,2 \text{ cm} \quad \text{(OK)}$$

Jadi Profil *Castellated Beam* 625×200×10×16 dapat digunakan sebagai balok induk (BI 1) lantai 1-3 Tower H

6.2.2 Balok Induk (BI 2) Lantai 1-3 Tower H

Berikut ini merupakan contoh perhitungan balok induk (BI 2) pada lantai 1-3. Dari hasil SAP 2000 dari kombinasi terbesar terdapat pada lantai 3 As G 7-8 diperoleh:

$$M_u = 4765,16 \text{ kg.m}$$

$$V_u = 4914,54 \text{ kg}$$

$$F^0 = 0,01 \text{ cm}$$

Balok induk dengan bentang 2,8m ini direncanakan menggunakan profil WF 350 x 175 x 7 x 11, dengan F_y 250 MPa (BJ 41), dengan data-data sebagai berikut:

w	= 49,6	kg/m	r	= 14	mm
d	= 350	mm	Z_x	= 841	cm ³
bf	= 175	mm	Z_y	= 172	cm ³
tw	= 7	mm	S_x	= 775	cm ³
tf	= 10	mm	S_y	= 112	cm ³
I_x	= 13600	cm ⁴	i_x	= 14,7	cm
I_y	= 984	cm ⁴	i_y	= 3,95	cm
E	= 200000	MPa	h	= 300	mm

1) Cek Penampang

- Pelat Sayap

$$\lambda \leq \lambda_p \rightarrow \frac{b}{2tf} \leq 0,38 \sqrt{\frac{E}{f_y}}$$

$$\frac{175}{2 \times 10} \leq 0,38 \sqrt{\frac{200000}{250}}$$

7,95 ≤ 10,75 (Penampang Kompak)

- Pelat Badan

$$\lambda \leq \lambda_p \rightarrow \frac{h}{tw} \leq 3,76 \sqrt{\frac{E}{f_y}}$$

$$\frac{300}{7} \leq 3,76 \sqrt{\frac{200000}{250}}$$

42,8 ≤ 106,35 (Penampang Kompak)

Karena penampang kompak, maka $M_n = M_p$

$$\begin{aligned} M_p &= M_n = Z_x \cdot f_y = 841 \times 2500 \\ &= 2102500 \text{ kg.cm} = 21025 \text{ kg.m} \end{aligned}$$

- Cek kemampuan penampang

$$\phi M_n \geq M_u$$

$$\begin{aligned}\emptyset M_n &= 0,9 \times 21025 \text{ kg.m} \\ &= 18922,50 \text{ kg.m} > M_u = 4765,16 \text{ kg.m} \text{ (OK)}\end{aligned}$$

- Kontrol Penampang Terhadap Tekuk Lateral
 Jarak penahan lateral (L_b) = 285 cm
 L_p = 196,632 cm } Dari Tabel (L_p & L_r)
 L_r = 570,599 cm }
 $L_p < L_b < L_r \rightarrow$ Bentang Menengah

Karena bentang menengah, maka :

$$M_n = C_b \left[M_p - (M_p - 0.7 f_y S_x) \left(\frac{L_b - L_p}{L_r - L_p} \right) \right] \leq M_p$$

Momen :

$$M_a = 1808,07 \text{ kg.m}$$

$$M_b = 686,3 \text{ kg.m}$$

$$M_c = 1788,85 \text{ kg.m}$$

$$M_{max} = 4765,16 \text{ kg.m}$$

$$\begin{aligned}C_b &= \frac{12,5 M_{max}}{2,5 M_{max} + 3 M_A + 4 M_B + 3 M_C} \leq 2,3 \\ &= \frac{12,5 \times 4765,16}{2,5 \times 4765,16 + 3 \times 1808,07 + 4 \times 686,3 + 3 \times 1788,85} \\ &= 2,34 < 2,3\end{aligned}$$

$$\begin{aligned}M_n &= C_b \left[M_p - (M_p - 0.7 f_y S_x) \left(\frac{L_b - L_p}{L_r - L_p} \right) \right] \leq M_p \\ &= 2,34 \left[2102500 - (2102500 - 0,7 \times 2500 \times 775) \left(\frac{285 - 196,632}{570,599 - 196,632} \right) \right] \\ &= 4430172,4 \text{ kg.cm} = 44301,7 \text{ kg.m}\end{aligned}$$

$$M_n = 44301,7 \text{ kg.m} > M_p = 21025 \text{ kg.m}$$

Maka dipakai $M_n = M_p = 21025 \text{ kg.m}$

- Cek kemampuan penampang
 $\emptyset M_n \geq M_u$

$$\begin{aligned}\phi M_n &= 0,9 \times 21025 \text{ kg.m} \\ &= 18922,50 \text{ kg.m} > M_u = 4765,16 \text{ kg.m} \quad \text{(OK)}\end{aligned}$$

2) Kontrol Kuat Geser

$$V_u = 4914,54 \text{ kg}$$

$$\frac{h}{tw} \leq 1,1 \sqrt{k_v \frac{E}{F_y}}$$

$$\frac{300}{7} \leq 1,1 \sqrt{5 \times \frac{200000}{250}}$$

$$42,86 \leq 69,570 \rightarrow \text{plastis}$$

$h/tw < 260$ maka, $k_v = 5$ (SNI 1729:2015, Pasal G2.1)

maka, $C_v = 1,00$ sehingga

$$\begin{aligned}\text{Maka, } \phi V_n &= 0,9 \times (0,6 f_y A_w C_v) \\ &= 0,9 \times (0,6 \times 2500 \times (17,5 \times 0,7) \times 1,0) \\ &= 18375 \text{ kg}\end{aligned}$$

Syarat : $\phi V_n \geq V_u$

$$16537,5 \text{ kg} \geq 4914,54 \text{ kg} \quad \text{(OK)}$$

3) Kontrol Lendutan

$$f_{ijin} = \frac{L}{360} = \frac{280}{360} = 0,8 \text{ cm}$$

$$f_{terjadi} = 0,01 \text{ cm}$$

$$f_{terjadi} \leq f_{ijin} = 0,01 \text{ cm} \leq 0,8 \text{ cm} \quad \text{(OK)}$$

Jadi Profil WF 350×175×7×11 dapat digunakan sebagai balok induk (BI 2) lantai 1-3 Tower H

6.3 Perencanaan Struktur Kolom

6.3.1 Kolom 1-3 Tower H

Pada perencanaan ini ditunjukkan contoh perhitungan kolom lantai 1. Direncanakan komposit CFT dengan profil HSS 800×800×25×25 dan panjang kolom 400 cm. Data-data profil disajikan sebagai berikut :

$$\begin{aligned}
 d &= 800 \text{ mm} & I_x &= 776615 \text{ cm}^4 \\
 b_f &= 800 \text{ mm} & I_y &= 776615 \text{ cm}^4 \\
 t_w &= 25 \text{ mm} & i_x &= 31.66 \text{ cm} \\
 t_f &= 25 \text{ mm} & i_y &= 31.66 \text{ cm} \\
 A &= 775 \text{ cm}^2 & S_x &= 19415 \text{ cm}^3 \\
 Z_x &= 22531 \text{ cm}^3 \\
 h &= 750 \text{ mm} \\
 f_y &= 250 \text{ MPa}
 \end{aligned}$$

Dari hasil analisis SAP 2000 didapatkan gaya dalam yang bekerja sebagai berikut:

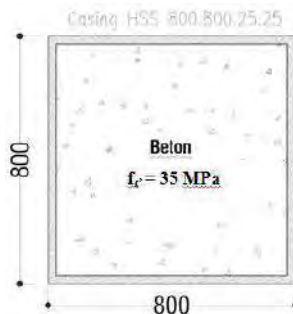
$$\begin{aligned}
 P_u &= 692771,6 \text{ kg} \\
 M_{ux} &= 49040,76 \text{ kg.m} \\
 M_{uy} &= 30382,76 \text{ kg.m}
 \end{aligned}$$

Bahan :

$$\text{BJ 41} : f_y = 2500 \text{ kg/cm}^2$$

$$f_u = 4100 \text{ kg/cm}^2$$

$$\text{Beton} : f_c' = 35 \text{ MPa} = 3500 \text{ kg/cm}^2$$



Gambar 6.2 Penampang Kolom Komposit CFT dengan Profil HSS 800 × 800 × 25 × 25

a. Kuat nominal tekan kolom komposit

- Kontrol luas penampang minimum profil baja

$$\frac{A_s}{A_c + A_s} \times 100\% = \frac{775}{5625 + 775} = 12,11\% \geq 4\% \quad (\text{OK})$$

- Kontrol tebal minimum penampang persegi

$$t_{min} = b \times \sqrt{\frac{f_y}{3E}}$$

$$t_{min} = 800 \times \sqrt{\frac{240}{3 \times 2 \times 10^5}} = 16 \text{ mm} \leq 25 \text{ mm} \quad (\text{OK})$$

- Kuat nominal tekan kolom komposit

$$\lambda = \frac{b_f}{2t_f} = \frac{800}{2 \times 25} = 16$$

$$\lambda_p = 2,26 \sqrt{\frac{E}{f_y}} = 2,26 \sqrt{\frac{2 \times 10^5}{250}} = 63,92$$

$$\lambda \leq \lambda_p \rightarrow 16 \leq 63,92 \rightarrow \text{penampang kompak}$$

Sehingga kekuatan nominal tekan diperhitungkan sebagai berikut :

$$P_{no} = P_p$$

$$P_p = f_y A_s + C_2 f_c' \left(A_c + A_{sr} \frac{E_s}{E_c} \right)$$

$$P_p = 2500 \times 775 + 0,85 \times 400 (5625 + 0)$$

$$P_p = P_{no} = 3610937,5 \text{ kg}$$

b. Momen nominal kolom

- Kontrol penampang terhadap tekuk lokal

$$\lambda = \frac{b_f}{2t_f} = \frac{800}{2 \times 25} = 16$$

$$\lambda_p = 1,12 \sqrt{\frac{E}{f_y}} = 1,12 \sqrt{\frac{2 \times 10^5}{250}} = 31,68$$

$\lambda \leq \lambda_p \rightarrow 16 \leq 31,68 \rightarrow$ penampang kompak

- Karena penampang kompak, maka $M_n = M_p$
 $M_p = f_y \cdot Z_x = 2500 \times 22531 = 56327500 \text{ kg.cm}$
 $= 563275 \text{ kg.m}$
- Cek kemampuan penampang
 $\phi \cdot M_n \geq M_u$
 $\phi \cdot M_n = 0,9 \times 563275$
 $= 506947,5 \text{ kg.m} \geq 49040,76 \text{ kg.m}$

- Kontrol penampang terhadap tekuk lateral
 Panjang tak terkekang adalah tinggi kolom- d_{balok}
 $L_b = 400 - 31,25 = 368,75 \text{ cm}$.

$$L_p = 1,76 \times i_y \times \sqrt{\frac{E}{f_y}} = 1,76 \times 31,66 \times \sqrt{\frac{2 \times 10^6}{2500}} = 1576,04 \text{ cm}$$

$L_b \leq L_p \rightarrow 337,5 \text{ cm} \leq 1576,04 \text{ cm} \rightarrow$ bentang pendek

- Karena bentang pendek, maka $M_n = M_p$
 $M_p = f_y \cdot Z_x = 2500 \times 22531 = 56327500 \text{ kg.cm}$
 $= 563275 \text{ kg.m}$
- Cek kemampuan penampang
 $\phi \cdot M_n \geq M_u$
 $\phi \cdot M_n = 0,9 \times 563275$
 $= 506947,5 \text{ kg.m} \geq 49040,76 \text{ kg.m}$

- c. Kekuatan lentur dan aksial orde kedua

Momen lentur dan aksial terfaktor arah X dan Y ditentukan berdasarkan persamaan berikut ini:

$$M_r = B_1 M_{nt} + B_2 M_{lt}$$

dengan,

$$C_m = 0.6 - 0.4(M_1/M_2)$$

$$B_1 = \frac{C_m}{1 - \alpha P_1/P_{e1}} \geq 1.00$$

$$P_{e1} = \frac{\pi^2 EI^*}{(K_1 L)^2}$$

$$B_2 = \frac{1}{1 - \frac{\alpha P_{story}}{P_{e_story}}}$$

- Arah sumbu X :

- Kontrol momen terhadap beban gravitasi

Dari SAP 2000 diperoleh output sebagai berikut:

$$M_1 = 12.02,63 \text{ kg.m}$$

$$M_2 = 49040,76 \text{ kg.m}$$

$$M_{nt} = 393,24 \text{ kg.m}$$

$$M_{lt} = 48705,12 \text{ kg.m}$$

$$C_m = 0,498$$

$$P_{e1} = 95811035,27 \text{ kg}$$

$$B_1 = 0,5 < 1,0 \text{ maka digunakan } 1,0$$

- Kontrol momen terhadap beban lateral

Dari SAP 2000 diperoleh output sebagai berikut:

$$P_{story} = 51665,13 \text{ kg}$$

$$P_{mf} = 40505,81 \text{ kg}$$

$$R_m = 1 - 0,15(P_{mf}/P_{story})$$

$$= 1 - 0,15(40505,81 / 51665,13)$$

$$= 0,88$$

$$\Delta H = 8,22 \text{ mm (simpangan lantai 1 arah X)}$$

$$H = 9633,87 \text{ (geser tingkat dari gaya lateral)}$$

$$L = 4000 \text{ mm}$$

$$P_{e \text{ story}} = R_M \frac{HL}{\Delta_H} = 0,88 \frac{9633,87 \times 4000}{8,22}$$

$$= 4136699,3 \text{ kg}$$

$$B_2 = 1,013 > 1.0 \text{ maka digunakan } 1,013$$

- Momen terfaktor pada sumbu X

$$M_{rx} = B1 \times M_{nt} + B2 \times M_{lt}$$

$$= 1 \times 393,24 + 1,013 \times 48705,12$$

$$= 49714,4 \text{ kg.m}$$

- Arah sumbu Y :

- Kontrol momen terhadap beban gravitasi

Dari SAP 2000 diperoleh output sebagai berikut:

$$M_1 = 12892,22 \text{ kg.m}$$

$$M_2 = 30382,76 \text{ kg.m}$$

$$M_{nt} = 50,5 \text{ kg.m}$$

$$M_{lt} = 30370,17 \text{ kg.m}$$

$$C_m = 0,43$$

$$P_{e1} = 95811035,27 \text{ kg}$$

$$B_1 = 0,43 < 1,0 \text{ maka digunakan } 1,0$$

- Kontrol momen terhadap beban lateral

Dari SAP 2000 diperoleh output sebagai berikut:

$$P_{story} = 161983,24 \text{ kg}$$

$$P_{mf} = 81134,49 \text{ kg}$$

$$R_m = 1 - 0,15(P_{mf}/P_{story})$$

$$= 1 - 0,15(81134,49 / 161983,24)$$

$$= 0,925$$

$$\Delta H = 6,9 \text{ mm (simpangan lantai 1 arah Y)}$$

$$H = 5402,7 \text{ (geser tingkat dari gaya lateral)}$$

$$L = 4000 \text{ mm}$$

$$P_{e \text{ story}} = R_M \frac{HL}{\Delta_H} = 0,925 \frac{5402,7 \times 4000}{6,9}$$

$$= 2896685,6 \text{ kg}$$

$B_2 = 1,06 > 1.0$ maka digunakan 1,06

- Momen terfaktor pada sumbu Y

$$\begin{aligned} M_{ry} &= B1 \times M_{nt} + B2 \times M_{lt} \\ &= 1 \times 50,5 + 1,06 \times 30370,17 \\ &= 32219,57 \text{ kg.m} \end{aligned}$$

- Kuat aksial orde kedua

$$\begin{aligned} P_{nt} &= 692771,6 \text{ kg} \\ P_{lt} &= 6749,22 \text{ kg} \\ P_r &= P_{nt} + B_2 \times P_{lt} \\ &= 692771,6 + 1,06 \times 6749,22 \\ &= 699920,6 \text{ kg} \end{aligned}$$

- d. Kontrol interaksi aksial-momen

$$\frac{P_r}{P_c} = \frac{P_r}{\phi_c P_n} = \frac{699920,6}{0,90 \times 3610937,5} = 0,215 \geq 0,2$$

Maka digunakan rumus interaksi pertama sebagai berikut:

$$\frac{P_r}{P_c} + \frac{8}{9} \left(\frac{M_{rx}}{M_{cx}} + \frac{M_{ry}}{M_{cy}} \right) \leq 1$$

$$\frac{699920,6}{3249843,8} + \frac{8}{9} \left(\frac{49714,35}{506947,5} + \frac{32219,57}{506947,5} \right) = 0,4 \leq 1$$

Maka, profil HSS 800 x 800 x 25 x 25 dapat digunakan sebagai profil kolom lantai 1-3 tower H.

6.4 Perencanaan Dinding Geser Plat Baja (SPSW)

6.4.1 Desain Dinding Geser Plat Baja

Berikut ini adalah perhitungan dinding geser plat baja dan pengaruhnya terhadap balok (*HBE*) dan kolom (*VBE*). Dari hasil analisis SAP 2000 didapatkan gaya geser pada dinding geser yaitu

$$V_u = 48403,19 \text{ kg}$$

Bahan :

$$\text{BJ 41 : } f_y = 2500 \text{ kg/cm}^2$$

$$f_u = 4100 \text{ kg/cm}^2$$

Dimensi :

$$L \times h = 3 \text{ m} \times 4 \text{ m}$$

- 1) Tebal dinding geser

Asumsi sudut tarik SPSW 30° dari *VBE*.

$$\phi V_n = 0,90 \times 0,42 \times f_y \times t_w \times L_{cf} \times \sin(2\alpha)$$

$$48403,19 = 0,90 \times 0,42 \times 2500 \times t_w \times 300 \times \sin(2 \times 30^\circ)$$

$$t_w = 0,2 \text{ cm digunakan } t_w = 0,4 \text{ cm}$$

- 2) Sudut tarik aktual sesuai ketebalan *SPSW*

$$\alpha = \tan^{-1} \sqrt[4]{\frac{1 + \frac{t_w L}{2A_c}}{1 + t_w h \left[\frac{1}{A_b} + \frac{h^3}{360I_c L} \right]}}$$

$$\alpha = \tan^{-1} \sqrt[4]{\frac{1 + \frac{0,4 \times 300}{2 \times 775}}{1 + 0,4 \times 400 \left[\frac{1}{307,6} + \frac{400^3}{360 \times 776615 \times 300} \right]}}$$

$$\alpha = 41,98^\circ \text{ memenuhi syarat } 30^\circ < \alpha < 55^\circ$$

- 3) Kekuatan geser aktual *SPSW*

$$\phi V_n = 0,90 \times 0,42 \times f_y \times t_w \times L_{cf} \times \sin(2\alpha)$$

$$\phi V_n = 0,90 \times 0,42 \times 2500 \times 0,4 \times 300 \times \sin(2 \times 41,98^\circ)$$

$$\phi V_n = 112773,33 \text{ kg} > 48403,19 \text{ kg (OK)}$$

6.4.2 Kontrol Desain Balok (*HBE*)

Balok untuk dinding geser direncanakan dengan profil WF 800×300×16×30 dengan bentang 9 m

$$\begin{aligned} W &= 241 \text{ kg/m} & r &= 28 \text{ mm} & h_w &= 808-2(30+28) \\ A &= 307,6 \text{ cm}^2 & Z_x &= 9287 \text{ cm}^3 & &= 692 \text{ mm} \\ t_w &= 16 \text{ mm} & i_y &= 6,7 \text{ cm} & b_f &= 302 \text{ mm} \\ t_f &= 30 \text{ mm} & I_x &= 339000 \text{ cm}^4 & & \\ d &= 808 \text{ mm} & I_y &= 13800 \text{ cm}^4 & & \end{aligned}$$

Balok perlu dikontrol akibat adanya distribusi gaya dari *SPSW*.

1) Momen pada balok (*HBE*) akibat *SPSW*

$$M_u = \frac{q_u L_h^2}{8}$$

Menentukan nilai q_u

$$q_u = R_y f_y (t_{w1} \cos^2 \alpha_1 - t_{w2} \cos^2 \alpha_2)$$

$$q_u = 1,5 \times 2500 (0,4 \times \cos^2 41,98^\circ - 0,4 \times \cos^2 41,98^\circ)$$

$$q_u = 0 \text{ kg/cm}$$

Panjang beban terbagi merata q_u

$$L_h = L - 2 \left[\frac{1}{2} (d_c + d_b) \right]$$

$$L_h = 900 - 2 \left[\frac{1}{2} (80 + 80,8) \right]$$

$$L_h = 739,2 \text{ cm}$$

Jadi momen pada balok akibat *SPSW*

$$M_u = \frac{0 \times 289,2^2}{8} = 0 \text{ kg.cm} = 0 \text{ kg.m}$$

Momen tersebut adalah momen akibat dari *SPSW* sehingga perlu ditambah dengan momen akibat beban gravitasi.

$$M_u = 0 + 8838,03 = 8838,03 \text{ kg.m}$$

2) Gaya aksial pada balok (HBE)

$$P_{HBE} = P_{HBE(VBE)} \pm \frac{1}{2} P_{HBE(web)}$$

$$P_{HBE(VBE)} = \sum \frac{1}{2} R_y f_y \sin^2(\alpha) t_w h_c$$

$$P_{HBE(VBE)} = \frac{1}{2} \times 1,5 \times 2500 \times \left[\begin{array}{l} \sin^2(41,98^\circ) \times 0,4 \times 359,6 \\ + \sin^2(41,98^\circ) \times 0,4 \times 359,6 \end{array} \right]$$

$$P_{HBE(VBE)} = 241385,5 \text{ kg}$$

$$P_{HBE(web)} = \frac{1}{2} R_y f_y [t_1 \sin(2\alpha_1) - t_{1+1} \sin(2\alpha_{1+1})] L_{cf}$$

$$P_{HBE(web)} = \frac{1}{2} \times 1,5 \times 2500 \times [0] \times (900 - 80)$$

Nilai $[t_1 \sin(2\alpha_1) - t_{1+1} \sin(2\alpha_{1+1})] = 0$ karena dimensi $SPSW$ lantai 1 dan atasnya sama.

$$P_{HBE(web)} = 0 \text{ kg}$$

Nilai P_{HBE} pada balok akibat distribusi gaya dari $SPSW$ adalah :

$$P_{HBE} = 241385,5 \pm \frac{1}{2} \times 0$$

$$P_{HBE} = 241385,5 \text{ kg (tekan)}$$

Nilai P_{HBE} pada balok merupakan aksial tekan, sehingga perlu diperhitungkan dengan analisis orde kedua pendekatan.

$$B_1 = \frac{C_m}{1 - \alpha P_1 / P_{e1}} \geq 1,00$$

$$C_m = 1,0$$

$$KL = 1 \times 900 = 900 \text{ cm}$$

$$P_{e1} = \frac{\pi^2 EI^*}{(K_1 L)^2}$$

$$P_{e1} = \frac{\pi^2 (2 \times 10^6) \times (339000)}{(900)^2}$$

$$P_{e1} = 8252850,4 \text{ kg}$$

$$B_1 = \frac{1}{1 - \frac{1 \times 241385,5}{8252850,4}} = 1,03 \geq 1,0$$

- Karena nilai $B_1 = 1,03$,maka faktor perbesaran momen tersebut digunakan dalam perhitungan berikut:

$$P_r = P_u = 241385,5 \text{ kg}$$

$$\begin{aligned} M_r &= B_1 M_{nt} + B_2 M_{lt} \\ &= 1,03 \times 8838,03 \\ &= 9104,3 \text{ kg.m} \end{aligned}$$

- 3) Gaya geser pada balok (*HBE*) akibat *SPSW*
Gaya gesr dihitung dengan sebagai berikut:

$$V_u = \frac{2M_{pr}}{L_h} + V_{ug}$$

Momen lentur balok, M_{pr} , dihitung dengan berdasarkan V_u balok yang telah diperlemah (*strength reduced*). Perlemahan diasumsikan 2/3 dari modulus penampang plastik balok.

$$\begin{aligned} M_{pr} &= 1,1 R_y f_y Z_{RBS} \\ &= 1,1 \times 1,5 \times 2500 \times (2/3 \times 9287) \\ &= 25539250 \text{ kg.cm} \\ &= 255392,5 \text{ kg.m} \end{aligned}$$

Gaya aksial *HBE* pada sambungan mungkin digunakan untuk menghitung kekuatan lentur yang telah diperlemah pada sendi plastis.

$$\begin{aligned} P_y &= f_y A_g \\ &= 2500 \times 307,6 \\ &= 769000 \text{ kg} \end{aligned}$$

$$\begin{aligned} \frac{P_u}{P_y} &= \frac{241385,5}{769000} \\ &= 0,31 > 0,2 \end{aligned}$$

$$\begin{aligned} M_{pr}^* &= \frac{9}{8} \left(M_{pr} \right) \left[1 - \frac{P_{u(HBE)}}{P_y} \right] \\ &= \frac{9}{8} (255392,5) \left[1 - \frac{241385,5}{769000} \right] \\ &= 197129,3 \text{ kg.m} \end{aligned}$$

V_{ug} yang merupakan gaya geser akibat beban gravitasi merupakan hasil output SAP 2000. $V_{ug} = 7907,07 \text{ kg}$

$$\begin{aligned} V_u &= \frac{2 \times 197129,26}{9} + 7907,07 \\ &= 51713,57 \text{ kg} \end{aligned}$$

4) Kontrol penampang profil terhadap gaya lentur

- Kontrol penampang terhadap tekuk lokal

Pelat sayap

$$\lambda = \frac{b_f}{2t_f} = \frac{302}{2 \times 30} = 5,03$$

$$\lambda_p = 0,38 \sqrt{\frac{E}{f_y}} = 0,38 \sqrt{\frac{2 \times 10^5}{250}} = 10,75$$

$$\lambda \leq \lambda_p \rightarrow 5,03 \leq 10,75 \rightarrow \text{penampang sayap kompak}$$

Pelat badan

$$\lambda = \frac{h_w}{t_w} = \frac{692}{16} = 43,25$$

$$\lambda_p = 3,76 \sqrt{\frac{E}{f_y}} = 3,76 \sqrt{\frac{2 \times 10^5}{250}} = 106,35$$

$\lambda \leq \lambda_p \rightarrow 43,25 \leq 106,35 \rightarrow$ penampang badan kompak

- Karena penampang kompak, maka $M_n = M_p$
 $M_p = f_y \cdot Z_x = 2500 \times 9287 = 23217500 \text{ kg.cm}$
 $= 232175 \text{ kg.m}$

- Cek kemampuan penampang

$$\phi_b \cdot M_n \geq M_u$$

$$\phi_b \cdot M_n = 0,9 \times 232175$$

$$= 208957,5 \text{ kg.m} > 9104,32 \text{ kg.m} \quad \text{(OK)}$$

- Kontrol penampang terhadap tekuk lateral
 Panjang tak terkekang adalah jarak antar *shear conector* sesuai tabel perencanaan bondex sehingga $L_b = 40 \text{ cm}$.

$$L_p = 1,76 \times i_y \times \sqrt{\frac{E}{f_y}} = 1,76 \times 6,70 \times \sqrt{\frac{2 \times 10^6}{2500}} = 333,53 \text{ cm}$$

$L_b \leq L_p \rightarrow 40 \text{ cm} \leq 333,53 \text{ cm} \rightarrow$ bentang pendek

- Karena bentang pendek, maka $M_n = M_p$
 $M_p = f_y \cdot Z_x = 2500 \times 9287 = 23217500 \text{ kg.cm}$
 $= 232175 \text{ kg.m}$

- Cek kemampuan penampang

$$\phi_b \cdot M_n \geq M_u$$

$$\phi_b \cdot M_n = 0,9 \times 232175$$

$$= 208957,5 \text{ kg.m} > 9104,32 \text{ kg.m} \quad \text{(OK)}$$

5) Kontrol penampang profil terhadap gaya geser

$$\frac{h_w}{t_w} = \frac{692}{16} = 43,25 ; 1,10 \sqrt{k_v \frac{E}{f_y}} = 1,10 \sqrt{5 \times \frac{2 \times 10^6}{2400}} = 69,57$$

$$\text{karena } \frac{h_w}{t_w} \leq 1,10 \sqrt{k_v \frac{E}{f_y}} \rightarrow 43,25 \leq 69,57$$

maka $C_v = 1,00$; sehingga

$$\begin{aligned} V_n &= 0,6 f_y A_w C_v \\ &= 0,6 \times 2500 \times (80,8 \times 1,60) \times 1,00 \\ &= 193920 \text{ kg} \end{aligned}$$

$$\emptyset V_n \geq Vu$$

$$\begin{aligned} \emptyset V_n &= 0,9 \times 193920 \\ &= 174528 \text{ kg} > 51713,57 \text{ kg} \quad \text{(OK)} \end{aligned}$$

6) Kekuatan tekan balok (*HBE*)

$$L = 900 \text{ cm}$$

$$K_c = 1,00$$

$$f_e = \frac{\pi^2 E}{\left(\frac{KL}{r_{\min}}\right)^2} = \frac{\pi^2 \times 2 \times 10^6}{\left(\frac{1,00 \times 900}{6,70}\right)^2} = 1092,83 \text{ kg/cm}^2$$

$$\frac{f_y}{f_e} = \frac{2500}{1092,83} = 2,3$$

karena $\frac{f_y}{f_e} = 2,3 < 2,25$ maka f_{cr} ditentukan dengan :

$$f_{cr} = 0,877 f_e = 0,877 \cdot 1092,83 = 958,4 \text{ kg/cm}^2$$

$$\begin{aligned} P_n &= f_{cr} \times A_g \\ &= 958,4 \times 307,6 = 294808,4 \text{ kg} \end{aligned}$$

$$\begin{aligned} \emptyset P_n &= 0,85 \times 294808,4 \\ &= 250587,11 \text{ kg} > 241385,5 \text{ kg} \quad \text{(OK)} \end{aligned}$$

- 7) Interaksi aksial dan lentur balok (
- HBE*
-)

$$\frac{P_r}{P_c} = \frac{P_r}{0,85 \cdot P_n} = \frac{241385,5}{0,85 \times 294808,4}$$

$$= 0,9 > 0,2$$

$$\frac{M_r}{M_c} = \frac{9104,32}{208957,5}$$

$$= 0,04$$

$$\frac{P_r}{P_c} + \frac{8}{9} \left(\frac{M_r}{M_c} \right) = 0,9 \leq 1,0 \quad \text{(OK)}$$

- 8) Kontrol momen inersia balok (
- HBE*
-) terhadap
- SPSW*

$$I_{HBE} \geq 0,003 \frac{(\Delta t_w) L^4}{h}$$

$$= 0,003 \frac{(0) \times 900^4}{400}$$

$$I_{HBE} = 339000 \geq 0,00 \quad \text{(OK)}$$

- 9) Kontrol ketebalan plat badan balok (
- HBE*
-)

$$t_{wHBE} \geq \frac{t_w R_y f_y}{f_y HBE}$$

$$\geq \frac{0,4 \times 1,5 \times 2500}{2500}$$

$$\geq 0,6 \text{ cm}$$

$$t_w = 1,6 \text{ cm} \geq 0,6 \text{ cm} \quad \text{(OK)}$$

Balok 800×300×16×30 aman digunakan untuk balok (*HBE*) komponen *SPSW*.

6.4.3 Kontrol Desain Kolom (VBE)

Kolom pada dinding geser direncanakan komposit CFT dengan profil HSS 800×800×25×25 dengan mutu inti beton $f'_c = 35$ MPa dan panjang kolom 400 cm. Data-data profil disajikan sebagai berikut :

$$\begin{aligned}
 d &= 800 \text{ mm} & I_x &= 776615 \text{ cm}^4 \\
 b_f &= 800 \text{ mm} & I_y &= 776615 \text{ cm}^4 \\
 t_w &= 25 \text{ mm} & i_x &= 31.66 \text{ cm} \\
 t_f &= 25 \text{ mm} & i_y &= 31.66 \text{ cm} \\
 A &= 775 \text{ cm}^2 & S_x &= 19415 \text{ cm}^3 \\
 Z_x &= 22531 \text{ cm}^3 \\
 h &= 750 \text{ mm} \\
 f_y &= 240 \text{ MPa}
 \end{aligned}$$

- 1) Gaya aksial pada kolom (VBE)

$$P_u = 390166,38 \text{ kg (akibat beban gravitasi)}$$

$$\begin{aligned}
 E_m &= \sum \frac{1}{2} R_y f_y \sin(2\alpha) f_w h + \sum V_u \\
 &=
 \end{aligned}$$

$$\begin{aligned}
 &\frac{1}{2} \times 1,5 \times 2500 \times [\sin(2 \times 41,98^\circ) \times 0,4 \times 359,6 \times 2] + (2 \times 51713,57) \\
 &= 639846,29 \text{ kg}
 \end{aligned}$$

$$\begin{aligned}
 P_{u \text{ total}} &= 390166,38 + 639846,29 \\
 &= 1030012,67 \text{ kg}
 \end{aligned}$$

Nilai P_{VBE} pada kolom merupakan aksial tekan, sehingga perlu diperhitungkan dengan analisis orde kedua pendekatan.

$$B_1 = \frac{C_m}{1 - \alpha P_1 / P_{el}} \geq 1.00$$

$$C_m = 1,0$$

$$KL = 1 \times 359,6 = 359,6 \text{ cm}$$

$$P_{e1} = \frac{\pi^2 EI^*}{(K_1 L)^2}$$

$$P_{e1} = \frac{\pi^2 (2 \times 10^6) \times (776615)}{(359,6)^2}$$

$$P_{e1} = 118548524 \text{ kg}$$

$$B_1 = \frac{1}{1 - \frac{1 \times 1030012,67}{118548524}} = 1,01 \geq 1,0$$

Karena nilai $B_1 = 1,01$ maka faktor perbesaran momen tersebut digunakan dalam perhitungan momen.

2) Momen pada kolom (*VBE*) akibat *SPSW*

- Momen lentur akibat dari tarikan dinding geser (*SPSW*) pada sambungan.

$$\begin{aligned} M_{VBE(web)} &= R_y f_y \sin^2(\alpha) t_w \left(\frac{h_c^2}{12} \right) \\ &= 1,5 \times 2500 \times \sin^2(41,98^\circ) \times 0,4 \times \left(\frac{359,6^2}{12} \right) \\ &= 7233517,44 \text{ kg.cm} \\ &= 72335,17 \text{ kg.m} \end{aligned}$$

- Momen lentur pada kondisi kolom (*VBE*) mengalami tekan.

$$\begin{aligned} M_{VBE(HBE)} &= \frac{1}{2} \sum M_{pb} \\ M_{pb} &= \frac{M_{pr}}{1,1R_y} + V_{ush} \end{aligned}$$

$$\begin{aligned}
 &= \frac{25539250}{1,1 \times 1,5} + 51713,57 \times \left[\frac{80}{2} + \frac{80,8}{2} \right] \\
 &= 19636104,46 \text{ kg.cm} \\
 &= 196361,04 \text{ kg.m}
 \end{aligned}$$

$$\begin{aligned}
 P_u &= \frac{1}{2} P_{HBE(web)} \\
 &= 0,5 \times 0 \\
 &= 0
 \end{aligned}$$

$$\begin{aligned}
 P_u / P_y &= \frac{0}{2500 \times 775} \\
 &= 0
 \end{aligned}$$

$$\begin{aligned}
 M_{pr}^* &= (1,1 R_y f_y Z) \left[1 - \frac{1}{2} \frac{P_u(HBE)}{P_y} \right] \\
 &= (1,1 \times 1,5 \times 2500 \times 22531) \times \left[1 - \frac{1}{2} \times \frac{241385,5}{2500 \times 775} \right] \\
 &= 87150838,33 \text{ kg.cm} \\
 &= 871508,38 \text{ kg.m}
 \end{aligned}$$

$$\begin{aligned}
 M_{pb} &= \frac{M_{pr}}{1,1 R_y} + V_{ush} \\
 &= \frac{871508,38}{1,1 \times 1,5} + 51713,57 \times \left[\frac{80}{2} + \frac{80,8}{2} \right] \\
 &= 56976461,03 \text{ kg.cm} \\
 &= 569764,61 \text{ kg.m}
 \end{aligned}$$

$$\begin{aligned}
 M_{VBE(HBE)} &= \frac{1}{2} \sum M_{pb} \\
 &= 0,5 \times (196361,04 + 569764,61) \\
 &= 383062,83 \text{ kg.m}
 \end{aligned}$$

$$\begin{aligned}
 M_u &= M_{VBE(web)} + M_{VBE(HBE)} \\
 &= 72335,17 + 383062,83 \\
 &= 455398 \text{ kg.m}
 \end{aligned}$$

- Nilai $B_1 = 1,01$ faktor perbesaran momen tersebut digunakan dalam perhitungan berikut:

$$\begin{aligned} M_r &= B_1 M_{nt} + B_2 M_{lt} \\ &= 1,01 \times 455398 \\ &= 459389,4 \text{ kg.m} \end{aligned}$$

- 3) Gaya geser pada kolom (V_{BE}) akibat $SPSW$

$$\begin{aligned} V_{VBE(web)} &= \frac{1}{2} R_y f_y \sin^2(\alpha) t_w h_c \\ &= 0,5 \times 1,5 \times 2500 \times \sin^2(41,98^\circ) \times 0,4 \times 359,6 \\ &= 120692,73 \text{ kg} \\ V_{VBE(HBE)} &= \sum \frac{1}{2} \left(\frac{M_{pc}}{h_c} \right) \\ &= \frac{1}{2} (383062,83 + 455398) \\ &= \frac{359,6}{100} \\ &= 116582,43 \text{ kg} \end{aligned}$$

Gaya geser total adalah :

$$\begin{aligned} V_u &= V_{VBE(HBE)} + V_{VBE(web)} \\ &= 120692,73 + 116582,43 \\ &= 237275,16 \text{ kg} \end{aligned}$$

- 4) Kontrol kekuatan tekan kolom komposit (V_{BE})

Pada struktur dinding geser ($SPSW$) inti beton menggunakan beton dengan kuat tekan $f_c = 35 \text{ MPa}$

$$\lambda = \frac{b_f}{2t_f} = \frac{800}{2 \times 25} = 16$$

$$\lambda_p = 2,26 \sqrt{\frac{E}{f_y}} = 2,26 \sqrt{\frac{2 \times 10^5}{250}} = 63,9$$

$$\lambda \leq \lambda_p \rightarrow 16 \leq 63,9 \rightarrow \text{penampang kompak}$$

Sehingga kekuatan nominal tekan diperhitungkan sebagai berikut :

$$P_{no} = P_p$$

$$P_p = f_y A_s + C_2 f_c \left(A_c + A_{sr} \frac{E_s}{E_c} \right)$$

$$P_p = 2500 \times 775 + 0,85 \times 350 (5625 + 0)$$

$$P_p = P_{no} = 3610938 \text{ kg}$$

- 5) Kontrol penampang profil terhadap gaya geser

$$\frac{h_w}{t_w} = \frac{692}{25} = 27,68 ; 1,10 \sqrt{k_v \frac{E}{f_y}} = 1,10 \sqrt{5 \times \frac{2 \times 10^6}{2500}} = 69,57$$

$$\text{karena } \frac{h_w}{t_w} \leq 1,10 \sqrt{k_v \frac{E}{f_y}} \rightarrow 27,68 \leq 69,57$$

maka $C_v = 1,00$; sehingga

$$V_n = 0,6 f_y A_w C_v = 0,6 \times 2500 \times (2 \times 80 \times 2,50) \times 1,00$$

$$V_n = 600000 \text{ kg}$$

$$\emptyset V_n \geq V_u$$

$$\emptyset V_n = 0,9 \times 600000$$

$$= 540000 \text{ kg} > 237275,16 \text{ kg} \quad \text{(OK)}$$

- 6) Interaksi aksial dan lentur kolom (VBE)

$$\begin{aligned} \frac{P_r}{P_c} &= \frac{1030012,67}{0,9 \times 3610938} \\ &= 0,32 > 0,2 \end{aligned}$$

$$\frac{M_r}{M_c} = \frac{459389,42}{0,9 \times 2500 \times 22531}$$

$$= 0,01$$

$$\frac{P_r}{P_c} + \frac{8}{9} \left(\frac{M_r}{M_c} \right) = 0,33 \leq 1,0 \quad (\text{OK})$$

6.5 Rekapitulasi Struktur Primer

Balok induk dibagi menjadi 2 tipe per 3 lantai. BI 1 untuk balok dengan panjang 8 dan 9 m. BI 2 untuk balok dengan panjang 4,4 m. Berikut ini merupakan rekapitulasi dari perhitungan struktur primer.

6.5.1 Balok Induk 1 Tower G dan H

1. Lantai 1-3 : CB 625x200x10x16
2. Lantai 4-6 : CB 550x300x11x18
3. Lantai 7-9 : CB 487,5x300x10x16
4. Lantai Atap: CB 437,5x175x7x11

6.5.2 Balok Induk 2 Tower G dan H

1. Lantai 1-3 : WF 350x175x7x11
2. Lantai 4-6 : WF 300x200x9x14
3. Lantai 7-9 : WF 250x175x7x11
4. Lantai Atap: WF 250x125x5x8

6.5.3 Kolom Tower G dan H

1. Lantai 1-3 : HSS 800x800x25x25
2. Lantai 4-6 : HSS 700x700x22x22
3. Lantai 7-Atap : HSS 600x600x16x16

6.5.4 Steel Plate Shear Wall

1. Tower G dan H : t = 4 cm

“Halaman ini sengaja dikosongkan”

BAB VII PERENCANAAN SAMBUNGAN

7.1 Sambungan Balok Anak dengan Balok Induk

Sambungan balok induk dengan balok anak merupakan sambungan sendi. Sambungan tersebut didesain hanya untuk menerima beban geser dari balok anak.

7.1.1 Balok Anak 1 dengan Balok Induk Lantai Asrama

Dari perhitungan sebelumnya didapatkan gaya geser yang bekerja pada balok anak lantai asrama sebesar $V_u = 9961,11$ kg. Sambungan ini direncanakan dengan profil siku $60 \times 60 \times 6$ dengan perencanaan sebagai berikut:

- 1) Sambungan siku dengan balok anak

Direncanakan :

$$\emptyset \text{ baut} = \frac{1}{2} \text{ inch} = 12,7 \text{ mm} (A_b = 1,266 \text{ cm}^2)$$

$$\text{Mutu baut BJ 50} (f_u = 5000 \text{ kg/cm}^2)$$

$$\text{Ulir tidak pada bidang geser} (r_1 = 0.5)$$

- a) Kuat geser baut

$$\begin{aligned} \emptyset.V_n &= \emptyset \times r_1 \times f_u \times m \times A_b \\ &= 0,75 \times 0.5 \times 5000 \times 2 \times 1,266 \\ &= 4747,97 \text{ kg (menentukan)} \end{aligned}$$

- b) Kuat tumpu baut

$$\begin{aligned} \emptyset.R_n &= \emptyset \times 2,4 \times d_b \times t_p \times f_u \\ &= 0,75 \times 2,4 \times 1,27 \times 0,6 \times 4100 \\ &= 5623,56 \text{ kg} \end{aligned}$$

$$n = \frac{9961,11}{4747,97} = 2,1, \text{ dipasang 3 buah}$$

Kontrol kuat baut,

$$n. \emptyset.R_n \geq V_u$$

$$3 \times 4747,97 \geq 9961,11 \text{ kg}$$

$$14243,92 \text{ kg} \geq 9961,11 \text{ kg (OK)}$$

c) Kontrol jarak baut :

$$\begin{aligned} \text{Jarak tepi (S1)} &= 1,5db \text{ s/d } (4tp + 100) \text{ atau } 200 \text{ mm} \\ &= 19,05 \text{ mm s/d } 124 \text{ mm atau } 200 \text{ mm} \end{aligned}$$

$$\text{Pakai S1} = 20 \text{ mm}$$

$$\begin{aligned} \text{(S2)} &= 1,25 \text{ db s/d } 12tp \text{ atau } 150 \text{ mm} \\ &= 15,88 \text{ mm s/d } 24 \text{ mm atau } 150 \text{ mm} \end{aligned}$$

$$\text{Pakai S2} = 20 \text{ mm}$$

$$\begin{aligned} \text{Jarak baut (S)} &= 3db \text{ s/d } 15tp \text{ atau } 200 \text{ mm} \\ &= 38,1 \text{ mm s/d } 90 \text{ mm atau } 200 \text{ mm} \end{aligned}$$

$$\text{Pakai S} = 40 \text{ mm}$$

d) Kontrol kekuatan pelat siku :

$$\text{Diameter perlemahan (dengan bor)} = 1,5$$

$$d1 = 12,7 + 1,5 = 14,2 \text{ mm} = 1,42 \text{ cm}$$

$$\begin{aligned} L &= 2 \times S1 + (n-1) \times S = 2 \times 20 + (3-1) \times 40 \\ &= 120 \text{ mm} = 12 \text{ cm} \end{aligned}$$

a) Luas bidang geser

$$\begin{aligned} \text{Anv} &= Lnv \times tL \\ &= (L - n \times d1) \times t \text{ siku} \\ &= (12 - 2 \times 1,42) \times 0,6 \\ &= 4,64 \text{ cm}^2 \end{aligned}$$

b) Kuat rencana (karena ada 2 siku)

$$\begin{aligned} 2\phi Vn &= 2 \times \phi \times (0,6 \times fu \times \text{Anv}) \\ &= 2 \times 0,75 \times (0,6 \times 4100 \times 4,64) \\ &= 17601,3 \text{ kg} \end{aligned}$$

Kontrol kekuatan plat siku,

$$\begin{aligned} 2\phi Vn &\geq Vu \\ 17601,3 \text{ kg} &> 9961,11 \text{ kg (OK)} \end{aligned}$$

2) Sambungan balok induk dengan siku

Direncanakan :

$$\phi_{\text{baut}} = \frac{1}{2} \text{ inch} = 12,7 \text{ mm} (A_b = 1,266 \text{ cm}^2)$$

Mutu baut BJ 50 ($f_u = 5000 \text{ kg/cm}^2$)

Ulir tidak pada bidang geser ($r_1 = 0.5$)

a) Kuat geser baut

$$\begin{aligned}\emptyset.Vn &= \emptyset \times r_1 \times f_u \times m \times Ab \\ &= 0,75 \times 0,5 \times 5000 \times 1 \times 1,266 \\ &= 2374 \text{ kg (menentukan)}\end{aligned}$$

b) Kuat tumpu baut

$$\begin{aligned}\emptyset.Rn &= \emptyset \times 2,4 \times db \times tp \times f_u \\ &= 0,75 \times 2,4 \times 1,27 \times 0,6 \times 4100 \\ &= 5623,56 \text{ kg}\end{aligned}$$

$$n = \frac{9961,11}{2374} = 4,2, \text{ dipasang 6 buah}$$

Kontrol kuat baut,

$$n. \emptyset.Rn \geq Vu$$

$$6 \times 2374 \geq 9961,11 \text{ kg}$$

$$14243,92 \text{ kg} \geq 9961,11 \text{ kg (OK)}$$

c) Kontrol jarak baut :

$$\begin{aligned}\text{Jarak tepi (S1)} &= 1,5db \text{ s/d } (4tp + 100) \text{ atau } 200 \text{ mm} \\ &= 19,05 \text{ mm s/d } 124 \text{ mm atau } 200 \text{ mm}\end{aligned}$$

$$\text{Pakai S1} = 20 \text{ mm}$$

$$\begin{aligned}\text{(S2)} &= 1,25 db \text{ s/d } 12tp \text{ atau } 150 \text{ mm} \\ &= 15,88 \text{ mm s/d } 24 \text{ mm atau } 150 \text{ mm}\end{aligned}$$

$$\text{Pakai S2} = 20 \text{ mm}$$

$$\begin{aligned}\text{Jarak baut (S)} &= 3db \text{ s/d } 15tp \text{ atau } 200 \text{ mm} \\ &= 38,1 \text{ mm s/d } 90 \text{ mm atau } 200 \text{ mm}\end{aligned}$$

$$\text{Pakai S} = 40 \text{ mm}$$

d) Kontrol kekuatan pelat siku :

Diameter perlemahan (dengan bor) = 1,5

$$d1 = 12,7 + 1,5 = 14,2 \text{ mm} = 1,42 \text{ cm}$$

$$\begin{aligned}L &= 2 \times S1 + (n-1) \times S = 2 \times 20 + (3-1) \times 40 \\ &= 120 \text{ mm} = 12 \text{ cm}\end{aligned}$$

a) Luas bidang geser

$$\begin{aligned} A_{nv} &= L_{nv} \times t_L \\ &= (L - n \times d_1) \times t \text{ siku} \\ &= (12 - 2 \times 1,42) \times 0,6 \\ &= 4,64 \text{ cm}^2 \end{aligned}$$

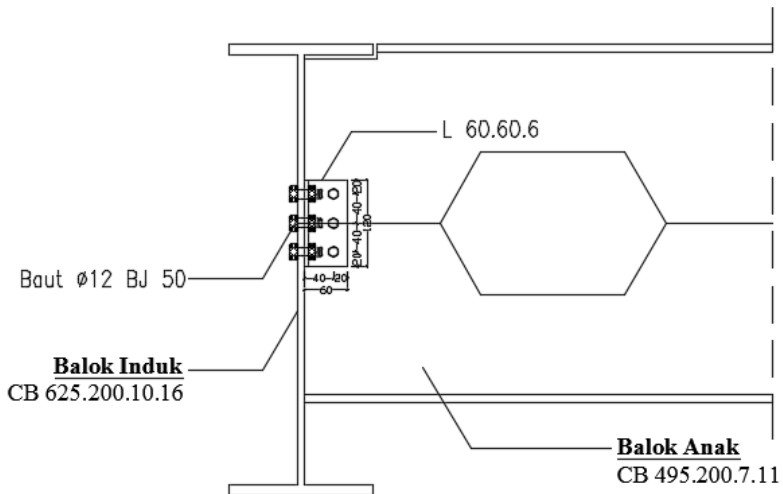
b) Kuat rencana (karena ada 2 siku)

$$\begin{aligned} 2\phi V_n &= 2 \times \phi \times (0,6 \times f_u \times A_{nv}) \\ &= 2 \times 0,75 \times (0,6 \times 4100 \times 4,64) \\ &= 17601,3 \text{ kg} \end{aligned}$$

Kontrol kekuatan plat siku,

$$2\phi V_n \geq V_u$$

$$17601,3 \text{ kg} > 9961,11 \text{ kg (OK)}$$



Gambar 7.1 Sambungan Balok Anak 1 dengan Balok Induk Lantai Asrama

7.1.2 Balok Anak 1 dengan Balok Induk Lantai Atap

Dari perhitungan sebelumnya didapatkan gaya geser yang bekerja pada balok anak lantai atap sebesar $V_u = 6106,86 \text{ kg}$.

Sambungan ini direncanakan dengan profil siku 60×60×6 dengan perencanaan sebagai berikut:

1) Sambungan siku dengan balok anak

Direncanakan :

Øbaut = ½ inch = 12,7 mm ($A_b = 1,266 \text{ cm}^2$)

Mutu baut BJ 50 ($f_u = 5000 \text{ kg/cm}^2$)

Ulir tidak pada bidang geser ($r_1 = 0,5$)

a) Kuat geser baut

$$\begin{aligned}\phi.V_n &= \phi \times r_1 \times f_u \times m \times A_b \\ &= 0,75 \times 0,5 \times 5000 \times 2 \times 1,266 \\ &= 4747,97 \text{ kg (menentukan)}\end{aligned}$$

b) Kuat tumpu baut

$$\begin{aligned}\phi.R_n &= \phi \times 2,4 \times d_b \times t_p \times f_u \\ &= 0,75 \times 2,4 \times 1,27 \times 0,6 \times 4100 \\ &= 5623,56 \text{ kg}\end{aligned}$$

$$n = \frac{6106,86}{4747,97} = 1,29, \text{ dipasang 2 buah}$$

Kontrol kuat baut,

n. $\phi.R_n \geq V_u$

$$3 \times 4747,97 \geq 6106,86 \text{ kg}$$

$$9495,95 \text{ kg} \geq 6106,86 \text{ kg (OK)}$$

c) Kontrol jarak baut :

$$\begin{aligned}\text{Jarak tepi (S1)} &= 1,5d_b \text{ s/d } (4t_p + 100) \text{ atau } 200 \text{ mm} \\ &= 19,05 \text{ mm s/d } 124 \text{ mm atau } 200 \text{ mm}\end{aligned}$$

$$\text{Pakai S1} = 25 \text{ mm}$$

$$\begin{aligned}(\text{S2}) &= 1,25 d_b \text{ s/d } 12t_p \text{ atau } 150 \text{ mm} \\ &= 15,88 \text{ mm s/d } 24 \text{ mm atau } 150 \text{ mm}\end{aligned}$$

$$\text{Pakai S2} = 20 \text{ mm}$$

$$\begin{aligned}\text{Jarak baut (S)} &= 3d_b \text{ s/d } 15t_p \text{ atau } 200 \text{ mm} \\ &= 38,1 \text{ mm s/d } 90 \text{ mm atau } 200 \text{ mm}\end{aligned}$$

$$\text{Pakai S} = 40 \text{ mm}$$

d) Kontrol kekuatan pelat siku :

Diameter perlemahan (dengan bor) = 1,5

$$d1 = 12,7 + 1,5 = 14,2 \text{ mm} = 1,42 \text{ cm}$$

$$L = 2 \times S1 + (n-1) \times S = 2 \times 25 + (2-1) \times 40 \\ = 90 \text{ mm} = 9 \text{ cm}$$

a) Luas bidang geser

$$\begin{aligned} \text{Anv} &= L_{nv} \times tL \\ &= (L - n \times d1) \times t \text{ siku} \\ &= (9 - 2 \times 1,42) \times 0,6 \\ &= 3,7 \text{ cm}^2 \end{aligned}$$

b) Kuat rencana (karena ada 2 siku)

$$\begin{aligned} 2\phi V_n &= 2 \times \phi \times (0,6 \times f_u \times \text{Anv}) \\ &= 2 \times 0,75 \times (0,6 \times 4100 \times 3,7) \\ &= 13638,24 \text{ kg} \end{aligned}$$

Kontrol kekuatan plat siku,

$$\begin{aligned} 2\phi V_n &\geq V_u \\ 13638,24 \text{ kg} &> 6106,86 \text{ kg} \text{ (OK)} \end{aligned}$$

2) Sambungan balok induk dengan siku

Direncanakan :

$$\phi \text{ baut} = \frac{1}{2} \text{ inch} = 12,7 \text{ mm} (A_b = 1,266 \text{ cm}^2)$$

Mutu baut BJ 50 ($f_u = 5000 \text{ kg/cm}^2$)

Ulir tidak pada bidang geser ($r_1 = 0.5$)

a) Kuat geser baut

$$\begin{aligned} \phi \cdot V_n &= \phi \times r_1 \times f_u \times m \times A_b \\ &= 0,75 \times 0,5 \times 5000 \times 1 \times 1,266 \\ &= 2373,98 \text{ kg} \text{ (menentukan)} \end{aligned}$$

b) Kuat tumpu baut

$$\begin{aligned} \phi \cdot R_n &= \phi \times 2,4 \times d_b \times t_p \times f_u \\ &= 0,75 \times 2,4 \times 1,27 \times 0,6 \times 4100 \\ &= 5623,56 \text{ kg} \end{aligned}$$

$$n = \frac{6106,86}{2373,98} = 2,57, \text{ dipasang 4 buah}$$

Kontrol kuat baut,

$$n \cdot \emptyset \cdot R_n \geq V_u$$

$$4 \times 2373,98 \geq 6106,86 \text{ kg}$$

$$9495,95 \text{ kg} \geq 6106,86 \text{ kg (OK)}$$

c) Kontrol jarak baut :

$$\begin{aligned} \text{Jarak tepi (S1)} &= 1,5 \text{ db s/d } (4t_p + 100) \text{ atau } 200 \text{ mm} \\ &= 19,05 \text{ mm s/d } 124 \text{ mm atau } 200 \text{ mm} \end{aligned}$$

$$\text{Pakai S1} = 25 \text{ mm}$$

$$\begin{aligned} \text{(S2)} &= 1,25 \text{ db s/d } 12t_p \text{ atau } 150 \text{ mm} \\ &= 15,88 \text{ mm s/d } 24 \text{ mm atau } 150 \text{ mm} \end{aligned}$$

$$\text{Pakai S2} = 20 \text{ mm}$$

$$\begin{aligned} \text{Jarak baut (S)} &= 3 \text{ db s/d } 15t_p \text{ atau } 200 \text{ mm} \\ &= 38,1 \text{ mm s/d } 90 \text{ mm atau } 200 \text{ mm} \end{aligned}$$

$$\text{Pakai S} = 40 \text{ mm}$$

d) Kontrol kekuatan pelat siku :

Diameter perlemahan (dengan bor) = 1,5

$$d1 = 12,7 + 1,5 = 14,2 \text{ mm} = 1,42 \text{ cm}$$

$$\begin{aligned} L &= 2 \times S1 + (n-1) \times S = 2 \times 25 + (2-1) \times 40 \\ &= 90 \text{ mm} = 9 \text{ cm} \end{aligned}$$

a) Luas bidang geser

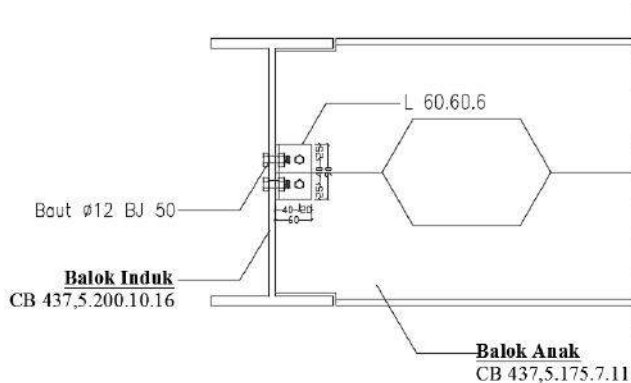
$$\begin{aligned} A_{nv} &= L_{nv} \times t_L \\ &= (L - n \times d1) \times t \text{ siku} \\ &= (9 - 2 \times 1,42) \times 0,6 \\ &= 3,7 \text{ cm}^2 \end{aligned}$$

b) Kuat rencana (karena ada 2 siku)

$$\begin{aligned} 2\emptyset V_n &= 2 \times \emptyset \times (0,6 \times f_u \times A_{nv}) \\ &= 2 \times 0,75 \times (0,6 \times 4100 \times 3,7) \\ &= 13638,24 \text{ kg} \end{aligned}$$

Kontrol kekuatan plat siku,

$$\begin{aligned} 2\emptyset V_n &\geq V_u \\ 13638,24 \text{ kg} &> 6106,86 \text{ kg (OK)} \end{aligned}$$



Gambar 7.2 Sambungan Balok Anak 1 dengan Balok Induk Lantai Atap

7.2 Sambungan Balok Utama Tangga dengan Balok Penumpu Tangga

Sambungan balok utama tangga dengan balok penumpu tangga merupakan sambungan sendi. Sambungan tersebut didesain hanya untuk menerima beban geser dari balok utama tangga.

Dari perhitungann sebelumnya didapatkan gaya geser yang bekerja pada balok utama tangga sebesar $V_u = 1303,18$ kg. Sambungan ini direncanakan dengan profil siku $40 \times 40 \times 4$.

- 1) Sambungan siku dengan balok utama tangga

Direncanakan :

$$\text{Øbaut} = 8 \text{ mm } (A_b = 0,5024 \text{ cm}^2)$$

$$\text{Mutu baut BJ 50 } (f_u = 5000 \text{ kg/cm}^2)$$

$$\text{Ulir tidak pada bidang geser } (r_1 = 0.5)$$

- a) Kuat geser baut

$$\begin{aligned} \text{Ø.Vn} &= \text{Ø} \times r_1 \times f_u \times m \times A_b \\ &= 0,75 \times 0,5 \times 5000 \times 2 \times 0,5024 \\ &= 1884 \text{ kg (menentukan)} \end{aligned}$$

- b) Kuat tumpu baut

$$\begin{aligned} \text{Ø.Rn} &= \text{Ø} \times 2,4 \times d_b \times t_p \times f_u \\ &= 0,75 \times 2,4 \times 0,8 \times 0,4 \times 4100 \end{aligned}$$

$$= 1440 \text{ kg}$$

$$n = \frac{1303,18}{1440} = 0,9, \text{ dipasang 2 buah}$$

Kontrol kuat baut,

$$n \cdot \emptyset \cdot R_n \geq V_u$$

$$2 \times 1440 \geq 1303,18 \text{ kg}$$

$$2880 \text{ kg} \geq 1303,18 \text{ kg} \text{ (OK)}$$

c) Kontrol jarak baut :

$$\begin{aligned} \text{Jarak tepi (S1)} &= 1,5db \text{ s/d } (4t_p + 100) \text{ atau } 200 \text{ mm} \\ &= 12 \text{ mm s/d } 116 \text{ mm atau } 200 \text{ mm} \end{aligned}$$

$$\text{Pakai S1} = 15 \text{ mm}$$

$$\begin{aligned} \text{(S2)} &= 1,25 \text{ db s/d } 12t_p \text{ atau } 150 \text{ mm} \\ &= 10 \text{ mm s/d } 48 \text{ mm atau } 150 \text{ mm} \end{aligned}$$

$$\text{Pakai S2} = 20 \text{ mm}$$

$$\begin{aligned} \text{Jarak baut (S)} &= 3db \text{ s/d } 15t_p \text{ atau } 200 \text{ mm} \\ &= 24 \text{ mm s/d } 60 \text{ mm atau } 200 \text{ mm} \end{aligned}$$

$$\text{Pakai S} = 30 \text{ mm}$$

d) Kontrol kekuatan pelat siku :

$$\text{Diameter perlemahan (dengan bor)} = 1,5$$

$$d1 = 8 + 1,5 = 9,5 \text{ mm} = 0,95 \text{ cm}$$

$$\begin{aligned} L &= 2 \times S1 + (n-1) \times S = 2 \times 15 + (2-1) \times 30 \\ &= 60 \text{ mm} = 6 \text{ cm} \end{aligned}$$

a) Luas bidang geser

$$\begin{aligned} \text{Anv} &= L_{nv} \times tL \\ &= (L - n \times d1) \times t \text{ siku} \\ &= (6 - 2 \times 0,95) \times 0,4 \\ &= 1,64 \text{ cm}^2 \end{aligned}$$

b) Kuat rencana (karena ada 2 siku)

$$\begin{aligned} 2\emptyset V_n &= 2 \times \emptyset \times (0,6 \times f_u \times \text{Anv}) \\ &= 2 \times 0,75 \times (0,6 \times 4100 \times 1,64) \\ &= 3690 \text{ kg} \end{aligned}$$

Kontrol kekuatan plat siku,

$$2\phi V_n \geq V_u$$

$$3690 \text{ kg} > 1303,18 \text{ kg (OK)}$$

2) Sambungan siku dengan balok penumpu tangga

Direncanakan :

$$\phi \text{ baut} = 8 \text{ mm } (A_b = 0,5024 \text{ cm}^2)$$

$$\text{Mutu baut BJ 50 } (f_u = 5000 \text{ kg/cm}^2)$$

Ulir tidak pada bidang geser ($r_1 = 0.5$)

a) Kuat geser baut

$$\begin{aligned} \phi \cdot V_n &= \phi \times r_1 \times f_u \times m \times A_b \\ &= 0,75 \times 0,5 \times 5000 \times 1 \times 0,5024 \\ &= 942 \text{ kg (menentukan)} \end{aligned}$$

b) Kuat tumpu baut

$$\begin{aligned} \phi \cdot R_n &= \phi \times 2,4 \times d_b \times t_p \times f_u \\ &= 0,75 \times 2,4 \times 0,8 \times 0,4 \times 4100 \\ &= 1440 \text{ kg} \end{aligned}$$

$$n = \frac{1303,18}{942} = 1,38 \text{ dipasang 4 buah untuk 2 sisi}$$

Kontrol kuat baut,

$$n \cdot \phi \cdot R_n \geq V_u$$

$$4 \times 942 \geq 1303,18 \text{ kg}$$

$$3768 \text{ kg} \geq 1303,18 \text{ kg (OK)}$$

c) Kontrol jarak baut :

$$\begin{aligned} \text{Jarak tepi (S1)} &= 1,5 d_b \text{ s/d } (4 t_p + 100) \text{ atau } 200 \text{ mm} \\ &= 12 \text{ mm s/d } 116 \text{ mm atau } 200 \text{ mm} \end{aligned}$$

$$\text{Pakai S1} = 15 \text{ mm}$$

$$\begin{aligned} \text{(S2)} &= 1,25 d_b \text{ s/d } 12 t_p \text{ atau } 150 \text{ mm} \\ &= 10 \text{ mm s/d } 48 \text{ mm atau } 150 \text{ mm} \end{aligned}$$

$$\text{Pakai S2} = 20 \text{ mm}$$

$$\text{Jarak baut (S)} = 3 d_b \text{ s/d } 15 t_p \text{ atau } 200 \text{ mm}$$

$$\begin{aligned} &= 24 \text{ mm s/d } 60 \text{ mm atau } 200 \text{ mm} \\ \text{Pakai } S &= 30 \text{ mm} \end{aligned}$$

d) Kontrol kekuatan pelat siku :

Diameter perlemahan (dengan bor) = 1,5

$$d1 = 8 + 1,5 = 9,5 \text{ mm} = 0,95 \text{ cm}$$

$$\begin{aligned} L &= 2 \times S1 + (n-1) \times S = 2 \times 30 + (2-1) \times 0 \\ &= 60 \text{ mm} = 6 \text{ cm} \end{aligned}$$

a) Luas bidang geser

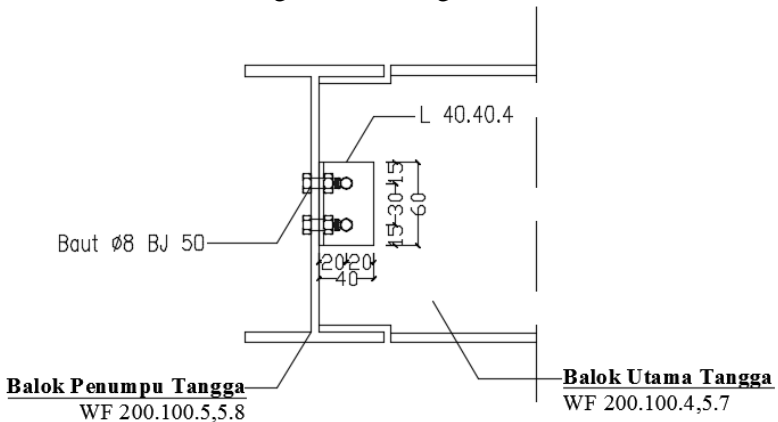
$$\begin{aligned} \text{Anv} &= L_{nv} \times tL \\ &= (L - n \times d1) \times t \text{ siku} \\ &= (6 - 2 \times 0,95) \times 0,4 \\ &= 1,64 \text{ cm}^2 \end{aligned}$$

b) Kuat rencana (karena ada 2 siku)

$$\begin{aligned} 2\phi V_n &= 2 \times \phi \times (0,6 \times f_u \times \text{Anv}) \\ &= 2 \times 0,75 \times (0,6 \times 4100 \times 1,64) \\ &= 3690 \text{ kg} \end{aligned}$$

Kontrol kekuatan plat siku,

$$\begin{aligned} 2\phi V_n &\geq V_u \\ 3690 \text{ kg} &> 1303,18 \text{ kg (OK)} \end{aligned}$$



Gambar 7.3 Sambungan Balok Utama Tangga dengan Balok Penumpu Tangga

7.3 Sambungan Balok Penumpu Tangga dengan Kolom

Sambungan balok penumpu tangga dengan kolom merupakan sambungan sendi. Sambungan tersebut didesain hanya untuk menerima beban geser dari balok penumpu tangga.

Dari perhitungannya sebelumnya didapatkan gaya geser yang bekerja pada balok penumpu tangga sebesar $V_u = 2545,46$ kg. Sambungan ini direncanakan dengan plat sambung.

1) Kontrol plat sambung yang digunakan

$$t_p \leq \frac{f_u}{f_{yp}} t \quad (t = \text{tebal profil HSS})$$

$$= \frac{4100}{2500} \times 2,5$$

$$= 4,1 \text{ cm}$$

Dipakai $t_p = 0,5$ cm

2) Sambungan plat sambung dengan balok penumpu tangga

Direncanakan :

Direncanakan :

\varnothing baut = 8 mm ($A_b = 0,5024$ cm²)

Mutu baut BJ 50 ($f_u = 5000$ kg/cm²)

Ulir tidak pada bidang geser ($r_1 = 0.5$)

a) Kuat geser baut

$$\begin{aligned} \varnothing.V_n &= \varnothing \times r_1 \times f_u \times m \times A_b \\ &= 0,75 \times 0,5 \times 5000 \times 2 \times 0,5024 \\ &= 1884 \text{ kg (menentukan)} \end{aligned}$$

b) Kuat tumpu baut

$$\begin{aligned} \varnothing.R_n &= \varnothing \times 2,4 \times d_b \times t_p \times f_u \\ &= 0,75 \times 2,4 \times 0,8 \times 0,5 \times 4100 \\ &= 2952 \text{ kg} \end{aligned}$$

$$n = \frac{2545,56}{1884} = 1,35, \text{ dipasang } 2 \text{ buah}$$

Kontrol kuat baut,

$$n. \varnothing.R_n \geq V_u$$

$$2 \times 1884 \geq 2545,46 \text{ kg}$$

$$3768 \text{ kg} \geq 2545,46 \text{ kg (OK)}$$

c) Kontrol jarak baut :

$$\begin{aligned} \text{Jarak tepi (S1)} &= 1,5db \text{ s/d } (4tp + 100) \text{ atau } 200 \text{ mm} \\ &= 12 \text{ mm s/d } 120 \text{ mm atau } 200 \text{ mm} \\ \text{Pakai S1} &= 15 \text{ mm} \end{aligned}$$

$$\begin{aligned} \text{(S2)} &= 1,25 \text{ db s/d } 12tp \text{ atau } 150 \text{ mm} \\ &= 10 \text{ mm s/d } 60 \text{ mm atau } 150 \text{ mm} \\ \text{Pakai S2} &= 20 \text{ mm} \end{aligned}$$

$$\begin{aligned} \text{Jarak baut (S)} &= 3db \text{ s/d } 15tp \text{ atau } 200 \text{ mm} \\ &= 24 \text{ mm s/d } 75 \text{ mm atau } 200 \text{ mm} \\ \text{Pakai S} &= 25 \text{ mm} \end{aligned}$$

d) Kontrol kekuatan pelat siku :

Diameter perlemahan (dengan bor) = 1,5

$$d1 = 8 + 1,5 = 9,5 \text{ mm} = 0,95 \text{ cm}$$

$$\begin{aligned} L &= 2 \times S1 + (n-1) \times S = 2 \times 15 + (2-1) \times 25 \\ &= 55 \text{ mm} = 5,5 \text{ cm} \end{aligned}$$

a) Luas bidang geser

$$\begin{aligned} \text{Anv} &= Lnv \times tL \\ &= (L - n \times d1) \times t \text{ siku} \\ &= (5,5 - 2 \times 0,95) \times 0,5 \\ &= 1,8 \text{ cm}^2 \end{aligned}$$

b) Kuat rencana (karena ada 2 siku)

$$\begin{aligned} 2\phi Vn &= 2 \times \phi \times (0,6 \times fu \times \text{Anv}) \\ &= 2 \times 0,75 \times (0,6 \times 4100 \times 1,8) \\ &= 6642 \text{ kg} \end{aligned}$$

Kontrol kekuatan plat siku,

$$\begin{aligned} 2\phi Vn &\geq Vu \\ 6642 \text{ kg} &> 2545,46 \text{ kg (OK)} \end{aligned}$$

7.4 Sambungan kolom dengan kolom

Sambungan kolom dengan kolom direncanakan pada lantai 3 pada posisi as H-4 menggunakan las penetrasi penuh dengan mutu F_{e100XX} . Gaya-gaya yang bekerja pada sambungan adalah hasil output SAP. Sambungan ditempatkan pada posisi tengah dari ketinggian lantai.

$$P_u = 543014,60 \text{ kg}$$

$$M_u = 13574,45 \text{ kg.m}$$

$$V_u = 5016,07 \text{ kg}$$

1) Sambungan las pada kolom

Kontrol las pada daerah yang diarsir pada profil kolom HSS $800 \times 800 \times 25 \times 25$.

Kontrol tegangan las akibat P_u dan M_u :

$$\begin{aligned} T_u &= \frac{M_u}{d_c} \pm P_u \\ &= \frac{13574,45}{80} \pm 543014,60 \end{aligned}$$

$$(+) = 543184,28 \text{ kg } \mathbf{menentukan}$$

$$(-) = 542844,92 \text{ kg}$$

Kekuatan las tumpul penetrasi penuh :

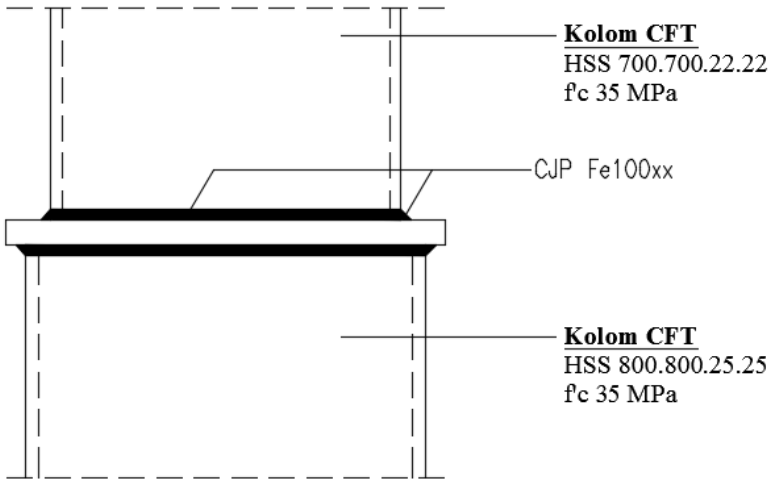
$$F_{nw} = f_u = 4100 \text{ kg/cm}^2$$

$$\begin{aligned} \phi R_{nh} &= 0,75 F_{nw} A_{we} \\ &= 0,75 \times 4100 \times (0,707 \times 2 \times (80 \times 4)) \\ &= 1391376 \text{ kg} \end{aligned}$$

$$\left(\frac{V_u}{\phi R_n} \right)^2 + \left(\frac{T_u}{\phi R_n} \right)^2 \leq 1,0$$

$$\left(\frac{5016,07}{1391376} \right)^2 + \left(\frac{543184,3}{1391376} \right)^2 = 0,2 \leq 1,0 \text{ (OK)}$$

Maka sambungan menggunakan las penetrasi penuh dengan mutu F_{e100XX} dapat digunakan pada sambungan kolom ke kolom.



Gambar 7.5 Sambungan Kolom dengan Kolom

7.5 Sambungan dinding geser (SPSW)

Sambungan pada dinding geser direncanakan menggunakan las F_{e100XX} . Pengelasan dilakukan pada elemen balok (*HBE*) dan kolom (*VBE*). Tipe las yang digunakan yaitu las sudut dan dan las tumpul penetrasi penuh.

1) Sambungan las sudut pada balok (*HBE*)

Digunakan las dengan mutu F_{e100XX}

$$\begin{aligned}
 w_{(HBE)} &= \frac{R_y f_y \cos(\alpha) t_w \sqrt{2}}{\phi 0.6 F_{EXX} [1 + 0.5 \cos^{1.5}(\alpha)]} \\
 &= \frac{1,5 \times 2500 \times \cos(41,98) \times 0,4 \times \sqrt{2}}{0,75 \times 0,6 \times (100 \times 70,33) \times [1 + 0,5 \cos^{1,5}(41,98)]} \\
 &= 0,38 \text{ cm} \\
 &= 3,8 \text{ mm}
 \end{aligned}$$

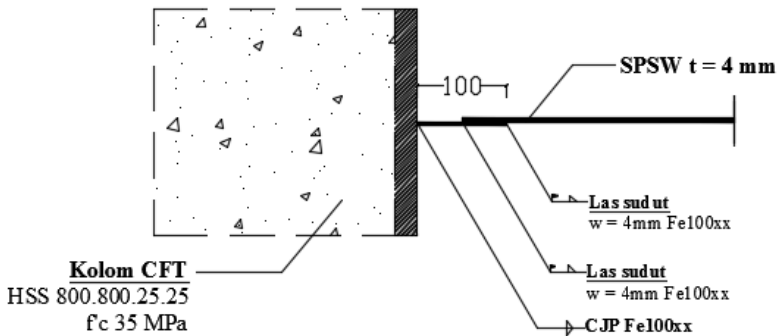
Ketebalan las minimum untuk kondisi di plat tertipis $t = 4\text{mm}$ yaitu $w = 4\text{mm}$. Jadi digunakan las dengan tebal minimum $w = 4\text{mm}$.

2) Sambungan las sudut pada kolom (*VBE*)

Digunakan las dengan mutu F_{e100XX}

$$\begin{aligned}
 w_{(HBE)} &= \frac{R_y f_y \cos(\alpha) t_w \sqrt{2}}{\phi 0.6 F_{EXX} [1 + 0.5 \cos^{1.5}(\alpha)]} \\
 &= \frac{1,5 \times 2500 \times \cos(41,98) \times 0,4 \times \sqrt{2}}{0,75 \times 0,6 \times (100 \times 70,33) \times [1 + 0,5 \cos^{1,5}(41,98)]} \\
 &= 0,38 \text{ cm} \\
 &= 3,8 \text{ mm}
 \end{aligned}$$

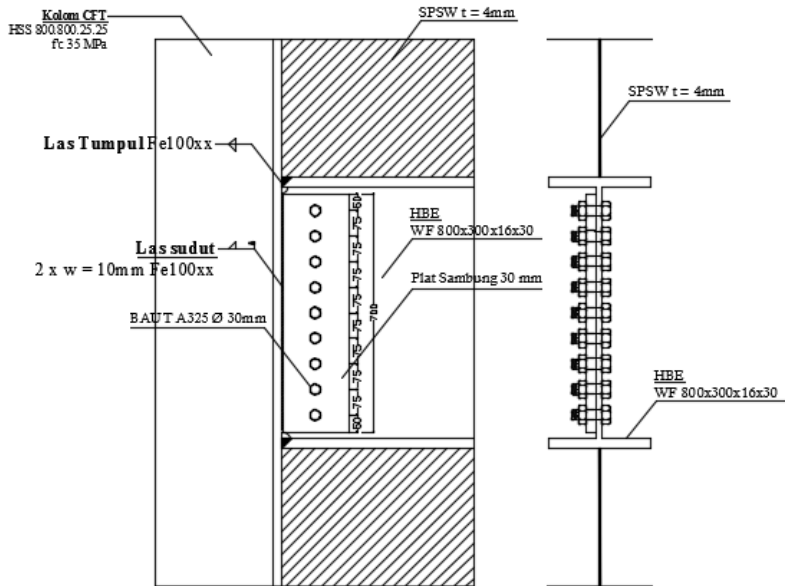
Ketebalan las minimum untuk kondisi di plat tertipis $t = 4\text{mm}$ yaitu $w = 4\text{mm}$. Jadi digunakan las dengan tebal minimum $w = 4\text{mm}$.



Gambar 7.6 Sambungan SPSW dengan Kolom

7.6 Sambungan balok (*HBE*) dengan kolom (*VBE*) pada dinding geser plat baja (*SPSW*)

Sambungan menghubungkan balok (*HBE*) profil WF 800x300x16x30 dengan kolom (*VBE*) komposit CFT dengan profil HSS 800x800x25x25 dengan mutu inti beton = 35 MPa pada dinding geser (*SPSW*).



Gambar 7.7 Sambungan HBE dengan VBE pada Dinding Geser

- 1) Gaya geser yang bekerja pada sambungan

Gaya geser dari SAP 2000

$$V_u = 17168,16 \text{ kg}$$

Gaya geser dari ketentuan AISC 341-05 pasal 11.2

$$V_u = \frac{2 \left[1.1 R_y (f_y Z_x) \right]}{L}$$

$$= \frac{2 \left[1,1 \times 1,5 \times (2500 \times 9287) \right]}{800}$$

$$= 95772,19 \text{ kg (menentukan)}$$

- 2) Gaya aksial yang bekerja pada sambungan

$$P_{\text{HBE(VBE)}} = 241385,45 \text{ kg}$$

$$N_{\text{coll}} = 48403,19 \text{ kg (gaya geser SPSW)}$$

Gaya aksial yang diterima sambungan :

$$\begin{aligned} N_u &= P_{HBE(VBE)} + N_{coll} \\ &= 241385,45 + 48403,19 \\ &= 289788,64 \text{ kg (menentukan)} \end{aligned}$$

$$\begin{aligned} N_u &= N_{coll} - P_{HBE(VBE)} \\ &= 48403,19 - 241385,45 \\ &= -192982,26 \text{ kg} \end{aligned}$$

Kedua gaya aksial bersifat tarik dan tekan, sehingga dipilih menentukan.

3) Kontrol leleh pada plat sambung

Mutu baja plat sambung = BJ41

Diameter baut = 30 mm → A = 7,07cm²

Ketebalan plat sambung = 30 mm

Panjang plat sambung = 700 mm

Kontrol panjang tekuk $Kl/r \leq 25$, $f_{cr} = f_y$

$$\begin{aligned} \phi_y V_n &= 1,00(0,6)f_y tL \\ &= 1,00 \times (0,6) \times 2500 \times 3,00 \times 70 \\ &= 315000 \text{ kg} \end{aligned}$$

$$\begin{aligned} \phi_c N_n &= 0,90f_y tL \\ &= 0,90 \times 2500 \times 3,00 \times 70 \\ &= 472500 \text{ kg} \end{aligned}$$

$$\left(\frac{V_u}{\phi_y V_n} \right)^2 + \left(\frac{N_u}{\phi_c N_n} \right)^2 \leq 1.0$$

$$\left(\frac{95772,19}{315000} \right)^2 + \left(\frac{289788,6}{472500} \right)^2 = 0,5 \leq 1,0 \quad \text{(OK)}$$

4) Kontrol patah pada plat sambung

$$\begin{aligned} A_{nv} &= L_{nv} \cdot tp = (L - n \cdot d)tp \\ &= (70 - 9 \times 3) \times 3 \\ &= 129 \text{ cm}^2 \end{aligned}$$

$$\begin{aligned}\varphi_y V_n &= 0,75(0,6)f_u A_{nv} \\ &= 0,75 \times 0,6 \times 4100 \times 129 \\ &= 238005 \text{ kg}\end{aligned}$$

$$\left(\frac{V_u}{\varphi_y V_n}\right)^2 + \left(\frac{N_u}{\varphi_c N_n}\right)^2 \leq 1,0$$

$$\left(\frac{95772,19}{238005}\right)^2 + \left(\frac{289788,6}{472500}\right)^2 = 0,54 \leq 1,0 \text{ (OK)}$$

5) Kontrol geser baut

$$\begin{aligned}\sqrt{V_u^2 + N_u^2} &= \sqrt{95772,19^2 + 289788,6^2} \\ &= 305204,47 \text{ kg}\end{aligned}$$

$$\begin{aligned}\varphi R_n &= \varphi n f_u^u A_b \\ &= 0,75 \times 9 \times 8250 \times 7,07 \\ &= 393432,2 \text{ kg} > 305204,47 \text{ kg (OK)}\end{aligned}$$

6) Kontrol kuat tumpu baut

Untuk komponen vertikal, baut bagian bawah,

$$\begin{aligned}1.2l_c &= 1,2 \times (5,00 - 3,00/2) \\ &= 4,2 \text{ cm}\end{aligned}$$

$$\begin{aligned}2.4d_b &= 2,4 \times 3 \\ &= 7,20 \text{ cm} > 4,2 \text{ cm}\end{aligned}$$

Kontrol kuat tumpu :

$$\begin{aligned}\varphi R_n &= \varphi 1.2L_c t f_u \\ &= 0,75 \times 4,2 \times 3,00 \times 4100 \\ &= 38745 \text{ kg}\end{aligned}$$

Untuk komponen vertikal, baut sisanya,

$$\begin{aligned}1.2l_c &= 1,2 \times (7,5 - 3,00) \\ &= 5,4 \text{ cm}\end{aligned}$$

$$\begin{aligned}2.4d_b &= 2,4 \times 3 \\ &= 7,20 \text{ cm} > 5,4 \text{ cm}\end{aligned}$$

Kontrol kuat tumpu :

$$\begin{aligned}\phi R_n &= \phi 1.2L_c t f_u \\ &= 0,75 \times 5,4 \times 3,00 \times 4100 \\ &= 49815 \text{ kg}\end{aligned}$$

Untuk kemlompok baut vertikal,

$$\begin{aligned}\phi R_{nv} &= 38745 + ((9-1) \times 49815) \\ &= 437265 \text{ kg}\end{aligned}$$

Untuk komponen horizontal, semua baut $2,4d_b > 1,2L_c$

$$\begin{aligned}\phi R_{nh} &= 9 \times 38745 \\ &= 348705 \text{ kg}\end{aligned}$$

$$\left(\frac{V_u}{\phi R_{nv}} \right)^2 + \left(\frac{N_u}{\phi R_{nh}} \right)^2 \leq 1.0$$

$$\left(\frac{95772,19}{437265} \right)^2 + \left(\frac{289788,6}{348705} \right)^2 = 0,74 \leq 1,0 \text{ (OK)}$$

7) Kontrol ukuran las

Pengelasan dilakukan sepanjang kedua sisi dari plat sambung dengan ketebalan las $w = 10 \text{ mm}$ (bagian paling tipis yaitu 30 mm) dan mutu las F_{e100XX}

$$\begin{aligned}A_{we} &= (0,707 \times w) \times l_{we} \\ &= 2 \times (0,707 \times 1,0) \times 70 \\ &= 98,98 \text{ cm}^2\end{aligned}$$

Untuk komponen vertikal :

$$\begin{aligned}F_{nw} &= 0,6F_{EXX} (1,0 + 0,5 \sin^{1,5} \theta) \\ &= 0,6 \times (100 \times 70,33) \times (1,0 + 0,5 \times \sin^{1,5} 0^\circ) \\ &= 4219,80 \text{ kg/cm}^2\end{aligned}$$

$$\begin{aligned}\phi R_{nv} &= 0,75 F_{nw} A_{we} \\ &= 0,75 \times 4219,80 \times 98,98 \\ &= 313256,85 \text{ kg}\end{aligned}$$

Untuk komponen horizontal :

$$\begin{aligned} F_{nw} &= 0,6F_{EXX} (1,0+0,5\sin^{1,5}\theta) \\ &= 0,6 \times (100 \times 70,33) \times (1,0 + 0,5 \times \sin^{1,5} 90^\circ) \\ &= 6329,7 \text{ kg/cm}^2 \end{aligned}$$

$$\begin{aligned} \phi R_{nh} &= 0,75F_{nw} A_{we} \\ &= 0,75 \times 6329,7 \times 98,98 \\ &= 469885,28 \text{ kg} \end{aligned}$$

$$\left(\frac{V_u}{\phi R_{nv}} \right)^2 + \left(\frac{N_u}{\phi R_{nh}} \right)^2 \leq 1,0$$

$$\left(\frac{95772,19}{313256,9} \right)^2 + \left(\frac{293821,7}{469885,3} \right)^2 = 0,48 \leq 1,0 \text{ (OK)}$$

8) Kontrol sambungan *HBE* dengan *VBE* terhadap momen.

a) Momen yang bekerja pada sambungan

$$\begin{aligned} M_u &= 1,1R_y Z_b \left(f_{yb} - \frac{P_{HBE}}{A_g} \right) \\ &= 1,1 \times 1,5 \times 9287 \left(2500 - \frac{241385,5}{307,60} \right) \\ &= 26283900,77 \text{ kg.cm} \\ &= 262839 \text{ kg.m} \end{aligned}$$

Akibat adanya momen, las pada sayap balok bagian atas akan menerima tarikan sebesar :

$$\begin{aligned} T_u &= \frac{M_u d_{max}}{\sum d^2} \\ &= \frac{26283900,77 \times 80,8}{80,8^2} \\ &= 325295,8 \text{ kg} \end{aligned}$$

b) Kontrol ukuran las

Pengelasan dilakukan menggunakan las tumpul miring melebar dengan mutu F_{e100XX} .

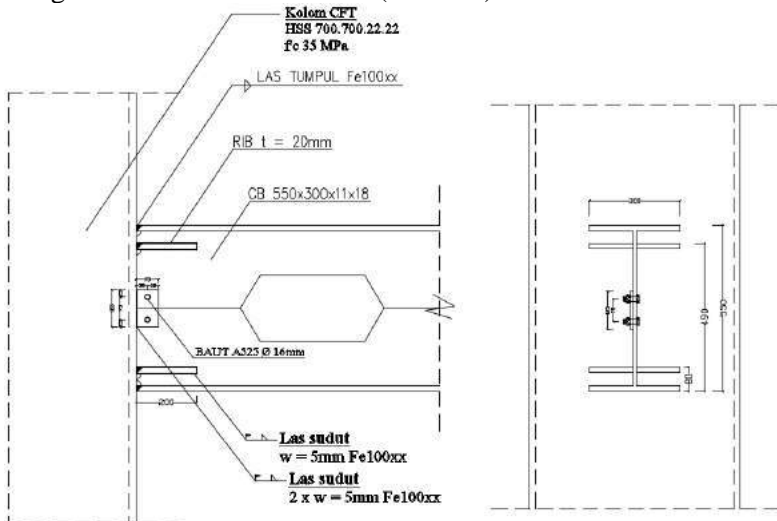
$$\begin{aligned} A_{we} &= (0,707 \times w) \times l_{we} \\ &= (0,707 \times 3,2) \times 30,20 \\ &= 68,32 \text{ cm}^2 \end{aligned}$$

Kekuatan las tumpul :

$$\begin{aligned} \phi R_{nh} &= 0,75 F_{nw} A_{we} \\ &= 0,75 \times (100 \times 70,33) \times 68,32 \\ &= 360394,55 \text{ kg} > 325295,8 \text{ kg (OK)} \end{aligned}$$

7.7 Sambungan balok dengan kolom

Sambungan menghubungkan balok profil WF 800 × 300 × 16 × 30 dengan kolom komposit CFT dengan profil HSS 800 × 800 × 25 × 25 dengan mutu inti beton = 35 MPa. Sambungan direncanakan dengan las dengan ketentuan gaya dalam sesuai Rangka Pemikul Momen Biasa (SRPMB).



Gambar 7.8 Sambungan Balok dengan Kolom

- a. Sambungan pen tipe geser dipasang sebagai penumpu beban mati balok dan beban pekerja saat proses pengelasan.

- Gaya geser yang bekerja pada sambungan

$$V_D = (241 \times 8)/2 = 964 \text{ kg}$$

$$V_L = 100/2 = 50 \text{ kg}$$

$$\begin{aligned} V_u &= 1,2D + 1,6L \\ &= (1,2 \times 964) + (1,6 \times 50) \\ &= 1236,8 \text{ kg} \end{aligned}$$

- Kontrol leleh pada plat sambung

$$\text{Mutu baja plat sambung} = \text{BJ41}$$

$$\text{Diameter baut} = 16 \text{ mm} \rightarrow A = 2,01 \text{ cm}^2$$

$$\text{Ketebalan plat sambung} = 10 \text{ mm}$$

$$\text{Panjang plat sambung} = 200 \text{ mm}$$

$$\text{Kontrol panjang tekuk } Kl/r \leq 25, f_{cr} = f_y$$

$$\begin{aligned} \phi_y V_n &= 1,00(0,6) f_y tL \\ &= 1,00 \times (0,6) \times 2500 \times 1,00 \times 20,00 \\ &= 30000 \text{ kg} > 1236,8 \text{ kg} \text{ (OK)} \end{aligned}$$

- Kontrol patah pada plat sambung

$$\begin{aligned} A_{nv} &= (L - n \times d1) \times tp \\ &= (12,5 - 2 \times (1,6 + 0,15)) \times 1 \\ &= 9,00 \text{ cm}^2 \end{aligned}$$

$$\begin{aligned} \phi_y V_n &= 0,75(0,6) f_u A_{nv} \\ &= 0,75 \times (0,6) \times 4100 \times 9,00 \\ &= 16605 \text{ kg} > 1236,8 \text{ kg} \text{ (OK)} \end{aligned}$$

- Kontrol geser baut

$$\begin{aligned} \phi R_n &= \phi n f_u^u A_b \\ &= 0,75 \times 2 \times 8250 \times 2,01 \\ &= 24868,8 \text{ kg} > 1236,8 \text{ kg} \text{ (OK)} \end{aligned}$$

- Kontrol kuat tumpu baut

Untuk komponen vertikal

$$1.2l_c = 1,2 \times (2,50 - 1,60/2) \\ = 2,04 \text{ cm}$$

$$2.4d_b = 2,4 \times 1,60 \\ = 3,84 \text{ cm}$$

Kontrol kuat tumpu :

$$\phi R_n = \phi 1.2L_c f_u \\ = 2 \times 0,75 \times 2,04 \times 1,00 \times 4100 \\ = 6273 \text{ kg} > 1236,8 \text{ kg (OK)}$$

- Kontrol ukuran las

Pengelasan dilakukan sepanjang kedua sisi dari plat sambung dengan ketebalan las $w = 5 \text{ mm}$ (bagian paling tipis yaitu 10 mm) dan mutu las F_{e100XX}

$$A_{we} = (0,707 \times w) \times l_{we} \\ = 2 \times (0,707 \times 0,50) \times 12,50 \\ = 8,84 \text{ cm}^2$$

Untuk komponen vertikal :

$$F_{nw} = 0,6 F_{EXX} (1,0 + 0,5 \sin^{1,5} \theta) \\ = 0,6 \times (100 \times 70,33) \times (1,0 + 0,5 \times \sin^{1,5} 0^\circ) \\ = 4219,80 \text{ kg/cm}^2$$

$$\phi R_{nv} = 0,75 F_{nw} A_{we} \\ = 0,75 \times 4219,80 \times 8,84 \\ = 27969,4 \text{ kg} > 1236,8 \text{ kg (OK)}$$

- b. Sambungan rigid dengan alat sambung las dipasang sebagai penumpu beban aktual.

- Gaya geser yang bekerja pada sambungan

Gaya geser dari SAP 2000

$$V_u = 23230,75 \text{ kg}$$

Gaya geser dari ketentuan AISC 341-05 pasal 11.2

$$\begin{aligned} V_u &= \frac{2 \left[1,1 R_y (f_y Z_x) \right]}{L} \\ &= \frac{2 \left[1,1 \times 1,5 \times (2500 \times 3532,79) \right]}{800} \\ &= 36431,9 \text{ kg (menentukan)} \end{aligned}$$

- Momen yang bekerja pada sambungan

Momen dari SAP 2000

$$M_u = 36208,53 \text{ kgm}$$

Momen dari ketentuan AISC 341-05 pasal 11.2

$$\begin{aligned} M_u &= 1,1 R_y (f_y \times Z_x) \\ &= 1,1 \times 1,5 \times (2400 \times 3532,79) \\ &= 14572754,63 \text{ kgcm} \\ &= 14572754,63 \text{ kgm (menentukan)} \end{aligned}$$

Akibat adanya momen, las pada sayap balok bagian atas akan menerima tarikan sebesar :

$$\begin{aligned} T_u &= \frac{M_u d_{\max}}{\sum d^2} \\ &= \frac{14572754,6 \times 55}{55^2 + 49^2 + 8^2} \\ &= 145993 \text{ kg} \end{aligned}$$

- Kontrol ukuran las

Pengelasan dilakukan menggunakan las tumpul miring melebar dengan mutu F_{e100XX} .

$$\begin{aligned} A_{we} &= (0,707 \times w) \times l_{we} \\ &= (0,707 \times 2,0) \times 20,00 \\ &= 28,28 \text{ cm}^2 \end{aligned}$$

Kekuatan las tumpul :

$$\begin{aligned}\phi R_{nh} &= 0,75 F_{nw} A_{we} \\ &= 0,75 \times (100 \times 70,33) \times 28,28 \\ &= 149169,93 \text{ kg} > 145993 \text{ kg (OK)}\end{aligned}$$

$$\begin{aligned}\phi R_{nv} &= 4R_{nh} \\ &= 4 \times 149169,93 \text{ kg} \\ &= 596679,72 \text{ kg} > 36431,89 \text{ kg (OK)}\end{aligned}$$

$$\left(\frac{V_u}{\phi R_{nv}} \right)^2 + \left(\frac{T_u}{\phi R_{nh}} \right)^2 \leq 1.0$$

$$\left(\frac{36431,89}{596679,7} \right)^2 + \left(\frac{145993}{149169,9} \right)^2 = 0,96 \leq 1.0 \text{ (OK)}$$

7.8 Sambungan Base Plate

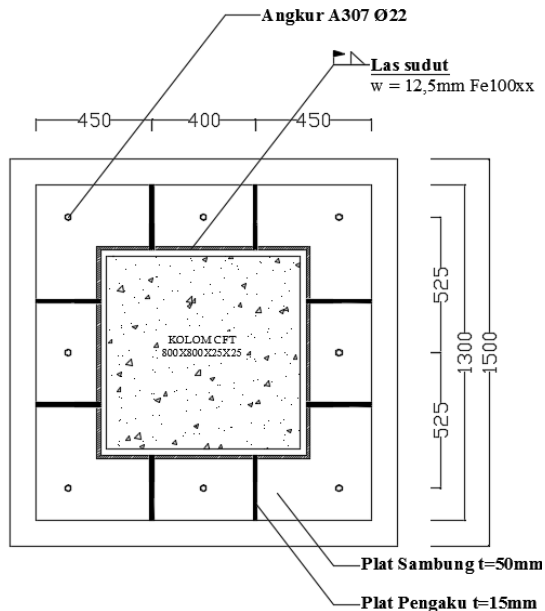
Perencanaan *base plate* dibawah ini menggunakan *fixed plate* hasil modifikasi dari katalog PT. Gunung Garuda dengan ukuran

- H = 130 cm
- B = 130 cm
- $t_p = 50 \text{ mm} = 5,0 \text{ cm}$

Dari hasil analisis SAP 2000 didapat gaya yang bekerja pada kolom CFT 800x800x25x25 lantai dasar adalah :

$$\begin{aligned}P_u &= 692771,6 \text{ kg} \\ M_u &= 9656,28 \text{ kgm} \\ V_u &= 49040,76 \text{ kg}\end{aligned}$$

Sambungan Las pada Base Plate :



Gambar 7.9 Sambungan Las pada Baseplate

Direncanakan las sudut pada daerah yang diarsir pada profil hollow section 800x800x25 sehingga didapat :

Misal $t_e = 1\text{cm}$

$$A_{\text{las}} = 4 \times (1 \times 80,0) = 320 \text{ cm}^2$$

$$I_x = \frac{(b+d)^3}{6} = \frac{(80+80)^3}{6} = 682666,7 \text{ cm}^4$$

$$I_y = \frac{(b+d)^3}{6} = \frac{(80+80)^3}{6} = 682666,7 \text{ cm}^4$$

$$S_x = b \times d + \left(\frac{d^2}{3} \right) = 80 \times 80 + \left(\frac{80^2}{3} \right) = 8533,33 \text{ cm}^3$$

$$S_y = b \times d + \left(\frac{d^2}{3} \right) = 80 \times 80 + \left(\frac{80^2}{3} \right) = 8533,33 \text{ cm}^3$$

$$f_{u_{las}} = \phi \times 0,6 \times F_{E100xx} \times t_e$$

$$f_{u_{las}} = 0,75 \times 0,6 \times 100 \times 70,33 \times 1$$

$$f_{u_{las}} = 3163,5 \text{ kg/cm}^2$$

Akibat Pu:

$$f_p = \frac{Pu}{A} + \frac{Mx}{Wx} = \frac{692771,6}{320} + \frac{4904076}{8533,3}$$

$$f_p = 2739,6 \text{ kg/cm}^2$$

Akibat Vu:

$$f_v = \frac{Vu}{A} + \frac{Mx}{Wx} = \frac{9656,28}{320} + \frac{4904076}{8533,3}$$

$$f_v = 604,87 \text{ kg/cm}^2$$

$$f_{total} = \sqrt{(2739,6)^2 + (604,87)^2} = 2805,6 \text{ kg/cm}^2$$

$$t_e = \frac{f_{total}}{f_{u_{las}}} = \frac{2805,6}{3163,5} = 0,9 \text{ cm}$$

$$a = \frac{t_e}{0,707} = 1,25 \text{ cm}$$

Syarat – syarat tebal kaki las

Tebal minimum = $t_{plat} = 50 \text{ mm}$

$$a_{eff \max} = 1,41 \cdot \frac{fu}{f_{E100xx}} \cdot t_p = 1,41 \cdot \frac{4100}{100.70,3} \cdot 5,0 = 4,1 \text{ cm}$$

Sehingga dipakai las dengan $a = 1,25 \text{ cm}$

Perhitungan Base Plate :

- Cek eksentrisitas gaya

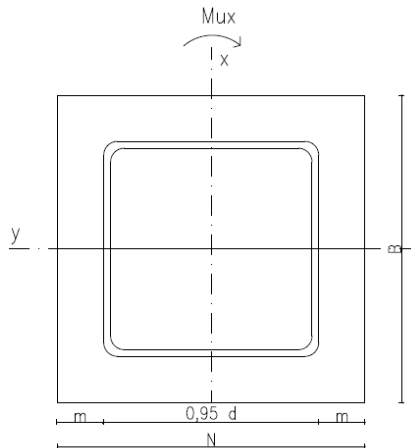
$$e_x = \frac{M_{ux}}{P_u} = \frac{4904076}{692771,6} = 7,08 \text{ cm} < \frac{N}{6} = \frac{130}{6} = 21,67 \text{ cm}$$

Termasuk dalam kategori baseplate yang memikul gaya aksial, gaya geser dan juga momen lentur dengan intensitas yang cukup kecil, sehingga distribusi tegangan tidak terjadi sepanjang baseplate, namun momen lentur yang bekerja masih belum mengakibatkan baseplate terangkat dari beton penumpu. Angkur terpasang hanya berfungsi sebagai penahan gaya geser, disamping itu angkur tersebut juga berfungsi menjaga stabilitas struktur selama masa konstruksi.

Direncanakan Dimensi Beton 150 x 150 cm ($A_2 = 22500 \text{ cm}^2$):

$$\sqrt{\frac{A_2}{A_1}} = \sqrt{\frac{150 \times 150}{130 \times 130}} = 1,15$$

Perencanaan akibat beban sumbu X



Gambar 7.10 Arah Beban Sumbu X pada Base Plate

Akibat beban P_u

$$f_{pa} = \frac{P_u}{B.N} = \frac{692771,6}{130 \times 130} = 40,99 \text{ kg/cm}^2$$

Akibat beban M_{ux}

$$f_{pb} = \frac{6.M_{ux}}{B.N^2} = \frac{6 \times 49040,76}{130 \times 130^2} = 13,4 \text{ kg/cm}^2$$

Tekanan maksimal

$$f_{p(max)} = f_{pa} + f_{pb} = 40,99 + 13,4 = 54,4 \text{ kg/cm}^2$$

Tekanan yang bisa diterima kolom beton

$$f_{p\text{ avail}} = \phi \cdot 0,85 \cdot f'_c = 0,9 \cdot 0,85 \cdot 35 = 26,775 \text{ Mpa}$$

$$f_{p\text{ avail}} = 267,75 \text{ kg/cm}^2 > f_{p(max)} = 54,4 \text{ kg/cm}^2 \text{ (OK)}$$

Menentukan M_{upl} pada sejarak m setiap lebar 1 cm pelat :

$$m = \frac{(N - 0,95 \times D)}{2} = \frac{(130 - 0,95 \times 80)}{2} = 27 \text{ cm}$$

$$M_{upl} = \left(f_{p(max)} - 2 \times f_{pb} \times \frac{m}{N} \right) \times \left(\frac{m^2}{2} \right) + \left(2 \times f_{pb} \times \frac{m}{N} \right) \times \left(\frac{m^2}{3} \right)$$

$$M_{upl} = \left(54,4 - 2 \times 13,34 \times \frac{27}{130} \right) \times \left(\frac{27^2}{2} \right) + \left(2 \times 13,34 \times \frac{27}{130} \right) \times \left(\frac{27^2}{3} \right)$$

$$M_{upl} = 19147,55 \text{ kg.cm/cm}$$

Menentukan tebal base plate :

$$f_y = 2500 \text{ kg/cm}^2$$

$$t = \sqrt{\frac{4.M_{upl}}{\phi.f_y}} = \sqrt{\frac{4 \times 19147,55}{0,9 \times 2500}} = 5,8 \text{ cm}$$

tebal baseplate yang dipakai yaitu 6 cm

Perencanaan pelat pengaku :

Dimensi pelat minimum menurut SNI-03-1729-2002 Pasal 8.11

Tebal pelat pengaku minimum (t_s)

$$t_s \geq 0,5 \cdot t_f = 0,5 \cdot 2,5 = 1,25 \text{ cm}$$

Dimensi pelat yang dipakai $t_s = 1,5 \text{ cm}$

Perhitungan Baut Angkur

Karena $e = 7,08 \text{ cm} < 1/6 \cdot N = 21,67 \text{ cm}$ maka tidak terjadi gaya tarik, jadi dipasang angkur praktis.

Dipakai baut angkur A307 Ø22mm ($f_u = 60 \text{ ksi}$)

- Kuat rencana geser dan tumpu (1 bidang geser)

$$\begin{aligned} \phi_f \cdot V_n &= V_d = \phi_f \cdot r_1 \cdot f_u^b \cdot A_b \cdot m \\ &= 0,75 \cdot 0,4 \cdot 4218 \cdot (1/4 \cdot \pi \cdot 2,2^2) \cdot 1 \\ &= 4807,8 \text{ kg (menentukan)} \end{aligned}$$

$$\begin{aligned} \phi_f \cdot R_n &= R_d = 2,4 \cdot \phi_f \cdot d_b \cdot t_p \cdot f_u \\ &= 2,4 \cdot 0,75 \cdot 2,2 \cdot 5,0 \cdot 4100 \\ &= 83516,4 \text{ kg} \end{aligned}$$

$$n = \frac{V_{uy}}{\phi_f \cdot V_n} = \frac{9656,28}{4807,76} = 2,01 \text{ bh}$$

dipakai 8 buah untuk menjaga stabilitas saat pemasangan konstruksi

Kontrol jarak baut :

Jarak tepi : (S1) = 1,5db s/d (4tp + 100) atau 200 mm

$$= 33 \text{ mm s/d } 300 \text{ mm}$$

Pakai S1 = 125 mm

(S2) = 1,25 db s/d 12tp atau 150 mm

$$= 27,5 \text{ mm s/d } 600 \text{ mm}$$

Pakai S2 = 125 mm

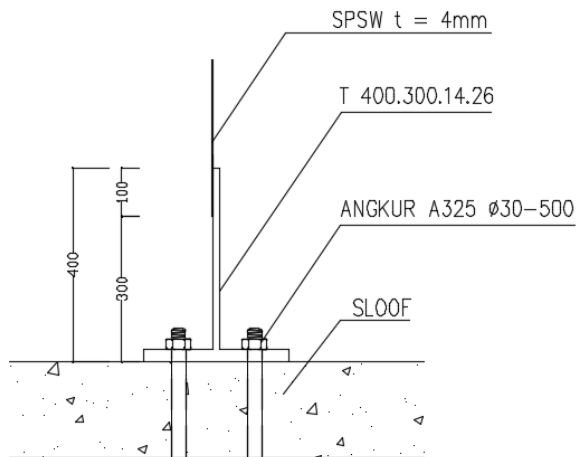
Jarak baut : (S) = 3db s/d 15tp atau 200 mm

$$= 66 \text{ mm s/d } 750 \text{ mm}$$

Pakai S = 525 mm

7.9 Sambungan dinding geser (SPSW) dengan sloof

Perencanaan sambungan ini digunakan untuk menghubungkan dinding geser lantai dasar dengan sloof. Profil T 400×300×14×26 berhubungan langsung dengan sloof memanjang dengan penambahan angkur dan *grouting* agar tidak terjadi rembesan air yang menyebabkan korosi. Digunakan angkur dengan diameter $d = 3,00$ cm dan jarak $s = 50,00$ cm



Gambar 7.13 Sambungan SPSW dengan Sloof

- 1) Gaya geser yang bekerja pada angkur

$$\begin{aligned}
 V_u &= \frac{1}{2} f_y \sin(2\alpha) t_w s \\
 &= \frac{1}{2} \times 2500 \times \sin(2 \times 41,98) \times 0,40 \times 50 \\
 &= 24861,8 \text{ kg}
 \end{aligned}$$

- 2) Tarikan yang bekerja pada angkur

$$\begin{aligned}
 T_u &= f_y \cos^2(\alpha) t_w s \\
 &= 2500 \times \cos^2(41,98) \times 0,4 \times 50 \\
 &= 27624,6 \text{ kg}
 \end{aligned}$$

3) Perhitungan Baut Angkur

Dipakai baut angkur $d = 30$ mm dengan $f_u = 8250$ kg/cm²

$$\begin{aligned}\phi R_n &= 0,75 f_{ub} (0,5 A_b) \\ &= 9 \times 0,75 \times 8250 \times (0,5 \times (0,25 \times \pi \times 3,00^2)) \\ &= 196815,87 \text{ kg}\end{aligned}$$

$$\begin{aligned}\frac{2T_u + C_v V_u}{n} &= \frac{2 \times 27624,6 + 1,25 \times 24861,8}{9} \\ &= 9591,84 \text{ kg} < 196815,9 \text{ kg (OK)}\end{aligned}$$

“Halaman ini sengaja dikosongkan”

BAB VIII

PERENCANAAN PONDASI

8.1 Desain Tiang Pancang

Pondasi merupakan bangunan struktur bawah yang berfungsi sebagai perantara dalam meneruskan beban bagian atas dan gaya-gaya yang bekerja pada pondasi tersebut ke tanah pendukung di bawahnya.

Perencanaan bangunan bawah atau pondasi suatu struktur bangunan harus mempertimbangkan beberapa hal diantaranya jenis, kondisi dan struktur tanah. Hal ini terkait dengan kemampuan atau daya dukung tanah dalam memikul beban yang terjadi di atasnya. Perencanaan yang baik menghasilkan pondasi yang tidak hanya aman, namun juga efisien, ekonomis dan memungkinkan pelaksanaannya.

8.2 Desain Tiang Pancang Kolom (P1)

8.2.1 Data Perencanaan

Data-data dalam perencanaan pondasi P1 adalah :

Kedalaman tiang pancang = 16 m
Diameter tiang pancang = 50 cm
Luas tiang pancang (A_p) = 1159 cm²

Direncanakan poer dengan dimensi :

$$L = 4,5 \text{ m}$$

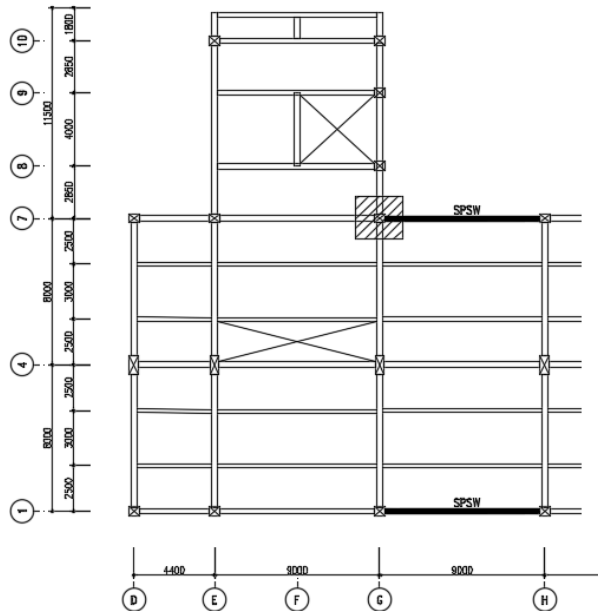
$$B = 4,5 \text{ m}$$

$$t = 1 \text{ m}$$

Digunakan tiang pancang produksi Jaya Beton. Dengan tekanan ijin sebesar 178 Ton.

8.2.2 Beban Pada Tiang Pancang

Desain tiang pancang kolom yang akan dianalisis adalah pada kolom AS 7-G sebagaimana ditunjukkan pada Gambar 8.1.



Gambar 8.1 Letak Pondasi Kolom Yang Ditinjau

Dari hasil analisis struktur didapatkan gaya-gaya dalam yang bekerja pada pondasi pada kolom sebagaimana ditunjukkan pada Tabel 8.1:

Tabel 8.1 Reaksi Kolom P1

NO	KOMBINASI	Gaya Dalam				
		P (kg)	Mx (kg.m)	My (kg.m)	Hx (kg)	Hy (kg)
1	1D+1L	-533953,45	-295,7	40,79	-20,26	13,22
2	1D+1L+IRSX	-626279,79	-65696,62	-6514,53	-25046,64	2057,35
3	1D+1L+IRSY	-535551,52	-11816,5	-30382,27	-2301,32	-5415,92

Pada desain tiang pancang ini akan digunakan kombinasi terbesar dari beban tetap dan beban sementara. Berdasarkan hal

tersebut maka digunakan kombinasi beban sementara sebagai acuan gaya dalam untuk desain pondasi. Oleh karena itu, didapat momen pada dasar poer, sebagai berikut :

$$M_{x_o} = M_x + H_y \times t = -65,7 + (2,06 \times 1) = -63,64 \text{ tm}$$

$$M_{y_o} = M_y + H_x \times t = -6,51 + (-25,05 \times 1) = -31,56 \text{ tm}$$

Beban vertikal yang berkerja akibat pengaruh beban sementara dan beban sendiri poer sebagai berikut :

- Berat sendiri poer

$$4,5 \times 4,5 \times 1 \times 2,4 = 48,6 \text{ ton}$$

- Beban aksial kolom

$$\begin{aligned} \text{Beban tetap, P} &= 626,28 \text{ ton+} \\ \Sigma P &= 674,88 \text{ ton} \end{aligned}$$

8.2.3 Daya Dukung Ijin Satu Tiang

Daya dukung pada pondasi tiang pancang ditentukan oleh dua hal, yaitu daya dukung perlawanan tanah dari unsur dasar tiang pondasi (Q_p) dan daya dukung tanah dari unsur lekatan lateral tanah (Q_s). Sehingga daya dukung total dari tanah dapat dirumuskan :

$$Q = Q_p + Q_s.$$

Disamping peninjauan berdasarkan kekuatan tanah tempat pondasi tiang pancang di tanam, daya dukung suatu tiang juga harus ditinjau berdasarkan kekuatan bahan tiang pancang tersebut. Hasil daya dukung yang menentukan yang dipakai sebagai daya dukung ijin tiang.

Perhitungan daya dukung tiang pancang ini dilakukan berdasarkan hasil uji *Standard Penetration Test* (SPT) dengan kedalaman 16 m.

$$Q = Q_p + Q_s$$

$$Q_p = q_p \times A_p$$

$$= (N_p \times K) \times A_p$$

$$= (31,67 \times 20) \times 0,1159$$

$$= 73,4 \text{ ton}$$

Dimana :

N_p = Harga rata-rata SPT di sekitar $4D = (4 \times 0,5) = 2m$ di atas hingga $4D$ di bawah dasar tiang pondasi

$$= \left(\frac{28 + 31 + 36}{3} \right)$$

$$= 31,67$$

K = Koefisien karakteristik tanah

= 12 t/m^2 , untuk tanah lempung

= 20 t/m^2 , untuk tanah lanau berlempung

= 25 t/m^2 , untuk tanah lanau berpasir

= 40 t/m^2 , untuk tanah pasir

= 40 t/m^2 , untuk lempung sangat kaku (Poulos, H.G)

A_p = Luas penampang dasar tiang

q_p = tegangan di ujung tiang

Q_s = $q_s \times A_s$

$$= \left(\frac{N_s}{3} + 1 \right) A_s$$

$$= \left(\frac{19,21}{3} + 1 \right) \times 25,12$$

$$= 186 \text{ ton}$$

Dimana :

q_s = tegangan akibat lekatan lateral dalam t/m^2

N_s = harga rata-rata sepanjang tiang yang tertanam, dengan batasan : $3 \leq N \leq 50$

A_s = keliling x panjang tiang yang terbenam

$$= \pi \times d \times h = 25,12 \text{ m}$$

Daya dukung ijin dari satu tiang pancang yang berdiri sendiri adalah daya dukung tiang total dibagi dengan suatu angka keamanan.

$$P_{ijin(\text{tiang})} = \frac{Q_u}{SF} = \left(\frac{73,4 + 186}{2} \right) = 129,7 \text{ ton}$$

8.2.4 Tiang Pancang Kelompok

Jumlah tiang pancang ditentukan dengan perumusan berikut:

$$n = \frac{\Sigma P}{\bar{P}E_k} \rightarrow Ek \text{ diasumsikan sebesar } 0,8$$

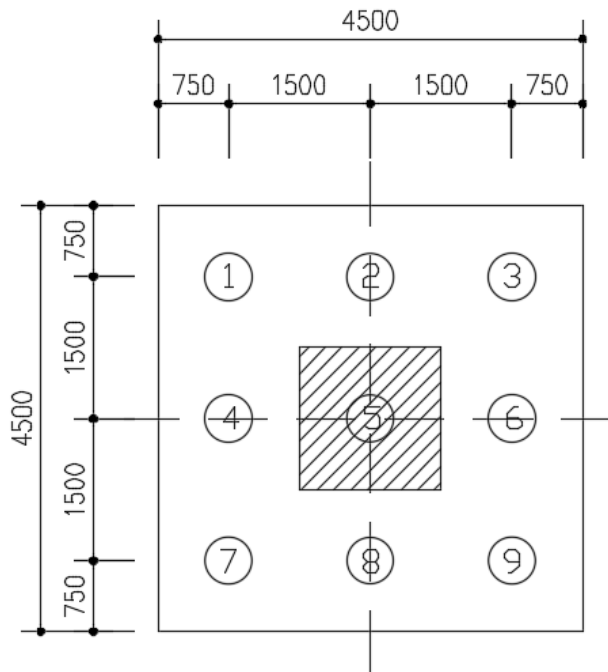
$$= \frac{674,88}{129,7 \times 0,8} = 6,5 \approx 9$$

Maka direncanakan dengan 9 pancang dengan letak tiang pancang pada poer diperlihatkan pada Gambar 8.2.

Syarat jarak antar tiang pancang (s) :

$$2,5D \leq S_x \leq 5D \rightarrow S_x = 1,5m$$

$$2,5D \leq S_y \leq 5D \rightarrow S_y = 1,5m$$



Gambar 8.2 Posisi Tiang Pancang Kolom P1

1) Kontrol Beban Aksial Satu Tiang Pancang

Berdasarkan Gambar 8.2 didapatkan jarak masing-masing tiang pancang terhadap titik berat poer, seperti yang diperlihatkan pada Tabel 8.2

Tabel 8.2 Jarak Tiang Pancang Kolom P1

tiang	sumbu (m)			
	x	x ²	y	y ²
p1	1,50	2,25	0,75	0,56
p2	0,00	0,00	0,75	0,56
p3	1,50	2,25	0,75	0,56
p4	1,50	2,25	0,00	0,00
p5	0,00	0,00	0,00	0,00
p6	1,50	2,25	0,00	0,00
p7	1,50	2,25	0,75	0,56
p8	0,00	0,00	0,75	0,56
p9	1,50	2,25	0,75	0,56
Σ		13,50		3,38

Gaya yang dipikul oleh masing-masing tiang pancang ditentukan dengan perumusan berikut :

$$P_i = \frac{\Sigma P}{n} \pm \frac{M_{x_0} y_{\max}}{\Sigma y^2} \pm \frac{M_{y_0} x_{\max}}{\Sigma x^2}$$

$$P_{\max} = \frac{674,88}{9} + \frac{-63,64 \times 0,75}{3,38} + \frac{-31,56 \times 1,5}{13,5}$$

$$= 57,34 \text{ ton}$$

$$P_{\min} = \frac{674,88}{9} - \frac{-63,64 \times 0,75}{3,38} - \frac{-31,56 \times 1,5}{13,5}$$

$$= 92,64 \text{ ton}$$

Maka, tekanan maksimum satu tiang pancang adalah 92,64 ton

2) Menentukan Efisiensi Aktual

Efisiensi aktual ditentukan dengan menggunakan perumusan dari Converce-Labarre sebagai berikut :

Jumlah tiang pancang dalam 1 baris, (m) = 3

Jumlah tiang pancang dalam 1 kolom, (n) = 3

$$\begin{aligned}
 Ek &= 1 - \tan^{-1} \frac{D}{S} \left[\frac{(n-1)m + (m-1)n}{90mn} \right] \\
 &= 1 - \tan^{-1} \frac{0,5}{1,5} \left[\frac{(3-1)3 + (3-1)3}{90 \times 3 \times 3} \right] = 0,73
 \end{aligned}$$

3) Kontrol Kapasitas

$$\begin{aligned}
 P_{max} &\leq \bar{P}Ek \\
 92,64 \text{ Ton} &\leq 129,7 \times 0,73 \\
 92,64 \text{ Ton} &\leq 94,28 \text{ Ton (OK)}
 \end{aligned}$$

8.3 Desain Tiang Pancang Kolom (P2)

8.3.1 Data Perencanaan

Data-data dalam perencanaan pondasi P2 adalah :

$$\begin{aligned}
 \text{Kedalaman tiang pancang} &= 16 \text{ m} \\
 \text{Diameter tiang pancang} &= 50 \text{ cm} \\
 \text{Luas tiang pancang (} Ap \text{)} &= 1159 \text{ cm}^2
 \end{aligned}$$

Direncanakan poer dengan dimensi :

$$L = 3,0 \text{ m}$$

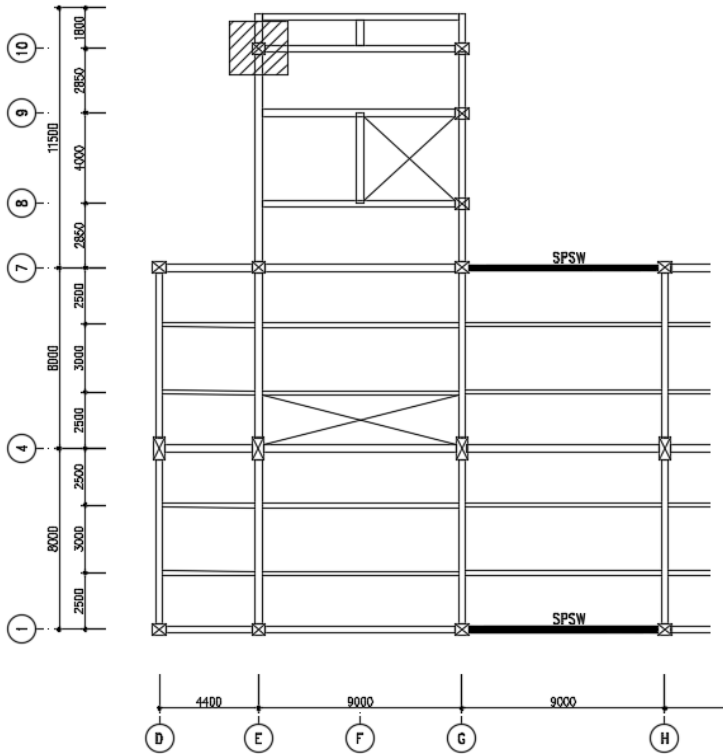
$$B = 3,0 \text{ m}$$

$$t = 1 \text{ m}$$

Digunakan tiang pancang produksi Jaya Beton. Dengan tekanan ijin sebesar 178 Ton.

8.3.2 Beban Pada Tiang Pancang

Desain tiang pancang kolom yang akan dianalisis adalah pada kolom AS 10-E sebagaimana ditunjukkan pada Gambar 8.3.



Gambar 8.3 Letak Pondasi Kolom Yang Ditinjau

Dari hasil analisis struktur didapatkan gaya-gaya dalam yang bekerja pada pondasi pada kolom sebagaimana ditunjukkan pada Tabel 8.3:

Tabel 8.3 Reaksi Kolom P2

NO	KOMBINASI	Gaya Dalam				
		P (kg)	Mx (kg.m)	My (kg.m)	Hx (kg)	Hy (kg)
1	1D+1L	-243334,88	-758,2	3243,9	-483,51	2328,48
2	1D+1L+1RSX	-258374,33	-37750,92	-8501,89	-5572,4	399,3
3	1D+1L+1RSY	-252594,54	-9690,7	-26784,7	-1723,1	-2537,11

Pada desain tiang pancang ini akan digunakan kombinasi terbesar dari beban tetap dan beban sementara. Berdasarkan hal tersebut maka digunakan kombinasi beban sementara sebagai acuan gaya dalam untuk desain pondasi. Oleh karena itu, didapat momen pada dasar poer, sebagai berikut :

$$M_{x_0} = M_x + H_y \times t = -37,75 + (0,4 \times 1) = -37,35 \text{ tm}$$

$$M_{y_0} = M_y + H_x \times t = -8,5 + (-5,57 \times 1) = -14,07 \text{ tm}$$

Beban vertikal yang berkerja akibat pengaruh beban sementara dan beban sendiri poer sebagai berikut :

- Berat sendiri poer
 $3 \times 3 \times 1 \times 2,4 = 21,6 \text{ ton}$
- Beban aksial kolom

Beban tetap, P	$= 258,7 \text{ ton+}$
ΣP	$= 279,97 \text{ ton}$

8.3.3 Daya Dukung Ijin Satu Tiang

Daya dukung pada pondasi tiang pancang ditentukan oleh dua hal, yaitu daya dukung perlawanan tanah dari unsur dasar tiang pondasi (Q_p) dan daya dukung tanah dari unsur lekatan lateral tanah (Q_s). Sehingga daya dukung total dari tanah dapat dirumuskan :

$$Q = Q_p + Q_s.$$

Disamping peninjauan berdasarkan kekuatan tanah tempat pondasi tiang pancang di tanam, daya dukung suatu tiang juga harus ditinjau berdasarkan kekuatan bahan tiang pancang tersebut. Hasil daya dukung yang menentukan yang dipakai sebagai daya dukung ijin tiang.

Perhitungan daya dukung tiang pancang ini dilakukan berdasarkan hasil uji *Standard Penetration Test* (SPT) dengan kedalaman 16 m.

$$\begin{aligned} Q &= Q_p + Q_s \\ Q_p &= q_p \times A_p \\ &= (N_p \times K) \times A_p \\ &= (31,67 \times 20) \times 0,1159 = 73,4 \text{ ton} \end{aligned}$$

Dimana :

N_p = Harga rata-rata SPT di sekitar $4D = (4 \times 0,5) = 2m$ di atas hingga $4D$ di bawah dasar tiang pondasi

$$= \left(\frac{28 + 31 + 36}{3} \right)$$

$$= 31,67$$

K = Koefisien karakteristik tanah

= 12 t/m^2 , untuk tanah lempung

= 20 t/m^2 , untuk tanah lanau berlempung

= 25 t/m^2 , untuk tanah lanau berpasir

= 40 t/m^2 , untuk tanah pasir

= 40 t/m^2 , untuk lempung sangat kaku (Poulos, H.G)

A_p = Luas penampang dasar tiang

q_p = tegangan di ujung tiang

Q_s = $q_s \times A_s$

$$= \left(\frac{N_s}{3} + 1 \right) A_s$$

$$= \left(\frac{19,21}{3} + 1 \right) \times 25,12$$

$$= 186 \text{ ton}$$

Dimana :

q_s = tegangan akibat lekatan lateral dalam t/m^2

N_s = harga rata-rata sepanjang tiang yang tertanam, dengan batasan : $3 \leq N \leq 50$

A_s = keliling x panjang tiang yang terbenam

$$= \pi \times d \times h = 25,12 \text{ m}$$

Daya dukung ijin dari satu tiang pancang yang berdiri sendiri adalah daya dukung tiang total dibagi dengan suatu angka keamanan.

$$P_{ijin(tiang)} = \frac{Q_u}{SF} = \left(\frac{73,4 + 186}{2} \right) = 129,7 \text{ ton}$$

8.3.4 Tiang Pancang Kelompok

Jumlah tiang pancang ditentukan dengan perumusan berikut:

$$n = \frac{\Sigma P}{PE_k} \rightarrow Ek \text{ diasumsikan sebesar } 0,8$$

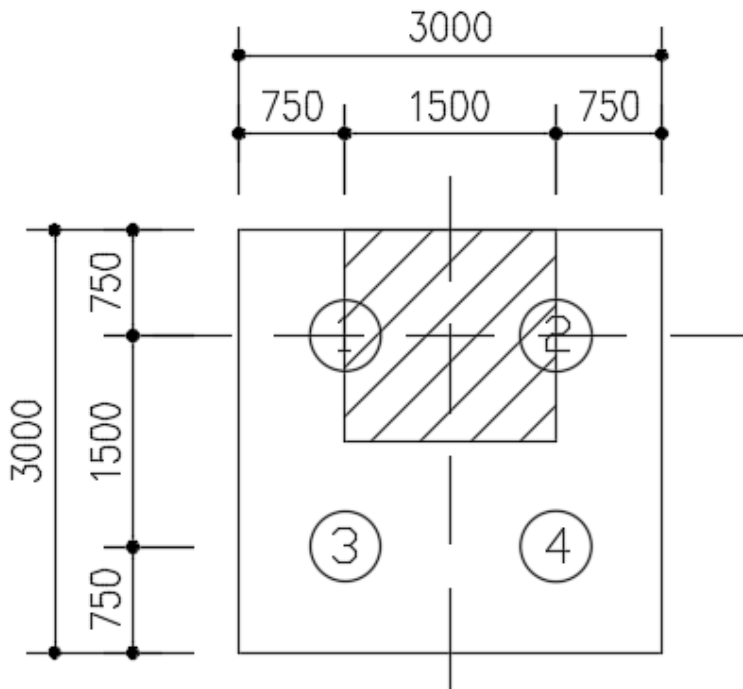
$$= \frac{279,97}{129,7 \times 0,8} = 2,7 \approx 4$$

Maka direncanakan dengan 4 pancang dengan letak tiang pancang pada poer diperlihatkan pada Gambar 8.4.

Syarat jarak antar tiang pancang (s) :

$$2,5D \leq Sx \leq 5D \rightarrow Sx = 1,5m$$

$$2,5D \leq Sy \leq 5D \rightarrow Sy = 1,5m$$



Gambar 8.4 Posisi Tiang Pancang Kolom P2

1) Kontrol Beban Aksial Satu Tiang Pancang

Berdasarkan Gambar 8.4 didapatkan jarak masing-masing tiang pancang terhadap titik berat poer, seperti yang diperlihatkan pada Tabel 8.4

Tabel 8.4 Jarak Tiang Pancang Kolom P2

tiang	sumbu (m)			
	x	x ²	y	y ²
p1	0,75	0,56	0,00	0,00
p2	0,75	0,56	0,00	0,00
p3	0,75	0,56	1,50	2,25
p4	0,75	0,56	1,50	2,25
Σ		2,25		4,50

Gaya yang dipikul oleh masing-masing tiang pancang ditentukan dengan perumusan berikut :

$$P_i = \frac{\Sigma P}{n} \pm \frac{M_{x_0} y_{\max}}{\Sigma y^2} \pm \frac{M_{y_0} x_{\max}}{\Sigma x^2}$$

$$P_{\max} = \frac{279,97}{4} + \frac{-37,35 \times 1,5}{4,5} + \frac{-14,07 \times 0,75}{2,25}$$

$$= 52,85 \text{ ton}$$

$$P_{\min} = \frac{279,97}{4} + \frac{-37,35 \times 1,5}{4,5} + \frac{-14,07 \times 0,75}{2,25}$$

$$= 87,14 \text{ ton}$$

Maka, tekanan maksimum satu tiang pancang adalah 87,14 ton

2) Menentukan Efisiensi Aktual

Efisiensi aktual ditentukan dengan menggunakan perumusan dari Converce-Labarre sebagai berikut :

Jumlah tiang pancang dalam 1 baris, (m) = 2

Jumlah tiang pancang dalam 1 kolom, (n) = 2

$$\begin{aligned}
 Ek &= 1 - \tan^{-1} \frac{D}{S} \left[\frac{(n-1)m + (m-1)n}{90mn} \right] \\
 &= 1 - \tan^{-1} \frac{0,5}{1,5} \left[\frac{(1-1)2 + (2-1)1}{90 \times 2 \times 1} \right] = 0,79
 \end{aligned}$$

3) Kontrol Kapasitas

$$\begin{aligned}
 P_{max} &\leq \bar{P}Ek \\
 87,14 \text{ Ton} &\leq 129,7 \times 0,79 \\
 87,14 \text{ Ton} &\leq 103,13 \text{ Ton (OK)}
 \end{aligned}$$

8.4 Desain Tiang Pancang Kolom (P3)

8.4.1 Data Perencanaan

Data-data dalam perencanaan pondasi P3 adalah :

$$\begin{aligned}
 \text{Kedalaman tiang pancang} &= 16 \text{ m} \\
 \text{Diameter tiang pancang} &= 50 \text{ cm} \\
 \text{Luas tiang pancang (Ap)} &= 1159 \text{ cm}^2
 \end{aligned}$$

Direncanakan poer dengan dimensi :

$$L = 8,9 \text{ m}$$

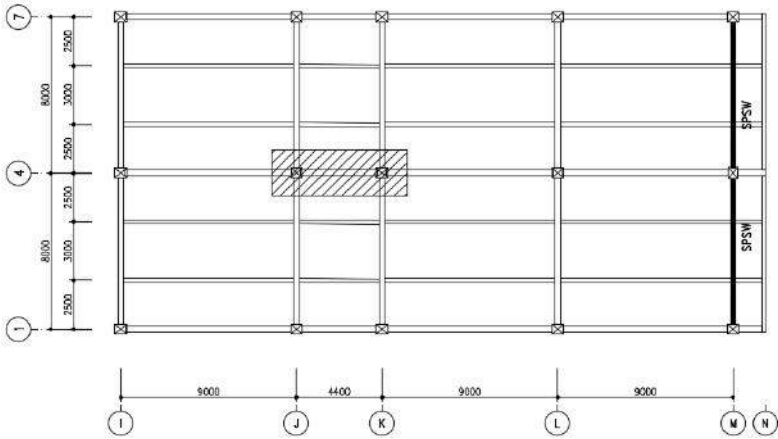
$$B = 3 \text{ m}$$

$$t = 1 \text{ m}$$

Digunakan tiang pancang produksi Jaya Beton. Dengan tekanan ijin sebesar 178 Ton.

8.4.2 Beban Pada Tiang Pancang

Desain tiang pancang kolom yang akan dianalisis adalah pada kolom AS 4J-4K sebagaimana ditunjukkan pada Gambar 8.5.



Gambar 8.5 Letak Pondasi Kolom Yang Ditinjau

Dari hasil analisis struktur didapatkan gaya-gaya dalam yang bekerja pada pondasi pada kolom sebagaimana ditunjukkan pada Tabel 8.5 dan 8.6:

Tabel 8.5 Reaksi Kolom 4J

NO	KOMBINASI	Gaya Dalam				
		P (kg)	Mx (kg.m)	My (kg.m)	Hx (kg)	Hy (kg)
1	1D+1L	-415862,9	-911,79	45,67	-540,36	3,43
2	1D+1L+1RSX	-418318,77	-45539,92	-12188,42	-8331,23	-2290,43
3	1D+1L+1RSY	-416443,21	-11468,83	-31242,35	-2386,31	-5860,32

Tabel 8.6 Reaksi Kolom 4K

NO	KOMBINASI	Gaya Dalam				
		P (kg)	Mx (kg.m)	My (kg.m)	Hx (kg)	Hy (kg)
1	1D+1L	-411551	446,43	23,72	537,33	-2,72
2	1D+1L+1RSX	-413873	-45031,68	-11912,3	-7591,47	-2169,61
3	1D+1L+1RSY	-412099	-10311,51	-30510,28	-1388,32	-5542,94

Pada desain tiang pancang ini akan digunakan kombinasi terbesar dari beban tetap dan beban sementara. Berdasarkan hal tersebut maka digunakan kombinasi beban sementara sebagai

acuan gaya dalam untuk desain pondasi. Oleh karena itu, didapat momen pada dasar poer, sebagai berikut :

$$M_{x_0} = M_x + H_y \times t = (-45,5 + -45,03) + ((-2,3 + -2,2) \times 1) = -95,03 \text{ tm}$$

$$M_{y_0} = M_y + H_x \times t = (-12,2 + -11,9) + ((-8,3 + -7,6) \times 1) = -40,02 \text{ tm}$$

Beban vertikal yang berkerja akibat pengaruh beban sementara dan beban sendiri poer sebagai berikut :

- Berat sendiri poer

$$8,9 \times 3 \times 1 \times 2,4 = 64,08 \text{ ton}$$

- Beban aksial kolom

$$\begin{aligned} \text{Beban tetap, P} &= \frac{(418,3 + 413,9)}{\Sigma P} \text{ ton} \\ \Sigma P &= 896,27 \text{ ton} \end{aligned}$$

8.4.3 Daya Dukung Ijin Satu Tiang

Daya dukung pada pondasi tiang pancang ditentukan oleh dua hal, yaitu daya dukung perlawanan tanah dari unsur dasar tiang pondasi (Q_p) dan daya dukung tanah dari unsur lekatan lateral tanah (Q_s). Sehingga daya dukung total dari tanah dapat dirumuskan :

$$Q = Q_p + Q_s.$$

Disamping peninjauan berdasarkan kekuatan tanah tempat pondasi tiang pancang di tanam, daya dukung suatu tiang juga harus ditinjau berdasarkan kekuatan bahan tiang pancang tersebut. Hasil daya dukung yang menentukan yang dipakai sebagai daya dukung ijin tiang.

Perhitungan daya dukung tiang pancang ini dilakukan berdasarkan hasil uji *Standard Penetration Test* (SPT) dengan kedalaman 16 m.

$$Q = Q_p + Q_s$$

$$Q_p = q_p \times A_p$$

$$= (N_p \times K) \times A_p$$

$$= (31,67 \times 20) \times 0,1159 = 73,4 \text{ ton}$$

Dimana :

N_p = Harga rata-rata SPT di sekitar $4D = (4 \times 0,5) = 2 \text{ m}$ di atas hingga $4D$ di bawah dasar tiang pondasi

$$= \left(\frac{28 + 31 + 36}{3} \right)$$

$$= 31,67$$

K = Koefisien karakteristik tanah

= 12 t/m², untuk tanah lempung

= 20 t/m², untuk tanah lanau berlempung

= 25 t/m², untuk tanah lanau berpasir

= 40 t/m², untuk tanah pasir

= 40 t/m², untuk lempung sangat kaku (Poulos, H.G)

Ap = Luas penampang dasar tiang

qp = tegangan di ujung tiang

Qs = qs × As

$$= \left(\frac{N_s}{3} + 1 \right) A_s$$

$$= \left(\frac{19,21}{3} + 1 \right) \times 25,12$$

$$= 186 \text{ ton}$$

Dimana :

qs = tegangan akibat lekatan lateral dalam t/m²

Ns = harga rata-rata sepanjang tiang yang tertanam, dengan batasan : $3 \leq N \leq 50$

As = keliling x panjang tiang yang terbenam

$$= \pi \times d \times h = 25,12 \text{ m}$$

Daya dukung ijin dari satu tiang pancang yang berdiri sendiri adalah daya dukung tiang total dibagi dengan suatu angka keamanan.

$$P_{ijin(tiang)} = \frac{Q_u}{SF} = \left(\frac{73,4 + 186}{2} \right) = 129,7 \text{ ton}$$

8.4.4 Tiang Pancang Kelompok

Jumlah tiang pancang ditentukan dengan perumusan berikut:

$$n = \frac{\Sigma P}{PE_k} \rightarrow Ek \text{ diasumsikan sebesar } 0,8$$

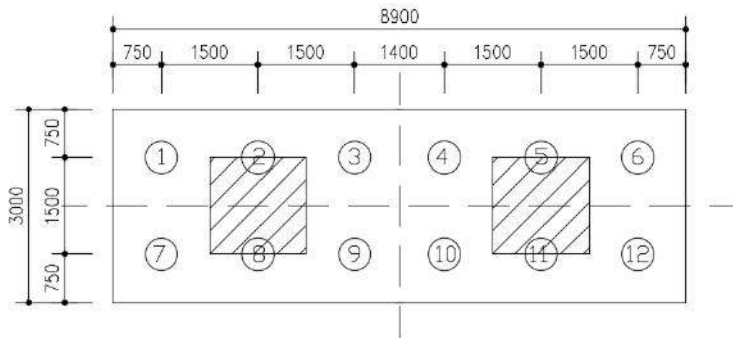
$$= \frac{896,27}{129,7 \times 0,8} = 8,6 \approx 12 \text{ bh}$$

Maka direncanakan dengan 12 pancang dengan letak tiang pancang pada poer diperlihatkan pada Gambar 8.6.

Syarat jarak antar tiang pancang (s) :

$$2,5D \leq Sx \leq 5D \rightarrow Sx = 1,5m$$

$$2,5D \leq Sy \leq 5D \rightarrow Sy = 1,5m$$



Gambar 8.6 Posisi Tiang Pancang Kolom P3

1) Kontrol Beban Aksial Satu Tiang Pancang

Berdasarkan Gambar 8.6 didapatkan jarak masing-masing tiang pancang terhadap titik berat poer, seperti yang diperlihatkan pada Tabel 8.7

Tabel 8.7 Jarak Tiang Pancang Kolom P3

tiang	sumbu (m)			
	x	x ²	y	y ²
p1	3,70	13,69	0,75	0,56
p2	2,20	4,84	0,75	0,56
p3	0,70	0,49	0,75	0,56
p4	0,70	0,49	0,75	0,56
p5	2,20	4,84	0,75	0,56
p6	3,70	13,69	0,75	0,56
p7	3,70	13,69	0,75	0,56
p8	2,20	4,84	0,75	0,56
p9	0,70	0,49	0,75	0,56
p10	0,70	0,49	0,75	0,56
p11	2,20	4,84	0,75	0,56
p12	3,70	13,69	0,75	0,56
Σ		76,08		6,75

Gaya yang dipikul oleh masing-masing tiang pancang ditentukan dengan perumusan berikut :

$$P_i = \frac{\Sigma P}{n} \pm \frac{M_{x_0} y_{\max}}{\Sigma y^2} \pm \frac{M_{y_0} x_{\max}}{\Sigma x^2}$$

$$P_{\max} = \frac{896,27}{12} + \frac{-95,03 \times 0,75}{6,75} + \frac{-40,02 \times 3,7}{76,08}$$

$$= 62,18 \text{ ton}$$

$$P_{\min} = \frac{896,27}{12} - \frac{-95,03 \times 0,75}{6,75} - \frac{-40,02 \times 3,7}{76,08}$$

$$= 87,19 \text{ ton}$$

Maka, tekanan maksimum satu tiang pancang adalah 87,19 ton

2) Menentukan Efisiensi Aktual

Efisiensi aktual ditentukan dengan menggunakan perumusan dari Convergence-Labarre sebagai berikut :

Jumlah tiang pancang dalam 1 baris, (m) = 6

Jumlah tiang pancang dalam 1 kolom, (n) = 2

$$Ek = 1 - \tan^{-1} \frac{D}{S} \left[\frac{(n-1)m + (m-1)n}{90mn} \right]$$

$$= 1 - \tan^{-1} \frac{0,5}{1,5} \left[\frac{(2-1)6 + (6-1)2}{90 \times 6 \times 2} \right] = 0,73$$

3) Kontrol Kapasitas

$$P_{max} \leq \bar{P}Ek$$

$$87,19 \text{ Ton} \leq 129,7 \times 0,73$$

$$87,19 \text{ Ton} \leq 94,28 \text{ Ton (OK)}$$

8.5 Perencanaan Poer (P1) Pada Kolom

Perencanaan tebal poer harus memenuhi suatu ketentuan bahwa kekuatan geser nominal harus lebih besar dari geser ponds yang terjadi.

Data Perencanaan Poer :

- Dimensi Kolom = 1500x1500mm
- Dimensi Poer = 4500x4500x1000mm
- Selimut Beton = 70 mm
- \emptyset Tulangan = 28 mm
- Mutu Beton, ($f'c$) = 35 MPa
- Diameter tiang pancang = 500 mm
- λ = 1 (Beton Normal)
- αs = 20 (Kolom Sudut)
- Rasio sisi panjang terhadap daerah reaksi, (β)

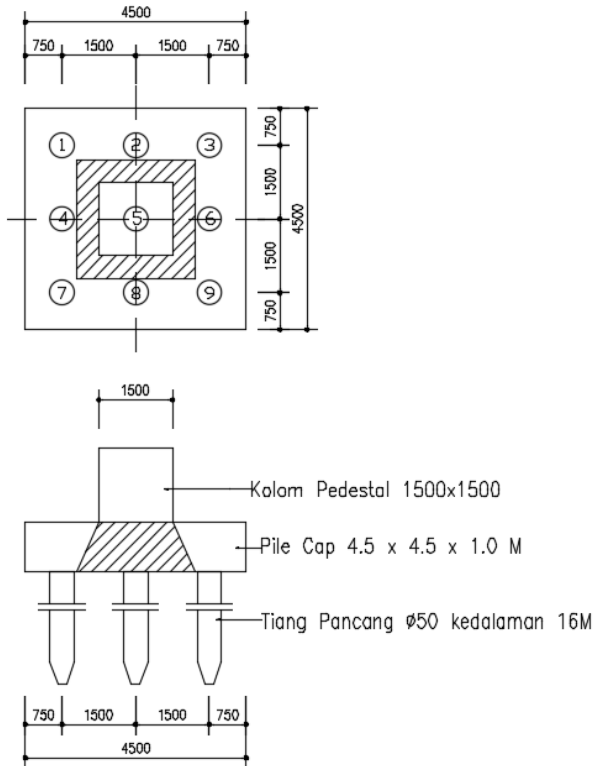
$$\beta = \frac{1500}{1500} = 1$$

$$d = 1000 - 70 - \frac{28}{2} = 916 \text{ mm}$$

1) Kontrol Geser Pons Akibat Kolom

Penampang kritis adalah pada daerah dibawah kolom seperti gambar 8.7 oleh karena itu, keliling penampang kritis (bo) ditentukan dengan perumusan dibawah :

$$\begin{aligned} bo &= \text{Keliling penampang kritis} \\ &= 2(b_{kolom} + d) + 2(h_{kolom} + d) \\ &= 2(1500 + 916) + 2(1500 + 916) = 9664 \text{ mm} \end{aligned}$$



Gambar 8.7 Geser Ponds Akibat Kolom

Berdasarkan SNI 2847-2013, Pasal 11.11.2.1 untuk pondasi tapak non-prategang, (V_c) ditentukan berdasarkan nilai yang terkecil dari poin berikut :

$$a. V_c = 0,17 \left(1 + \frac{2}{\beta} \right) \lambda \sqrt{f_c} b_o d$$

$$V_c = 0,17 \left(1 + \frac{2}{1} \right) 1 \times \sqrt{35} \times 9664 \times 916 = 26708,94 \text{ kN}$$

$$b. V_c = 0,083 \left(\frac{\alpha s}{b_o} + 2 \right) \lambda \sqrt{f_c} b_o d$$

$$V_c = 0,083 \left(\frac{20 \times 916}{9664} + 2 \right) \sqrt{35} \times 9664 \times 916$$

$$= 16933,61 \text{ kN (Menentukan)}$$

$$c. V_c = 0,33 \lambda \sqrt{f_c} b_o d$$

$$V_c = 0,33 \sqrt{35} \times 9664 \times 916$$

$$= 17282,25 \text{ kN}$$

Dari ketiga nilai V_c diatas diambil nilai terkecil, maka kapasitas penampang dalam memikul geser adalah 16933,61 kN = 1693,36 Ton

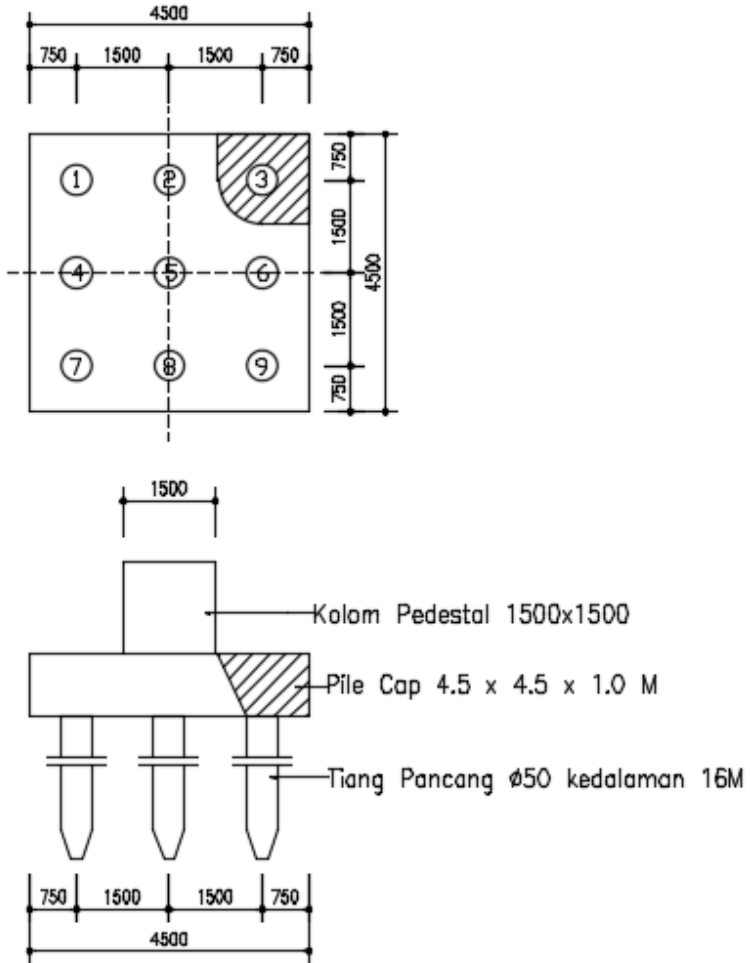
$$V_c \geq Pu \text{ kolom} - P_{\max}$$

$$1693,36 \text{ Ton} \geq 626,28 - 92,64 \text{ ton}$$

$$1693,36 \text{ Ton} \geq 533,64 \text{ ton (OK)}$$

2) Kontrol Geser Pons Akibat Pancang

$b_o = 5521$ mm (dari AutoCad)



Gambar 8.8 Geser Ponds Akibat Pancang

Berdasarkan SNI 2847-2013, Pasal 11.11.2.1 untuk pondasi tapak non-prategang, (V_c) ditentukan berdasarkan nilai yang terkecil dari poin berikut :

$$a. V_c = 0,17 \left(1 + \frac{2}{\beta} \right) \lambda \sqrt{f_c'} b_o d$$

$$V_c = 0,17 \left(1 + \frac{2}{1} \right) 1 \times \sqrt{35} \times 5521 \times 916 = 15278,3 \text{ kN}$$

$$b. V_c = 0,083 \left(\frac{\alpha s}{b_o} + 2 \right) \lambda \sqrt{f_c'} b_o d$$

$$V_c = 0,083 \left(\frac{20 \times 916}{4446,24} + 2 \right) \sqrt{35} \times 5521 \times 916$$

$$= 13213,07 \text{ kN}$$

$$c. V_c = 0,33 \lambda \sqrt{f_c'} b_o d$$

$$V_c = 0,33 \sqrt{35} \times 5521 \times 916$$

$$= 9886,0 \text{ kN (Menentukan)}$$

Dari ketiga nilai V_c diatas diambil nilai terkecil, maka kapasitas penampang dalam memikul geser adalah 9886,0 kN = 988,6 Ton

$$V_c \geq P_{\max}$$

$$988,6 \text{ Ton} \geq 92,64 \text{ ton (OK)}$$

8.5.1 Desain Penulangan Poer Kolom

Desain penulangan lentur poer dianalisis sebagai balok kantilever dengan perletakan jepit pada kolom. Beban yang bekerja adalah beban terpusat dari tiang pancang sebesar P dan berat sendiri poer sebesar q . Desain penulangan poer kolom akan menggunakan tulangan baja dengan data desain sebagai berikut :

1) Data Perencanaan

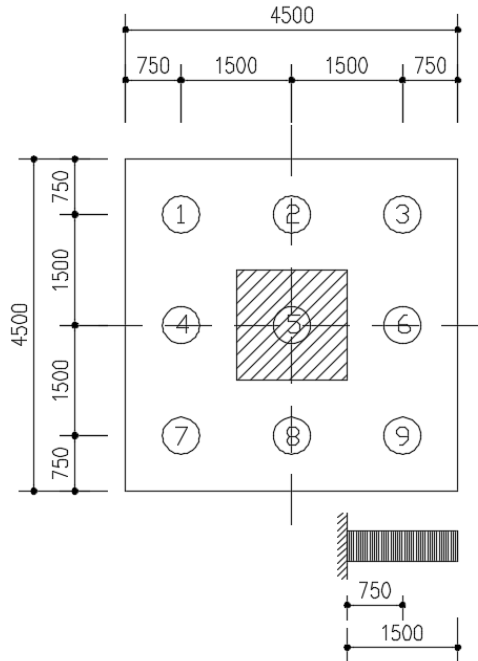
- Dimensi Poer, $B \times L$ = 4500 x 4500 mm
- Tebal Poer, = 1000 mm
- Mutu Beton, (f'_c) = 35 MPa
- Diameter Tul. Utama (\emptyset) = 28 mm
- Mutu Baja (f_y) = 400 MPa
- Elastisitas (E) = 200000 MPa
- Tebal Selimut Beton = 70 mm
- Tinggi efektif balok poer
 - $d_x = 1000 - 70 - 28/2 = 916$ mm
 - $d_x = 1000 - 70 - 28 - 28/2 = 888$ mm

2) Desain Penulangan Poer Sumbu X dan Y

Berat Poer, $qu = 4,5 \times 1 \times 2,4 = 10,8$ Ton/m

$Pt = 3P_{max} = 3 \times 92,64 = 277,91$ ton

Ilustrasi tersebut diperlihatkan pada Gambar 8.9 momen yang bekerja pada poer.



Gambar 8.9 Mekanika Beban Poer Kolom Arah X

$$\begin{aligned}
 M_u &= (Pt \times e) - \left(\frac{1}{2} q_u e^2 \right) \\
 &= (277,91 \times 0,75) - \left(\frac{1}{2} \times 10,8 \times 1,5^2 \right) = 196,28 \text{ tm}
 \end{aligned}$$

$$\begin{aligned}
 \rho_b &= \frac{0,85 \times \beta_1 \times f'_c}{f_y} \times \frac{600}{600 + f_y} \\
 &= \frac{0,85 \times 0,8 \times 35}{400} \times \frac{600}{(600 + 400)} = 0,0357
 \end{aligned}$$

$$\rho_{\max} = 0,75 \times \rho_b = 0,75 \times 0,0357 = 0,027$$

$$\rho_{\min} = \frac{1,4}{f_y} = \frac{1,4}{400} = 0,0035$$

$$m = \frac{f_y}{0,85 \times f'_c} = \frac{400}{0,85 \times 35} = 13,44$$

$$R_n = \frac{Mu}{\phi \times b \times d^2} = \frac{1962800000}{0,85 \times 4500 \times 916^2} = 0,612 \text{ N/mm}$$

$$\begin{aligned} \rho_{\text{perlu}} &= \frac{1}{m} \left(1 - \sqrt{1 - \frac{2m \times R_n}{f_y}} \right) \\ &= \frac{1}{13,44} \left(1 - \sqrt{1 - \frac{2 \times 13,44 \times 0,612}{400}} \right) \\ &= 0,002 < \rho_{\text{min}} \dots \dots \dots (\text{digunakan } \rho_{\text{min}}) \end{aligned}$$

$$A_{S_{\text{perlu}}} = 0,0035 \times 1000 \times 916 = 3206 \text{ mm}^2$$

Direncanakan tulangan lentur D 28 – 150 mm

$$A_s \text{ Pasang} = \frac{1000}{150} \times 0,25 \times \pi \times 28^2 = 4102 \text{ mm}^2 > A_{S_{\text{perlu}}} \text{ (OK)}$$

Maka, digunakan tulangan D28 – 150 pada sumbu X dan Y.

8.6 Perencanaan Poer (P2) Pada Kolom

Perencanaan tebal poer harus memenuhi suatu ketentuan bahwa kekuatan geser nominal harus lebih besar dari geser ponds yang terjadi.

Data Perencanaan Poer :

- Dimensi Kolom = 1500x1500mm
- Dimensi Poer = 3000x3000x1000mm
- Selimut Beton = 70 mm
- Ø Tulangan = 28 mm
- Mutu Beton, (f'_c) = 35 MPa
- Diameter tiang pancang = 500 mm
- λ = 1 (Beton Normal)
- α_s = 20 (Kolom Sudut)

- Rasio sisi panjang terhadap daerah reaksi, (β)

$$\beta = \frac{1500}{1500} = 1$$

$$d = 1000 - 70 - \frac{28}{2} = 916 \text{ mm}$$

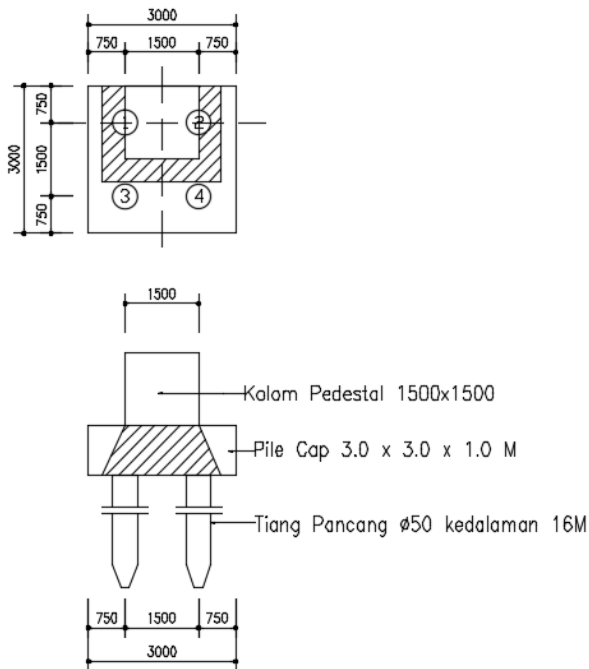
1) Kontrol Geser Pons Akibat Kolom

Penampang kritis adalah pada daerah dibawah kolom seperti gambar 8.10 oleh karena itu, keliling penampang kritis (bo) ditentukan dengan perumusan dibawah :

bo = Keliling penampang kritis

$$= 2(b_{kolom} + d) + 2(h_{kolom} + d/2)$$

$$= 2(1500 + 916) + 2(1500 + 916/2) = 8748 \text{ mm}$$



Gambar 8.10 Geser Ponds Akibat Kolom

Berdasarkan SNI 2847-2013, Pasal 11.11.2.1 untuk pondasi tapak non-prategang, (V_c) ditentukan berdasarkan nilai yang terkecil dari poin berikut :

$$a. V_c = 0,17 \left(1 + \frac{2}{\beta} \right) \lambda \sqrt{f_c} b_o d$$

$$V_c = 0,17 \left(1 + \frac{2}{1} \right) 1 \times \sqrt{35} \times 8748 \times 916 = 24177,34 \text{ kN}$$

$$b. V_c = 0,083 \left(\frac{\alpha s}{b_o} + 2 \right) \lambda \sqrt{f_c} b_o d$$

$$V_c = 0,083 \left(\frac{20 \times 916}{8748} + 2 \right) \sqrt{35} \times 8748 \times 916$$

$$= 16109,6 \text{ kN}$$

$$c. V_c = 0,33 \lambda \sqrt{f_c} b_o d$$

$$V_c = 0,33 \sqrt{35} \times 8748 \times 916$$

$$= 15644,16 \text{ kN (Menentukan)}$$

Dari ketiga nilai V_c diatas diambil nilai terkecil, maka kapasitas penampang dalam memikul geser adalah 15644,16 kN = 1564,42 Ton

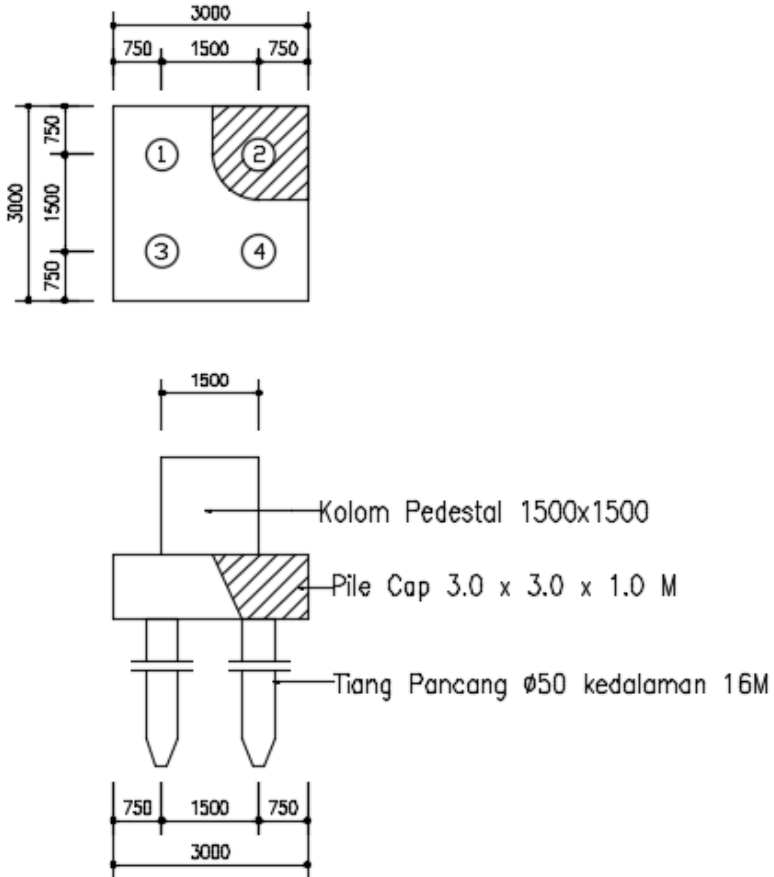
$$V_c \geq Pu \text{ kolom} - 2 P_{\max}$$

$$1564,42 \text{ Ton} \geq 258,37 - 2 \times 87,14 \text{ ton}$$

$$1564,42 \text{ Ton} \geq 84,1 \text{ ton (OK)}$$

2) Kontrol Geser Pons Akibat Pancang

$$b_o = (\pi \times (500 + 916)) = 4446,24 \text{ mm}$$



Gambar 8.11 Geser Ponds Akibat Pancang

Berdasarkan SNI 2847-2013, Pasal 11.11.2.1 untuk pondasi tapak non-prategang, (V_c) ditentukan berdasarkan nilai yang terkecil dari poin berikut :

$$a. V_c = 0,17 \left(1 + \frac{2}{\beta} \right) \lambda \sqrt{f_c'} b_o d$$

$$V_c = 0,17 \left(1 + \frac{2}{1} \right) 1 \times \sqrt{35} \times 5521 \times 916 = 15278,3 \text{ kN}$$

$$\text{b. } V_c = 0,083 \left(\frac{\alpha s}{b_o} + 2 \right) \lambda \sqrt{f_c} b_o d$$

$$V_c = 0,083 \left(\frac{20 \times 916}{4446,24} + 2 \right) \sqrt{35} \times 5521 \times 916$$

$$= 13213,07 \text{ kN}$$

$$\text{c. } V_c = 0,33 \lambda \sqrt{f_c} b_o d$$

$$V_c = 0,33 \sqrt{35} \times 5521 \times 916$$

$$= 9886,0 \text{ kN (Menentukan)}$$

Dari ketiga nilai V_c diatas diambil nilai terkecil, maka kapasitas penampang dalam memikul geser adalah 9886,0 kN = 988,6 Ton

$$V_c \geq P_{\max}$$

$$988,6 \text{ Ton} \geq 87,14 \text{ ton (OK)}$$

8.6.1 Desain Penulangan Poer Kolom

Desain penulangan lentur poer dianalisis sebagai balok kantilever dengan perletakan jepit pada kolom. Beban yang bekerja adalah beban terpusat dari tiang pancang sebesar P dan berat sendiri poer sebesar q . Desain penulangan poer kolom akan menggunakan tulangan baja dengan data desain sebagai berikut :

1) Data Perencanaan

- Dimensi Poer, $B \times L$ = 3000 x 3000 mm
- Tebal Poer, = 1000 mm
- Mutu Beton, (f'_c) = 35 MPa
- Diameter Tul. Utama (\emptyset) = 28 mm
- Mutu Baja (f_y) = 400 MPa

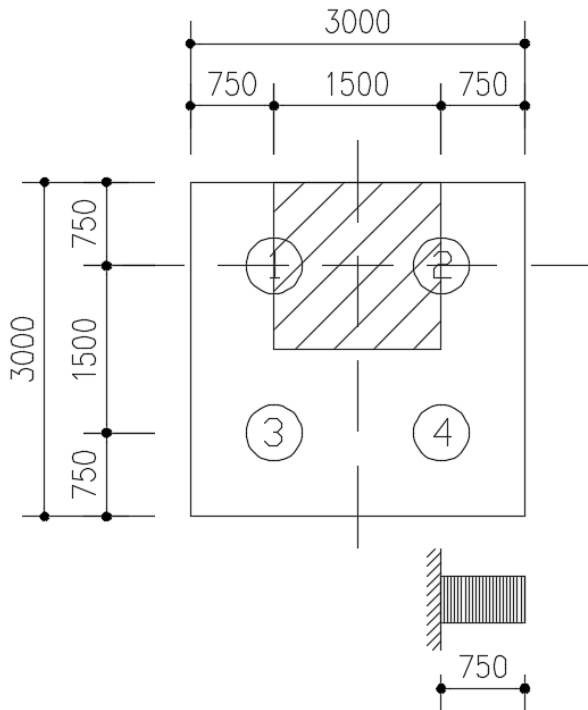
- Elastisitas (E) = 200000 MPa
- Tebal Selimut Beton = 70 mm
- Tinggi efektif balok poer
 - $d_x = 1000 - 70 - 28/2 = 916$ mm
 - $d_x = 1000 - 70 - 28 - 28/2 = 888$ mm

2) Desain Penulangan Poer Sumbu X

Berat Poer, $qu = 3 \times 1 \times 2,4 = 7,2$ Ton/m

$Pt = 0.Pmax = 0 \times 87,14 = 0$ ton

Ilustrasi tersebut diperlihatkan pada Gambar 8.12 momen yang bekerja pada poer.



Gambar 8.12 Mekanika Beban Poer Kolom Arah X

$$\begin{aligned}
 M_u &= \left(\frac{1}{2} q_u e^2 \right) \\
 &= \left(\frac{1}{2} \times 7,2 \times 0,75^2 \right) \\
 &= 2,03 \text{ tm} \\
 \rho_b &= \frac{0,85 \times \beta_1 \times f'_c}{f_y} \times \frac{600}{600 + f_y} \\
 &= \frac{0,85 \times 0,8 \times 35}{400} \times \frac{600}{(600 + 400)} = 0,0357 \\
 \rho_{\max} &= 0,75 \times \rho_b = 0,75 \times 0,0357 = 0,027 \\
 \rho_{\min} &= \frac{1,4}{f_y} = \frac{1,4}{400} = 0,0035 \\
 m &= \frac{f_y}{0,85 \times f'_c} = \frac{400}{0,85 \times 35} = 13,44 \\
 R_n &= \frac{M_u}{\phi \times b \times d^2} = \frac{20300000}{0,85 \times 3000 \times 916^2} = 0,0095 \text{ N/mm} \\
 \rho_{\text{perlu}} &= \frac{1}{m} \left(1 - \sqrt{1 - \frac{2m \times R_n}{f_y}} \right) \\
 &= \frac{1}{13,44} \left(1 - \sqrt{1 - \frac{2 \times 13,44 \times 0,0095}{400}} \right) \\
 &= 0,00002 < \rho_{\min} \dots \dots \dots (\text{digunakan } \rho_{\min}) \\
 A_{S_{\text{perlu}}} &= 0,0035 \times 1000 \times 916 = 3206 \text{ mm}^2 \\
 &\text{Direncanakan tulangan lentur D 28 – 150 mm}
 \end{aligned}$$

$$As \text{ Pasang} = \frac{1000}{150} \times 0,25 \times \pi \times 28^2 = 4102 \text{ mm}^2 > As_{\text{perlu}} \text{ (OK)}$$

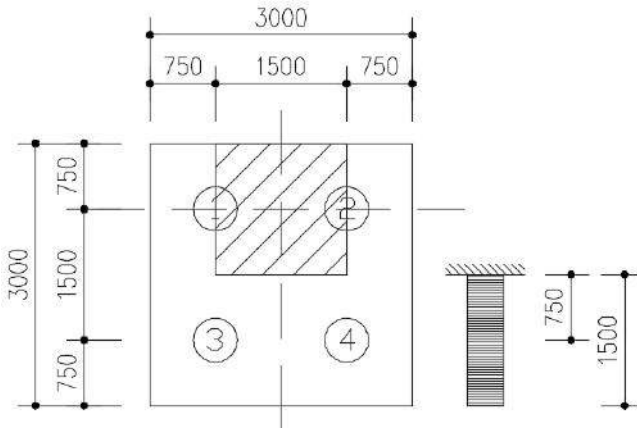
Maka, digunakan tulangan D28 – 150 pada sumbu X.

3) Desain Penulangan Poer Sumbu Y

Berat Poer, $qu = 3 \times 1 \times 2,4 = 7,2 \text{ Ton/m}$

$Pt = 2P_{\text{max}} = 2 \times 87,14 = 174,27 \text{ ton}$

Ilustrasi tersebut diperlihatkan pada Gambar 8.13 momen yang bekerja pada poer.



Gambar 8.13 Mekanika Beban Poer Kolom Arah Y

$$\begin{aligned} M_u &= (Pt \times e) - \left(\frac{1}{2} q_u e^2 \right) \\ &= (174,27 \times 0,75) - \left(\frac{1}{2} \times 7,2 \times 1,5^2 \right) \\ &= 122,6 \text{ tm} \\ \rho_b &= \frac{0,85 \times \beta_1 \times f'_c}{f_y} \times \frac{600}{600 + f_y} \\ &= \frac{0,85 \times 0,8 \times 35}{400} \times \frac{600}{(600 + 400)} = 0,0357 \end{aligned}$$

$$\rho_{\max} = 0,75 \times \rho_b = 0,75 \times 0,0357 = 0,027$$

$$\rho_{\min} = \frac{1,4}{f_y} = \frac{1,4}{400} = 0,0035$$

$$m = \frac{f_y}{0,85 \times f'_c} = \frac{400}{0,85 \times 35} = 13,44$$

$$R_n = \frac{Mu}{\phi \times b \times d^2} = \frac{1226000000}{0,85 \times 3000 \times 916^2} = 0,57 \text{ N/mm}$$

$$\rho_{\text{perlu}} = \frac{1}{m} \left(1 - \sqrt{1 - \frac{2m \times R_n}{f_y}} \right)$$

$$= \frac{1}{13,44} \left(1 - \sqrt{1 - \frac{2 \times 13,44 \times 0,57}{400}} \right)$$

$$= 0,0015 < \rho_{\min} \dots \dots \dots (\text{digunakan } \rho_{\min})$$

$$A_{S_{\text{perlu}}} = 0,0035 \times 1000 \times 916 = 3206 \text{ mm}^2$$

Direncanakan tulangan lentur D 28 – 150 mm

$$A_s \text{ Pasang} = \frac{1000}{150} \times 0,25 \times \pi \times 28^2 = 4102 \text{ mm}^2 > A_{S_{\text{perlu}}} \text{ (OK)}$$

Maka, digunakan tulangan D28 – 150 pada sumbu Y.

8.7 Perencanaan Poer (P3) Pada Kolom

Perencanaan tebal poer harus memenuhi suatu ketentuan bahwa kekuatan geser nominal harus lebih besar dari geser ponds yang terjadi.

Data Perencanaan Poer :

- Dimensi Kolom = 1500x1500mm
- Dimensi Poer = 8900x3000x1000mm
- Selimut Beton = 70 mm
- Ø Tulangan = 28 mm
- Mutu Beton, (f'_c) = 35 MPa

- Diameter tiang pancang = 500 mm
- λ = 1 (Beton Normal)
- α_s = 40 (Kolom Interior)
- Rasio sisi panjang terhadap daerah reaksi, (β)

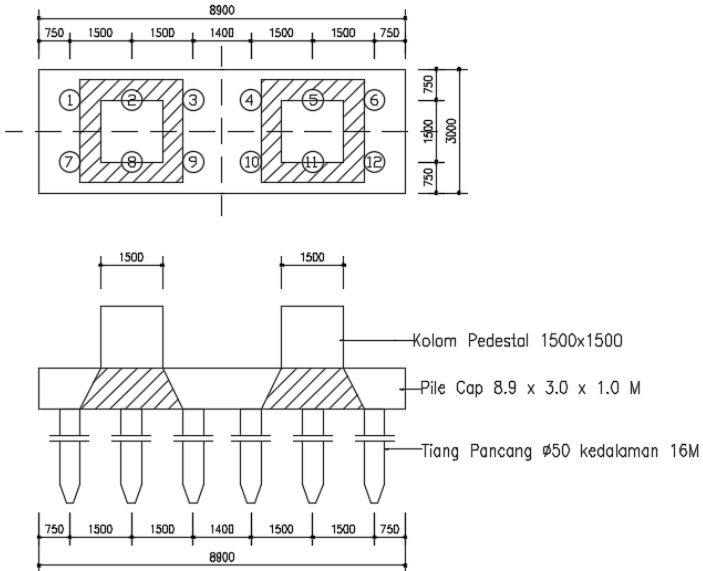
$$\beta = \frac{1500}{1500} = 1$$

$$d = 1000 - 70 - \frac{28}{2} = 916 \text{ mm}$$

1) Kontrol Geser Pons Akibat Kolom

Penampang kritis adalah pada daerah dibawah kolom seperti gambar 8.14 oleh karena itu, keliling penampang kritis (bo) ditentukan dengan perumusan dibawah :

$$\begin{aligned} bo &= \text{Keliling penampang kritis} \\ &= 2 \times (2(b_{kolom} + d) + 2(h_{kolom} + d)) \\ &= 2 \times (2(1500 + 916) + 2(1500 + 916)) = 19328 \text{ mm} \end{aligned}$$



Gambar 8.14 Geser Ponds Akibat Kolom

Berdasarkan SNI 2847-2013, Pasal 11.11.2.1 untuk pondasi tapak non-prategang, (V_c) ditentukan berdasarkan nilai yang terkecil dari poin berikut :

$$a. V_c = 0,17 \left(1 + \frac{2}{\beta} \right) \lambda \sqrt{f_c} b_o d$$

$$V_c = 0,17 \left(1 + \frac{2}{1} \right) 1 \times \sqrt{35} \times 19328 \times 916 = 53417,87 \text{ kN}$$

$$b. V_c = 0,083 \left(\frac{\alpha s}{b_o} + 2 \right) \lambda \sqrt{f_c} b_o d$$

$$V_c = 0,083 \left(\frac{40 \times 916}{19328} + 2 \right) \sqrt{35} \times 19328 \times 916$$

$$= 33867,22 \text{ kN (Menentukan)}$$

$$c. V_c = 0,33 \lambda \sqrt{f_c} b_o d$$

$$V_c = 0,33 \sqrt{35} \times 19328 \times 916$$

$$= 34564,51 \text{ kN}$$

Dari ketiga nilai V_c diatas diambil nilai terkecil, maka kapasitas penampang dalam memikul geser adalah $33867,22 \text{ kN} = 3386,72 \text{ Ton}$

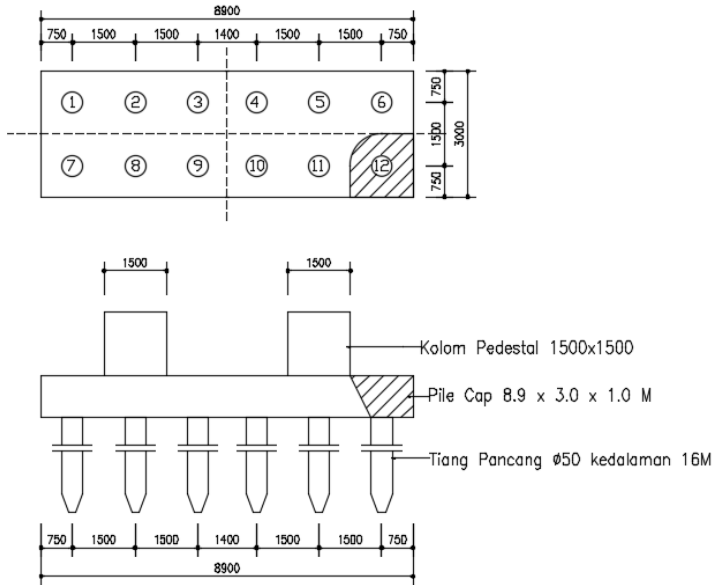
$$V_c \geq Pu \text{ kolom} - 4 P_{max}$$

$$3386,72 \text{ Ton} \geq 832,19 - 4 \times 87,19 \text{ ton}$$

$$3386,72 \text{ Ton} \geq 483,41 \text{ ton (OK)}$$

2) Kontrol Geser Pons Akibat Pancang

$$b_o = (\pi \times (500 + 916)) = 4446,24 \text{ mm}$$



Gambar 8.15 Geser Ponds Akibat Pancang

Berdasarkan SNI 2847-2013, Pasal 11.11.2.1 untuk pondasi tapak non-prategang, (V_c) ditentukan berdasarkan nilai yang terkecil dari poin berikut :

$$a. V_c = 0,17 \left(1 + \frac{2}{\beta} \right) \lambda \sqrt{f_c} b_o d$$

$$V_c = 0,17 \left(1 + \frac{2}{1} \right) 1 \times \sqrt{35} \times 5521 \times 916 = 15278,3 \text{ kN}$$

$$b. V_c = 0,083 \left(\frac{\alpha_s d}{b_o} + 2 \right) \lambda \sqrt{f_c} b_o d$$

$$V_c = 0,083 \left(\frac{20 \times 916}{4446,24} + 2 \right) \sqrt{35} \times 5521 \times 916$$

$$= 13213,07 \text{ kN}$$

$$c. V_c = 0,33\lambda\sqrt{f'_c}b_o d$$

$$V_c = 0,33\sqrt{35} \times 5521 \times 916$$

$$= 9886,0 \text{ kN (Menentukan)}$$

Dari ketiga nilai V_c diatas diambil nilai terkecil, maka kapasitas penampang dalam memikul geser adalah $9886,0 \text{ kN} = 988,6 \text{ Ton}$

$$V_c \geq P_{max}$$

$$988,6 \text{ Ton} \geq 87,19 \text{ ton (OK)}$$

8.7.1 Desain Penulangan Poer Kolom

Desain penulangan lentur poer dianalisis dengan SAP2000 dengan perletakan jepit pada kolom. Beban yang bekerja adalah beban terpusat dari tiang pancang sebesar P dan berat sendiri poer sebesar q . Desain penulangan poer kolom akan menggunakan tulangan baja dengan data desain sebagai berikut :

1) Data Perencanaan

- Dimensi Poer, $B \times L$ = 8900 x 3000 mm
- Tebal Poer, = 1000 mm
- Mutu Beton, (f'_c) = 35 MPa
- Diameter Tul. Utama (\emptyset) = 28 mm
- Mutu Baja (f_y) = 400 MPa
- Elastisitas (E) = 200000 MPa
- Tebal Selimut Beton = 70 mm
- Tinggi efektif balok poer
 - $d_x = 1000 - 70 - 28/2 = 916 \text{ mm}$
 - $d_x = 1000 - 70 - 28 - 28/2 = 888 \text{ mm}$

2) Desain Penulangan Poer Sumbu X

$$\text{Berat Poer, } qu = 8900 \times 1 \times 2,4 = 21,36 \text{ Ton/m}$$

$$Pt = 2 P_{max} = 2 \times 87,19 = 174,39 \text{ ton}$$

$$Mu = 207,43 \text{ tm (SAP2000)}$$

$$\begin{aligned}\rho_b &= \frac{0,85 \times \beta_1 \times f'_c}{f_y} \times \frac{600}{600 + f_y} \\ &= \frac{0,85 \times 0,8 \times 35}{400} \times \frac{600}{(600 + 400)} = 0,0357\end{aligned}$$

$$\rho_{\max} = 0,75 \times \rho_b = 0,75 \times 0,0357 = 0,027$$

$$\rho_{\min} = \frac{1,4}{f_y} = \frac{1,4}{400} = 0,0035$$

$$m = \frac{f_y}{0,85 \times f'_c} = \frac{400}{0,85 \times 35} = 13,44$$

$$R_n = \frac{Mu}{\phi \times b \times d^2} = \frac{2074300000}{0,85 \times 8900 \times 916^2} = 0,33 \text{ N/mm}$$

$$\begin{aligned}\rho_{\text{perlu}} &= \frac{1}{m} \left(1 - \sqrt{1 - \frac{2m \times R_n}{f_y}} \right) \\ &= \frac{1}{13,44} \left(1 - \sqrt{1 - \frac{2 \times 13,44 \times 0,33}{400}} \right) \\ &= 0,00082 < \rho_{\min} \dots \dots \dots (\text{digunakan } \rho_{\min})\end{aligned}$$

$$A_{S_{\text{perlu}}} = 0,0035 \times 1000 \times 916 = 3206 \text{ mm}^2$$

Direncanakan tulangan lentur D 28 – 150 mm

$$A_s \text{ Pasang} = \frac{1000}{150} \times 0,25 \times \pi \times 28^2 = 4102,9 \text{ mm}^2 > A_{S_{\text{perlu}}} \text{ (OK)}$$

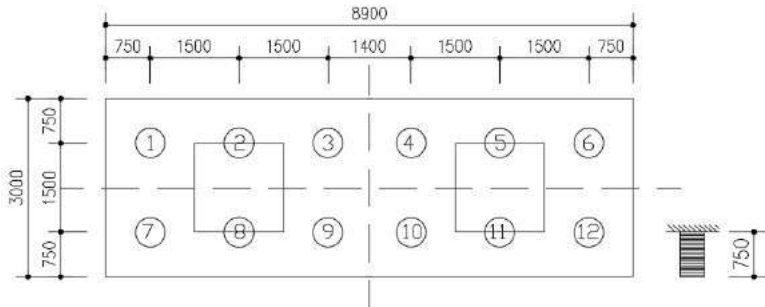
Maka, digunakan tulangan D28 – 150 pada sumbu X.

3) Desain Penulangan Poer Sumbu Y

$$\text{Berat Poer, } qu = 3 \times 1 \times 2,4 = 7,2 \text{ Ton/m}$$

$$Pt = 0 \cdot P_{\max} = 0 \times 87,19 = 0 \text{ ton}$$

Ilustrasi mekanika beban poer kolom arah Y diperlihatkan pada Gambar 8.16.



Gambar 8.16 Mekanika Beban Poer Kolom Arah Y

$$M_u = \left(\frac{1}{2} q_u e^2 \right)$$

$$= \left(\frac{1}{2} \times 7,2 \times 0,75^2 \right)$$

$$= 2,03 \text{ tm}$$

$$\rho_b = \frac{0,85 \times \beta_1 \times f'_c}{f_y} \times \frac{600}{600 + f_y}$$

$$= \frac{0,85 \times 0,8 \times 35}{400} \times \frac{600}{(600 + 400)} = 0,0357$$

$$\rho_{\max} = 0,75 \times \rho_b = 0,75 \times 0,0357 = 0,027$$

$$\rho_{\min} = \frac{1,4}{f_y} = \frac{1,4}{400} = 0,0035$$

$$m = \frac{f_y}{0,85 \times f'_c} = \frac{400}{0,85 \times 35} = 13,44$$

$$R_n = \frac{M_u}{\phi \times b \times d^2} = \frac{20300000}{0,85 \times 3000 \times 916^2} = 0,0095 \text{ N/mm}$$

$$\begin{aligned}\rho_{\text{perlu}} &= \frac{1}{m} \left(1 - \sqrt{1 - \frac{2m \times Rn}{f_y}} \right) \\ &= \frac{1}{13,44} \left(1 - \sqrt{1 - \frac{2 \times 13,44 \times 0,0095}{400}} \right) \\ &= 0,00002 < \rho_{\text{min}} \dots \dots \dots (\text{digunakan } \rho_{\text{min}})\end{aligned}$$

$$A_{S_{\text{perlu}}} = 0,0035 \times 1000 \times 916 = 3206 \text{ mm}^2$$

Direncanakan tulangan lentur D 28 – 150 mm

$$A_s \text{ Pasang} = \frac{1000}{150} \times 0,25 \times \pi \times 28^2 = 4102,93 \text{ mm}^2 > A_{S_{\text{perlu}}} \text{ (OK)}$$

Maka, digunakan tulangan D28 – 150 pada sumbu Y.

8.8 Perencanaan Kolom Pedestal

Besarnya gaya – gaya dalam kolom diperoleh dari hasil perhitungan struktur primer pada bab sebelumnya.

$$P_u = 692771,6 \text{ kg}$$

$$V_u = 9656,28 \text{ kg}$$

$$M_u = 49040,76 \text{ kgm}$$

1) Data perencanaan kolom :

$$b = 1500 \text{ mm}$$

$$h = 1500 \text{ mm}$$

$$A_g = 2250000 \text{ mm}^2$$

Mutu bahan :

$$f'_c = 35 \text{ Mpa}$$

$$f_y = 400 \text{ Mpa}$$

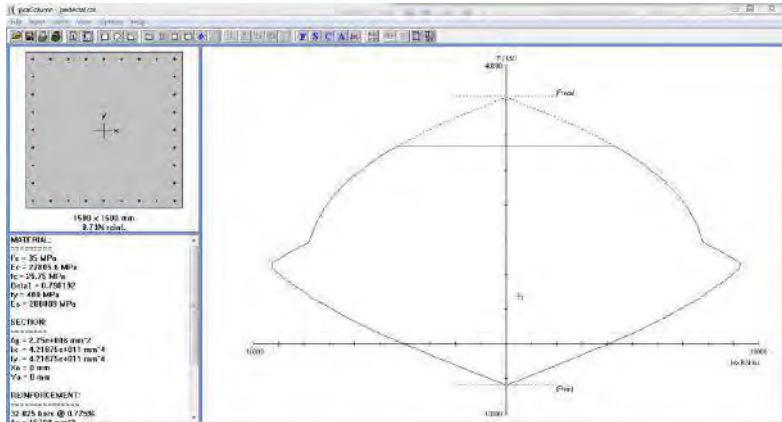
$$\text{Selimut beton} = 50 \text{ mm}$$

$$\text{Tulangan sengkang} = \varnothing 12 \text{ mm}$$

$$\text{Tulangan utama} = \varnothing 25 \text{ mm}$$

$$\text{Tinggi efektif} = 1500 - (50 + 12 + \frac{1}{2} \cdot 25) = 1425,5 \text{ mm}$$

2) Penulangan Lentur pada Kolom
 Dari PCACOL didapat nilai $\rho = 0,73 \%$



Gambar 8.17 Hasil Analisis Kolom Pedestal dengan Program PCAColumn

$$A_s = 0,0073 \times 1500 \times 1425,5 \\ = 15609,2 \text{ mm}^2$$

Dipasang tulangan 32 D25, $A_s = 15700 \text{ mm}^2$ dipasang merata 4 sisi.

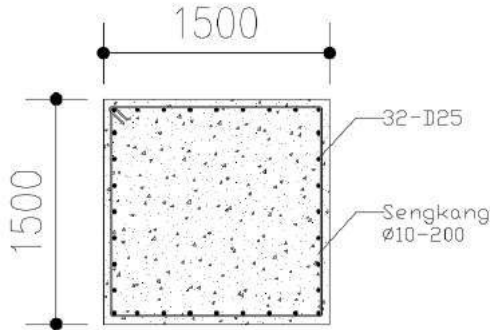
3) Penulangan Geser Kolom
 $V_u = 9656,28 \text{ kg} = 96562,8 \text{ N}$

Kekuatan geser yang disumbangkan oleh beton :

$$V_c = 2 \left(1 + \frac{N_u}{14A_g} \right) \frac{1}{6} \sqrt{f_c} b d \\ = 2 \left(1 + \frac{6927716}{14 \times 2250000} \right) \frac{1}{6} \sqrt{35} \times 1500 \times 1425,5 \\ = 5144051,01 \text{ N}$$

$$\begin{aligned}\phi V_c &= 0.6 \times V_c \\ &= 0,6 \times 5144051,01 \\ &= 3086430,6 \text{ N} > V_u = 96562,8 \text{ N}\end{aligned}$$

Sehingga tidak perlu tulangan geser. Jadi dipasang tulangan geser praktis $\emptyset 10 - 200$, sengkang dua kaki.



Gambar 8.18 Penulangan Kolom Pedestal

4) Kontrol Panjang Penyaluran

$$\frac{ld}{db} = \frac{3fy \cdot \alpha \cdot \beta \cdot \lambda}{5\sqrt{fc}}$$

α = faktor lokasi penulangan = 1,00

β = faktor pelapis = 1,00

λ = faktor ukuran batang tulangan = 1,00

db = 25 mm

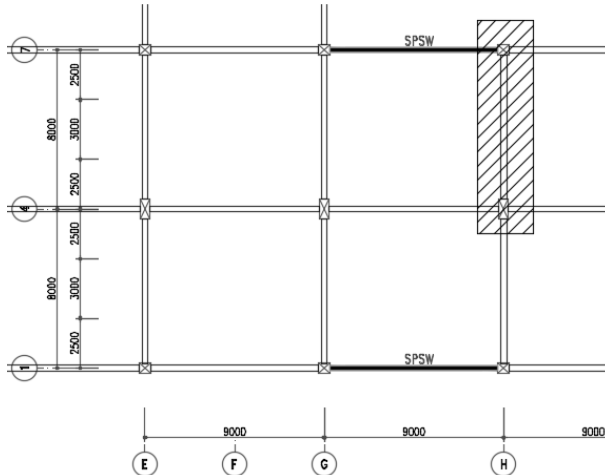
$$\frac{ld}{25} = \frac{3 \cdot 250 \cdot 1,00 \cdot 1,00 \cdot 1,00}{5\sqrt{35}} = 633,9 \text{ mm}$$

Digunakan panjang penyaluran sebesar $40db = 40 \cdot 25 = 1000 \text{ mm}$

8.9 Perencanaan Sloof Pondasi

Berdasarkan SNI 2847-2012 Pasal 21.12.3.2 Balok sloof TB 1 yang didesain pada as H 4-7 seperti yang ditunjukkan pada

gambar 8.19 sebagai pengikat horizontal antara *poer* harus diporoposikan sedemikian hingga dimensi penampang terkecil harus sama dengan atau lebih besar jarak antar kolom yang disambung dibagi dengan 20, tetapi tidak perlu lebih besar dari 450.



Gambar 8.19 Letak Sloof yang Ditinjau

$$\frac{l}{20} = \frac{8000}{20} = 400mm$$

Direncanakan dimensi sloof terkecil adalah 400 mm, maka dimensi tersebut telah memenuhi kriteria pendesainan. Penulangan sloof didasarkan pada kondisi pembebanan dimana beban yang diterima adalah beban aksial dan lentur sehingga penulangannya seperti penulangan pada kolom.

Data Perencanaan :

Dimensi Sloof	= 400 x 600 mm
Mutu Beton, ($f'c$)	= 35 MPa
Diameter Tulangan	= D22
Mutu Baja (f_y)	= 400 MPa
Decking	= 40 mm

$$\begin{aligned}
 \text{Gaya aksial kolom} &= 692771,6 \text{ kg} \\
 Pu_{\text{ Sloof}} &= 10\% \times 692771,6 \text{ kg} \\
 &= 69277,16 \text{ kg} \\
 &= 692771,6 \text{ N}
 \end{aligned}$$

Tegangan ijin Tarik beton :

$$f_{ijin} = 0,7\sqrt{f_c'} = 0,7\sqrt{35} = 4,14 \text{ MPa}$$

Tegangan tarik yang terjadi :

$$f_r = \frac{Pu}{\varnothing bh} = \frac{692771,6}{0,8.400.600} = 3,6 \text{ MPa} \leq f_{ijin} \text{ (Oke)}$$

Beban yang diterima sloof :

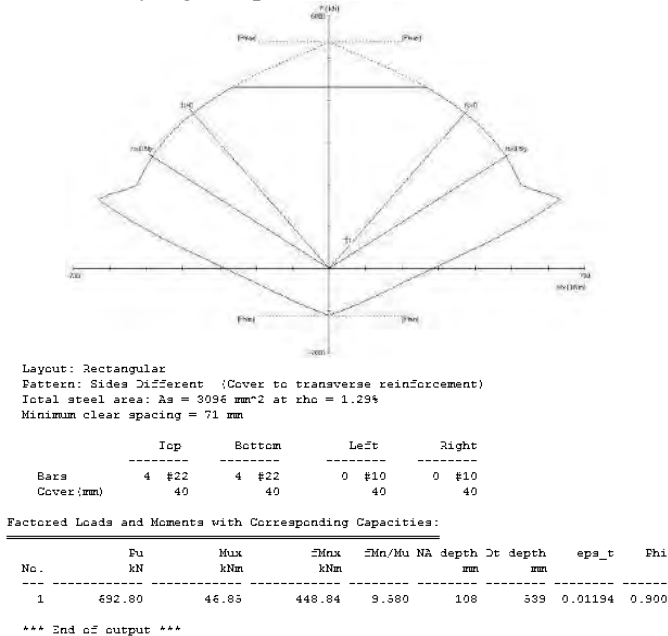
$$\begin{aligned}
 \text{- berat sendiri} &= 0,40 \times 0,60 \times 2400 = 576 \text{ kg/m} \\
 \text{- berat dinding} &= \frac{4 \times 100}{} = 400 \text{ kg/m} + \\
 & \qquad \qquad \qquad q_d = 976 \text{ kg/m}
 \end{aligned}$$

Konstruksi sloof merupakan balok menerus sehingga pada perhitungan momen digunakan momen koefisien. Besarnya koefisien momen tersebut ditentukan pada SNI 2847-2012 Pasal 8.3.3, sebagaimana diperlihatkan dengan analisis berikut ini:

$$q_u = 1,2 \times 976 = 1171,2 \text{ kg/m}$$

$$\begin{aligned}
 M_{u \text{ tumpuan}} &= \frac{1}{16} \times q_u \times l^2 \\
 &= \frac{1}{16} \times 1171,2 \times 8^2 \\
 &= 4684,8 \text{ kg.m} = 46848000 \text{ N.mm}
 \end{aligned}$$

Grafik interaksi yang didapat dari PCACOL



Gambar 8.20 Diagram Interaksi Sloof 40/60

Dari analisis PCACOL didapat :

$$\rho = 0,0129$$

Dipasang tulangan = 8 D 22 ($A_s = 3039,52 \text{ mm}^2$)

Cek lebar sloof

Jarak minimum yang disyaratkan antar dua batang tulangan adalah 25mm. Minimum lebar tie beam yang diperlukan akan diperoleh sebagai berikut :

Cek jarak tulangan (dipasang 1 layer)

space antar tulangan = 25 mm

selimut beton = 40 mm

tulangan = 22 mm

sengkang = 10 mm

$$\begin{aligned}
 &= (3 \times 25) + (2 \times 40) + (4 \times 22) + (2 \times 10) \\
 &= 263 \text{ mm} < 400 \text{ mm} \text{ (OK)}
 \end{aligned}$$

Lebar balok 400 mm cukup untuk pemasangan tulangan dalam 1 layer.

8.9.1 Penulangan Geser Sloof

$$V_u = \frac{1}{2} \times q_u \times l = \frac{1}{2} \times 1171,2 \times 8 = 4684,8 \text{ kg}$$

Berdasarkan SNI 2847-2012 Pasal 11.2.1.2 penentuan kekuatan geser beton yang terbebani aksial tekan ditentukan dengan perumusan berikut :

$$A_g = 400 \times 600 = 240000 \text{ mm}^2$$

$$d = 600 - 40 - 10 - 22/2 = 539 \text{ mm}$$

$$V_c = 0,17 \left(1 + \frac{P_u}{14A_g} \right) \lambda \sqrt{f_c'} \cdot b_w \cdot d$$

$$V_c = 0,17 \left(1 + \frac{6927716}{14 \cdot 240000} \right) 1 \sqrt{35} \cdot 400 \cdot 539 = 663913,3 \text{ N}$$

$$\phi V_c = 0,75 \times 663913,3 = 497935 \text{ N} > V_u = 46848 \text{ N (OK)}$$

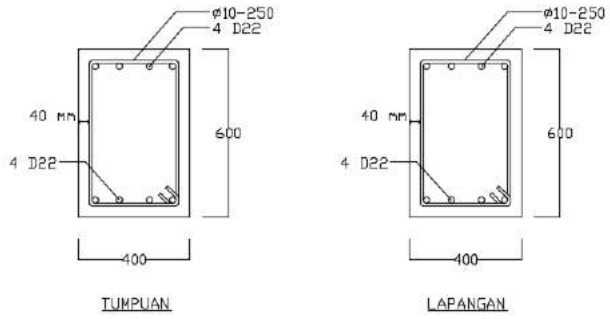
Berdasarkan SNI 2847-2012 Pasal 21.12.3 jarak antara tulangan transversal pada sloof tidak boleh melebihi yang lebih kecil dari :

$$\frac{d}{2} \text{ dan } 300 \text{ mm}$$

$$\frac{d}{2} = \frac{539}{2} = 269,5 \text{ mm}$$

Dipasang sengkang $\varnothing 10 - 250 \text{ mm}$

Detail tulangan sloof



Gambar 8.21 Detail Sloof 400 x 600



INSTITUT TEKNOLOGI
SEPULUH NOPEMBER
FAKULTAS TEKNIK SIPIL DAN
PERENCANAAN
JURUSAN TEKNIK SIPIL
LINTAS JALUR
2016

MODIFIKASI PERENCANAAN
STRUKTUR GEDUNG ASRAMA
PRESIDENT UNIVERSITY
CIKARANG MENGGUNAKAN
HEXAGONAL CASTELLATED
BEAM DAN KOLOM CONCRETE
FILLED STEEL TUBE

NAMA PROYEK

PROYEK GEDUNG ASRAMA
PRESIDENT UNIVERSITY
CIKARANG

DOSEN KONSULTASI

BUDI SUSWANTO, ST., MT., Ph.D
NIP.197301281998021002

Ir. HEPPY KRISTHANTO, MS
NIP.196103111987011001

MAHASISWA

SYAUQUY RIBHAN
NRP. 3114105001

SKALA

1 : 450

JUDUL GAMBAR

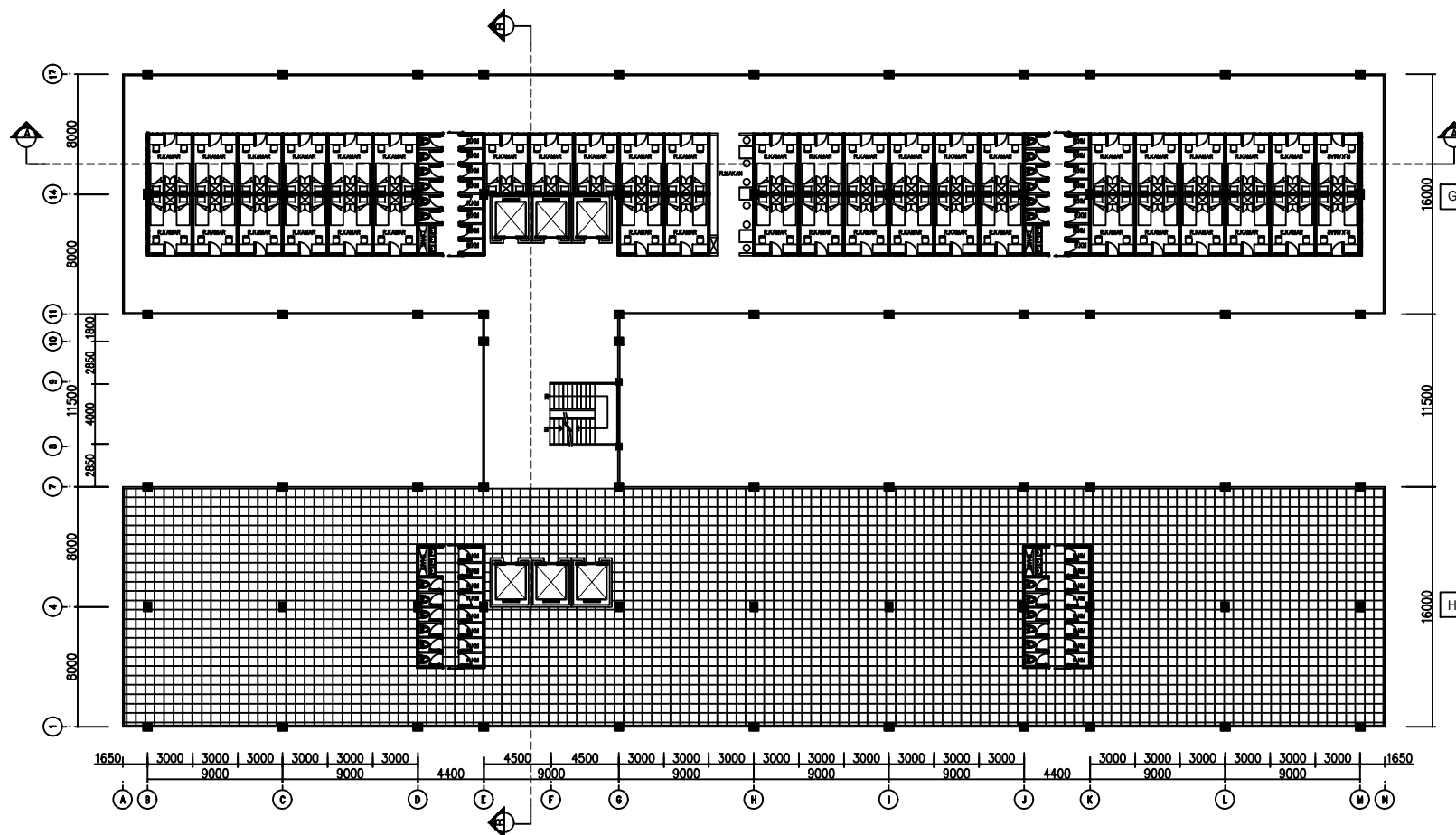
DENAH LT. DASAR
GEDUNG G DAN H

NO.GBR

01

JML.GBR

25



DENAH LANTAI DASAR



INSTITUT TEKNOLOGI
SEPULUH NOPEMBER
FAKULTAS TEKNIK SIPIL DAN
PERENCANAAN
JURUSAN TEKNIK SIPIL
LINTAS JALUR
2016

MODIFIKASI PERENCANAAN
STRUKTUR GEDUNG ASRAMA
PRESIDENT UNIVERSITY
CIKARANG MENGGUNAKAN
HEXAGONAL CASTELLATED
BEAM DAN KOLOM CONCRETE
FILLED STEEL TUBE

NAMA PROYEK

PROYEK GEDUNG ASRAMA
PRESIDENT UNIVERSITY
CIKARANG

DOSEN KONSULTASI

BUDI SUSWANTO, ST., MT., Ph.D
NIP.197301281998021002

Ir. HEPPY KRISTIHANTO, MS
NIP.196103111987011001

MAHASISWA

SYAUQUY RIBHAN
NRP. 3114105001

SKALA

1 : 450

JUDUL GAMBAR

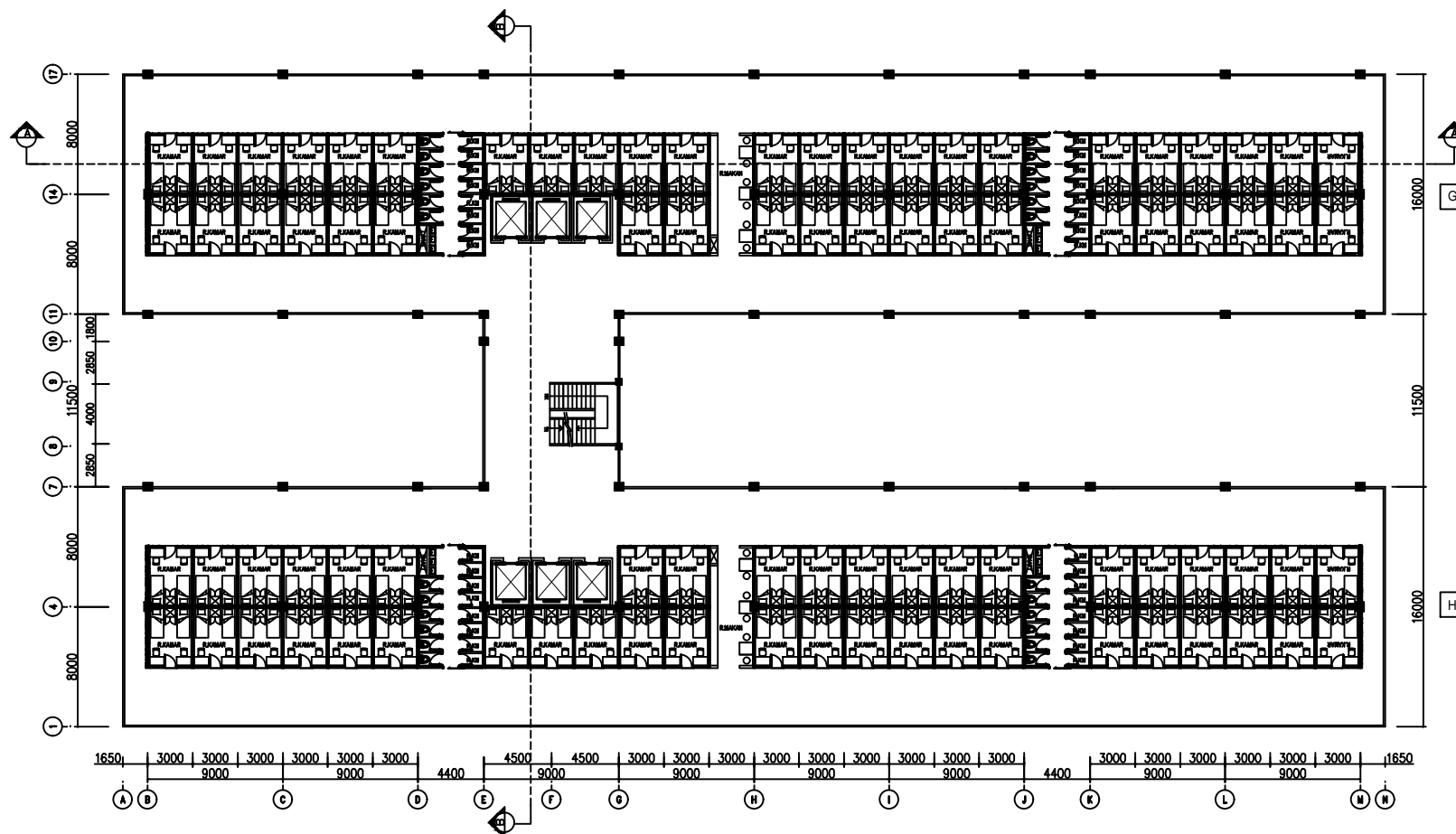
DENAH LT. 1-9
GEDUNG G DAN H

NO.GBR

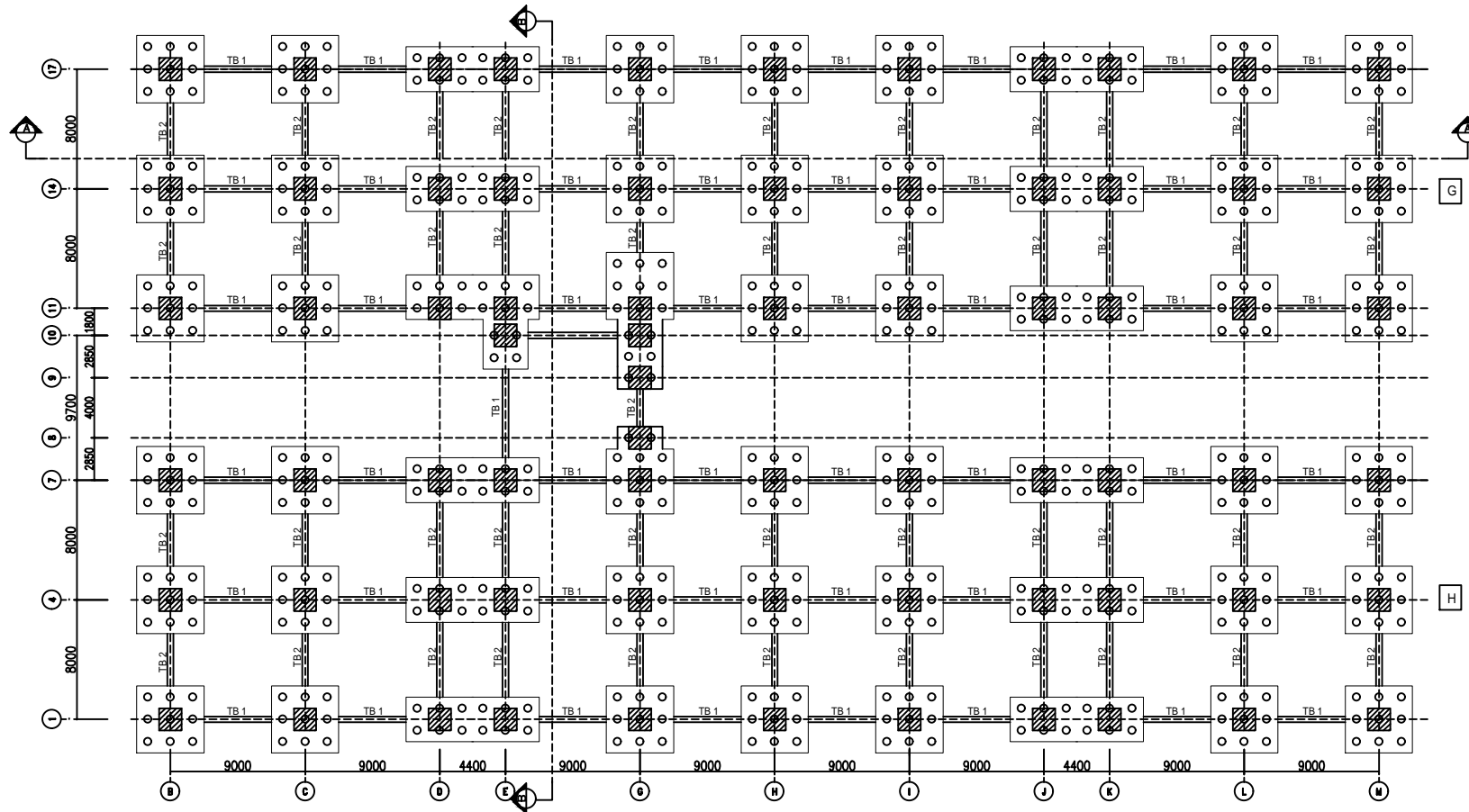
02

JML.GBR

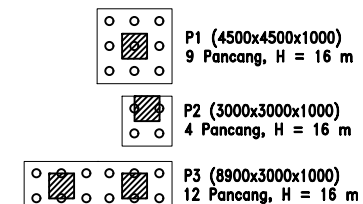
25



DENAH LANTAI 1-9



DENAH PONDASI DAN SLOOF





INSTITUT TEKNOLOGI
SEPULUH NOPEMBER
FAKULTAS TEKNIK SIPIL DAN
PERENCANAAN
JURUSAN TEKNIK SIPIL
LINTAS JALUR
2016

MODIFIKASI PERENCANAAN
STRUKTUR GEDUNG ASRAMA
PRESIDENT UNIVERSITY
CIKARANG MENGGUNAKAN
HEXAGONAL CASTELLATED
BEAM DAN KOLOM CONCRETE
FILLED STEEL TUBE

NAMA PROYEK

PROYEK GEDUNG ASRAMA
PRESIDENT UNIVERSITY
CIKARANG

DOSEN KONSULTASI

BUDI SUSWANTO, ST., MT., Ph.D
NIP.197301281998021002

Ir. HEPPY KRISTIJANTO, MS
NIP.196103111987011001

MAHASISWA

SYAUQUY RIBHAN
NRP. 3114105001

SKALA

1 : 450

JUDUL GAMBAR

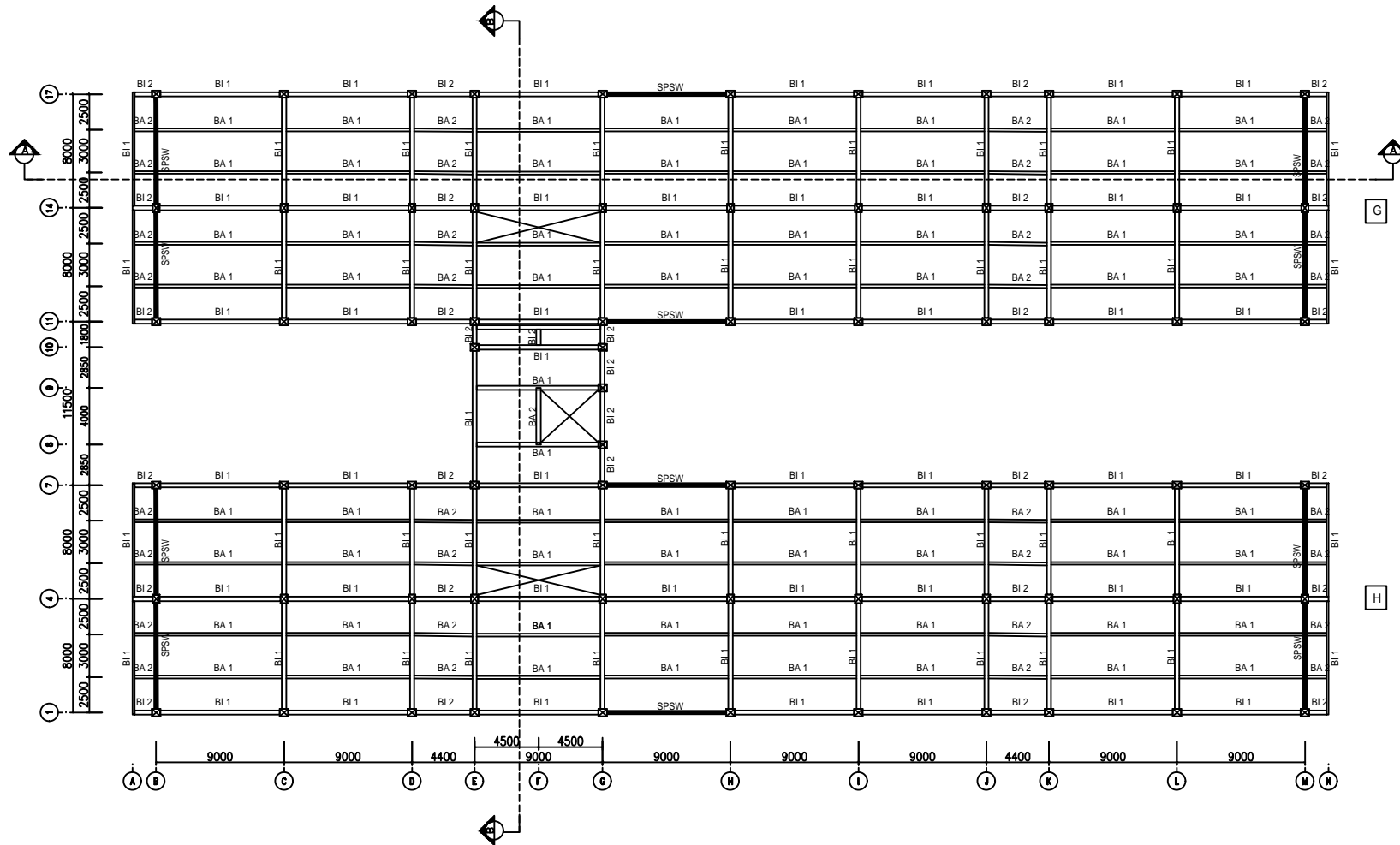
DENAH KOLOM DAN BALOK
LT. 1-3
GEDUNG G DAN H

NO.GBR

05

JML.GBR

25



DENAH KOLOM DAN BALOK LANTAI 1-3

BALOK

BI 1 : CB 625.200.10.16

BA 2 : WF 350.175.7.11

BA 1 : CB 495.200.7.11

BA 2 : WF 250.175.7.11

KOLOM : HSS 800.800.25.25



INSTITUT TEKNOLOGI
SEPULUH NOPEMBER
FAKULTAS TEKNIK SIPIL DAN
PERENCANAAN
JURUSAN TEKNIK SIPIL
LINTAS JALUR
2016

MODIFIKASI PERENCANAAN
STRUKTUR GEDUNG ASRAMA
PRESIDENT UNIVERSITY
CIKARANG MENGGUNAKAN
HEXAGONAL CASTELLATED
BEAM DAN KOLOM CONCRETE
FILLED STEEL TUBE

NAMA PROYEK

PROYEK GEDUNG ASRAMA
PRESIDENT UNIVERSITY
CIKARANG

DOSEN KONSULTASI

BUDI SUSWANTO, ST., MT., Ph.D
NIP.197301281998021002

Ir. HEPPY KRISTIJANTO, MS
NIP.196103111987011001

MAHASISWA

SYAUQUY RIBHAN
NRP. 3114105001

SKALA

1 : 450

JUDUL GAMBAR

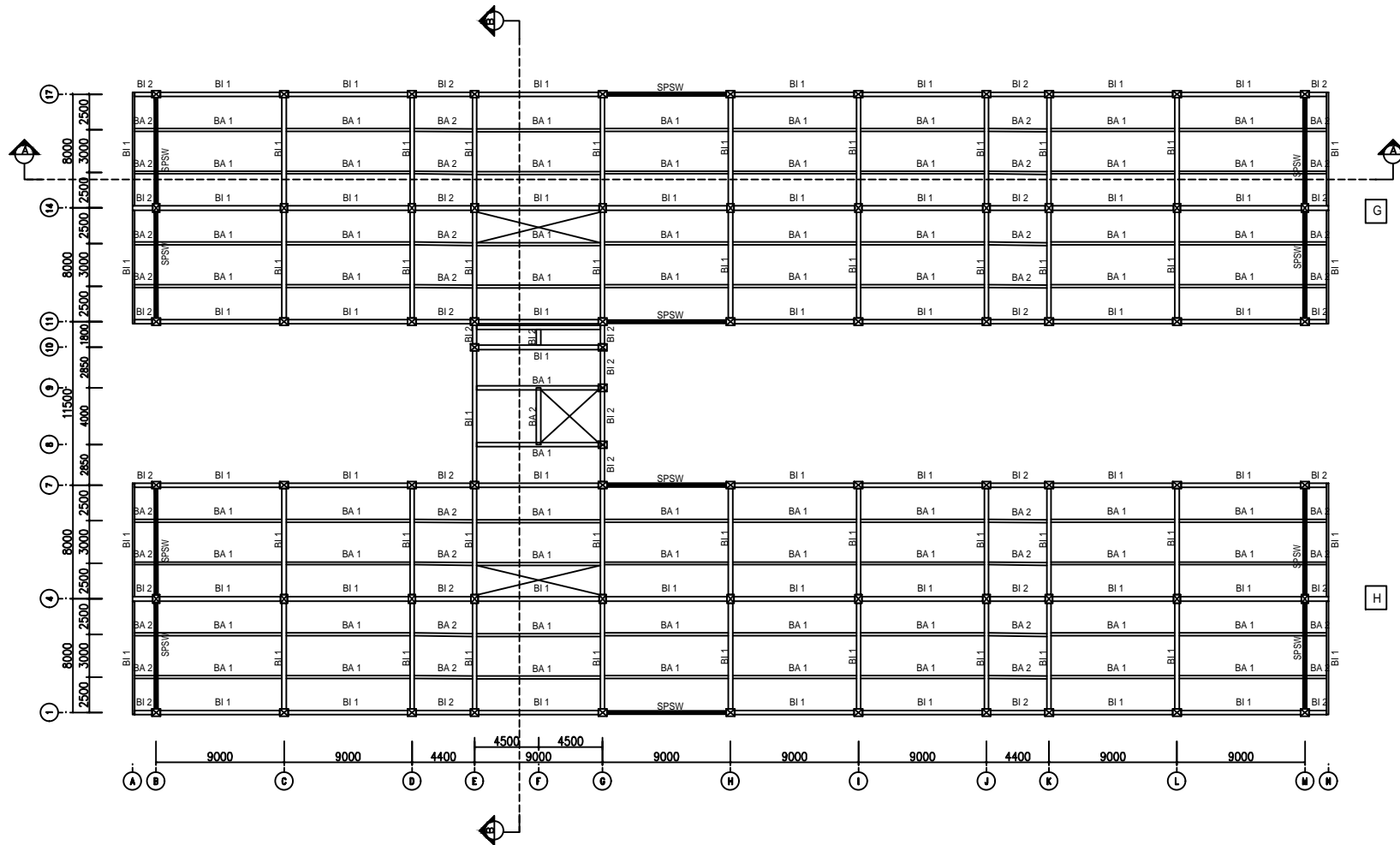
DENAH KOLOM DAN BALOK
LT. 4-6
GEDUNG G DAN H

NO.GBR

06

JML.GBR

25



DENAH KOLOM DAN BALOK LANTAI 4-6

BALOK
BI 1 : CB 550.300.11.18
BI 2 : WF 300.200.9.14
BA 1 : CB 495.200.7.11
BA 2 : WF 250.175.7.11
KOLOM : HSS 700.700.22.22



INSTITUT TEKNOLOGI
SEPULUH NOPEMBER
FAKULTAS TEKNIK SIPIL DAN
PERENCANAAN
JURUSAN TEKNIK SIPIL
LINTAS JALUR
2016

MODIFIKASI PERENCANAAN
STRUKTUR GEDUNG ASRAMA
PRESIDENT UNIVERSITY
CIKARANG MENGGUNAKAN
HEXAGONAL CASTELLATED
BEAM DAN KOLOM CONCRETE
FILLED STEEL TUBE

NAMA PROYEK

PROYEK GEDUNG ASRAMA
PRESIDENT UNIVERSITY
CIKARANG

DOSEN KONSULTASI

BUDI SUSWANTO, ST., MT., Ph.D
NIP.197301281998021002
Ir. HEPPY KRISTIJANTO, MS
NIP.196103111987011001

MAHASISWA

SYAUQUY RIBHAN
NRP. 3114105001

SKALA

1 : 450

JUDUL GAMBAR

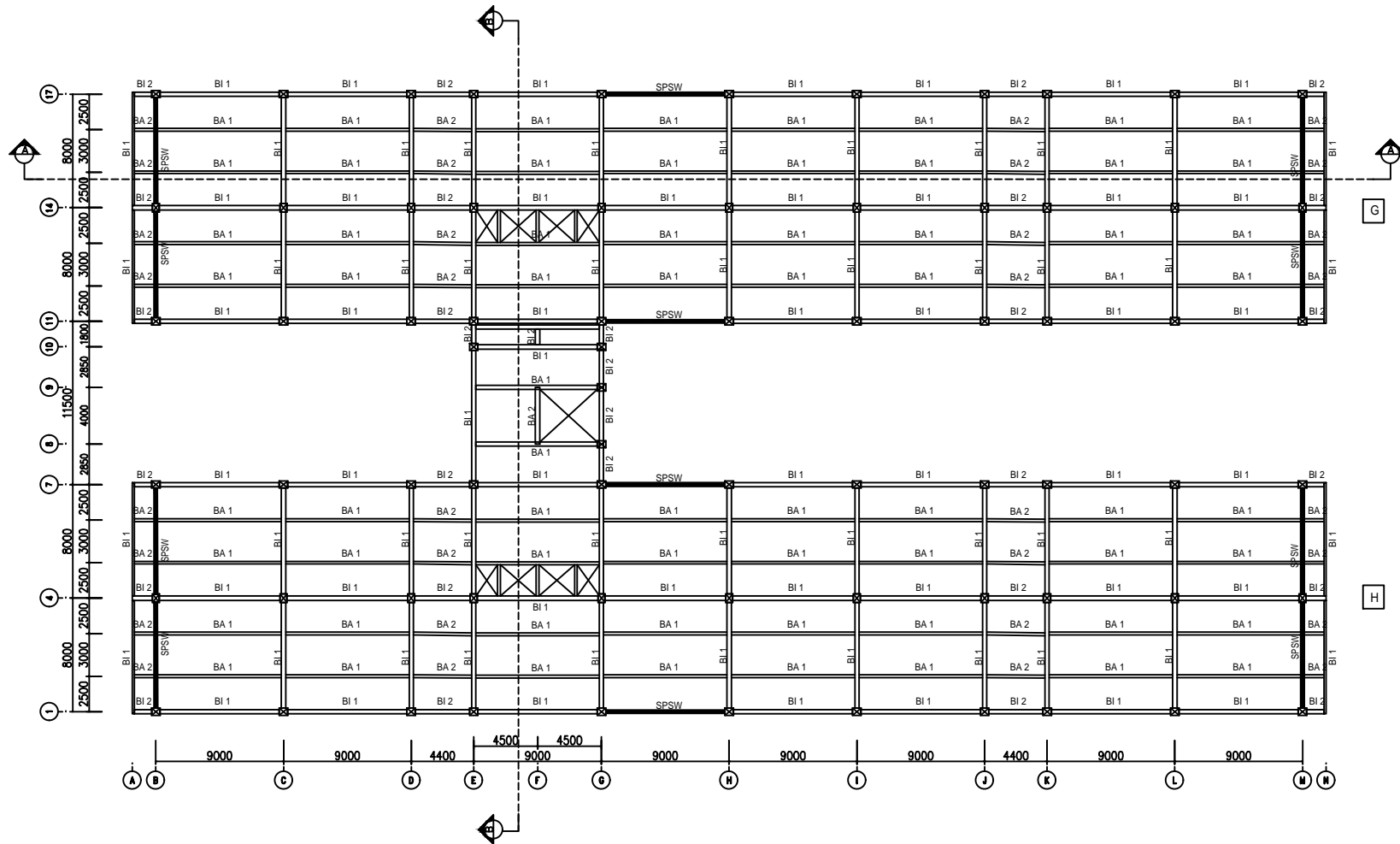
DENAH KOLOM DAN BALOK
LT. ATAP
GEDUNG G DAN H

NO.GBR

08

JML.GBR

25



DENAH KOLOM DAN BALOK LANTAI ATAP

BALOK
BI 1 : CB 437,5.200.10.16
BI 2 : WF 250.125.5.8
BA 1 : CB 437,5.175.7.11
BA 2 : WF 250.125.5.8
KOLOM : HSS 600.600.16.16



INSTITUT TEKNOLOGI
SEPULUH NOPEMBER
FAKULTAS TEKNIK SIPIL DAN
PERENCANAAN
JURUSAN TEKNIK SIPIL
LINTAS JALUR
2016

MODIFIKASI PERENCANAAN
STRUKTUR GEDUNG ASRAMA
PRESIDENT UNIVERSITY
CIKARANG MENGGUNAKAN
HEXAGONAL CASTELLATED
BEAM DAN KOLOM CONCRETE
FILLED STEEL TUBE

NAMA PROYEK

PROYEK GEDUNG ASRAMA
PRESIDENT UNIVERSITY
CIKARANG

DOSEN KONSULTASI

BUDI SUSWANTO, ST., MT., Ph.D
NIP.197301281998021002

Ir. HEPPY KRISTHANTO, MS
NIP.196103111987011001

MAHASISWA

SYAUQY RIBHAN
NRP. 3114105001

SKALA

JUDUL GAMBAR

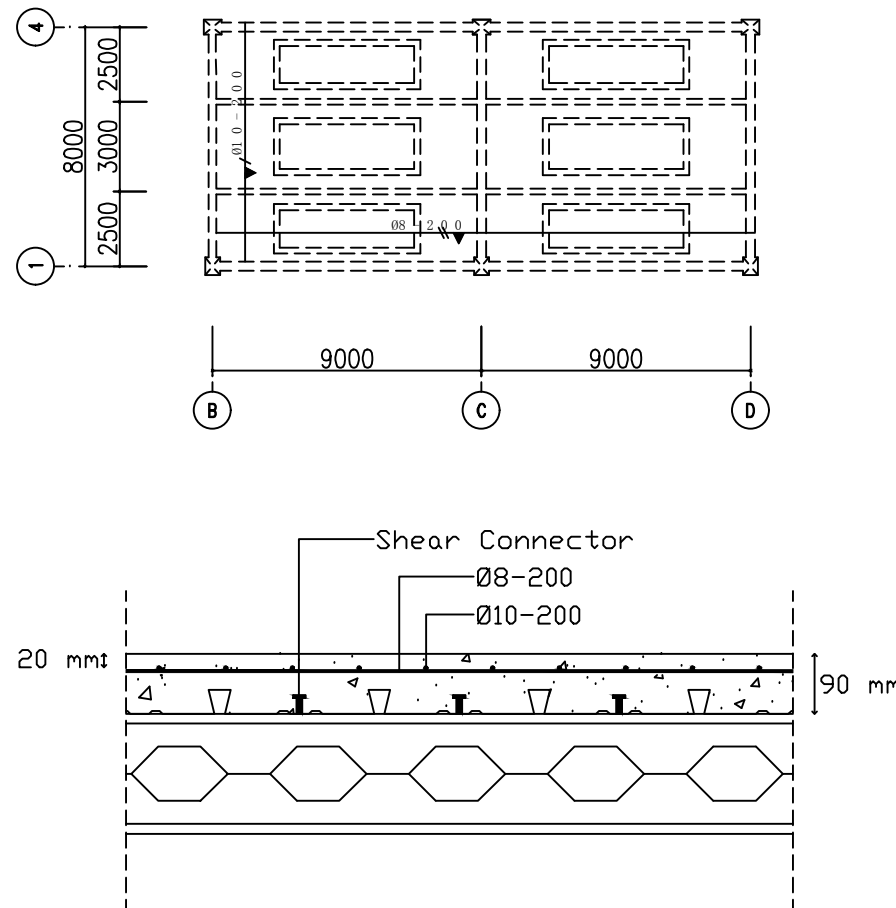
PENULANGAN
PELAT LANTAI ATAP
GEDUNG G DAN H

NO.GBR

JML.GBR

09

23



PENULANGAN PELAT LANTAI ATAP



INSTITUT TEKNOLOGI
SEPULUH NOPEMBER
FAKULTAS TEKNIK SIPIL DAN
PERENCANAAN
JURUSAN TEKNIK SIPIL
LINTAS JALUR
2016

MODIFIKASI PERENCANAAN
STRUKTUR GEDUNG ASRAMA
PRESIDENT UNIVERSITY
CIKARANG MENGGUNAKAN
HEXAGONAL CASTELLATED
BEAM DAN KOLOM CONCRETE
FILLED STEEL TUBE

NAMA PROYEK

PROYEK GEDUNG ASRAMA
PRESIDENT UNIVERSITY
CIKARANG

DOSEN KONSULTASI

BUDI SUSWANTO, ST., MT., Ph.D
NIP.197301281998021002

Ir. HEPPY KRISTHANTO, MS
NIP.196103111987011001

MAHASISWA

SYAUQY RIBHAN
NRP. 3114105001

SKALA

JUDUL GAMBAR

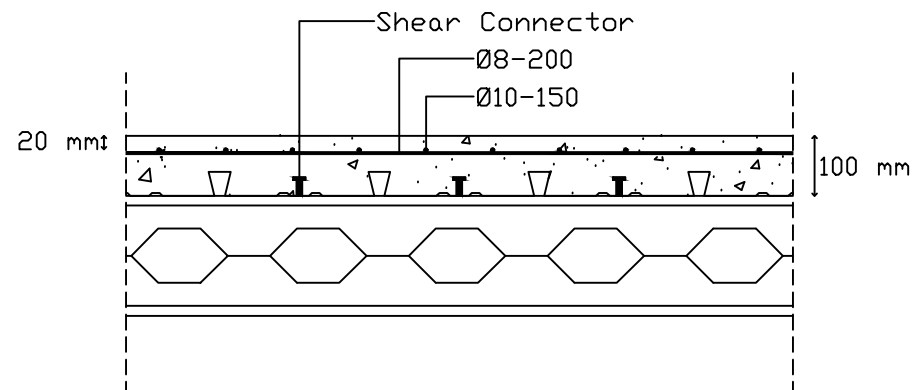
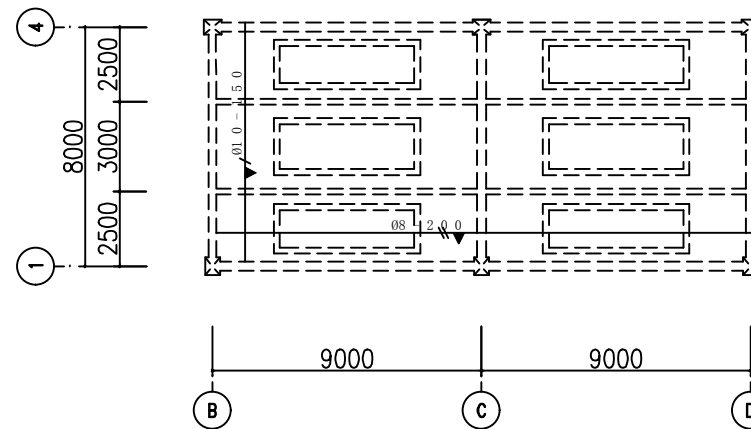
PENULANGAN
PELAT LANTAI ASRAMA
GEDUNG G DAN H

NO.GBR

10

JML.GBR

23



PENULANGAN PELAT LANTAI ASRAMA



INSTITUT TEKNOLOGI
SEPULUH NOPEMBER
FAKULTAS TEKNIK SIPIL DAN
PERENCANAAN
JURUSAN TEKNIK SIPIL
LINTAS JALUR
2016

MODIFIKASI PERENCANAAN
STRUKTUR GEDUNG ASRAMA
PRESIDENT UNIVERSITY
CIKARANG MENGGUNAKAN
HEXAGONAL CASTELLATED
BEAM DAN KOLOM CONCRETE
FILLED STEEL TUBE

NAMA PROYEK

PROYEK GEDUNG ASRAMA
PRESIDENT UNIVERSITY
CIKARANG

DOSEN KONSULTASI

BUDI SUSWANTO, ST., MT., Ph.D
NIP.197301281998021002
Ir. HEPPY KRISTIANTO, MS
NIP.196103111987011001

MAHASISWA

SYAUQY RIBHAN
NRP. 3114105001

SKALA

1 : 450

JUDUL GAMBAR

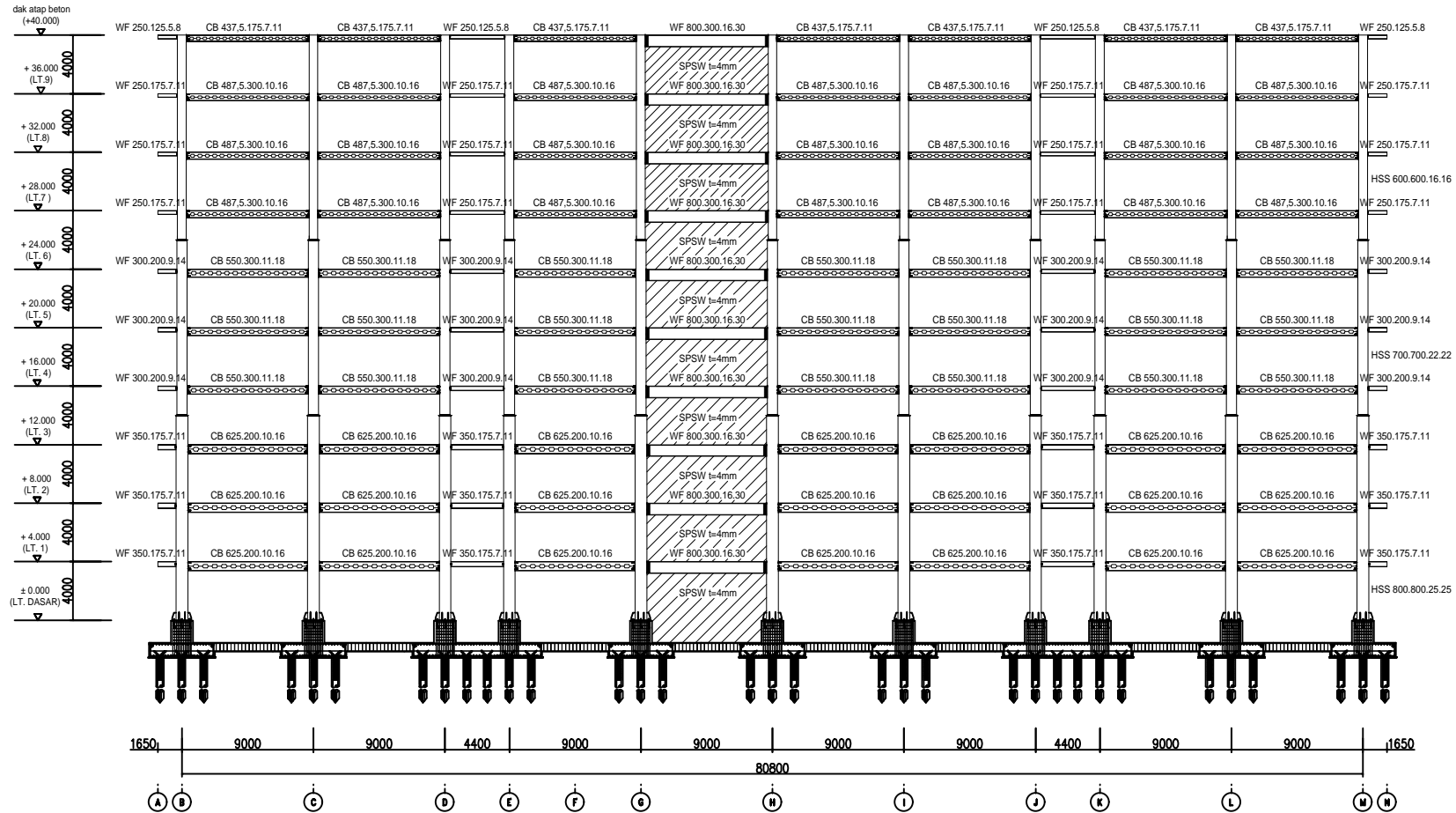
POTONGAN A-A
GEDUNG G

NO.GBR

JML.GBR

11

25



POTONGAN A-A



INSTITUT TEKNOLOGI
SEPULUH NOPEMBER
FAKULTAS TEKNIK SIPIL DAN
PERENCANAAN
JURUSAN TEKNIK SIPIL
LINTAS JALUR
2016

MODIFIKASI PERENCANAAN
STRUKTUR GEDUNG ASRAMA
PRESIDENT UNIVERSITY
CIKARANG MENGGUNAKAN
HEXAGONAL CASTELLATED
BEAM DAN KOLOM CONCRETE
FILLED STEEL TUBE

NAMA PROYEK

PROYEK GEDUNG ASRAMA
PRESIDENT UNIVERSITY
CIKARANG

DOSEN KONSULTASI

BUDI SUSWANTO, ST., MT., Ph.D
NIP.197301281998021002
Ir. HEPPY KRISTIANTO, MS
NIP.19610311987011001

MAHASISWA

SYAUQUY RIBHAN
NRP. 3114105001

SKALA

1 : 400

JUDUL GAMBAR

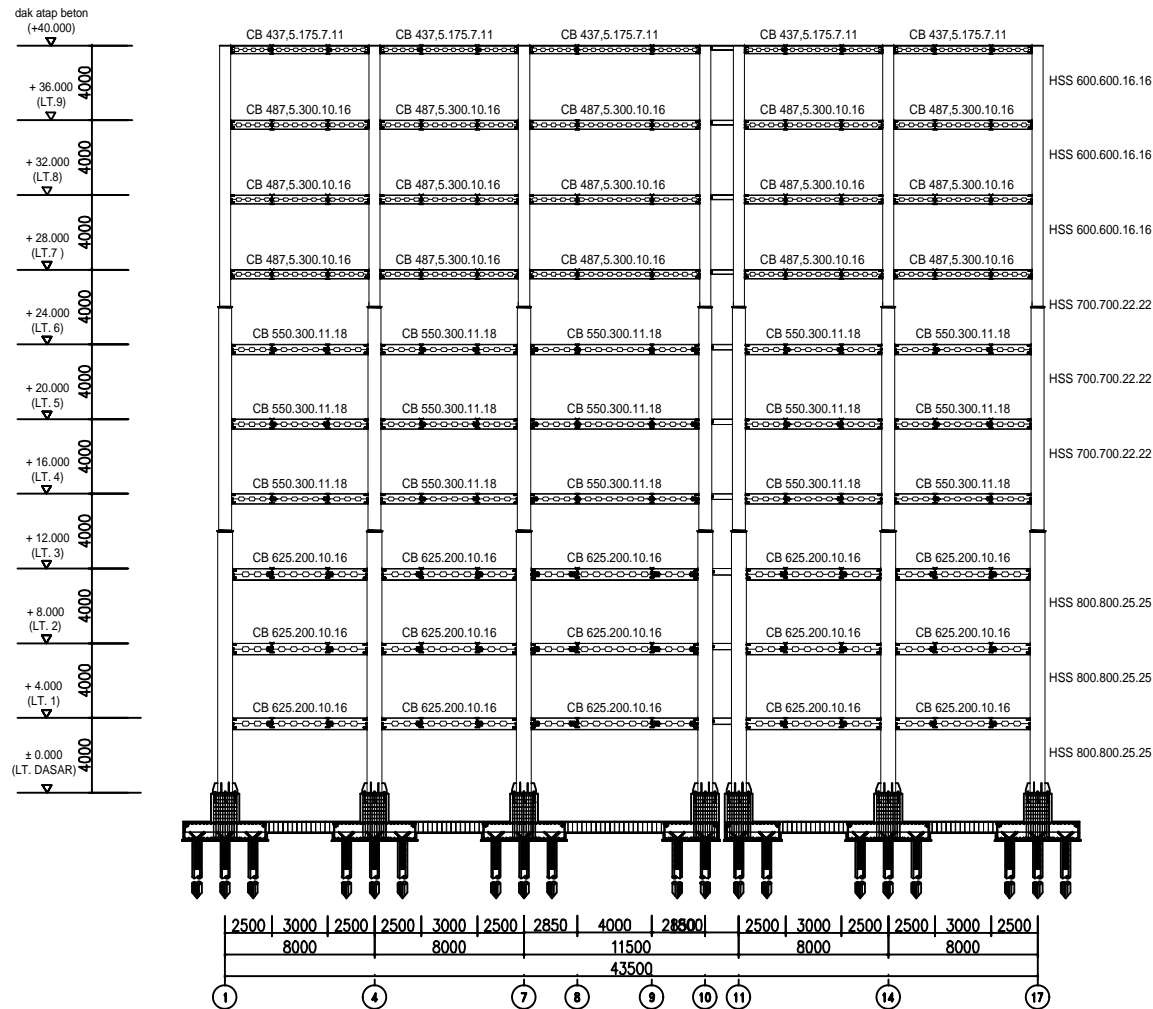
POTONGAN B-B
GEDUNG G DAN H

NO.GBR

JML.GBR

12

25



POTONGAN B-B



INSTITUT TEKNOLOGI
SEPULUH NOPEMBER
FAKULTAS TEKNIK SIPIL DAN
PERENCANAAN
JURUSAN TEKNIK SIPIL
LINTAS JALUR
2016

MODIFIKASI PERENCANAAN
STRUKTUR GEDUNG ASRAMA
PRESIDENT UNIVERSITY
CIKARANG MENGGUNAKAN
HEXAGONAL CASTELLATED
BEAM DAN KOLOM CONCRETE
FILLED STEEL TUBE

NAMA PROYEK

PROYEK GEDUNG ASRAMA
PRESIDENT UNIVERSITY
CIKARANG

DOSEN KONSULTASI

BUDI SUSWANTO, ST., MT., Ph.D
NIP.197301281998021002

Ir. HEPPY KRISTHANTO, MS
NIP.196103111987011001

MAHASISWA

SYAUQY RIBHAN
NRP. 3114105001

SKALA

1 : 80

JUDUL GAMBAR

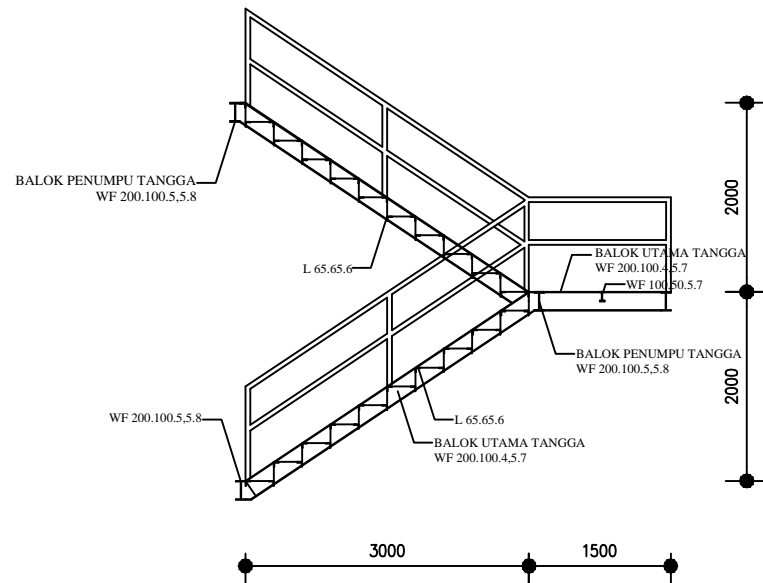
TANGGA UTAMA

NO.GBR

13

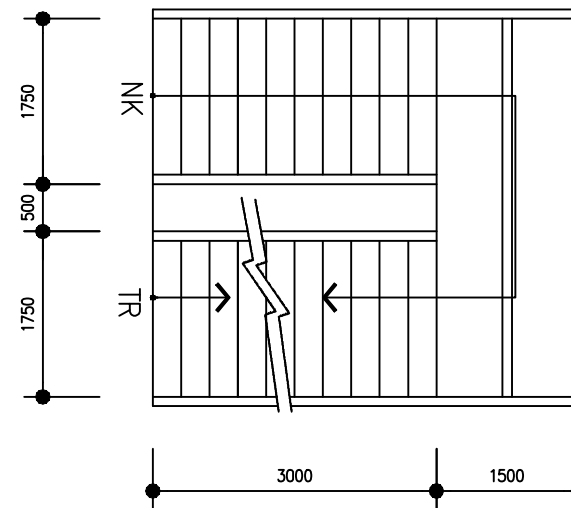
JML.GBR

25



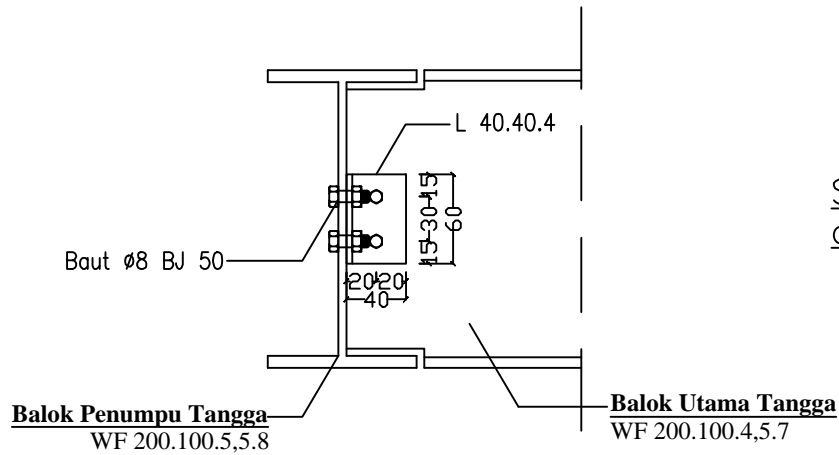
POTONGAN TANGGA

Skala 1 : 80

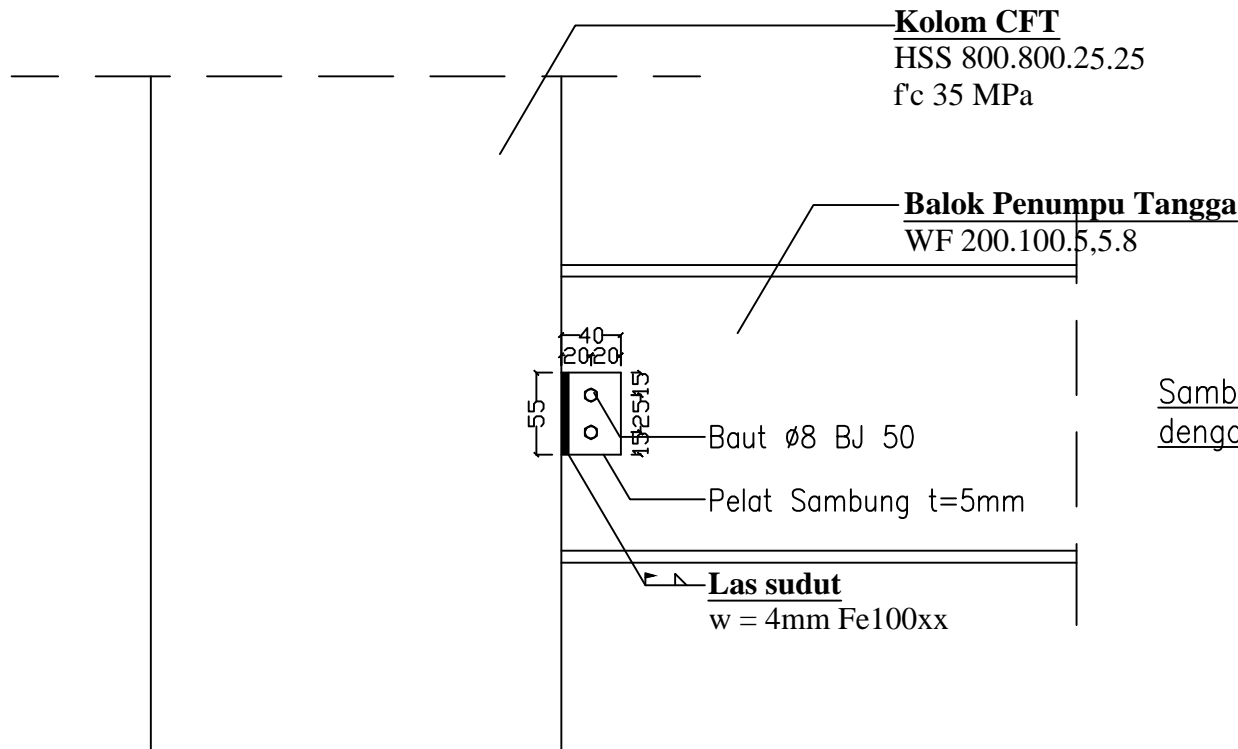


TAMPAK ATAS TANGGA

Skala 1 : 80



Sambungan Balok Penumpu Tangga dengan Balok Utama Tangga



Sambungan Balok Penumpu Tangga dengan Kolom



INSTITUT TEKNOLOGI
SEPULUH NOPEMBER
FAKULTAS TEKNIK SIPIL DAN
PERENCANAAN
JURUSAN TEKNIK SIPIL
LINTAS JALUR
2016

MODIFIKASI PERENCANAAN
STRUKTUR GEDUNG ASRAMA
PRESIDENT UNIVERSITY
CIKARANG MENGGUNAKAN
HEXAGONAL CASTELLATED
BEAM DAN KOLOM CONCRETE
FILLED STEEL TUBE

NAMA PROYEK

PROYEK GEDUNG ASRAMA
PRESIDENT UNIVERSITY
CIKARANG

DOSEN KONSULTASI

BUDI SUSWANTO, ST., MT., Ph.D
NIP.197301281998021002
Ir. HEPPY KRISTIHANTO, MS
NIP.196103111987011001

MAHASISWA

SYAUQY RIBHAN
NRP. 3114105001

SKALA

1 : 5

JUDUL GAMBAR

SAMBUNGAN TANGGA

NO.GBR

14

JML.GBR

25



INSTITUT TEKNOLOGI
SEPULUH NOPEMBER
FAKULTAS TEKNIK SIPIL DAN
PERENCANAAN
JURUSAN TEKNIK SIPIL
LINTAS JALUR
2016

MODIFIKASI PERENCANAAN
STRUKTUR GEDUNG ASRAMA
PRESIDENT UNIVERSITY
CIKARANG MENGGUNAKAN
HEXAGONAL CASTELLATED
BEAM DAN KOLOM CONCRETE
FILLED STEEL TUBE

NAMA PROYEK

PROYEK GEDUNG ASRAMA
PRESIDENT UNIVERSITY
CIKARANG

DOSEN KONSULTASI

BUDI SUSWANTO, ST., MT., Ph.D
NIP.197301281998021002

Ir. HEPPY KRISTIHANTO, MS
NIP.196103111987011001

MAHASISWA

SYAUQY RIBHAN
NRP. 3114105001

SKALA

1 : 10

JUDUL GAMBAR

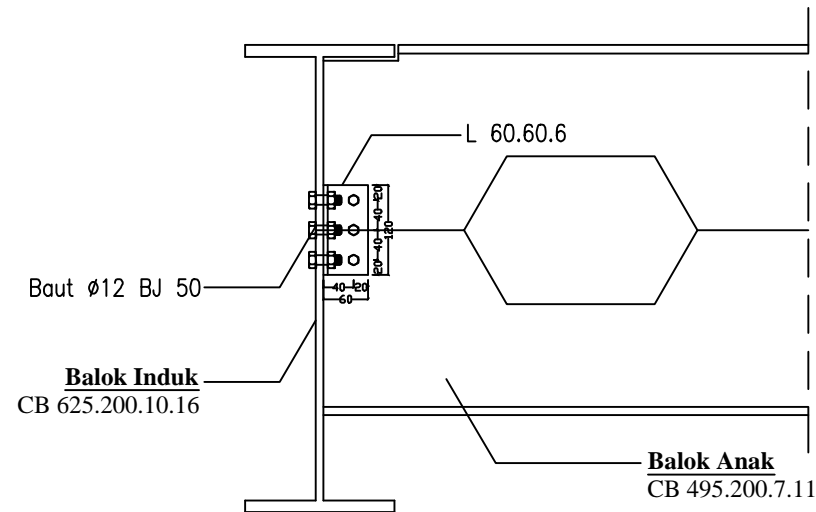
SAMBUNGAN BALOK INDUK
DENGAN
BALOK ANAK

NO.GBR

15

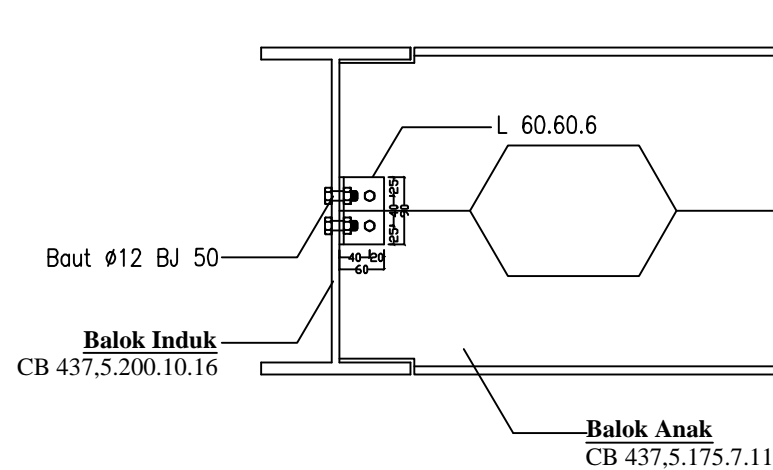
JML.GBR

25



SAMBUNGAN BALOK ANAK 1 DENGAN BALOK INDUK LANTAI ASRAMA

Skala 1 : 10



SAMBUNGAN BALOK ANAK 1 DENGAN BALOK INDUK LANTAI ATAP

Skala 1 : 10



INSTITUT TEKNOLOGI
SEPULUH NOPEMBER
FAKULTAS TEKNIK SIPIL DAN
PERENCANAAN
JURUSAN TEKNIK SIPIL
LINTAS JALUR
2016

MODIFIKASI PERENCANAAN
STRUKTUR GEDUNG ASRAMA
PRESIDENT UNIVERSITY
CIKARANG MENGGUNAKAN
HEXAGONAL CASTELLATED
BEAM DAN KOLOM CONCRETE
FILLED STEEL TUBE

NAMA PROYEK

PROYEK GEDUNG ASRAMA
PRESIDENT UNIVERSITY
CIKARANG

DOSEN KONSULTASI

BUDI SUSWANTO, ST., MT., Ph.D
NIP.197301281998021002

Ir. HEPPY KRISTIJANTO, MS
NIP.196103111987011001

MAHASISWA

SYAUQY RIBHAN
NRP. 3114105001

SKALA

1 : 10

JUDUL GAMBAR

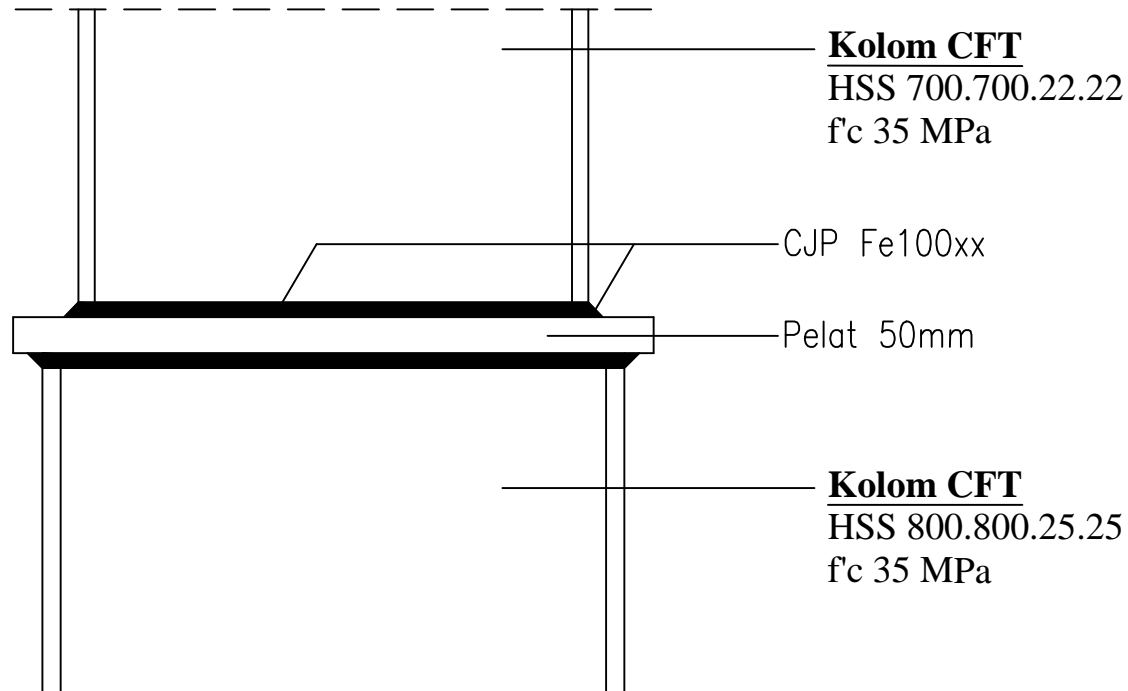
SAMBUNGAN KOLOM
DENGAN KOLOM

NO.GBR

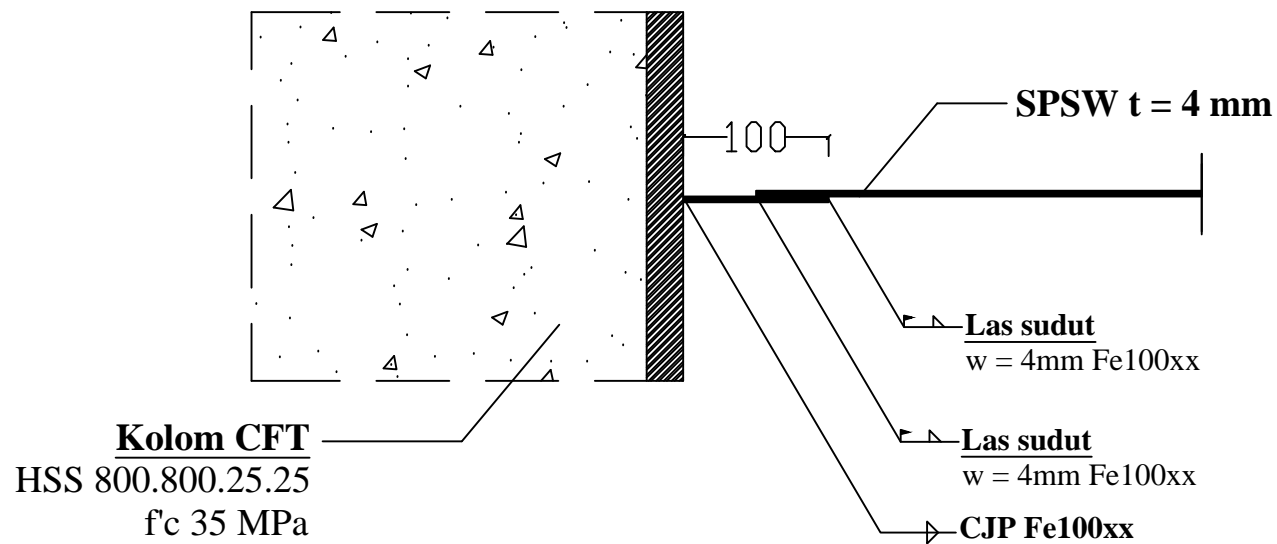
16

JML.GBR

25



Sambungan Kolom dengan Kolom



Sambungan SPSW dengan Kolom



INSTITUT TEKNOLOGI
SEPULUH NOPEMBER
FAKULTAS TEKNIK SIPIL DAN
PERENCANAAN
JURUSAN TEKNIK SIPIL
LINTAS JALUR
2016

MODIFIKASI PERENCANAAN
STRUKTUR GEDUNG ASRAMA
PRESIDENT UNIVERSITY
CIKARANG MENGGUNAKAN
HEXAGONAL CASTELLATED
BEAM DAN KOLOM CONCRETE
FILLED STEEL TUBE

NAMA PROYEK

PROYEK GEDUNG ASRAMA
PRESIDENT UNIVERSITY
CIKARANG

DOSEN KONSULTASI

BUDI SUSWANTO, ST., MT., Ph.D
NIP.197301281998021002

Ir. HEPPY KRISTHANTO, MS
NIP.196103111987011001

MAHASISWA

SYAUQY RIBHAN
NRP. 3114105001

SKALA

1 : 5

JUDUL GAMBAR

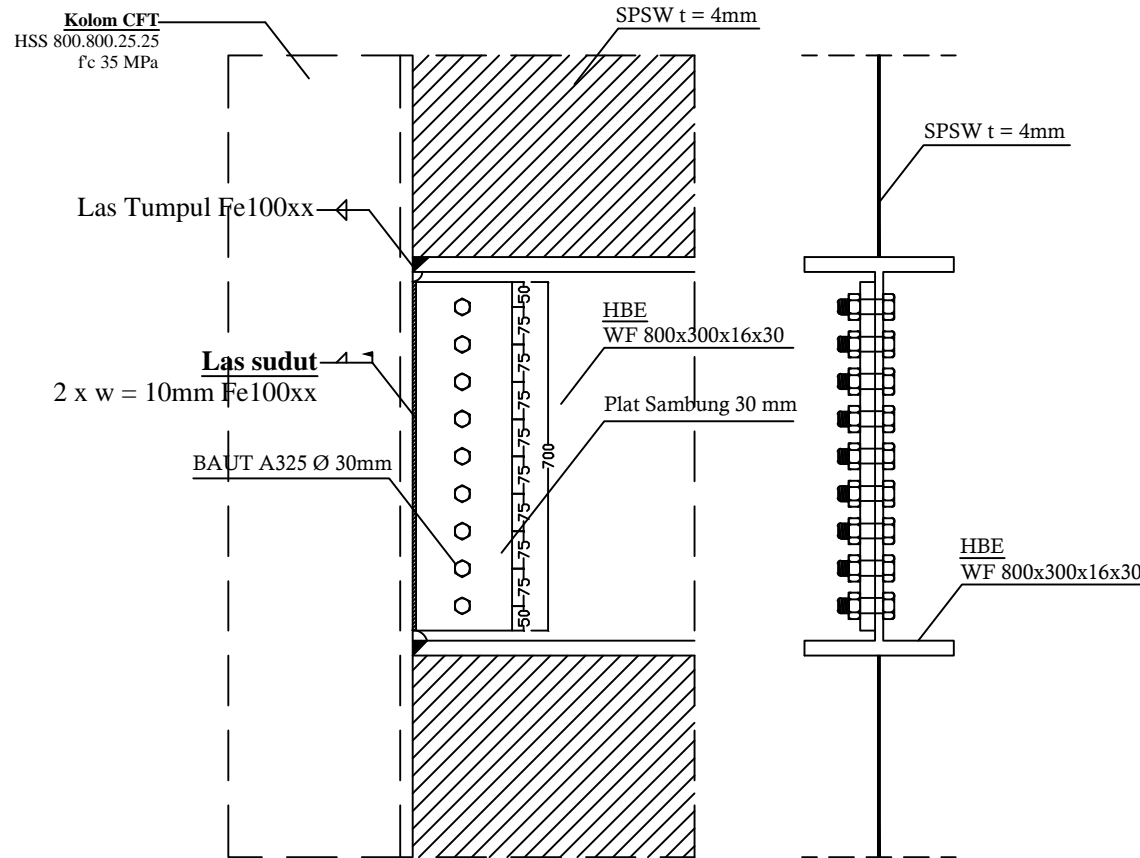
SAMBUNGAN SPSW
DENGAN KOLOM

NO.GBR

JML.GBR

17

25



Sambungan HBE dengan VBE Pada SPSW



INSTITUT TEKNOLOGI
SEPULUH NOPEMBER
FAKULTAS TEKNIK SIPIL DAN
PERENCANAAN
JURUSAN TEKNIK SIPIL
LINTAS JALUR
2016

MODIFIKASI PERENCANAAN
STRUKTUR GEDUNG ASRAMA
PRESIDENT UNIVERSITY
CIKARANG MENGGUNAKAN
HEXAGONAL CASTELLATED
BEAM DAN KOLOM CONCRETE
FILLED STEEL TUBE

NAMA PROYEK

PROYEK GEDUNG ASRAMA
PRESIDENT UNIVERSITY
CIKARANG

DOSEN KONSULTASI

BUDI SUSWANTO, ST., MT., Ph.D
NIP.197301281998021002
Ir. HEPPY KRISTIHANTO, MS
NIP.19610311987011001

MAHASISWA

SYAUQY RIBHAN
NRP. 3114105001

SKALA

1 : 15

JUDUL GAMBAR

SAMBUNGAN HBE
DENGAN VBE
PADA SPSW

NO.GBR

JML.GBR

18

25



INSTITUT TEKNOLOGI
SEPULUH NOPEMBER
FAKULTAS TEKNIK SIPIL DAN
PERENCANAAN
JURUSAN TEKNIK SIPIL
LINTAS JALUR
2016

MODIFIKASI PERENCANAAN
STRUKTUR GEDUNG ASRAMA
PRESIDENT UNIVERSITY
CIKARANG MENGGUNAKAN
HEXAGONAL CASTELLATED
BEAM DAN KOLOM CONCRETE
FILLED STEEL TUBE

NAMA PROYEK

PROYEK GEDUNG ASRAMA
PRESIDENT UNIVERSITY
CIKARANG

DOSEN KONSULTASI

BUDI SUSWANTO, ST., MT., Ph.D
NIP.197301281998021002

Ir. HEPPY KRISTHANTO, MS
NIP.196103111987011001

MAHASISWA

SYAUQY RIBHAN
NRP. 3114105001

SKALA

1 : 15

JUDUL GAMBAR

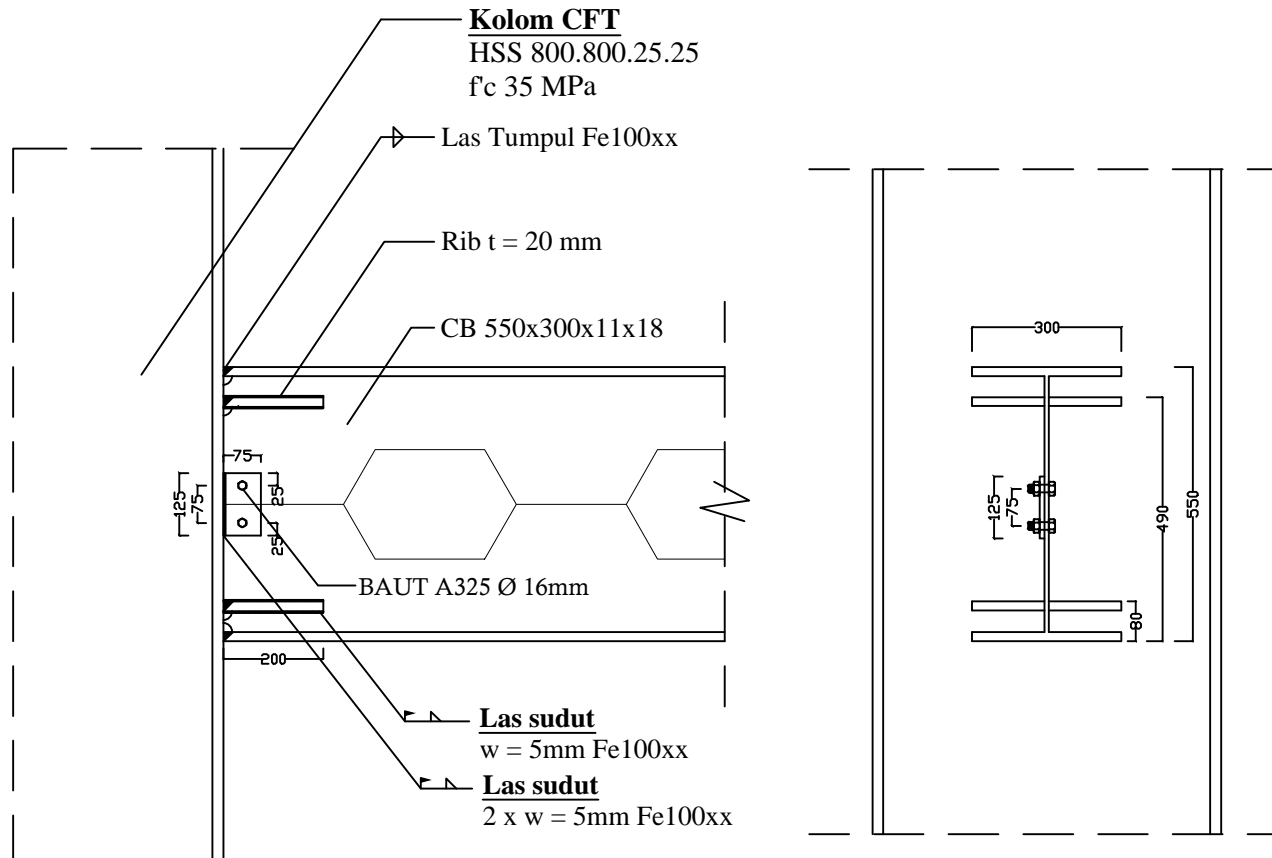
SAMBUNGAN BALOK
DENGAN KOLOM

NO.GBR

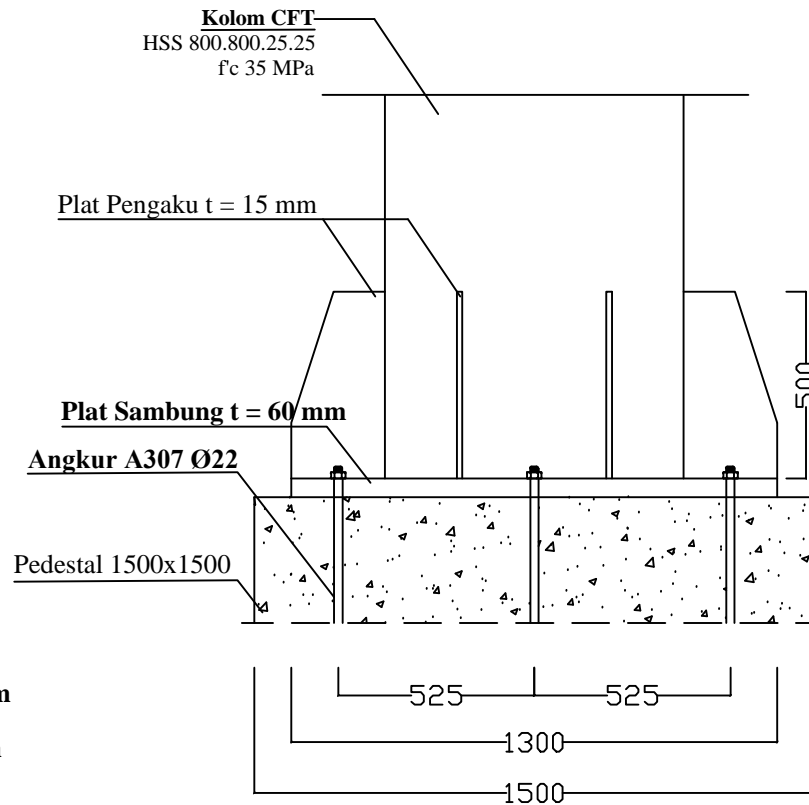
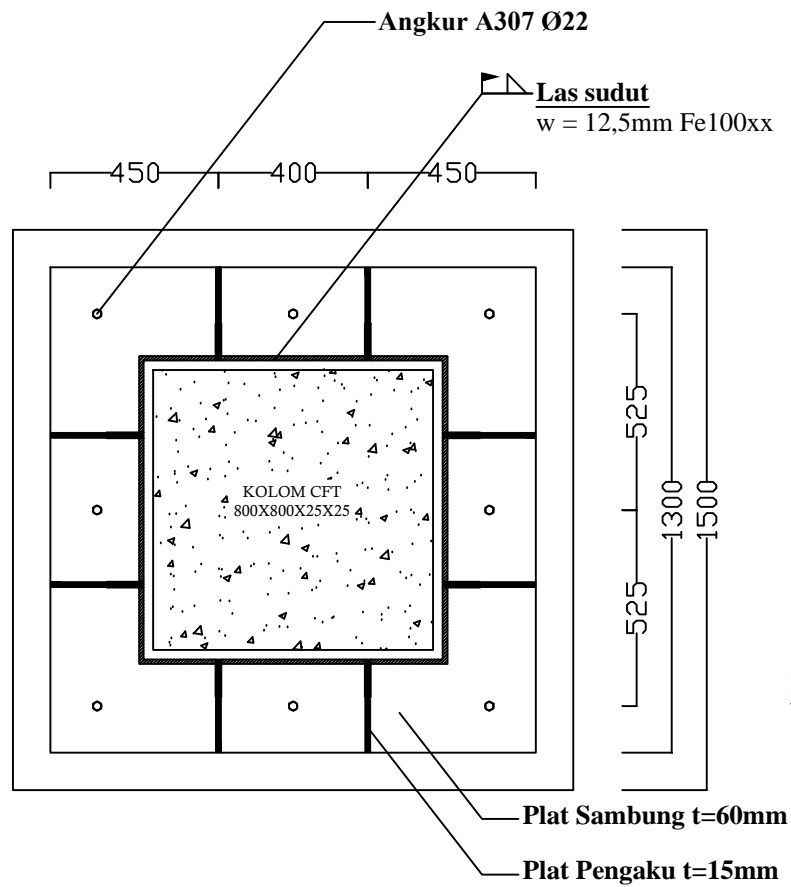
19

JML.GBR

25



Sambungan Balok dengan Kolom



Sambungan Kolom dengan Base Plate



INSTITUT TEKNOLOGI
SEPULUH NOPEMBER
FAKULTAS TEKNIK SIPIL DAN
PERENCANAAN
JURUSAN TEKNIK SIPIL
LINTAS JALUR
2016

MODIFIKASI PERENCANAAN
STRUKTUR GEDUNG ASRAMA
PRESIDENT UNIVERSITY
CIKARANG MENGGUNAKAN
HEXAGONAL CASTELLATED
BEAM DAN KOLOM CONCRETE
FILLED STEEL TUBE

NAMA PROYEK

PROYEK GEDUNG ASRAMA
PRESIDENT UNIVERSITY
CIKARANG

DOSEN KONSULTASI

BUDI SUSWANTO, ST., MT., Ph.D
NIP.197301281998021002

Ir. HEPPY KRISTHANTO, MS
NIP.19610311987011001

MAHASISWA

SYAUQY RIBHAN
NRP. 3114105001

SKALA

1 : 20

JUDUL GAMBAR

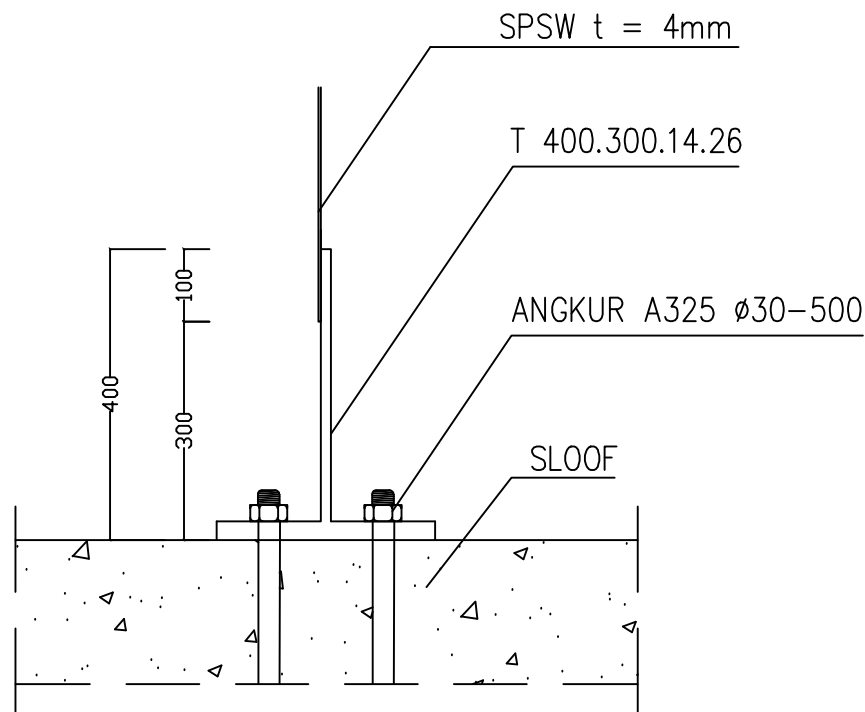
SAMBUNGAN KOLOM
DENGAN
BASEPLATE

NO.GBR

20

JML.GBR

25



Sambungan SPSW dengan Sloof



INSTITUT TEKNOLOGI
SEPULUH NOPEMBER
FAKULTAS TEKNIK SIPIL DAN
PERENCANAAN
JURUSAN TEKNIK SIPIL
LINTAS JALUR
2016

MODIFIKASI PERENCANAAN
STRUKTUR GEDUNG ASRAMA
PRESIDENT UNIVERSITY
CIKARANG MENGGUNAKAN
HEXAGONAL CASTELLATED
BEAM DAN KOLOM CONCRETE
FILLED STEEL TUBE

NAMA PROYEK

PROYEK GEDUNG ASRAMA
PRESIDENT UNIVERSITY
CIKARANG

DOSEN KONSULTASI

BUDI SUSWANTO, ST., MT., Ph.D
NIP.197301281998021002

Ir. HEPPY KRISTHANTO, MS
NIP.19610311987011001

MAHASISWA

SYAUQY RIBHAN
NRP. 3114105001

SKALA

1 : 10

JUDUL GAMBAR

SAMBUNGAN SPSW
DENGAN SLOOF

NO.GBR

21

JML.GBR

25



INSTITUT TEKNOLOGI
SEPULUH NOPEMBER
FAKULTAS TEKNIK SIPIL DAN
PERENCANAAN
JURUSAN TEKNIK SIPIL
LINTAS JALUR
2016

MODIFIKASI PERENCANAAN
STRUKTUR GEDUNG ASRAMA
PRESIDENT UNIVERSITY
CIKARANG MENGGUNAKAN
HEXAGONAL CASTELLATED
BEAM DAN KOLOM CONCRETE
FILLED STEEL TUBE

NAMA PROYEK

PROYEK GEDUNG ASRAMA
PRESIDENT UNIVERSITY
CIKARANG

DOSEN KONSULTASI

BUDI SUSWANTO, ST., MT., Ph.D
NIP.197301281998021002

Ir. HEPPY KRISTIJANTO, MS
NIP.196103111987011001

MAHASISWA

SYAUQY RIBHAN
NRP. 3114105001

SKALA

1 : 80

JUDUL GAMBAR

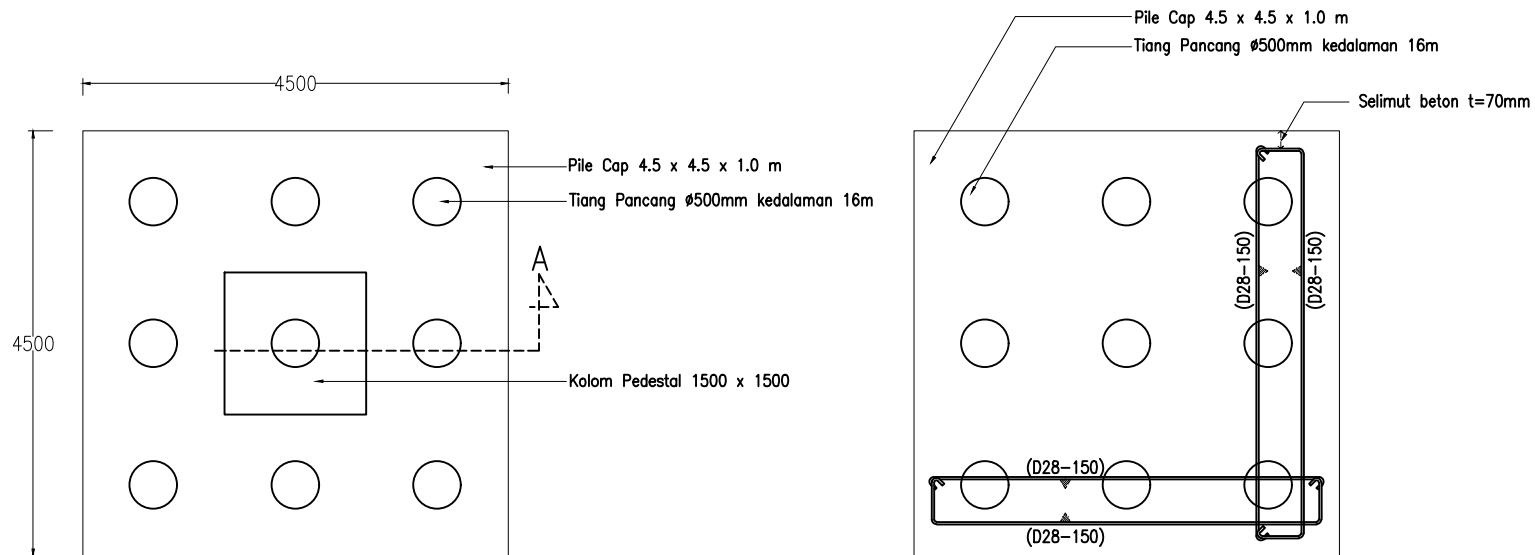
DETAIL PONDASI P1

NO.GBR

JML.GBR

22

25

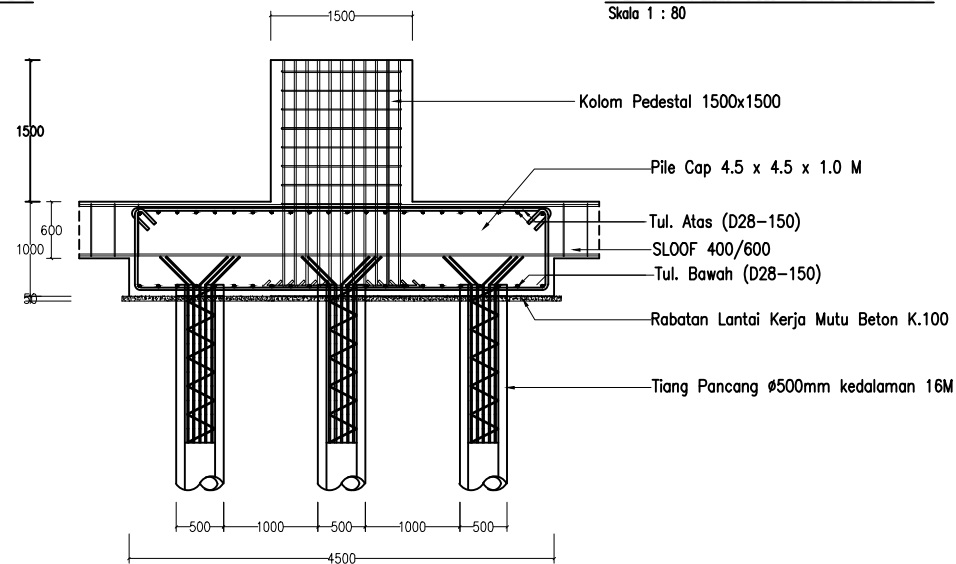


DETAIL PONDASI P1

Skala 1 : 80

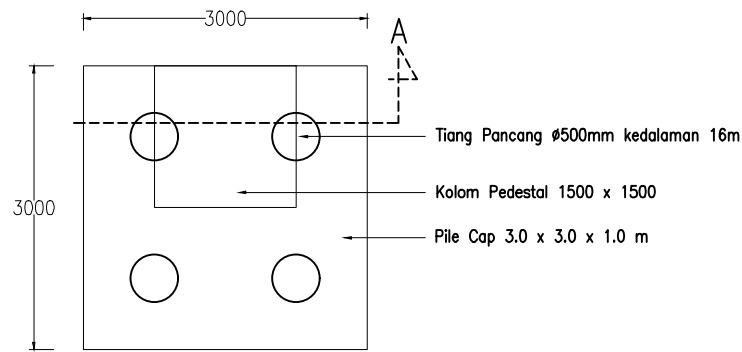
DET. TULANGAN PONDASI P1

Skala 1 : 80



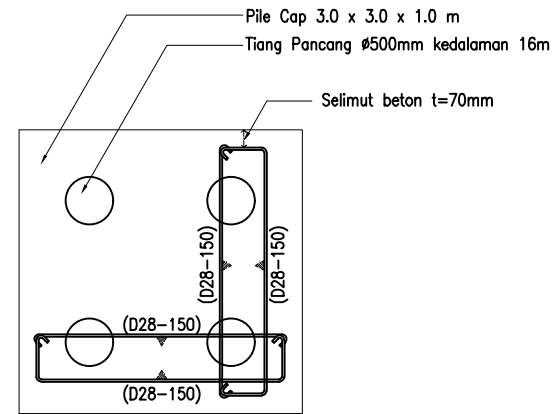
POTONGAN A

Skala 1 : 80



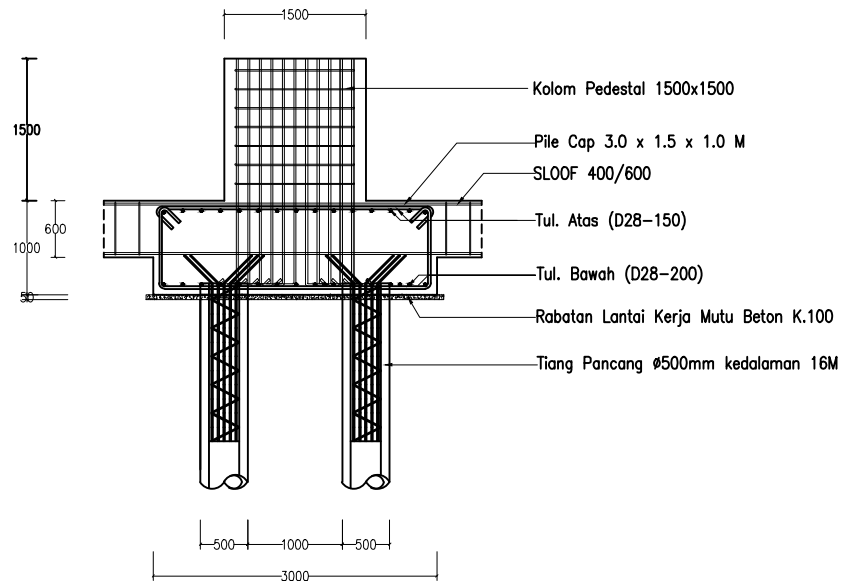
DETAIL PONDASI P2

Skala 1 : 80



DET. TULANGAN PONDASI P2

Skala 1 : 80



POTONGAN A

Skala 1 : 80



INSTITUT TEKNOLOGI
SEPULUH NOPEMBER
FAKULTAS TEKNIK SIPIL DAN
PERENCANAAN
JURUSAN TEKNIK SIPIL
LINTAS JALUR
2016

MODIFIKASI PERENCANAAN
STRUKTUR GEDUNG ASRAMA
PRESIDENT UNIVERSITY
CIKARANG MENGGUNAKAN
HEXAGONAL CASTELLATED
BEAM DAN KOLOM CONCRETE
FILLED STEEL TUBE

NAMA PROYEK

PROYEK GEDUNG ASRAMA
PRESIDENT UNIVERSITY
CIKARANG

DOSEN KONSULTASI

BUDI SUSWANTO, ST., MT., Ph.D
NIP.197301281998021002

Ir. HEPPY KRISTIJANTO, MS
NIP.196103111987011001

MAHASISWA

SYAUQUY RIBHAN
NRP. 3114105001

SKALA

1 : 80

JUDUL GAMBAR

DETAIL PONDASI P2

NO.GBR

JML.GBR

23

25



INSTITUT TEKNOLOGI
SEPULUH NOPEMBER
FAKULTAS TEKNIK SIPIL DAN
PERENCANAAN
JURUSAN TEKNIK SIPIL
LINTAS JALUR
2016

MODIFIKASI PERENCANAAN
STRUKTUR GEDUNG ASRAMA
PRESIDENT UNIVERSITY
CIKARANG MENGGUNAKAN
HEXAGONAL CASTELLATED
BEAM DAN KOLOM CONCRETE
FILLED STEEL TUBE

NAMA PROYEK

PROYEK GEDUNG ASRAMA
PRESIDENT UNIVERSITY
CIKARANG

DOSEN KONSULTASI

BUDI SUSWANTO, ST., MT., Ph.D
NIP.197301281998021002

Ir. HEPPY KRISTIHANTO, MS
NIP.196103111987011001

MAHASISWA

SYAUQUY RIBHAN
NRP. 3114105001

SKALA

1 : 80

JUDUL GAMBAR

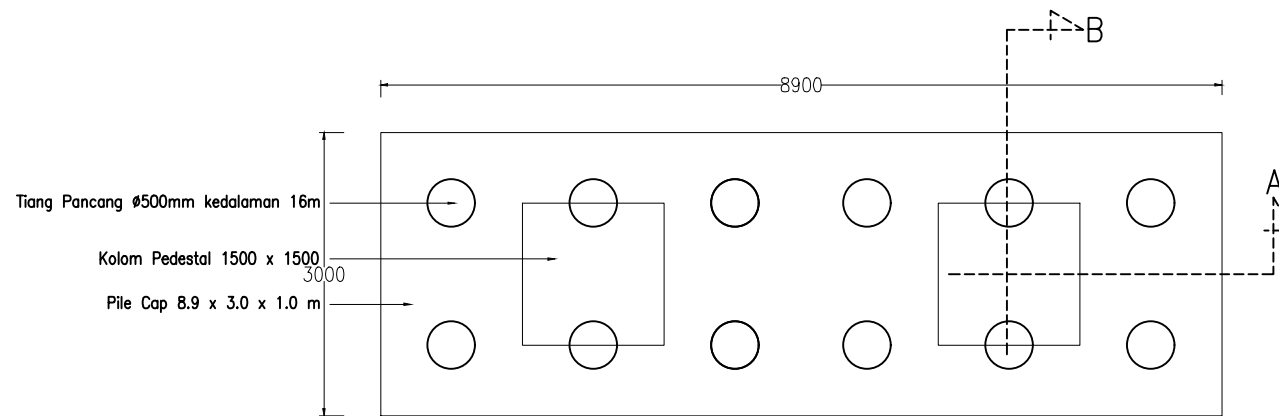
DETAIL PONDASI P3

NO.GBR

JML.GBR

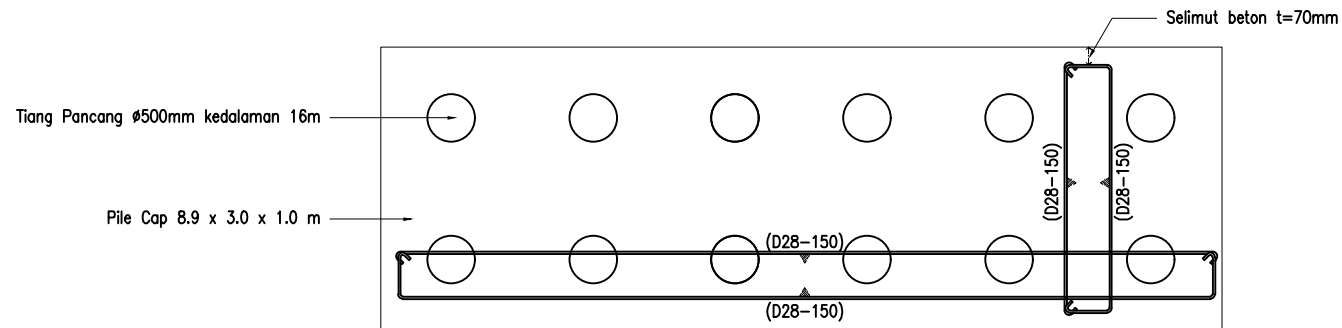
24

25



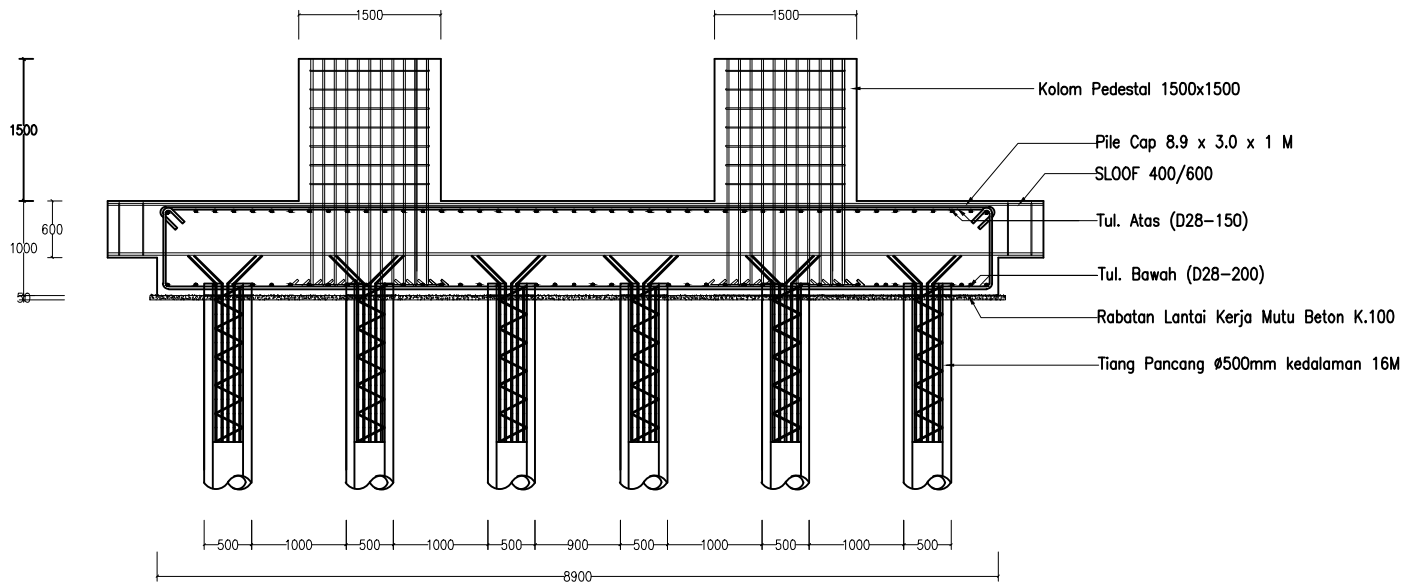
DETAIL PONDASI P3

Skala 1 : 80

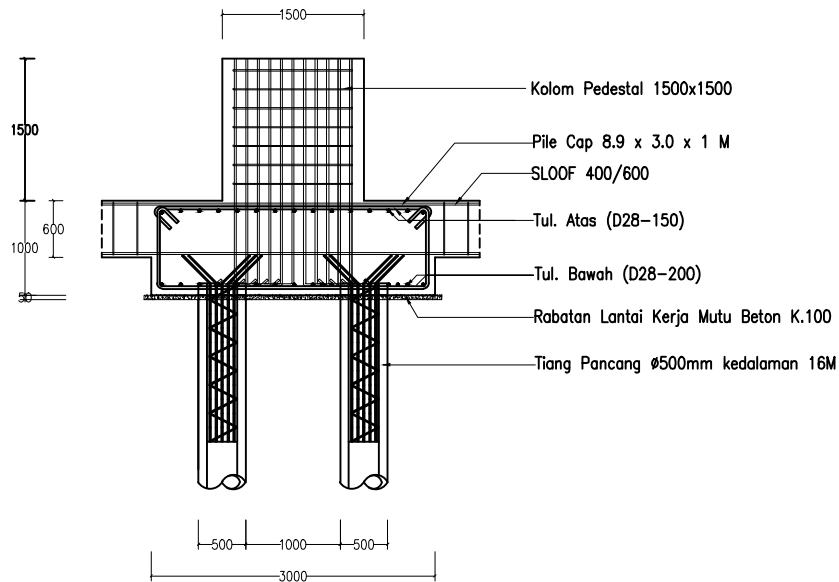


DET. TULANGAN PONDASI P3

Skala 1 : 80



POTONGAN A
Skala 1 : 80



POTONGAN B
Skala 1 : 80



INSTITUT TEKNOLOGI
SEPULUH NOPEMBER
FAKULTAS TEKNIK SIPIL DAN
PERENCANAAN
JURUSAN TEKNIK SIPIL
LINTAS JALUR
2016

MODIFIKASI PERENCANAAN
STRUKTUR GEDUNG ASRAMA
PRESIDENT UNIVERSITY
CIKARANG MENGGUNAKAN
HEXAGONAL CASTELLATED
BEAM DAN KOLOM CONCRETE
FILLED STEEL TUBE

NAMA PROYEK

PROYEK GEDUNG ASRAMA
PRESIDENT UNIVERSITY
CIKARANG

DOSEN KONSULTASI

BUDI SUSWANTO, ST., MT., Ph.D
NIP.197301281998021002

Ir. HEPPY KRISTIHANTO, MS
NIP.196103111987011001

MAHASISWA

SYAUQY RIBHAN
NRP. 3114105001

SKALA

1 : 80

JUDUL GAMBAR

POTONGAN PONDASI P3

NO.GBR

JML.GBR

25

25

BORE LOG

PROJECT KOMPLEK PRESIDEN	ELEVATION (m) ± 00.00
LOCATION JABABEKA, CIKARANG - BEKASI, JAWA BARAT	DATE 12 - 13 Oktober 2012
BORE HOLE NO. DB-01 - PAGE 02	TESTED BY Darmawan

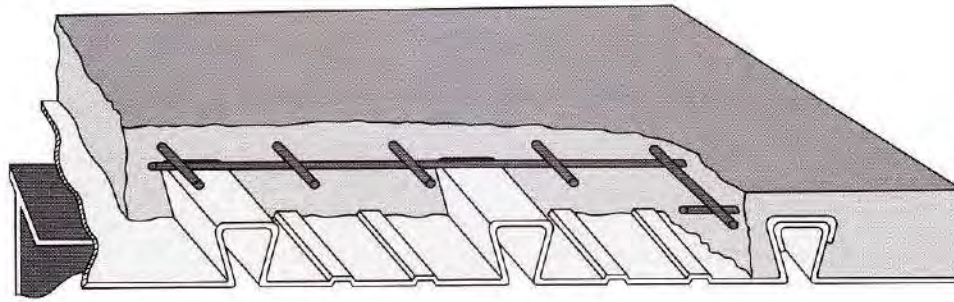
GWL	DESCRIPTION	SYMBOL	TESTS	DEPTH (m)	ELEV (m)	SPT				SPT CHART
						15	15	15	N	
	Lanau, coklat keabu-abuan	[Symbol]	SPT	-10.25 -10.50 -10.75 -11.00 -11.25 -11.50 -11.75 -12.00	-10.00	5	8	11	19	
	Lanau kelepungan, coklat keabu-abuan	[Symbol]	SPT	-12.25 -12.50 -12.75 -13.00 -13.25 -13.50 -13.75 -14.00	-12.00	8	10	12	22	
	Lempung, coklat	[Symbol]	SPT	-14.25 -14.50 -14.75 -15.00 -15.25 -15.50 -15.75 -16.00	-14.00	6	12	17	29	
	Lempung, coklat kehitaman	[Symbol]	SPT	-16.25 -16.50 -16.75 -17.00 -17.25 -17.50 -17.75 -18.00	-16.00	13	15	16	31	
		[Symbol]	SPT	-18.25 -18.50 -18.75 -19.00 -19.25 -19.50 -19.75 -20.00	-18.00	12	16	22	38	

BORE LOG

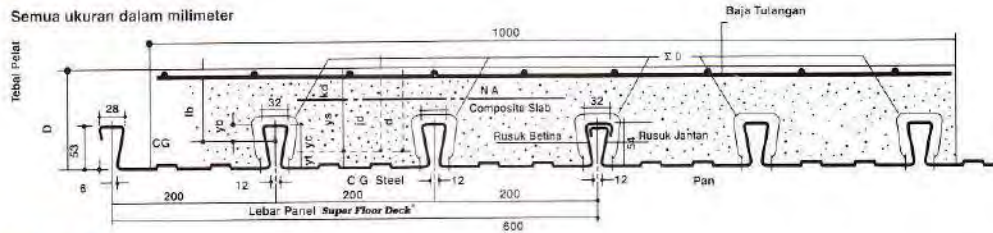
PROJECT KOMPLEK PRESIDEN	ELEVATION (m) ± 00.00
LOCATION JABABEKA, CIKARANG - BEKASI, JAWA BARAT	DATE 12 - 13 Oktober 2012
BORE HOLE NO. DB-01 - PAGE 03	TESTED BY Darmawan

GWL	DESCRIPTION	SYMBOL	TESTS	DEPTH (m)	ELEV (m)	SPT				SPT CHART
						15	15	15	N	
	Lempung, coklat kehitaman	[Symbol]	SPT	-20.25	-20.25	14	16	25	41	
			SPT	-20.50	-20.50					
			SPT	-20.75	-20.75					
			SPT	-21.00	-21.00					
			SPT	-21.25	-21.25					
			SPT	-21.50	-21.50					
			SPT	-21.75	-21.75					
			SPT	-22.00	-22.00	10	16	19	35	
			SPT	-22.25	-22.25					
			SPT	-22.50	-22.50					
			SPT	-22.75	-22.75					
	Lempung, abu-abu kehijauan	[Symbol]	SPT	-23.00	-23.00					
			SPT	-23.25	-23.25					
			SPT	-23.50	-23.50					
			SPT	-23.75	-23.75					
			SPT	-24.00	-24.00	13	19	23	42	
			SPT	-24.25	-24.25					
			SPT	-24.50	-24.50					
			SPT	-24.75	-24.75					
			SPT	-25.00	-25.00					
			SPT	-25.25	-25.25					
			SPT	-25.50	-25.50					
			SPT	-25.75	-25.75					
			SPT	-26.00	-26.00	11	17	20	37	
			SPT	-26.25	-26.25					
			SPT	-26.50	-26.50					
			SPT	-26.75	-26.75					
			SPT	-27.00	-27.00					
			SPT	-27.25	-27.25					
			SPT	-27.50	-27.50					
			SPT	-27.75	-27.75					
			SPT	-28.00	-28.00	14	15	25	40	
			SPT	-28.25	-28.25					
			SPT	-28.50	-28.50					
			SPT	-28.75	-28.75					
			SPT	-29.00	-29.00					
			SPT	-29.25	-29.25					
			SPT	-29.50	-29.50					
			SPT	-29.75	-29.75					
	Lempung, coklat	[Symbol]	SPT	-28.00	-28.00					

Super Floor Deck®



PERENCANAAN: Plat Lantai Komposit



Tabel Perencanaan Praktis

Tabel Perencanaan Praktis berikut ini bisa membantu dalam perencanaan penggunaan **Super Floor Deck®** untuk suatu bangunan antara lain:

- Menunjukkan tabel plat beton untuk bentang tunggal, bentang ganda, dan bentang menerus.
- Kebutuhan tulangan negatif, serta perhitungan luas penampangnya, pada bentang ganda atau bentang menerus.
- Ketebalan plat beton pada bentang tertentu, serta berbagai beban (Super Imposed Load)
- Tiang penyangga sementara yang dibutuhkan untuk meniadakan lendutan awal pada waktu beton dan **Super Floor Deck®** belum berfungsi.

TABEL 1 : SIFAT PENAMPANG Super Floor Deck® PERLEBAR 1000 MM

Tebal Pelat	Berat per satuan luas	Luas penampang	Penampang efektif penuh		Momen lentur positif			Momen lentur negatif			Ie	Gaya reaksi aman untuk perletakan tepi			Gaya reaksi aman untuk perletakan tengah					
			Yc	Yt	I _p	Z _{pc}	Z _{pt}	I _n	Z _{nc}	Z _{nt}		10 mm perletakan	Perlembehan per 10 mm	max	10 mm Of Bearing	Perlembehan Per 10 mm	Max			
mm	kg / m ²	m ²	mm	mm	10 ³ x mm ⁴	10 ³ x mm ³	10 ³ x mm ³	10 ³ x mm ⁴	10 ³ x mm ³	10 ³ x mm ³	10 ⁴ x mm ⁴	KN	incom. Per 10 mm	KN	KN	KN	incom. Per 10 mm	KN	KN	
0.75	10.1	1241	38.6	18.4	0.511	13.15	33.14	0.309	10.21	10.73	0.425	3.76	0.99	8.11	15.61	1.14	19.19			

Catatan : I_p = momen inersia profil panel untuk daerah momen positif

Z_{nc} = idem, dasar dek dalam daerah momen negatif (tegangan tarik)

Ie = momen inersia ekuivalen untuk perhitungan lendutan bentang menerus

Notes : I_n = idem untuk daerah momen negatif

Z_{pc} = idem, puncak rusuk, dalam daerah momen positif (tegangan tekan)

I_p (1.26 - 0.26 I_p)

Z_{nt} = momen menahan, puncak rusuk, dalam daerah momen negatif (tegangan tarik)

Z_{pt} = idem, dasar dek, dalam daerah momen positif (tegangan tarik)

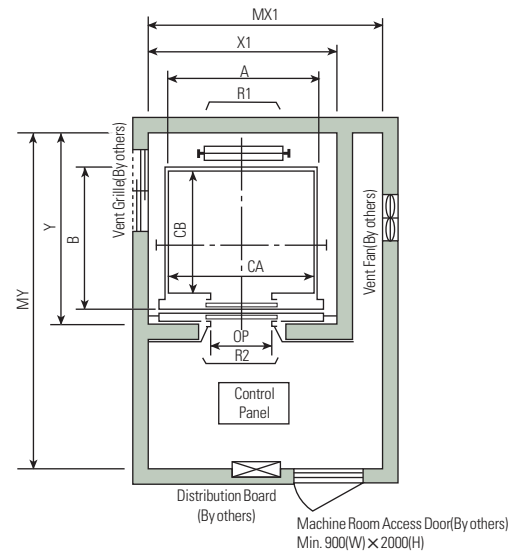
TABEL 2 : TABEL PERENCANAAN PRAKTIS

SUPER FLOOR DECK® 0.75 MM	BENTANG TUNJANG TANPA TULANGAN NEGATIF SAMPLE SPAN CONDITION WITHOUT NEGATIVE REINFORCEMENT							BENTANG GANDA DENGAN TULANGAN NEGATIF DOUBLE SPAN CONDITIONS WITH NEGATIVE REINFORCEMENT							BENTANG MENERUS DENGAN TULANGAN NEGATIF MULTIPLE SPAN CONDITIONS WITH NEGATIVE REINFORCEMENT																					
	200	300	400	500	600	750	1000	200	300	400	500	600	750	1000	200	300	400	500	600	750	1000															
TANGKAP PERTANGGAH PROPPING	TANGKAP PERTANGGAH NO. PROPS	TANGKAP PERTANGGAH NO. PROPS	TANGKAP PERTANGGAH NO. PROPS	TANGKAP PERTANGGAH NO. PROPS	TANGKAP PERTANGGAH NO. PROPS	TANGKAP PERTANGGAH NO. PROPS	TANGKAP PERTANGGAH NO. PROPS	TANGKAP PERTANGGAH NO. PROPS	TANGKAP PERTANGGAH NO. PROPS	TANGKAP PERTANGGAH NO. PROPS	TANGKAP PERTANGGAH NO. PROPS	TANGKAP PERTANGGAH NO. PROPS	TANGKAP PERTANGGAH NO. PROPS	TANGKAP PERTANGGAH NO. PROPS	TANGKAP PERTANGGAH NO. PROPS	TANGKAP PERTANGGAH NO. PROPS	TANGKAP PERTANGGAH NO. PROPS	TANGKAP PERTANGGAH NO. PROPS	TANGKAP PERTANGGAH NO. PROPS	TANGKAP PERTANGGAH NO. PROPS	TANGKAP PERTANGGAH NO. PROPS															
BEBAN BERGUNA SUPER IMPOSED LOAD KG/M ²	BEBAN BERGUNA SUPER IMPOSED LOAD KG/M ²	BEBAN BERGUNA SUPER IMPOSED LOAD KG/M ²	BEBAN BERGUNA SUPER IMPOSED LOAD KG/M ²	BEBAN BERGUNA SUPER IMPOSED LOAD KG/M ²	BEBAN BERGUNA SUPER IMPOSED LOAD KG/M ²	BEBAN BERGUNA SUPER IMPOSED LOAD KG/M ²	BEBAN BERGUNA SUPER IMPOSED LOAD KG/M ²	BEBAN BERGUNA SUPER IMPOSED LOAD KG/M ²	BEBAN BERGUNA SUPER IMPOSED LOAD KG/M ²	BEBAN BERGUNA SUPER IMPOSED LOAD KG/M ²	BEBAN BERGUNA SUPER IMPOSED LOAD KG/M ²	BEBAN BERGUNA SUPER IMPOSED LOAD KG/M ²	BEBAN BERGUNA SUPER IMPOSED LOAD KG/M ²	BEBAN BERGUNA SUPER IMPOSED LOAD KG/M ²	BEBAN BERGUNA SUPER IMPOSED LOAD KG/M ²	BEBAN BERGUNA SUPER IMPOSED LOAD KG/M ²	BEBAN BERGUNA SUPER IMPOSED LOAD KG/M ²	BEBAN BERGUNA SUPER IMPOSED LOAD KG/M ²	BEBAN BERGUNA SUPER IMPOSED LOAD KG/M ²	BEBAN BERGUNA SUPER IMPOSED LOAD KG/M ²	BEBAN BERGUNA SUPER IMPOSED LOAD KG/M ²															
1.50	9	9	9	9	9	9	9	0.75	9	0.91	9	1.07	9	1.24	9	1.40	9	1.66	9	2.08	9	0.59	9	0.73	9	0.85	9	0.98	9	1.11	9	1.31	9	1.85		
1.75	9	9	9	9	9	9	10	9	1.03	9	1.25	9	1.46	9	1.71	9	1.94	9	2.29	10	2.53	9	0.81	9	0.99	9	1.17	9	1.35	9	1.53	9	1.81	10	2.00	
2.00	9	9	9	9	9	9	10	9	1.36	9	1.65	9	1.95	9	2.26	9	2.57	9	3.04	10	3.35	9	1.07	9	1.31	9	1.55	9	1.79	9	2.03	9	2.39	10	2.65	
2.25	9	9	9	9	9	10	11	9	1.73	9	2.12	9	2.50	9	2.90	9	3.29	9	3.89	11	3.85	9	1.37	9	1.68	9	1.98	9	2.30	9	2.60	8	3.08	11	3.04	
2.50	9	9	9	9	9	10	14	9	2.16	9	2.65	9	3.13	9	3.62	9	4.11	10	4.29	14	3.69	9	1.71	9	2.09	9	2.48	9	2.88	9	3.25	10	3.39	14	2.92	
2.75	10	10	10	10	11	12	15	9	2.64	9	3.24	9	3.83	10	3.94	11	4.02	12	4.29	15	4.23	9	2.09	9	2.25	9	3.02	10	3.11	11	3.18	12	3.39	15	3.33	
3.00	10	10	10	11	12	13		9	3.17	9	3.87	10	4.10	11	4.28	12	4.41	13	4.74			9	2.51	9	3.07	10	3.25	11	3.38	12	3.49	13	3.75			
3.25	11	11	11	12	13	14		10	3.41	10	4.13	10	4.87	12	4.65	13	4.83	14	5.22			10	2.70	10	3.27	10	3.84	12	3.67	13	3.82	14	4.12			
3.50	12	12	12	13	15			11	3.88	11	4.42	11	5.18	12	5.44	13	5.64	15	5.71			11	2.90	11	3.49	11	4.09	12	4.29	13	4.46	15	4.51			
3.75	13	13	13	13	14			11	4.25	11	5.11	11	5.99	13	5.83	14	6.09					11	3.36	11	4.04	11	4.73	13	4.61	14	4.81					
4.00	14	14	14	14	15			12	4.55	12	5.43	12	6.33	14	6.24	15	6.55					12	3.59	12	4.26	12	4.99	14	4.93	15	5.17					
4.50								13	5.49	13	6.51	14	7.06	15	7.53							13	4.34	13	5.14	14	5.58	15	5.95							
5.00								15	6.20	15	7.27	15	8.00									15	4.90	15	5.73	15	6.58									

- Catatan : - BEBAN MATI (BERAT SENDIRI **Super Floor Deck®** DAN PELAT BETON) SUDAH DIPERHITUNGKAN
 - BEBAN BERGUNA DALAM TABEL ADALAH JUMLAH BEBAN HIDUP DAN BEBAN-BEAN FINISHING LAINNYA
 - MUTU BAJA TULANGAN U - 48

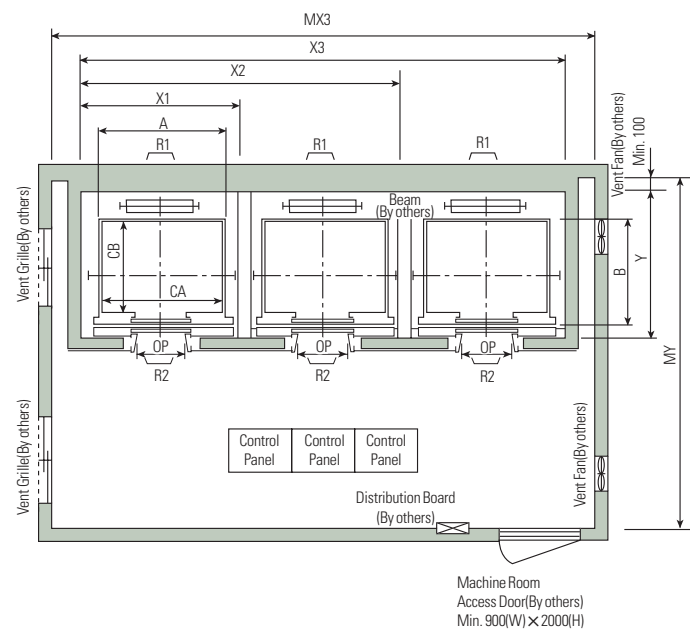
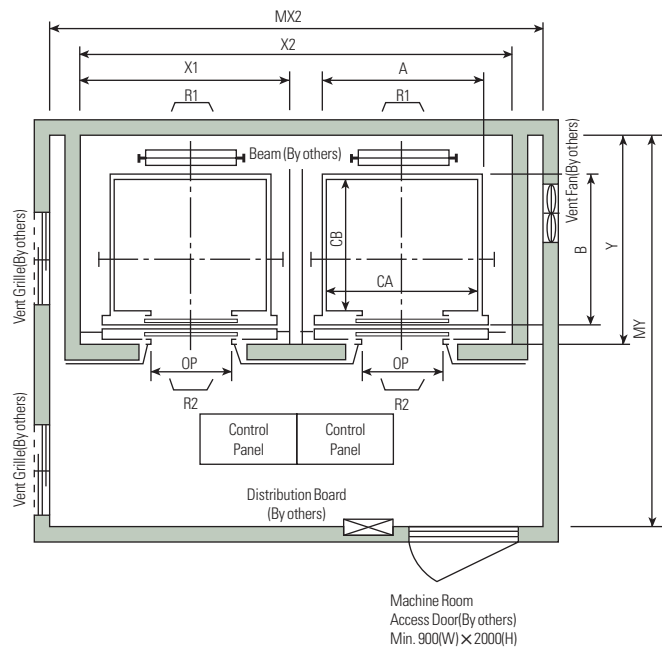
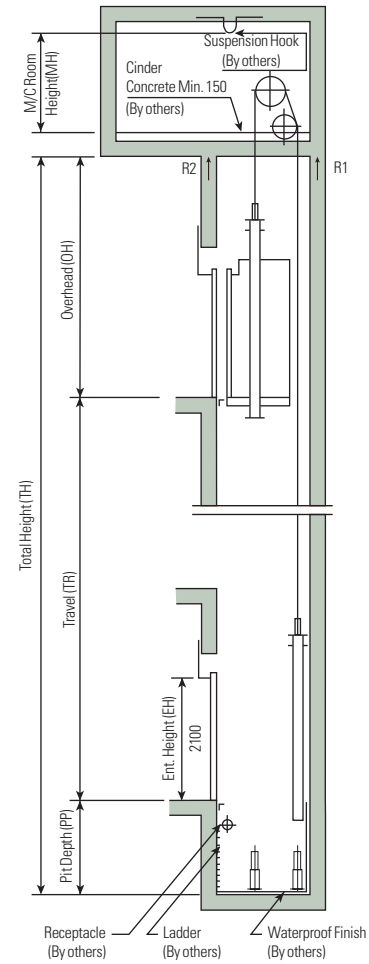
Layout Plan – Geared Elevators 1~1.75m/sec

Plan of Hoistway & Machine Room



Note: Machine room temperature should be maintained below 40°C with ventilating fan and/or air conditioner (if necessary) and humidity below 90%.

Section of Hoistway



Standard Dimensions & Reactions

(Unit : mm)

Speed (m/sec)	Capacity		Clear Opening	Car		Hoistway				M/C Room				M/C Room Reaction (kg)		Pit Reaction (kg)		
	Persons	kg		Internal	External	1Car	2Cars	3Cars	Depth	1Car	2Cars	3Cars	Depth	R1	R2	R3	R4	
1.0	6	450	800	1400 × 850	1460 × 1005	1800	3700	5600	1430	2000	4000	6000	3200	3600	2000	5200	4300	
	8	550	800	1400 × 1030	1460 × 1185	1800	3700	5600	1610	2000	4000	6000	3400	4050	2250	5800	4700	
	9	600	800	800	1400 × 1100	1460 × 1285	1800	3700	5600	1710	2000	4000	6000	3500	4100	2450	6100	4900
	10	700	800	800	1400 × 1250	1460 × 1405	1800	3700	5600	1830	2000	4000	6000	3600	4200	2700	6600	5200
	11	750	800	800	1400 × 1350	1460 × 1505	1800	3700	5600	1930	2000	4000	6000	3700	4550	2800	6900	5400
1.5	15	1000	900	1600 × 1500	1660 × 1655	2050	4200	6350	1980	2300	4400	6800	3750	5100	3750	7900	6100	
	17	1150	1000	1800 × 1500	1900 × 1670	2350	4800	7250	2180	2600	4900	7500	3900	6600	5100	10800	8500	
1.75	20	1350	1000	1800 × 1700	1900 × 1870	2350	4800	7250	2380	2600	4900	7500	4200	7800	6000	11800	9100	
			1100	2000 × 1500	2100 × 1670	2550	5200	7850	2180	2800	5250	8300	4000					
	24	1600	1100	2000 × 1750	2100 × 1920	2550	5200	7850	2430	2900	5400	8300	4300	8500	6800	13100	9900	
				2150 × 1600	2250 × 1770	2700	5500	8300	2280	3000	5650	8700	4200					

- Notes:**
- Above hoistway dimensions are based on 15-storied buildings. For application to over 16-storied buildings, the hoistway dimensions shall be at least 5% larger considering the sloping of the hoistways.
 - Above dimensions are based on center opening doors. For applicable dimensions with side opening doors, consult Hyundai.
 - When non-standard capacities and dimensions are required to meet the local code, consult Hyundai.
 - The capacity in persons is calculated at 65kg/person. (EN81=75kg/person)

(Unit : mm)

Speed (m/sec)	Overhead (OH)	Pit (PP)	M/C Room Height (MH)
1.0	4200	1400	2200
1.5	4400	1600	2400
1.75	4600	1800	2400

- Notes:**
- The minimum hoistway dimensions are shown on the above table. Therefore, some allowances should be made considering the sloping of the hoistways.
 - Machine room temperature should be maintained below 40°C with ventilating fan and/or air conditioner (if necessary) and humidity below 90%.
 - The minimum machine room height should be 2800mm in case of the traction machine with double isolation pad.

PRESTRESSED CONCRETE SPUN PILES (JBI PILES) JIS. A 5335



The manufacture of JBI piles uses a combined system : prestressing, spinning and steam curing which are done in the plant. Due to above system, the resulted processes the following qualities : Stable, high quality, high density of concrete, with extremely low absorption rate, totality free of corrosion problem. High resistance to shock, due to it's elasticity. The effective prestress at type A, AB, B, C are about 40, 60, 80, 100 Kg/Cm² respectively. Bearing capacity determined by the material with concrete allowable stress according to ACI 543 : $0.33 \times 500 - 0.27 \times 40 = 154 \text{ Kg/Cm}^2$ (for type A pile, the other type are changed of effective prestressed).

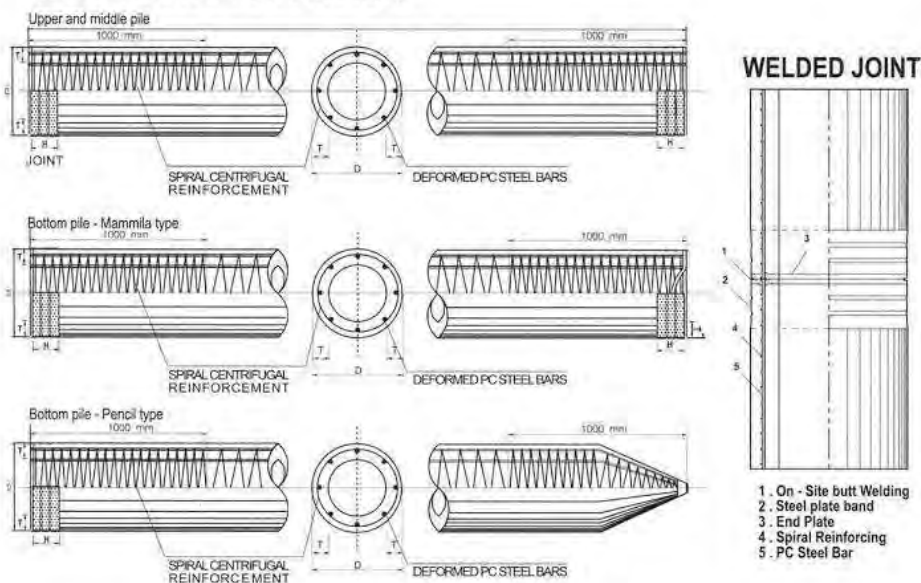
Specification Of Prestressed Concrete Spun Piles, JIS A 5335

Out Side Diameter (mm)	Type (Class)	Thickness (mm)	Cross Section Area (cm ²)	Bearing Capacity (ton) ACI 543	Cracking Bending Moment (t.m)	Ultimate Bending Moment (t.m)	Length (meter) & Weight (ton)									
							7 m	8 m	9 m	10 m	11 m	12 m	13 m	14 m	15 m	
300	A	60	452,4	70	2,5	3,8	0.82	0.94	1.06	1.18	1.29	1.41	1.53			
	AB				3,0	5,0										
	B				3,5	6,3										
	C				4,0	8,0										
350	A	65	582,0	90	3,5	5,2	1.06	1.21	1.36	1.51	1.66	1.81	1.97	2.12	2.27	
	AB				4,0	7,1										
	B				5,0	9,0										
	C				6,0	12,0										
400	A	75	765,8	118	5,5	8,2	1.39	1.59	1.79	1.99	2.19	2.39	2.59	2.79	2.98	
	AB				6,5	10,7										
	B				7,5	13,5										
	C				9,0	18,0										
450	A	80	929,9	143	7,5	11,2	1.69	1.93	2.17	2.42	2.66	2.90	3.14	3.38	3.62	
	AB				9,0	15,5										
	B				11,0	19,8										
	C				12,5	25,0										
500	A	90	1.159,0	178	10,5	15,7	2.11	2.41	2.71	3.01	3.31	3.62	3.92	4.22	4.52	
	AB				12,5	18,8										
	B				15,0	27,0										
	C				17,0	34,0										
600	A	100	1.570,8	242	17,0	25,5	2.86	3.27	3.67	4.08	4.49	4.90	5.31	5.71	6.12	
	AB				20,0	35,3										
	B				25,0	45,0										
	C				29,0	58,0										

Concrete Strength, $f_c = 500 \text{ kg/cm}^2$ (Cylinder Test), or equivalent to K - 600 (Cube Test)

Construction Of Prestressed Concrete Spun Piles

CONSTRUCTION OF JBI PILES



Calculation Of Bearing Capacity Dynamic Formula

$$R_a = \frac{2.W.H}{5.S + 0.1}$$

R_a = Allowable Bearing Capacity (ton)
 W = Weight of Hammer (ton)
 H = Height of ram stroke (m)
 S = Final settlement of pile, determined as the average of the last 10 blows, (m)

BAB XI PENUTUP

9.1 Kesimpulan

Dari hasil perhitungan dan analisis yang telah dilakukan, maka dapat diambil kesimpulan sebagai berikut :

1. Dilakukan perhitungan struktur sekunder terlebih dahulu seperti perhitungan, pelat lantai, balok anak, lift, dan tangga terhadap beban-beban yang bekerja.
2. Prinsip dasar bahwa struktur sekunder menjadi beban pada struktur utama, dan setelah itu dilakukan analisa struktur utama dengan bantuan program yaitu SAP2000 v.17.
3. Dilakukan permodelan terhadap balok utama *castellated* dengan menghitung pembesaran inersia terlebih dahulu, kolom *concrete filled steel tube* sebagai kolom komposit, dan *steel plate shear wall* sebagai pelat baja tipis sebagai dinding geser. Setelah itu dilakukan kontrol, struktur utama telah memenuhi syarat yang ditetapkan.
4. Dari hasil perhitungan struktur sekunder didapatkan :
 - a. Plat lantai menggunakan bondek Super Floor Deck $t=0,75$ mm untuk tower G dan H, dengan tebal plat beton :
 - Lantai atap $t = 90$ mm
 - Lantai asrama $t = 100$ mm
 - b. Balok anak tower G dan H
 - Bentang 8 m
 - Lantai atap CB 437,5x175x7x11
 - Lantai asrama CB 495x200x7x11
 - Bentang 4,4 m
 - Lantai atap WF 250x125x5x8
 - Lantai asrama WF 250x175x7x11
 - c. Balok tangga
 - Pengaku anak tangga L 65x65x 6
 - Bordes WF 100x50x5x7
 - Utama WF 200x100x4,5x7
 - Penumpu WF 200x100x5,5x 8

d. Balok lift

- Penggantung WF 400x200x8x13

Dari hasil perhitungan struktur primer didapatkan :

a. Balok induk tower G dan H

Bentang 8 m

- Lt 1-3 CB 625x200x10x16
- Lt. 4-6 CB 550x300x11x18
- Lt. 7-9 CB 487,5x300x10x16
- Lt. 10 (Atap) CB 437,5x175x7x11

Bentang 4 m

- Lt 1-3 WF 350x175x7x11
- Lt. 4-6 WF 300x200x9x14
- Lt. 7-9 WF 250x175x7x11
- Lt. 10 (Atap) WF 250x125x5x8

b. Kolom tower G dan H

- Lantai 1-3 Komposit CFT 800x800x25x25
- Lantai 4-6 Komposit CFT 700x700x22x22
- Lantai 7-Atap Komposit CFT 600x600x16x16

c. SPSW tower G dan H

- T plat spsw = 4 mm

d. Sambungan terlampir

5. Pondasi struktur menggunakan tiang pancang PT. Jaya Beton dengan diameter 50 cm dengan kedalaman 16 m berdasarkan hasil penyelidikan tanah SPT (*Standard Penetration Test*).
6. Output gambar struktur gedung dengan program bantu *AutoCAD* 2016 terlampir.

9.2 Saran

Sebaiknya dilakukan studi yang mempelajari tentang perencanaan struktur *castellated beam* dan kolom *concrete filled steel tube* lebih lanjut terhadap standard yang telah ditetapkan baik itu SNI maupun AISC. Sehingga diharapkan perencanaan dapat dimodelkan semirip mungkin dengan kondisi sesungguhnya di lapangan.

DAFTAR PUSTAKA

- Adhibaswara, Banu. 2011. **"Perencanaan Struktur Balok Utama Jembatan Baja Komposit Dengan Profil Castellated Beam"**. Proceeding PESAT (Psikologi, Ekonomi, Sastra, Arsitektur & Sipil). Depok: Universitas Gunadarma.
- Amayreh, L., dan Saka, M.P. 2005. **"Failure Load Prediction Of Castellated Beams Using Artificial Neural Networks"**. Asian Journal Of Civil Engineering (Building and Housing) Vol. 6 Hal. 35-54.
- Astaneh-asl, A. 2000. **"Steel Plate Shear Walls"**. Proceedings Partnership for Advanced Steel Structures. U.S-Japan : Workshop on Seismic Fracture issues in Steel Structures
- Blodgett, Orner W. 1996. **"Design of Welded Structure"**. The James F. Lincoln Arc Welding Foundation, Ohio.
- Bradley, T.P. 2003. **"Stability of Castellated Beams During Erection"**. Virginia : Virginia Polytechnic Institute and State University.
- Chaoui, Kamel., Zeghiche, J. 2005. **"An Experimental Behaviour Of Concrete Filled Steel Tubular Columns"**. Journal of Constructional Steel Research.
- Grunbauer, Johan, 2001. **"Castellated Beam"**. <<http://www.grunbauer.nl/eng/inhoud.htm>>.
- Ismail, R.E.S., Fahmy, A.S., dan Tawfik, N.M. **"Ultimate Behavior of Composite Castellated Beams under Vertical Loads"**. International Journal of Computer Applications (0975 – 8887). Volume 108 – No. 5.
- Knowles, P. R. 1991. **"Castellated Beams"**. Proc Instn Civil Engineers. Part 1 : 521-536.
- Malada, Anggry. 2012. **"Modifikasi Perencanaan Struktur Gedung PT. Perusahaan Gas Negara Surabaya Menggunakan Hexagonal Castellated Beam Pada Balok**

- Anak**". Surabaya : Fakultas Teknik Sipil dan Perencanaan Institut Teknologi Sepuluh Nopember.
- Megharief, J.D. 1997. "**Behaviour of Composite Castellated Beams**". Canada : MCGill University, Montreal.
- Morino., Shosuken., Thusada., dan Keigo. 2001. "**Design and Konstruksion of Concrete Filled Steel Tube Column System in Japan**". Departement of Environ Mental Space Design, University of Kitakyusu.
- Purba, R., dan Bruneau, M. 2015. "**Experimental Investigation of Steel Plate Shear Walls With In Span Plastification Along Horizontal Boundary Elements**". Journal of Engineering Structures 97 (2015) : 68-79.
- Sabelli, R., dan Bruneau, M. 2006. "**Steel Plate Shear Walls**". American Institute of Steel Construction. Inc.
- Salmon, Charies G., dan Johnson, John E. 1996. "**Struktur Baja Desain Dan Perilaku**". Jilid 1 Edisi Kedua. Diterjemahkan oleh: Ir. Wira M.S.CE. Jakarta: Erlangga.
- Setiawan, Agus. 2008. **Perencanaan Struktur Baja dengan Metode LRFD**. Semarang : Penerbit Erlangga.
- Shah, Darishka, K., Vakil, M.D., dan Patel, M.N. 2014. "**Parametric Study of Concrete Filled Steel Tube Column**". IJEDR. Volume 2, Issue 2. ISSN : 2321-9939.
- Suryani, Fran Sinta. 2012. **Analisa Perbandingan Berbagai Penampang Dinding Geser Komposit Akibat Beban Lateral**. Jurnal Teknik POMITS Vol. 1 : 1-6.
- Widodo, Theodorus., Pah, Jusuf J.S., dan Ninggeding, A.Y. 2013. "**Analisa Perbandingan Dinding Geser yang Simetris dan Tidak Simetris**". Jurnal Teknik Sipil Vol. II No. 1 April 2013.



Biodata Penulis

Penulis bernama Syauqy Ribhan. Lahir di Jakarta pada tanggal 21 Februari 1993, merupakan anak pertama dari empat bersaudara dari pasangan Agus Suryono, S.H dan Nidawanti, S.Pd

Penulis telah menempuh pendidikan formal di TK Hamdalah Jakarta, SDN Kenari 07 Jakarta, SMPN 216 Jakarta, SMAN 22 Jakarta, dan Diploma 3 Jurusan Teknik Sipil Konstruksi Bangunan Gedung di Politeknik Negeri Jakarta lulus pada tahun 2013 dengan mendapat piagam penghargaan sebagai juara nasional KBGI ke-4. Kemudian pada tahun 2014 penulis melanjutkan ke jenjang sarjana di jurusan Teknik Sipil FTSP-ITS Surabaya dengan bidang studi struktur. Sebelum melanjutkan kuliah di ITS, penulis bekerja sebagai *supervisor* di proyek Green Pramuka Apartment Jakarta selama setahun dan pada saat kuliah di ITS penulis bekerja sebagai *project coordinator* di proyek Bale Hinggil Marketing Office Surabaya.

Email : syauqy_ribhan@yahoo.com